



UNIVERSIDADE FEDERAL DO CEARÁ
CENTRO DE CIÊNCIAS
DEPARTAMENTO DE COMPUTAÇÃO
PROGRAMA DE PÓS-GRADUAÇÃO EM CIÊNCIAS DA COMPUTAÇÃO
MESTRADO EM CIÊNCIA DA COMPUTAÇÃO

MARCOS MACIEL DE CASTRO

**G4DPA: UMA ARQUITETURA PARA COMPARTILHAMENTO AUDITÁVEL DE
ARQUIVOS CONTENDO DADOS PESSOAIS**

FORTALEZA
2024

MARCOS MACIEL DE CASTRO

G4DPA: UMA ARQUITETURA PARA COMPARTILHAMENTO AUDITÁVEL DE
ARQUIVOS CONTENDO DADOS PESSOAIS

Dissertação apresentada ao Curso de Mestrado em Ciência da Computação do Programa de Pós-Graduação em Ciências da Computação do Centro de Ciências da Universidade Federal do Ceará, como requisito parcial à obtenção do título de mestre em Ciência da Computação. Área de Concentração: Ciência da Computação.

Orientador: Prof. Dr. Miguel Franklin de Castro.

Coorientador: Prof. Dr. Dário Vieira Conceição.

FORTALEZA

2024

Dados Internacionais de Catalogação na Publicação
Universidade Federal do Ceará
Sistema de Bibliotecas

Gerada automaticamente pelo módulo Catalog, mediante os dados fornecidos pelo(a) autor(a)

C352g Castro, Marcos Maciel de.

G4DPA: Uma Arquitetura para Compartilhamento Auditável de Arquivos Contendo Dados Pessoais /
Marcos Maciel de Castro. – 2024.

194 f. : il. color.

Dissertação (mestrado) – Universidade Federal do Ceará, Centro de Ciências, Programa de Pós-Graduação
em Ciência da Computação, Fortaleza, 2024.

Orientação: Prof. Dr. Miguel Franklin de Castro.

Coorientação: Prof. Dr. Dário Vieira Conceição.

1. Blockchain. 2. Contrato inteligente. 3. IPFS. 4. Proteção de dados pessoais. 5. Auditoria. I. Título.

CDD 005

MARCOS MACIEL DE CASTRO

G4DPA: UMA ARQUITETURA PARA COMPARTILHAMENTO AUDITÁVEL DE
ARQUIVOS CONTENDO DADOS PESSOAIS

Dissertação apresentada ao Curso de Mestrado em Ciência da Computação do Programa de Pós-Graduação em Ciências da Computação do Centro de Ciências da Universidade Federal do Ceará, como requisito parcial à obtenção do título de mestre em Ciência da Computação. Área de Concentração: Ciência da Computação.

Aprovada em: 2024

BANCA EXAMINADORA

Prof. Dr. Miguel Franklin de Castro (Orientador)
Universidade Federal do Ceará (UFC)

Prof. Dr. Dário Vieira Conceição (Coorientador)
École d'Ingénieurs Généraliste du Numérique (Efrei
Paris)

Profa. Dra. Rossana Maria de Castro Andrade
Universidade Federal do Ceará (UFC)

Prof. Dr. Arlindo Flávio da Conceição
Universidade Federal de São Paulo (UNIFESP)

À minha esposa e aos meus filhos. Sem eles, muito provavelmente eu não teria chegado até aqui.

AGRADECIMENTOS

Primeiramente, agradeço a Deus, cuja presença constante me proporcionou força e coragem para enfrentar os desafios desta jornada.

Minha profunda gratidão ao meu orientador, Prof. Dr. Miguel Franklin de Castro, por sua orientação, paciência e contribuições valiosas, e ao meu co-orientador, Prof. Dr. Dário Vieira Conceição, pelo apoio e conselhos enriquecedores.

Ao Prof. Marciel Barros, agradeço por sua generosidade em compartilhar conhecimento; seu apoio e orientação foram cruciais para o sucesso desta pesquisa.

Aos meus colegas de trabalho, Jefferson, Herdine, Marcos Antônio, e, em especial, Robson e Marcelo, deixo meu sincero agradecimento pelo apoio e incentivo.

Aos meus pais, Francy e Antônio, sou grato pelo amor e pelos ensinamentos que me sustentaram ao longo da vida. Nada disso seria possível sem os valores que me transmitiram.

Aos meus filhos, Marcos Vinícius e Sofia, agradeço por serem minha fonte constante de alegria e inspiração. Este trabalho é também por vocês e para vocês, e espero que ele os inspire a sempre perseguirem seus sonhos com determinação.

Finalmente, à minha esposa, Elaine, minha parceira de vida, sou grato pelo amor e suporte incondicional. Este trabalho é um reflexo do nosso esforço conjunto, e compartilho com você cada conquista alcançada.

A todos os demais que, de alguma forma, contribuíram para a conclusão deste trabalho, deixo aqui meu mais sincero agradecimento.

O presente trabalho foi realizado com apoio da Coordenação de Aperfeiçoamento de Pessoal de Nível Superior - Brasil (CAPES) – Código de Financiamento 001.

"Nothing was your own except the few cubic centimeters inside your skull." (George Orwell, "Nineteen Eighty-Four", 1949.)

RESUMO

Nos últimos anos, vazamentos de dados pessoais tornaram-se frequentes, causando prejuízos materiais ou morais de difícil reparação a pessoas e organizações. Esse cenário, aliado ao aumento do armazenamento e processamento de dados pessoais em nuvem, impulsionou o desenvolvimento ou a melhoria de regulamentos de proteção de dados pessoais no mundo inteiro, como a GDPR na União Europeia e a LGPD no Brasil, tendo em vista melhor proteger a privacidade das pessoas. Com isso, é importante que organizações que processam dados pessoais busquem uma solução para evidenciar que seguem as práticas legais aplicáveis, possibilitando, inclusive, a realização de auditorias a fim de evitar sanções estatais, como a aplicação de multas. Todavia, ainda não está claro qual a melhor técnica para prover tal solução. Este trabalho tem por finalidade apresentar uma arquitetura para realização de busca e recuperação de arquivos contendo dados pessoais entre instituições distintas, sem que seja necessário armazenar os arquivos diretamente em um repositório centralizado ou expor sistemas internos dessas instituições para receber acessos vindos da internet. Ademais, propõe um mecanismo para auditar as operações de tratamento sobre compartilhamentos realizados, resguardando a privacidade dos titulares e garantindo a conformidade com normas de proteção de dados pessoais. Foi realizado um levantamento na literatura científica para identificar os principais pontos de não conformidade com esses regulamentos nos trabalhos existentes e as principais técnicas e tecnologias utilizadas. A partir dessas informações, é apresentada a arquitetura *Gateway for Data Privacy Auditing* (G4DPA), baseada em um *gateway* para intermediar as operações de registro, busca e solicitação de compartilhamento de arquivos de dados pessoais entre os controladores. O *gateway* realiza a pseudoanonimização das informações de custódia dos arquivos e das identidades das partes envolvidas antes de enviá-las a uma *blockchain* através de funções de um contrato inteligente, enquanto a transmissão do conteúdo dos arquivos é realizada através de uma rede IPFS diretamente entre os controladores. Uma prova de conceito foi implementada utilizando uma *blockchain* Ethereum, e alguns experimentos foram conduzidos em um cenário hipotético no contexto de *e-healthcare*. Por fim, os resultados dos experimentos são apresentados e analisados em relação a custos, capacidade e desempenho da solução proposta.

Palavras-chave: arquitetura; blockchain; contrato inteligente; Ethereum; IPFS; proteção de dados pessoais; GDPR; LGPD; compartilhamento de arquivos; auditoria; privacidade.

ABSTRACT

In recent years, the frequency of personal data breaches has increased significantly, causing serious material and moral damage to individuals and organizations alike. This scenario, coupled with the increase in the storage and processing of personal data in the cloud, has resulted in the development or improvement of personal data protection regulations around the world. Examples of such regulations include GDPR in the European Union and LGPD in Brazil, designed with the objective of enhancing the protection of the privacy of individuals. In this way, organizations engaged in the processing of personal data are imperative to identify an effective solution that can attest to their compliance with applicable regulations. This includes the capacity to undergo audits to avoid state-imposed sanctions, such as fines. However, it remains unclear which methodology represents the optimal approach to developing such a solution. The aim of this work is to present an architecture for searching and retrieving files containing personal data between different institutions, without the requirement of storing the files directly in a centralized repository or exposing the internal systems of these institutions to internet access. Furthermore, it proposes a mechanism for auditing the processing operations carried out on shared data, thereby safeguarding the privacy of data subjects and ensuring compliance with personal data protection regulations. A review of the scientific literature was conducted to identify the key areas of non-compliance with these regulations in existing works and the main techniques and technologies employed. Based on this analysis, the *Gateway for Data Privacy Auditing* (G4DPA) architecture is presented, in which a gateway is leveraged to facilitate the operations of registering, searching, and requesting the sharing of personal data files between controllers. The gateway pseudoanonymizes the file custody information and the identities of the parties involved before sending them to a blockchain through the functions of a smart contract, while the transmission of the file content is carried out through an IPFS network directly between the controllers. A proof of concept was implemented using an Ethereum blockchain and experiments were conducted in a hypothetical scenario in the context of e-healthcare. Finally, the results of the experiments are presented and analyzed in terms of costs, capacity, and performance to evaluate the proposed solution.

Keywords: architecture; blockchain; smart contract; Ethereum; IPFS; personal data protection; GDPR; LGPD; file sharing; auditing; privacy.

LISTA DE FIGURAS

Figura 1 – Representação da estrutura de uma <i>blockchain</i>	49
Figura 2 – Exemplo de procedimento de árvore de <i>hash</i> Merkle	50
Figura 3 – Panorama mundial de legislações de proteção de dados	56
Figura 4 – Sumário de multas aplicadas com fundamento na General Data Protection Regulation (GDPR) (quantidade e valor médio)	60
Figura 5 – Requerimentos recebidos pela Autoridade Nacional de Proteção de Dados (ANPD) por período	64
Figura 6 – Modelo de alto nível da arquitetura G4DPA	77
Figura 7 – Diagrama de sequência da Fase 1 – Solicitação do arquivo	88
Figura 8 – Diagrama de coreografia da Fase 1 – Solicitação do arquivo	89
Figura 9 – Diagrama de sequência da Fase 2 – Disponibilização do arquivo	91
Figura 10 – Diagrama de coreografia da Fase 2 – Disponibilização do arquivo	92
Figura 11 – Diagrama de sequência da Fase 3 – Obtenção do arquivo	94
Figura 12 – Diagrama de coreografia da Fase 3 – Obtenção do arquivo	95
Figura 13 – Diagrama de sequência da Fase 4 – Finalização da solicitação	96
Figura 14 – Diagrama de coreografia da Fase 4 – Finalização da solicitação	97
Figura 15 – <i>Box-plot</i> do consumo de gas pelas funções do contrato inteligente	113
Figura 16 – <i>Box-plot</i> da duração das funções do experimento 2 por tamanho do arquivo e quantidade de operações concorrentes, para tamanhos de arquivo de 1 MB .	117
Figura 17 – <i>Box-plot</i> da duração das funções do experimento 2 por tamanho do arquivo e quantidade de operações concorrentes, para tamanhos de arquivo de 10 MB .	117
Figura 18 – <i>Box-plot</i> da duração das funções do experimento 2 por tamanho do arquivo e quantidade de operações concorrentes, para tamanhos de arquivo de 100 MB	118
Figura 19 – <i>Box-plot</i> da duração das funções do experimento 2 por tamanho do arquivo e quantidade de operações concorrentes, considerando 1 operação concorrente	118
Figura 20 – <i>Box-plot</i> da duração das funções do experimento 2 por tamanho do arquivo e quantidade de operações concorrentes, considerando 5 operações concorrentes	119
Figura 21 – <i>Box-plot</i> da duração das funções do experimento 2 por tamanho do arquivo e quantidade de operações concorrentes, considerando 25 operações concorrentes	119

Figura 22 – <i>Box-plot</i> da duração das funções do experimento 2 por tamanho do arquivo e quantidade de operações concorrentes, considerando 125 operações concorrentes	120
Figura 23 – <i>Box-plot</i> da duração da função <i>add</i> do experimento 2 por tamanho do arquivo e quantidade de operações concorrentes	120
Figura 24 – <i>Box-plot</i> da duração da função <i>delete</i> do experimento 2 por tamanho do arquivo e quantidade de operações concorrentes	121
Figura 25 – <i>Box-plot</i> da duração da função <i>retrieve</i> do experimento 2 por tamanho do arquivo e quantidade de operações concorrentes	121
Figura 26 – Limites inferior e superior para o <i>throughput</i> da operação <i>add</i> no experimento 2, considerando o tamanho do arquivo e a quantidade de operações concorrentes	123
Figura 27 – Limites inferior e superior para o <i>throughput</i> da operação <i>delete</i> no experimento 2, considerando o tamanho do arquivo e a quantidade de operações concorrentes	123
Figura 28 – Limites inferior e superior para o <i>throughput</i> da operação <i>retrieve</i> no experimento 2, considerando o tamanho do arquivo e a quantidade de operações concorrentes	124
Figura 29 – <i>Box-plot</i> do tempo de busca de custódias por quantidade de CRs concorrentes	126
Figura 30 – <i>Box-plot</i> do tempo de duração da fase 1 por quantidade de CRs concorrentes	128
Figura 31 – <i>Box-plot</i> do tempo de duração da fase 2 por quantidade de CRs concorrentes	128
Figura 32 – <i>Box-plot</i> do tempo de duração da fase 3 por quantidade de CRs concorrentes	129
Figura 33 – <i>Box-plot</i> do tempo de duração da fase 4 por quantidade de CRs concorrentes	129
Figura 34 – <i>Box-plot</i> do tempo de duração de todas as fases por quantidade de CRs concorrentes	130

LISTA DE TABELAS

Tabela 1 – <i>String</i> de busca	24
Tabela 2 – Critérios de inclusão e exclusão	25
Tabela 3 – Quantidade de estudos por fase da revisão bibliográfica	25
Tabela 4 – Plataformas <i>blockchain</i> utilizadas nos trabalhos relacionados	42
Tabela 5 – Mecanismos de armazenamento distribuído utilizados nos trabalhos relacionados	43
Tabela 6 – Mecanismos criptográficos utilizados nos trabalhos relacionados para proteção de dados pessoais	44
Tabela 7 – Desvantagens citadas nos trabalhos relacionados sobre abordagens de nuvem	45
Tabela 8 – Normativos legais nos trabalhos relacionados	47
Tabela 9 – Pontos de não-conformidade legal nos trabalhos relacionados	48
Tabela 10 – Alguns regulamentos de proteção de dados no mundo	57
Tabela 11 – Comparação entre conceitos da GDPR e LGPD	59
Tabela 12 – Bases legais para processamento de dados pessoais segundo o Artigo 6º da GDPR	62
Tabela 13 – Quantidade de Comunicações de Incidentes de Seguranças (CISs) recebidas pela ANPD por ano	63
Tabela 14 – Bases legais para processamento de dados pessoais segundo o Artigo 7º da Lei Geral de Proteção de Dados Pessoais (LGPD)	67
Tabela 15 – Siglas das entidades da G4DPA e seus significados	72
Tabela 16 – Serviços oferecidos pelo contrato inteligente G4DPA-SC	79
Tabela 17 – Eventos emitidos pelo contrato inteligente G4DPA-SC	81
Tabela 18 – Notação utilizada para representar operações criptográficas	84
Tabela 19 – Simbologia utilizada na explanação do mecanismo de compartilhamento . .	87
Tabela 20 – <i>Software</i> utilizado para implementação da infraestrutura	106
Tabela 21 – Principais bibliotecas utilizadas	108
Tabela 22 – Resultados numéricos do experimento 1	113
Tabela 23 – <i>Throughput</i> máximo teórico das funções do contrato inteligente G4DPA-SC	114
Tabela 24 – Resultados numéricos do experimento 2	116
Tabela 25 – Resultados numéricos de <i>throughput</i> das operações do experimento 2 . . .	122
Tabela 26 – Resultados numéricos do experimento 3	125

Tabela 27 – Resultados numéricos do experimento 4, para arquivo de 1 MB com até 125 operações concorrentes	127
--	-----

LISTA DE ABREVIATURAS E SIGLAS

ABAC	<i>Attribute-Based Access Control</i>
ABE	<i>Attribute-Based Encryption</i>
ABI	<i>Application Binary Interface</i>
AC	Autoridade Certificadora
AES	<i>Advanced Encryption Standard</i>
ANPD	Autoridade Nacional de Proteção de Dados
APD	Autoridade de Proteção de Dados
API	<i>Application Programming Interface</i>
APPI	<i>Act on the Protection of Personal Information</i>
AWS	Amazon Web Services
BBDSPP	<i>Blockchain-Based Data Sharing and Privacy Protection</i>
BC	<i>Blockchain</i>
BDDT	<i>Blockchain-based Distributed Data Transaction</i>
BI-IoT	<i>Blockchain and IPFS as a Service for IoT</i>
BPSDQS	<i>Blockchain-based Privacy-preserving and Sustainable Data Query Service</i>
BSSPD	<i>Blockchain-based security Sharing Scheme for Personal Data</i>
CC	Controlador Custodiante
CD	Controlador de Dados
CF/88	Constituição da República Federativa do Brasil de 1988
CID	<i>Content IDentifier</i>
CIS	Comunicações de Incidentes de Segurança
CNUCED	Conferência das Nações Unidas sobre Comércio e Desenvolvimento
CP-ABE	<i>Ciphertext-Policy Attribute Based Encryption</i>
CPA	Colorado Privacy Act
CPPA	California Consumer Privacy Act
CPRA	California Privacy Rights Act
CR	Controlador Requisitante
CSL	CyberSecurity Law
CTDPA	Connecticut Data Privacy Act
DAG	<i>Directed Acyclic Graph</i>

DeFi	<i>Decentralized Finance</i>
DHT	<i>Distributed Hash Table</i>
DID	<i>Decentralized Identifier</i>
DLT	<i>Distributed Ledger Technology</i>
DNS	<i>Domain Name System</i>
DPA	Data Protection Act
DSL	Data Security Law
ECC	<i>Elliptic Curve Cryptography</i>
ECC	Ecocardiograma
ECDSA	<i>Elliptic Curve Digital Signature Algorithm</i>
ECG	Eletrocardiograma
EHR	<i>Electronic Health Record</i>
EMR	<i>Electronic Medical Record</i>
ENISA	European Union Agency for Cybersecurity
EUA	Estados Unidos da América
EVM	<i>Ethereum Virtual Machine</i>
FHIR	<i>Fast Healthcare Interoperability Resources</i>
FPE	<i>Format Preserving Encryption</i>
G4DPA	<i>Gateway for Data Privacy Auditing</i>
GCM	<i>Galois/Counter Mode</i>
GDPR	General Data Protection Regulation
GTW	<i>Gateway</i>
HIPAA	Health Insurance Portability and Accountability Act
HLF	<i>Hyperledger Fabric</i>
HLI	<i>Hyperledger Indy</i>
HMAC	<i>Hash-based Message Authentication Code</i>
HTTP	<i>Hypertext Transfer Protocol</i>
IC	Intervalo de Confiança
IIoT	<i>Industrial Internet of Things</i>
IoMT	<i>Internet of Medical Things</i>
IoT	<i>Internet of Things</i>
IoV	<i>Internet of Vehicles</i>

IPFS	<i>InterPlanetary File System</i>
IPLD	<i>InterPlanetary Linked Data</i>
IPNS	<i>InterPlanetary Name System</i>
IPP	<i>Information Privacy Principles</i>
ITS	<i>Intelligent Transportation System</i>
JPBC	<i>Java Pairing-Based Cryptography</i>
KASE	<i>Key Aggregate Searchable Encryption</i>
LGPD	Lei Geral de Proteção de Dados Pessoais
LSB	<i>Least Significant Bit</i>
LSSS	<i>Linear Secret Sharing Scheme</i>
NFT	<i>Non-Fungible Token</i>
NIST	National Institute of Standards and Technology
NSA	National Security Agency
OAEP	<i>Optimal Asymmetric Encryption Padding</i>
OD	Operador de Dados
OTP	<i>One-Time Password</i>
P2P	<i>Peer-to-Peer</i>
PBFT	<i>Practical Byzantine Fault Toleration</i>
PCIM	<i>Patient Centric Image Management</i>
PDPA	Personal Data Protection Act
PE	<i>Predicate Encryption</i>
PHR	<i>Personal Health Record</i>
PIPA	Personal Information Protection Act
PIPEDA	Personal Information Protection and Electronic Documents Act
PIPL	Personal Information Protection Law
PKI	<i>Public Key Infrastructure</i>
PoC	<i>Proof of Concept</i>
POPIA	Protection of Personal Information Act
PoR	<i>Proof-of-Replication</i>
PoS	<i>Proof-of-Stake</i>
PoW	<i>Proof-of-Work</i>
PSS	<i>Probabilistic Signature Scheme</i>

RBAC	<i>Rule-Based Access Control</i>
RC	<i>Russian Constitution</i>
RDPA	Russian Data Protection Act
RM	Ressonância Magnética
RSA	Rivest-Shamir-Adleman
RSU	<i>Roadside Unit</i>
RX	Raio-X
SC	Strasbourg Convention
SC-ABSE	<i>Smart Contract-based Attribute-Based Searchable Encryption</i>
SGX	<i>Software Guard Extensions</i>
SHA	<i>Secure Hash Algorithm</i>
SPHRS	<i>Secure Patient Health Records Sharing</i>
SSA	<i>Secret Sharing Algorithm</i>
SSE	<i>Symmetric Searchable Encryption</i>
SSI	<i>Self-Sovereign Identity</i>
SSS	<i>Shamir Secret Sharing</i>
SSSA	<i>Shamir Secret Sharing Algorithm</i>
TBchain	<i>Three-tier architecture Blockchain</i>
TC	Tomografia Computadorizada
TD	Titular de Dados
TPA	The Privacy Act
TPS	Transações Por Segundo
TSM	<i>Trusted-Scoring Mechanism</i>
UCPA	Utah Consumer Privacy Act
UE	União Europeia
VANET	<i>Vehicular Ad-hoc Networks</i>
VCDPA	Virginia Consumer Data Protection Act
VPN	<i>Virtual Private Network</i>
WADO-RS	<i>Web Access to DICOM Objects</i>
WTSS	<i>Weighted Threshold Secret Sharing</i>
ZKP	<i>Zero Knowledge Proof</i>

SUMÁRIO

1	INTRODUÇÃO	18
1.1	Contexto e apresentação do problema	18
1.2	Objetivos	19
1.3	Metodologia de desenvolvimento	20
1.4	Estrutura	20
2	TRABALHOS RELACIONADOS	22
2.1	Metodologia do levantamento bibliográfico	22
2.2	Descrição dos Trabalhos	26
2.3	Análise dos Trabalhos	41
3	FUNDAMENTAÇÃO TEÓRICA	49
3.1	Blockchain	49
3.1.1	<i>Contratos inteligentes</i>	52
3.1.2	<i>Ethereum</i>	53
3.2	IPFS	54
3.3	Legislações sobre Privacidade de Dados	56
3.3.1	<i>Terminologia</i>	58
3.3.2	<i>GDPR</i>	58
3.3.2.1	<i>Princípios da GDPR</i>	58
3.3.2.2	<i>Direitos dos titulares na GDPR</i>	60
3.3.2.3	<i>Bases legais da GDPR para tratamento de dados pessoais</i>	62
3.3.3	<i>LGPD</i>	62
3.3.3.1	<i>Princípios da LGPD</i>	64
3.3.3.2	<i>Direitos dos titulares na LGPD</i>	65
3.3.3.3	<i>Bases legais da LGPD para tratamento de dados pessoais</i>	67
4	ARQUITETURA G4DPA	68
4.1	Objetivos de <i>design</i>	68
4.2	Entidades	71
4.3	Premissas	73
4.4	Restrições	75
4.5	Modelo de sistema	76

4.5.1	<i>Criptografia e assinatura de mensagens e autenticação mútua</i>	84
4.5.2	<i>Mecanismo de compartilhamento de arquivos</i>	86
4.5.3	<i>Mecanismo de remoção de arquivos do IPFS</i>	97
4.6	Análise de segurança	98
4.6.1	<i>Análise de segurança das requisições</i>	98
4.6.2	<i>Análise de segurança do arquivo compartilhado</i>	100
4.6.3	<i>Outras propriedades de segurança da G4DPA</i>	103
5	EXPERIMENTOS EM UM CENÁRIO DE E-HEALTHCARE	104
5.1	Descrição do cenário	104
5.2	Visão geral dos experimentos	105
5.3	Descrição dos componentes da implementação	106
5.4	Experimento 1: consumo de gas nas execuções do contrato inteligente .	111
5.5	Experimento 2: tempo para desempenhar operações de leitura e escrita no IPFS	114
5.6	Experimento 3: tempo de busca de custódias	124
5.7	Experimento 4: tempo de compartilhamento de custódias	126
6	CONSIDERAÇÕES FINAIS	131
6.1	Principais contribuições	131
6.2	Limitações	132
6.3	Discussão	132
6.4	Trabalhos futuros	134
	REFERÊNCIAS	136
	APÊNDICE A – CONTRATO INTELIGENTE G4DP-SC	144
	APÊNDICE B – CÓDIGO-FONTE PRINCIPAL DO GATEWAY	152
	APÊNDICE C – CÓDIGO-FONTE PRINCIPAL DE INTERAÇÃO COM A BLOCKCHAIN	174

1 INTRODUÇÃO

1.1 Contexto e apresentação do problema

Nos últimos anos, vazamentos de dados pessoais, sejam decorrentes de ataques cibernéticos ou do compartilhamento indevido de informações particulares, tornaram-se frequentes, causando danos morais ou materiais de difícil reparação a pessoas e organizações. O escândalo da empresa Cambridge Analytica (ROSENBERG *et al.*, 2018), que utilizou dados de usuários do Facebook para criar anúncios direcionados e influenciar eleitores no pleito norte-americano de 2016, evidenciou o potencial que o uso dessas informações tem até mesmo sobre aspectos sociais, políticos e econômicos de grandes empresas e nações. Poucos anos antes, em 2013, Edward Snowden denunciou práticas de espionagem da National Security Agency (NSA) através de um programa de vigilância global sobre o tráfego de informações de pessoas, corporações e estados (STOYCHEFF, 2016). Mais recentemente, a companhia de gerenciamento de saúde Intellihartx confirmou que *hackers* roubaram informações médicas e números de segurança social de meio milhão de pacientes (GEBREMICHAEL *et al.*, 2020).

Diante desse cenário, a União Europeia (UE) decidiu aprovar em 2016 o seu novo *regulamento para proteção de pessoas naturais em relação ao processamento de dados pessoais e ao livre movimento de tais dados*, intitulado GDPR (Parlamento Europeu, Conselho da União Europeia, 2016), em vigor desde 2018. Por sua vez, outras nações, inspiradas por esse regulamento vanguardista, publicaram suas próprias normas para proteção de dados pessoais. No Brasil, por exemplo, foi sancionada, em 2018, a Lei 13.709, denominada LGPD (Brasil, 2018). Tais regulamentações visam esclarecer regras, requisitos e instruções para implantação de controles pelas organizações, mas a introdução dessas obrigações exige mudanças consideráveis em seus processos e sistemas (TIKKINEN-PIRI *et al.*, 2018).

Além disso, com seu rápido desenvolvimento, a tecnologia de *Internet of Things* (IoT) tem-se tornado um importante modelo de negócios no cotidiano de muitas pessoas. A IoT é utilizada em diversos setores, tais como indústria, agricultura, cidades inteligentes e saúde. Aproveitar dados massivos de dispositivos IoT inteligentes pode reduzir custos, beneficiar a produção e auxiliar na tomada de decisões de negócios mais precisas. No entanto, restrições desses dispositivos, como capacidade de armazenamento e de comunicação e necessidade de baixo consumo energético, acabam por limitar o seu poder de processamento (XIE *et al.*, 2023). Com isso, muitas vezes dados pessoais são coletados e transferidos para processamento ou

armazenamento em nuvem, motivando questionamentos quanto à segurança dos procedimentos utilizados em sua manipulação (HOSSEIN *et al.*, 2019). Assim, a conformidade com a GDPR quanto ao tratamento, armazenamento e compartilhamento dos dados de usuários em nuvem passou a ser obrigatoriamente mais uma fonte de preocupação para as empresas afetadas por esse regulamento (RUSSO *et al.*, 2018).

Em regra, as organizações têm de demonstrar tal conformidade apenas se requeridas pela autoridade supervisora ou quando aventureira suspeita de violação legal (KUNZ *et al.*, 2020). De todo modo, ainda não está clara qual a técnica mais adequada para que a indústria forneça soluções transparentes, eficientes e com uma boa relação custo/benefício para esse problema (WU *et al.*, 2019). Boa parte das atuais soluções para auditoria se baseiam em uma arquitetura cliente-servidor centralizada, com mecanismos de demonstração de conformidade que acabam deixando dúvidas quanto à lisura e à transparência de suas operações (TRUONG *et al.*, 2020).

1.2 Objetivos

A presente dissertação tem por finalidade propor, implementar e verificar o desempenho de uma arquitetura para realização de busca e recuperação de arquivos contendo dados pessoais entre instituições distintas, sem que seja necessário armazenar os arquivos diretamente em um repositório centralizado ou expor sistemas internos dessas instituições para receber acessos provenientes da internet. Ademais, propõe um mecanismo inovador para auditar as operações de tratamento realizadas sobre os dados de modo confiável e transparente, resguardando a privacidade dos titulares e garantindo a conformidade com normas de proteção de dados pessoais, como a GDPR e a LGPD. Adotaremos a GDPR, por se tratar de uma lei vanguardista na proteção de dados pessoais e que possui uma extensa gama de estudos baseados em suas premissas. Adicionalmente, a (Brasil, 2018) será utilizada como referência no presente trabalho a fim de fundamentar o suporte ao tratamento adequado de dados pessoais no âmbito nacional. Um glossário de termos comuns a esses normativos será apresentado na seção 3.3.1. Apesar do foco nesses dois normativos, ressalta-se que a arquitetura apresentada pode vir a ser adaptada a outras normas e regulamentos, sem prejuízos em suas características gerais de segurança.

1.3 Metodologia de desenvolvimento

A metodologia adotada nesta dissertação foi estruturada conforme o seguinte planejamento. Inicialmente, realizou-se um levantamento de artigos da literatura científica, com o objetivo de identificar trabalhos relacionados aos propósitos do estudo. Essa investigação foi organizada de modo a responder a questões de pesquisa relacionadas aos seguintes aspectos: plataformas *blockchain* utilizadas em trabalhos acadêmicos; mecanismos de armazenamento distribuído empregados para o compartilhamento de dados pessoais; técnicas criptográficas aplicadas à proteção desses dados; abordagens de computação em nuvem e seus principais pontos negativos; nível de atenção dispensado à conformidade com regulamentos de proteção de dados e à auditoria; e, por fim, pontos da GDPR e da LGPD não atendidos pelos trabalhos analisados.

Como parte da fundamentação teórica, foram sistematizados os principais conceitos previstos na GDPR e na LGPD, incluindo terminologia, princípios, direitos dos titulares e bases legais para o tratamento de dados pessoais, de modo a fornecer embasamento normativo à proposta desenvolvida.

Com base nessa fundamentação, foi concebida a arquitetura *Gateway for Data Privacy Auditing* (G4DPA), destinada ao compartilhamento de arquivos contendo dados pessoais entre diferentes instituições, em conformidade com as diretrizes estabelecidas pelas legislações mencionadas. A definição da arquitetura incluiu a identificação de entidades, a formulação de premissas, a delimitação de restrições e o desenvolvimento de um modelo de sistema, complementado por uma análise de segurança.

Posteriormente, a arquitetura foi implementada e descrita a partir de aspectos de infraestrutura, bibliotecas de *software*, mecanismos criptográficos e recursos de *hardware* disponíveis, considerando os desafios encontrados no desenvolvimento.

Por fim, para avaliar o custo e o desempenho da solução proposta, foram conduzidos quatro experimentos específicos, detalhando-se os procedimentos de testes e os resultados obtidos, que subsidiaram as análises finais.

1.4 Estrutura

No capítulo 2, descrevemos a estratégia de pesquisa bibliográfica adotada, com ênfase na metodologia utilizada para identificar, selecionar e revisar a literatura. Além disso,

para cada estudo analisado, são descritas as características relevantes em relação ao tema, e algumas tabelas comparativas são fornecidas a fim de facilitar a compreensão. No capítulo 3 são introduzidos conceitos fundamentais relacionados aos desafios inerentes ao tratamento de dados pessoais em ambientes computacionais, tais como *InterPlanetary File System* (IPFS), *blockchain* e medidas de segurança cibernética. Na seção 3.3, é feito um quadro comparativo com conceitos e equivalências entre a GDPR e a LGPD; além disso, a fim de familiarizar o leitor com essas legislações, fornecemos um resumo dos princípios e direitos previstos nesses normativos. A seguir, o capítulo 4 apresenta a solução proposta pelo presente trabalho, a arquitetura G4DPA, descrevendo, além de seu mecanismo de funcionamento, os objetivos de design, as entidades definidas, as premissas e restrições adotadas. Adicionalmente, são realizadas análises relacionadas aos aspectos de segurança e desempenho da arquitetura apresentada. A descrição da metodologia empregada nos experimentos realizados e a análise crítica dos resultados alcançados são apresentadas no capítulo 5. Por fim, no capítulo 6, são descritas as conclusões, sintetizando os principais achados e contribuições do trabalho apresentado, bem como as oportunidades de melhorias e trabalhos futuros.

2 TRABALHOS RELACIONADOS

O surgimento de leis específicas com regras para processamento de dados pessoais em vários países do mundo tem motivado pesquisas em técnicas e padrões capazes de prover conformidade legal para sistemas em diversas áreas, como *e-healthcare*, *Industrial Internet of Things* (IIoT) e *Internet of Vehicles* (IoV) (RUSSO *et al.*, 2018). A fim de avaliar o estado da arte acerca das estratégias utilizadas nesse contexto, foram investigados os desafios inerentes ao compartilhamento de dados pessoais, como tipo de armazenamento, controle de acesso e conformidade com os regulamentos legais vigentes. A metodologia adotada durante esse levantamento é descrita na seção 2.1. Já a seção 2.2 traz uma breve descrição dos trabalhos selecionados, destacando ainda suas principais contribuições e lacunas, visando direcionar futuros trabalhos que complementem a literatura.

2.1 Metodologia do levantamento bibliográfico

Embora o levantamento de trabalhos relacionados realizado neste estudo não tenha seguido todas as etapas de uma revisão sistemática conforme proposto por (KITCHENHAM; CHARTERS, 2007), ele foi inspirado nos procedimentos dessa abordagem. A metodologia empregada nesta investigação é descrita detalhadamente a seguir. Os principais fatores para a não adoção integral da sistemática foram:

- a. Número limitado de participantes para a realização do processo de revisão;
- b. A não utilização da técnica de *snowball* como ferramenta de descoberta de mais trabalhos, em virtude de limitação de tempo;
- c. Uso de uma única base de dados.

A etapa inicial consistiu na definição dos objetivos da revisão de literatura. Este levantamento visou identificar o estado da arte em relação aos desafios enfrentados por sistemas computacionais no armazenamento, compartilhamento e garantia de privacidade no tratamento de dados pessoais, com ênfase na conformidade com regulamentos legais, como a GDPR e a LGPD. Adicionalmente, buscou-se investigar as tendências de pesquisa na área e identificar possíveis lacunas nos trabalhos existentes.

Em conformidade com essas considerações, foi elaborada a *string* de busca descrita na tabela 1 para a base de dados Scopus¹, com foco em artigos publicados a partir de 2018,

¹ <https://www.scopus.com/>

redigidos em inglês, no domínio da ciência da computação (SUBJAREA (comp)). Para eliminar materiais de mais difícil acesso, foi aplicado um filtro para artigos oriundos de anais de conferências (SRCTYPE(p)) ou de periódicos (SRCTYPE(j)), excluindo assim livros acadêmicos, publicações comerciais e relatórios técnicos. A instrução TITLE-ABS-KEY permite pesquisar textos específicos nos campos título, resumo e palavras-chave dos documentos. Mediante seu uso, foi possível definir que os artigos selecionados deveriam abordar a construção de uma arquitetura ou temas correlatos (plataforma, *framework*, protocolo ou padrão) e discutir questões relacionadas ao compartilhamento de dados ou informações e à proteção de dados (LGPD, GDPR, privacidade, dados pessoais ou dados sensíveis).

Como mencionado, a pesquisa foi restringida à base de dados Scopus, e isso ocorreu por duas razões. Primeiramente, o tempo disponível para a execução da pesquisa não permitiria a consulta a outros agregadores e bases de publicações científicas. Em segundo lugar, a Scopus é reconhecida como uma das mais extensas bases de dados de publicações científicas com curadoria, oferecendo ampla cobertura global e regional de revistas e periódicos, além de agregar resultados de várias outras bases e agregadores (BAAS *et al.*, 2020). Todavia, embora ela tenha sido a única base utilizada, a quantidade de resultados obtidos com as condições até aqui estabelecidas permaneceu elevada, sendo necessária uma filtragem adicional. Assim, estabelecemos que os artigos deveriam discutir aspectos da computação em nuvem, com interesse em avaliar as condições sob as quais esse paradigma é empregado ou, alternativamente, as razões para sua não utilização. Do mesmo modo, o interesse deste trabalho recai sobre os que utilizem *blockchain* e mecanismos de armazenamento distribuído (incluindo, por exemplo, tecnologias como IPFS e redes *Peer-to-Peer* (P2P)).

Um aspecto relevante da busca realizada é que ela não limitou o domínio da aplicação ou a plataforma de desenvolvimento, intencionando apurar as principais estratégias adotadas nos diferentes contextos de tratamento de dados pessoais. A tabela 2 detalha os critérios de inclusão e exclusão adotados para seleção dos trabalhos. Por sua vez, a tabela 3 apresenta a quantidade de estudos selecionados em cada fase de avaliação, a saber:

- **Fase I:** Quantidade inicial de trabalhos selecionados de acordo com a *string* de busca.
- **Fase II:** Quantidade de estudos restantes após análise do resumo.
- **Fase III:** Trabalhos selecionados após leitura completa.

Vale destacar que, apesar da *string* de busca ter retornado 69 trabalhos, apenas 65 estavam disponíveis para análise. Outro ponto relevante é que a reduzida quantidade de estudos

Tabela 1 – *String* de busca

 PUBYEAR > 2018

AND LANGUAGE (english)

AND SUBJAREA (comp)

AND (SRCTYPE (p)

OR SRCTYPE (j))

AND (TITLE-ABS-KEY (architecture)

OR TITLE-ABS-KEY (platform)

OR TITLE-ABS-KEY (framework)

OR TITLE-ABS-KEY (protocol)

OR TITLE-ABS-KEY (standard))

AND (TITLE-ABS-KEY (sharing)

OR TITLE-ABS-KEY (shared))

AND (TITLE-ABS-KEY (lgpd)

OR TITLE-ABS-KEY (gdpr)

OR TITLE-ABS-KEY (privacy)

OR TITLE-ABS-KEY (“personal data”)

OR TITLE-ABS-KEY (“sensitive data”))

AND TITLE-ABS-KEY (cloud)

AND TITLE-ABS-KEY (blockchain)

AND (TITLE-ABS-KEY (“distributed storage”)

OR TITLE-ABS-KEY (ipfs)

OR TITLE-ABS-KEY(“peer to peer”)

OR TITLE-ABS-KEY(p2p))

 SUBJAREA (comp): restringe ao domínio da ciência da computação.

SRCTYPE (p): artigos oriundos de anais de conferências.

SRCTYPE (j): artigos oriundos de periódicos.

TITLE-ABS-KEY: pesquisa textos específicos nos campos título, resumo e palavras-chave dos documentos.

Fonte: elaborada pelo autor.

obtidos na fase I se deve às características da *string* de busca que, através do uso do operador AND, exige que cada trabalho retornado contenha pelo menos uma das palavras-chave esperadas para cada uma das áreas de interesse definidas no objetivo da revisão.

Tabela 2 – Critérios de inclusão e exclusão

Critérios de Inclusão	Critérios de Exclusão
Estudos que tratem pelo menos uma das áreas de interesse definidas nos objetivos da pesquisa, além do tópico privacidade.	Estudos que não detalhem aspectos importantes de suas soluções.
-	Estudos secundários.
-	Estudos que não guardem relação com compartilhamento seguro de dados pessoais ou seu armazenamento.
-	Estudos que apresentem inconsistências ou lacunas que impactem a compreensão da solução proposta.

Fonte: elaborada pelo autor.

A partir da tabela 3, observa-se que uma quantidade relativamente pequena de trabalhos foi excluída na Fase II. Isto pode ser atribuído ao grande interesse acadêmico e industrial na temática abordada, resultando em um grande número de publicações focadas nos aspectos relacionados à proteção de dados pessoais, bem como nas diversas metodologias e tecnologias aplicáveis a esse contexto, apesar de que apenas 33 dos trabalhos selecionados nesta fase realizaram algum nível de implementação ou experimentos sobre a solução proposta.

Tabela 3 – Quantidade de estudos por fase da revisão bibliográfica

Fase	Quantidade de Estudos Selecionados
I	65
II	55
III	37

Fonte: elaborada pelo autor.

Por fim, foi realizada a etapa de avaliação de qualidade dos trabalhos, que resultou na exclusão de 18 estudos, sendo esta a etapa final descrita em (KITCHENHAM; CHARTERS, 2007).

A partir do objetivo definido, foram determinadas as questões de pesquisa que o levantamento bibliográfico pretende responder:

RQ1: Quais são as plataformas *blockchain* utilizadas nos trabalhos e quais suas características?

RQ2: Quais mecanismos de armazenamento distribuído tem sido utilizados para o contexto de compartilhamento de dados?

RQ3: Quais mecanismos criptográficos tem sido utilizados para proteger dados pessoais compartilhados?

RQ4: Que abordagens de computação em nuvem tem sido utilizadas para compartilhamento de dados pessoais e quais pontos negativos tem sido elencados sobre essa plataforma?

RQ5: Entre os trabalhos que lidam com tratamento de dados pessoais, quantos mencionaram expressamente a necessidade de atender regulamentos legais aplicáveis sobre proteção de dados e quantos tratam de auditoria de operações?

RQ6: Se houver, quais são os principais pontos de não-conformidade com regulamentos de proteção de dados pessoais encontrados nos trabalhos, considerando a GDPR e a LGPD?

Em relação à RQ4, justifica-se esse questionamento ao observar o crescente protagonismo da computação em nuvem no cenário tecnológico contemporâneo, bem como os riscos inerentes ao tratamento de dados pessoais nesse ambiente. Tais fatores evidenciam a relevância de investigar as implicações do uso desse paradigma, como apresentado na seção 1.1.

2.2 Descrição dos Trabalhos

(NGUYEN *et al.*, 2019) utiliza uma *blockchain* Ethereum privada instanciada na Amazon Web Services (AWS), com foco em desenvolver uma solução utilizando Solidity e IPFS para armazenamento distribuído. Seu mecanismo de controle de acesso usa contratos inteligentes para realizar o compartilhamento seguro de *Electronic Health Records* (EHRs) entre pacientes e provedores de saúde. Todavia, não há evidência de escalabilidade da solução e, apesar de registrar as transações, não aborda a remoção e atualização de dados pessoais.

(ULLAH *et al.*, 2022), por sua vez, realiza sua implementação na rede Ethereum Rinkeby, explorando o uso de Solidity como linguagem dos contratos inteligentes e IPFS para armazenar e compartilhar arquivos oriundos de dispositivos IoT, de modo distribuído e descentralizado. Entretanto, não há previsão de como revogar atributos dos usuários ou de como atualizar a política *Attribute-Based Access Control* (ABAC). Além disso, a implementação só levou em consideração os contratos inteligentes, e o valor estabelecido para o preço de *gas* em 2

Gwei não é realista. Por fim, o artigo menciona que há recompensa em criptomoedas Filecoin para os nós que armazenam os dados em IPFS, mas não aborda como isso é feito.

Também empregando uma *blockchain* Ethereum e o IPFS, (JABARULLA; LEE, 2021) propõe um projeto de *Proof of Concept* (PoC) para um sistema distribuído de gerenciamento de imagens médicas centrado no paciente, chamado de *Patient Centric Image Management* (PCIM), com o intuito de garantir a segurança e controle dos dados privados do paciente sem o uso de uma infraestrutura centralizada. Contudo, esse trabalho não previu um mecanismo para verificar se o requerente das imagens é quem realmente diz ser, e propõe bloquear o compartilhamento de um arquivo por um paciente se ele fizer isso várias vezes, a fim de evitar redundância no IPFS, o que pode causar graves prejuízos ao paciente.

(YEH *et al.*, 2022) propõe o *framework Blockchain-based Privacy-preserving and Sustainable Data Query Service* (BPSDQS) para proporcionar preservação de privacidade e acessibilidade estável dos dados em um cenário de um *Intelligent Transportation System* (ITS), sem depender de um servidor centralizado, fazendo uso de contratos inteligentes em Solidity, oráculos sobre uma *blockchain* Ethereum (utilizando a rede de testes Rinkeby) e IPFS. Além disso, emprega um mecanismo de *proxy-reencryption* e *searchable encryption* para proteger os dados e permitir que usuários possam buscar informações de tráfego sem expor suas palavras-chave de interesse. Entretanto, seu desempenho depende da disponibilidade do oráculo, que alegadamente estaria sempre online, e suas buscas são limitadas a apenas uma palavra-chave.

Ainda com foco no uso de Ethereum, Solidity e IPFS, porém com a proposta de prover uma política de controle de acesso granular e segura para atributos de dados de fala, (ZHANG; ZHAO, 2023) propõe um esquema de armazenamento distribuído em IPFS, no qual os dados são criptografados através de *Cyphertext-Policy Attribute Based Encryption* (CP-ABE) e os respectivos *Content IDentifiers* (CIDs) gerados são armazenados em um contrato inteligente Ethereum. Contudo, vale ressaltar que o funcionamento do mecanismo proposto depende de uma autoridade central honesta e confiável para inicializar os parâmetros, realizar o registro de usuários e distribuir as chaves privadas de atributos. Além disso, os pseudo-códigos dos contratos inteligentes especificados não deixam claro como as operações são realizadas.

Também com o intuito de oferecer controle granular de acesso, o estudo (ALOBADH *et al.*, 2021) propõe um esquema de autorização e controle de acesso criptografado chamado de *Smart Contract-based Attribute-Based Searchable Encryption* (SC-ABSE), integrando *Personal Health Records* (PHRs) com *blockchain* e utilizando o IPFS para armazenamento desses registros.

Esse esquema combina CP-ABE, *Symmetric Searchable Encryption* (SSE), contratos inteligentes e IPFS. A proposta provê também um mecanismo de pesquisa de palavras-chave, proteção da privacidade dos usuários e auditoria de todas as solicitações e atividades de acesso. Todavia, este modelo não permite acesso emergencial aos arquivos dos pacientes nem prevê um mecanismo de atualização ou revogação de atributos no sistema e de exclusão de dados.

Já o artigo (HOANG *et al.*, 2020) propõe uma plataforma de compartilhamento de dados baseada no uso de uma rede *blockchain* pública e IPFS, visando proteger tanto a anonimidade de remetentes e destinatários quanto a confidencialidade dos dados em todas as atividades no sistema. A auditabilidade do acesso aos dados é garantida por meio de listas de controle de acesso ocultas, armazenadas na *blockchain* para verificação pública. O desempenho da solução foi analisado através do *deploy* dos três principais contratos inteligentes em uma rede de testes Ethereum, concluindo que o custo desses contratos é bem elevado por conta das pesadas operações realizadas *on-chain*. Além disso, algumas das operações propostas, como a assinatura em anel e o esquema de *Predicate Encryption* (PE) revogável, mostraram-se pesadas para computadores pessoais.

O artigo de (GHANI *et al.*, 2020) apresenta uma abordagem para compartilhamento de PHRs, realizando o controle de acesso através de contratos inteligentes e armazenando os arquivos utilizando IPFS, visando fornecer controle ao paciente sobre seus dados, garantir privacidade e melhorar escalabilidade. Os dados sensíveis são tratados com esteganografia para remover informações como nome, idade e endereço, sendo enviados para o IPFS pelo próprio paciente, identificado por seu endereço Ethereum. Porém, nem todos os mecanismos sugeridos são detalhados, e os PHRs, apesar de passarem por esteganografia, são armazenados às claras no IPFS. Não é previsto mecanismo de exclusão dos dados armazenados, mas apenas a revogação dos privilégios de acesso.

O trabalho de (RAJ; GHOSH, 2024) propõe um *framework* para armazenamento e compartilhamento de dados no contexto de IoT para cadeias de fornecimento, utilizando uma *blockchain* para integrar um mecanismo de controle de acesso baseado no modelo de segurança Bell-LaPadula, *proxy re-encryption* e IPFS. Para expressar as políticas de segurança multi-nível, todos os usuários e todos os objetos devem ser atribuídos a um, e apenas um, de quatro níveis de liberação (*clearance levels*) definidos: *top secret*, *secret*, *confidential* e *unclassified*, aqui em ordem do mais restrito para o menos restrito. Com base nesses níveis, é criado um conjunto de permissões através de uma matriz de controle de acesso, implementada diretamente em

um contrato inteligente. Ao receber uma requisição, o servidor *proxy* executa outro contrato inteligente para verificar se o solicitante pode acessar os dados. Em caso afirmativo, ele gera a chave de *re-encryption* com base nas chaves públicas das partes, com a qual recriptografa o arquivo e o envia ao requisitante. O IPFS é utilizado para armazenar os dados da cadeia de suprimentos de forma *off-site*, sem a necessidade de servidores em nuvem. Entretanto, o mecanismo depende de uma autoridade confiável para a inicialização do sistema criptográfico e para a geração das chaves dos usuários. A implementação do mecanismo de *proxy re-encryption* é feita em um contrato inteligente Ethereum, que, apesar de ser uma solução interessante, é muito cara. O mecanismo de revogação previsto apresenta um custo elevado, pois necessita revogar todos os usuários de uma mesma *role* e criptografar novamente todos os dados aos quais esses usuários tinham acesso. Por fim, devido ao baixo *throughput* alcançado com o uso da *blockchain* Ethereum, a solução pode apresentar problemas de escalabilidade.

O uso de *blockchain* Ethereum e IPFS também é adotado em (KUMAR; PRABHU-DEVA, 2022), que propõe um *framework* de autorização de acesso e armazenamento de dados médicos de pacientes através de um algoritmo chamado *Proof-of-Replication* (PoR), implementado através de contratos inteligentes. Os dados são divididos em fragmentos (*shards*), cifrados com a chave pública do paciente e encaminhados através de uma requisição, por um contrato inteligente, a um nó de armazenamento, que os envia ao IPFS em meio de armazenamento próprio, sugerindo-se o uso de nuvem para isso. Entretanto, é importante observar que a proposta apresenta lacunas, como o detalhamento da distribuição das chaves assimétricas e do processo de decriptação do arquivo. Além disso, o artigo fixa a divisão do arquivo sempre em três partes, mesmo quando a banda disponível e o tamanho do arquivo não forem adequados a essa configuração, e o processo de revogação de chaves, realizado após cada acesso, é muito dispendioso. Também não é informado como funciona o mecanismo de controle de acesso através da *blockchain*.

O artigo de (ABOUALI *et al.*, 2021) propõe o *framework Secure Patient Health Records Sharing* (SPHRS), voltado ao compartilhamento seguro de registros de saúde, conferindo ao paciente acesso e controle sobre seus dados. O esquema utiliza contratos inteligentes de uma *blockchain* Ethereum para autenticação de usuários, IPFS para armazenamento de dados e protocolo NuCypher para proporcionar um mecanismo de gerenciamento de chaves e de *proxy re-encryption* baseado em *blockchain*. O acesso conferido a um provedor de saúde é feito por tempo determinado. Os arquivos são protegidos com criptografia simétrica, cuja chave

é criptografada pelo sistema de *proxy re-encryption*. Este trabalho, entretanto, não apresenta análise de custos computacionais, implementação, simulação ou testes de desempenho, e faz apenas uma breve discussão informal sobre a segurança do modelo proposto.

Também com foco no tratamento de dados de saúde, (KAUR *et al.*, 2024) apresenta uma abordagem distribuída para compartilhamento seguro de EHRs em larga escala, armazenando esses dados cifrados com uma política de acesso granular CP-ABE em IPFS, e utilizando contratos inteligentes Ethereum para registro de usuários. Cada usuário deve possuir um endereço Ethereum e realizar a gerência de permissões de acesso aos seus dados. As chaves do mecanismo CP-ABE são distribuídas por uma autoridade central confiável, e as funções de todos os contratos inteligentes disparam eventos, com o intuito de proporcionar rastreamento de acessos aos dados e trocar mensagens de requisição de acesso entre pacientes e visualizadores. Essas mensagens preveem a informação de um propósito de acesso, aproximando esta abordagem dos normativos legais. Os CIDs dos arquivos no IPFS são armazenados na *blockchain*, e só podem ser recuperados por usuários autorizados. Entretanto, não é mostrado no artigo como é realizada a distribuição segura das chaves criptográficas, nem foi abordada a possibilidade de exclusão de registros. Em se tratando de uma plataforma de dados de saúde, não há possibilidade de acessos emergenciais. Ademais, o esquema proposto utiliza CP-ABE para cifrar os arquivos inteiros diretamente, quando poderia ter melhor desempenho se cifrasse apenas uma chave simétrica.

O artigo de (SHREE *et al.*, 2024) apresenta uma arquitetura para armazenamento e compartilhamento de dados de *Internet of Medical Things* (IoMT), em que os dados são fragmentados com o uso do algoritmo de compartilhamento de segredos de Shamir – *Secret Sharing Algorithm* (SSA) – e os fragmentos são enviados para *clusters* IPFS separados em diferentes provedores de armazenamento em nuvem. Com isso, o comprometimento de provedores em um número inferior ao *threshold* utilizado no algoritmo não seria capaz de comprometer os dados originais, já que estes não poderiam ser reconstruídos. O registro de usuários e de dispositivos médicos inteligentes, bem como o armazenamento dos *hashes* dos fragmentos dos arquivos e o gerenciamento das permissões de acesso, é realizado através de contratos inteligentes. Os *uploads* e *downloads* de arquivos são processados por um componente central, que realiza a computação do SSA, os envios aos *clusters* IPFS e os registros dos endereços dos arquivos na *blockchain*. Como desvantagens, essa abordagem não se mostrou adequada a grandes arquivos, apresentando alto *overhead* em termos de latência de rede e altos custos das transações dos contratos inteligentes, existindo um *tradeoff* entre a sensibilidade ao tempo e a criticidade dos

dados.

Por sua vez, o trabalho de (YEH *et al.*, 2023) apresenta um mecanismo para compartilhamento de PHRs entre pacientes e médicos em conformidade com o direito ao esquecimento previsto pela GDPR, através da integração de uma *blockchain* editável (*redactable*) e uma modificação em um *cluster* IPFS que possibilita a exclusão de arquivos, proposta em um artigo anterior dos mesmos autores (YEH *et al.*, 2022). A *blockchain* editável faz uso de *hashes* camaleão para que blocos possam ser alterados sem alterar o *hash* anterior, empregando uma chave *trapdoor* previamente estabelecida. Na plataforma proposta, a confidencialidade e o controle de acesso dos médicos aos PHRs são desempenhados por um mecanismo de *proxy re-encryption*, elaborado de forma que não seja necessário que o proprietário dos dados esteja *online* o tempo inteiro. Para isso, um oráculo presumidamente “honesto mas curioso” realiza, executando em um enclave *Software Guard Extensions* (SGX), a geração de chaves de transformação em nome do paciente para o médico. Se um paciente deseja revogar a permissão anteriormente dada a um médico, uma entidade de autoridade confiável realizará a edição da *blockchain*. Do mesmo modo, se um paciente desejar excluir um de seus PHRs, ele realizará a alteração da *blockchain* e solicitará ao oráculo a exclusão dos dados do IPFS. Entretanto, essa proposta atende a GDPR apenas parcialmente, visto que não permite o acesso aos registros de saúde de um paciente em casos emergenciais, e a abordagem se mostrou cara em termos computacionais, principalmente em termos de tempo de mineração das transações.

O trabalho de (LI *et al.*, 2021) propõe a arquitetura *Blockchain-based Distributed Data Transaction* (BDDT) para IoT, fornecendo uma plataforma de negociação para produtores e consumidores de dados. Os usuários podem se beneficiar vendendo seus próprios dados, definindo antecipadamente suas próprias políticas de privacidade para determinar quais podem ser vendidos, enquanto os provedores de serviços compram esses dados para obter lucro através de análises. Todas as operações de transações de dados de IoT são registradas na *blockchain*, garantindo sua rastreabilidade e imutabilidade. O esquema emprega um *design* de dupla *blockchain*, sendo uma delas virtual, e um modelo de transação P2P é construído com contratos inteligentes. Nós de armazenamento fornecem seu próprio espaço em disco para garantir o armazenamento distribuído de dados e obtêm, por isso, uma parte do lucro das transações. Um contrato inteligente é acionado para verificar o pagamento em quantidade suficiente de criptomoeda para completar a transação de dados pelo nó consumidor. Todavia, os autores não entram no mérito da segurança criptográfica dos dados e preveem operações muito custosas para o contrato inteligente

do *framework*, deixando de abordar como elas seriam feitas de modo a minimizar o custo da solução.

O artigo de (GAO *et al.*, 2021) propõe um esquema de compartilhamento de dados centrado no usuário chamado *Blockchain-based security Sharing Scheme for Personal Data* (BSSPD), que combina *blockchain*, CP-ABE e IPFS para prover privacidade e controle de acesso granular, em que o proprietário dos dados (*data owner*) pode publicar seus dados compartilhados e definir uma política de acesso para eles, concedendo e revogando direitos de acesso aos usuários de dados (*data users*). O controle de acesso granular é alcançado através de um algoritmo CP-ABE modificado para possibilitar revogação de usuários por atributo. No esquema, o proprietário criptografa os dados compartilhados com uma chave simétrica aleatória e os salva no IPFS. Essa chave e o CID dos dados são então criptografados com os parâmetros públicos do sistema e com uma política de acesso embutida, de modo que apenas o usuário de dados cujos atributos correspondem a essa política de acesso pode baixar e decodificar a chave e o CID. A recuperação dos dados é realizada através de palavras-chave cifradas. Os rastros do proprietário e do usuário ficam armazenados na *blockchain*. Todavia, o proprietário precisa distribuir uma chave secreta para cada usuário e armazená-la na *blockchain* para o algoritmo de criptografia pesquisável, e é necessário manter grandes quantidades de índices para cada dado compartilhado, ocasionando *overhead* operacional.

(GUO *et al.*, 2021) também apresenta um *framework* de compartilhamento de dados que possibilita consultas por palavras-chave criptografadas, utilizando um esquema baseado em contratos inteligentes de uma *blockchain* e SSE com emparelhamentos bilineares, em que o proprietário de dados (*data owner*) pode incluir ou alterar novos dados e também revogar permissões. O serviço de autorização de consultas é delegado ao contrato inteligente após a primeira busca de um usuário de dados (*data user*) e, a partir desse momento, o proprietário não precisará estar *online* para fornecer novos *tokens* de busca. Um índice criptografado é construído pelo proprietário, que é armazenado junto com os documentos criptografados em um banco de dados distribuído. Para realizar consultas, um usuário de dados necessita obter sua chave de consulta através de um contrato inteligente e gerar um *token* de consulta para a palavra-chave que deseja buscar. Os proprietários mantêm uma tabela de permissões nesse contrato inteligente, de modo que podem revogar o acesso de um usuário a qualquer momento. Entretanto, a implementação realizada não abrangeu os contratos inteligentes e, com isso, não houve avaliação dos impactos dos mecanismos *on-chain* de autorização e troca de chaves.

(LI *et al.*, 2023b) apresenta um *framework* para armazenamento e compartilhamento de dados médicos de pacientes por instituições de saúde, batizado de MSNET. Sua abordagem faz uso de uma *blockchain Hyperledger Fabric* (HLF) para prover rastreabilidade e controle de acesso, e de uma rede de computação *edge* local, responsável por separar e sumarizar os dados pessoais dos pacientes e extrair *keywords* para buscas. Os dados que forem considerados pessoais são armazenados na *blockchain*, e os demais são armazenados nos servidores *edge*. Contratos inteligentes são utilizados para registrar a concordância das entidades participantes com as regras estabelecidas, controlar o compartilhamento de dados entre instituições e para aplicar um mecanismo de supervisão de uso da plataforma, incluindo punição de participantes por mau uso. É sugerido um mecanismo de gerenciamento desses contratos inteligentes através de um sistema de votação entre as instituições participantes, que podem propor alterações e votar na aprovação ou rejeição de mudanças. O Raft² é utilizado como mecanismo de consenso para a rede HLF. Entretanto, documentos de exames médicos não são tratados como dados pessoais, permanecendo sem criptografia ao serem armazenados, e a abordagem proposta apresenta problemas de escalabilidade em termos de espaço de armazenamento.

(TONG *et al.*, 2024) propõe a arquitetura *Blockchain-Based Data Sharing and Privacy Protection* (BBDSP) para compartilhamento e proteção de dados em um ambiente IIoT, empregando uma abordagem criptográfica baseada em atributos combinada com um esquema *Weighted Threshold Secret Sharing* (WTSS). A autenticação é realizada por meio de *Zero Knowledge Proofs* (ZKPs) não interativas sobre os valores dos atributos. Os dados são criptografados com uma chave simétrica aleatória e armazenados em uma rede IPFS, enquanto o CID correspondente e a chave simétrica utilizada – cifrada através de um mecanismo *Attribute-Based Encryption* (ABE) – são armazenados em uma *blockchain*. Uma autoridade de atributos e uma autoridade de certificados, ambas confiáveis, interagem entre si para emitir os certificados dos usuários e especificar os seus atributos. A senha simétrica só pode ser decifrada com sucesso se os pesos dos atributos de um usuário forem maiores que um valor limite pré-estabelecido. Os autores apresentaram provas formais de corretude, autenticação, anonimidade e funcionamento do mecanismo WTSS. Entretanto, a proposta não possibilita a adição de novos atributos dinamicamente. A solução depende de autoridades confiáveis e da interação *online* entre o proprietário dos dados (*data owner*) e o visitante dos dados (*data visitor*) para funcionamento do compartilhamento. Por fim, o mecanismo de autenticação baseado em ZKPs apresenta um

² <https://raft.github.io/>

elevado custo computacional, podendo acarretar problemas de escalabilidade, e o esquema criptográfico apresenta menor eficiência quando o número de atributos é elevado.

O estudo de (HUANG *et al.*, 2024) propõe um mecanismo para compartilhamento de *Electronic Medical Records* (EMRs) utilizando *proxy re-encryption* e uma *blockchain* HLF. Todas as mensagens trocadas recebem um *timestamp* e são assinadas por meio de *Elliptic Curve Digital Signature Algorithm* (ECDSA), de forma a garantir integridade, autenticação mútua, não-repúdio e proteger contra ataques *replay* e *sybil*. Os registros médicos são armazenados criptografados no IPFS por uma entidade chamada nuvem médica, que agrupa hospitais e farmácias através da rede HLF. Todas as trocas de mensagens entre os participantes são registradas na *blockchain*, conferindo rastreabilidade à abordagem. Os pacientes são incentivados a compartilhar seus dados através do recebimento de uma criptomoeda chamada MCoin. Todavia, na abordagem proposta, os pacientes não têm soberania sobre os seus dados, pois dependem de que uma instituição médica revogue os acessos a terceiros. Quanto ao mecanismo de incentivo, apenas os pacientes são recompensados e não há previsão de como eles poderiam utilizar as criptomoedas adquiridas.

Visando solucionar problemas de compartilhamento de dados e proteção de privacidade decorrentes do rápido crescimento de dados na IIoT, (CHEN *et al.*, 2022) propõe uma arquitetura baseada na *blockchain* HLF, mas com armazenamento de dados *off-chain* para melhorar a escalabilidade do sistema. Todavia, a implementação aparenta ter sido apenas parcial, realizando o *deploy* da rede HLF e a execução dos dois contratos inteligentes projetados em Chaincode. Apesar de haver estimativas de latência, não há informação de como esses valores foram obtidos. Também não fica claro como é feita a gerência das chaves simétricas, cujo comprometimento afeta potencialmente todos os dados com elas cifrados.

Um *framework* modular para compartilhamento de EHRs com preservação de privacidade, chamado HealthBlock, é proposto em (ABDELGALIL; MEJRI, 2023). Pacientes, provedores de saúde (e.g. laboratórios) e consumidores (e.g. médicos) são identificados através de *Self-Sovereign Identity* (SSI) utilizando *Hyperledger Indy* (HLI), associando credenciais a uma chave pública do paciente e registros de saúde à sua *wallet*. Para viabilizar a delegação de acesso aos registros, é utilizada uma *blockchain* HLF, na qual o *Decentralized Identifier* (DID) e um conjunto de atributos do paciente são vinculados às chaves públicas dos consumidores delegados, por meio da assinatura digital do paciente. Os EHRs são armazenados em IPFS. Não é apresentada uma análise da segurança ou do desempenho computacional do protótipo construído. Também não é definido quem seria responsável por manter as duas *blockchains*

privadas, e não são abordados os problemas que ocorreriam no caso de comprometimento da chave privada de um consumidor. Em casos de emergência médica, seria necessário um terceiro nomeado para acesso aos dados para atender a exigências de leis de proteção de dados.

No domínio de *Vehicular Ad-hoc Networkss* (VANETs), o artigo de (DWIVEDI *et al.*, 2021) apresenta uma arquitetura descentralizada baseada em *blockchain*, para compartilhar, de forma segura, informações de eventos entre *Roadside Units* (RSUs) sem depender de terceiros confiáveis, como servidores em nuvem. Para tanto, são utilizados o IPFS para armazenamento de eventos e um modelo próprio de *blockchain* para autenticação de veículos e RSUs. Um contrato inteligente em Ethereum é utilizado para recuperação de eventos a partir do IPFS. Entretanto, os eventos são armazenados sem criptografia, e a *blockchain* própria não foi implementada.

A arquitetura *Three-tier architecture Blockchain* (TBchain) de (LI *et al.*, 2023a) propõe uma rede *blockchain* em três camadas, com o intuito de possibilitar o armazenamento local de grandes quantidades de dados provenientes de dispositivos IoT de forma segura. As camadas estão organizadas de modo hierárquico, sendo que as transações enviadas para a TBchain passam em sequência por duas camadas de *blockchains* locais. Para alcançar imutabilidade, a última destas envia seus *hashes* para a terceira camada, correspondente à rede Ethereum. Portanto, a TBchain não pode operar como uma rede isolada, pois prevê a validação de suas transações em uma *blockchain* pública. Usuários e dispositivos IoT devem ser registrados na TBchain previamente às suas interações, com controle de acesso *Rule-Based Access Control* (RBAC), e cada usuário na TBchain deve manter sua própria *blockchain* local. Adicionalmente, o trabalho propõe uma arquitetura chamada *Blockchain and IPFS as a Service for IoT* (BI-IoT), que emprega o IPFS para armazenar os dados dos dispositivos IoT, aliviando a pressão de armazenamento sobre a *blockchain* e proporcionando integridade aos dados. Entretanto, a abordagem apresentada realiza o armazenamento dos dados às claras, ficando os arquivos acessíveis a qualquer um com o seu endereço. Não há previsão de exclusão de arquivos, e as camadas locais da TBchain acabam por dificultar o compartilhamento de dados.

O *framework* CareBlock é apresentado por (UPPAL *et al.*, 2021) para um contexto de IoMT, propondo a adoção de quatro *blockchains* distintas com o intuito de orquestrar um fluxo de trabalho abrangendo diagnóstico, tratamento e custeio de despesas de saúde. Essas *blockchains* são designadas para as seguintes quatro entidades: pacientes, médicos, farmacêuticos e seguradoras. Os dados de saúde provenientes de dispositivos IoMT são cifrados pelo paciente utilizando uma chave simétrica e armazenados no IPFS, enquanto o correspondente CID e

aquela chave simétrica, agora criptografada com a chave pública do profissional autorizado a acessar os dados, são registrados na *blockchain* correspondente ao tipo desse profissional. A proposta contempla o uso de uma criptomoeda denominada PlusCoin, visando viabilizar transações financeiras entre pacientes e demais intervenientes, com base em interações entre as quatro *blockchains*. Entretanto, não foi apresentada nenhuma análise de segurança do sistema proposto, observando-se também lacunas na descrição dos procedimentos de distribuição de chaves assimétricas, de revogação de acessos e de exclusão de arquivos armazenados, o que é importante considerando que os profissionais ainda detêm as chaves simétricas para decifrá-los.

(OH *et al.*, 2022) apresenta um sistema para armazenamento e compartilhamento seguros de PHRs baseado em *blockchain*, IPFS, *Key Aggregate Searchable Encryption* (KASE) e *Linear Secret Sharing Scheme* (LSSS), visando garantir que os pacientes tenham plena autoridade sobre o uso de seus registros. Ao contrário dos esquemas KASE existentes, o proposto neste trabalho possibilita, graças ao LSSS, a geração de *trapdoors* para buscas com várias palavras-chave simultaneamente, reduzindo o custo computacional quando é necessário buscar por mais de uma palavra-chave. O paciente envia seus PHRs criptografados ao IPFS, e, através de contratos inteligentes, registra o CID de seus dados e as palavras-chave associadas na *blockchain*. Como exposto, a abordagem depende de o paciente fornecer uma chave de busca agregada, o que não é conveniente em casos de emergência médica.

O trabalho de (MITTAL; GHOSH, 2023) propõe um *framework* para compartilhar dados de saúde de pacientes para um grupo de médicos que realizarão seu tratamento em conjunto. A abordagem consiste em três fases: o registro dos usuários e o armazenamento dos dados, realizados pelo paciente; a requisição e o acesso aos dados, feitos por um médico do grupo; e a comunicação dos dados entre os membros do grupo médico. Essa comunicação ocorre utilizando um mecanismo criptográfico descentralizado para gerar uma chave privada comum para o grupo. O controle de acesso aos dados é mantido através de um mecanismo de *proxy re-encryption*, em que os dados que se encontram criptografados com a chave pública do paciente passarão por uma série de operações matemáticas, de modo que o resultado possa ser, então, decifrado pela chave privada do médico requisitante. Os dados são armazenados no IPFS e os respectivos CIDs em uma *blockchain*. Todavia, a geração da chave de grupo apresenta um *overhead* computacional considerável, podendo não ser aceitável a partir de um certo número de membros, especialmente se realizada por dispositivos com recursos limitados, como IoT.

Um mecanismo para alcançar privacidade, descentralização e balanceamento de

carga em um sistema de armazenamento de dados é apresentado por (WEN; WANG, 2023), objetivando proteger a integridade dos dados e reduzir o tempo consumido em seu processo de recuperação. Um modelo de avaliação de pontuação de confiança de nós, chamado de *Trusted-Scoring Mechanism* (TSM), foi desenvolvido para reduzir as taxas de erro de acesso causadas por *hosts* de armazenamento anormais (defeituosos ou maliciosos) ou por falhas na transmissão, considerando que a falha na recuperação de qualquer segmento de arquivo piora o tempo de resposta e que um pequeno número de segmentos resulta em um tamanho maior de cada segmento de arquivo, exigindo um tempo de transmissão mais longo. A pontuação de confiança é calculada com base no status de retorno de segmentos de arquivo e estatísticas maliciosas compartilhadas por outros usuários através da *blockchain*. Já a solução de privacidade envolve armazenar múltiplos segmentos de arquivos duplicados em *hosts* não confiáveis usando tecnologias de *blockchain* e criptografia, adotando-se um mecanismo de consenso *Proof-of-Stake* (PoS) na abordagem proposta. Todavia, o trabalho não aborda o compartilhamento de dados, e os autores não apresentaram nenhuma análise de segurança. Os números considerados em uma simulação são consideravelmente menores do que os do mundo real, e não foram levados em conta os atrasos decorrentes do processamento e enfileiramento na passagem de uma rede para outra, com custos de comunicação elevados.

(SHARMA *et al.*, 2019) propõe uma arquitetura baseada em *blockchain* para IoV, com o objetivo de compartilhar dados entre veículos conectados na rede através de um ambiente confiável, destacando a possibilidade do uso da natureza das *blockchains* para transações seguras de mensagens das aplicações IoV. Essa arquitetura é formada por quatro camadas: a camada conceitual, a camada de convolução, a camada de controle e a camada de utilidade. O esquema propõe verificar e validar cada transação de dados dos sensores humanos, armazenando-as em blocos. Entretanto, não são apresentados maiores detalhes sobre o armazenamento dos dados em nuvem nem sobre os mecanismos de criptografia necessários à privacidade das informações.

Visando compartilhar dados de rotas de viagem da população a fim de conter a disseminação de COVID-19, mas garantindo a privacidade das pessoas, (LIU; WANG, 2023) usa a estrutura de cadeia federada do HLF combinada com o modelo de armazenamento do IPFS. Enquanto o texto cifrado dos dados completos da trajetória de viagem é armazenado no IPFS, a *blockchain* mantém um índice criptografado que consiste na chave *Advanced Encryption Standard* (AES) usada para criptografar esses dados, o endereço CID retornado pelo IPFS, a localização e o *timestamp* de criação do arquivo. Porém, o esquema necessita de melhorias na

taxa de transferência quando da transmissão de dados em grande escala.

(HEBBALLI *et al.*, 2023) propõe um sistema descentralizado para o gerenciamento de registros médicos, integrando as tecnologias *blockchain*, IPFS e criptografia Rivest-Shamir-Adleman (RSA). No modelo apresentado, os pacientes mantêm o controle sobre o acesso aos seus dados por meio de chaves privadas, enquanto os profissionais de saúde são responsáveis por gerar registros criptografados, que são armazenados na *blockchain* e referenciados via IPFS. O acesso por parte das seguradoras é viabilizado por meio de um mecanismo de *proxy re-encryption*, permitindo a reatribuição do acesso sem a exposição das chaves privadas dos pacientes. Para lidar com situações excepcionais, como o falecimento do paciente, o sistema adota um processo de validação baseado em *One-Time Password* (OTP). No entanto, a solução não contempla a implementação de contratos inteligentes e não discute a viabilidade de armazenar os registros diretamente na *blockchain*. A análise de desempenho foi limitada à comparação entre os algoritmos RSA e AES. O modelo proposto não demonstra compatibilidade com legislações de proteção de dados pessoais, uma vez que não contempla mecanismos para o compartilhamento de informações em casos de emergência médica, tampouco trata da exclusão ou retificação de dados.

Também na área de *e-health*, (ZHENG *et al.*, 2023) propõe um esquema de compartilhamento de EMRs baseado em endereços furtivos de *blockchain* para prevenir a correlação entre transações, cuja análise poderia comprometer a privacidade dos pacientes através de técnicas de *clustering*. Os dados dos EMRs são dessensibilizados e armazenados no IPFS, com seus respectivos CIDs mantidos na *blockchain*. O sistema de endereçamento furtivo utiliza emparelhamentos bilineares baseados em identidade, eliminando a complexidade do gerenciamento de certificados típica de uma *Public Key Infrastructure* (PKI) tradicional. Os autores fornecem uma prova formal de segurança para esse mecanismo de endereçamento. A implementação utilizando *Java Pairing-Based Cryptography* (JPBC) demonstrou que o desempenho do esquema proposto foi inferior ao da tecnologia CryptoNote³, que também visa ocultar a identidade dos participantes em transações de *blockchain*. Contudo, o estudo limitou-se à avaliação do sistema de endereços furtivos, não implementando os contratos inteligentes nem os mecanismos de armazenamento no IPFS. Além disso, o sistema não prevê auditoria, acesso a dados em emergências médicas, nem a possibilidade de apagamento ou alteração de dados pessoais.

No artigo (KAVITHA *et al.*, 2022), os autores propõem a Stag-chain, uma arquitetura

³ <https://bytecoin.org/old/whitepaper.pdf>

baseada em *blockchain* Ethereum. Ela integra uma técnica esteganográfica *Least Significant Bit* (LSB), detalhada por (BANDEKAR; SUGUNA, 2018), com o algoritmo AES e armazenamento descentralizado via IPFS para garantir comunicação segura. Para controlar a disponibilidade do arquivo esteganográfico, ele é publicado no IPFS por um período predefinido, com armazenamento do CID correspondente na *blockchain*. Após a expiração desse período, o arquivo é substituído por uma imagem comum. A implementação da arquitetura utilizou Ganache como cliente Ethereum e, embora os testes tenham mostrado que as imagens resultantes são de alta qualidade, a Stag-chain não incorpora mecanismos específicos de auditoria de operações. Além disso, o estudo não avalia aspectos de desempenho importantes como o consumo de gas dos contratos inteligentes ou o desempenho das operações no IPFS.

Em (MAINUDDIN *et al.*, 2023), os autores propõem o MedVault Nexus, um *framework* centrado no paciente para o compartilhamento eficiente e seguro de EHRs com médicos e instituições de saúde. Sua estrutura utiliza *blockchain* Ethereum, IPFS e contratos inteligentes em Solidity. Os registros médicos dos pacientes são primeiramente criptografados com os algoritmos AES e RSA e, em seguida, armazenados no IPFS. Seus CIDs e metadados correspondentes são, então, registrados na *blockchain*. O serviço Filecoin é empregado para garantir o armazenamento permanente dos dados no IPFS. O paciente compartilha seus registros com médicos e hospitais por um período predeterminado, após o qual o acesso é automaticamente revogado. As principais funcionalidades – autenticação, armazenamento, compartilhamento e acesso a dados – foram implementadas em uma aplicação *web* desenvolvida em ReactJS, e a segurança dos contratos inteligentes foi validada pela ferramenta MythX. No entanto, os testes de desempenho se limitaram aos tempos de criptografia e descriptografia, e não há auditoria direta das operações realizadas no sistema. O *framework* também não prevê a exclusão de arquivos do IPFS por solicitação do paciente, nem a possibilidade de acessos emergenciais aos dados.

Em (SINGH; RATHEE, 2023), o autor propõe um modelo de armazenamento descentralizado através de uma solução de *blockchain* Ethereum e IPFS. O fluxo operacional envolve o *upload* de arquivos para o IPFS, gerando CIDs que são armazenados em contratos inteligentes desenvolvidos em Solidity. A implementação foi testada com Ganache como *blockchain* local, e para interagir com os contratos inteligentes foi utilizado o MetaMask e uma interface *web*. Entretanto, o estudo carece de avaliações quantitativas de desempenho, análise de segurança formal, consumo de gas ou conformidade com regulamentações de proteção de dados. O autor reconhece as limitações relacionadas à revogação de atributos de usuários e à

atualização de políticas de acesso como trabalhos futuros.

Em (MALLICK *et al.*, 2024), os autores propõem um *framework* descentralizado para *Healthcare 4.0*, utilizando IoMT, *blockchain* Ethereum, computação em névoa e IPFS para mitigar as limitações dos sistemas de saúde centralizados, como alta latência, pontos únicos de falha e elevados requisitos de largura de banda. A arquitetura utiliza nós *fog* para processamento próximo aos dispositivos IoMT, o que reduz o congestionamento da rede e a sobrecarga na *blockchain* principal. Para dispositivos não confiáveis, é usado um monitor *proxy* que registra e controla suas atividades. Os dados de saúde são processados localmente pelos nós *fog*, em seguida criptografados e têm seus *hashes* armazenados na *blockchain*, enquanto os arquivos completos são enviados ao IPFS. A solução emprega contratos inteligentes em Solidity para automação de verificações e controle de acesso, utilizando assinatura digital com o algoritmo ECDSA. Foi realizada uma avaliação experimental que mostrou bom desempenho em tempos de *upload* e *download* em comparação com modelos existentes baseados em armazenamento centralizado e *blockchain* em nuvem. Contudo, os testes foram realizados em um ambiente controlado com recursos limitados (três nós *fog* e oito computadores), o que pode resultar em um comportamento diferente em implementações reais de grande escala.

Visando a preservação da privacidade em sistemas de armazenamento em nuvem, especialmente para dados educacionais, (JAIN; JAILIA, 2022) propõe um mecanismo que integra IPFS com a tecnologia *blockchain* para proporcionar um compartilhamento de dados eficiente entre proprietários de dados em nuvem e requisitantes. A arquitetura proposta é dividida em seis fases: configuração; registro de usuário; inicialização do contrato inteligente; armazenamento de dados criptografados; verificação de dados; e compartilhamento de dados baseado em *blockchain*. O IPFS é utilizado para armazenar os dados de forma distribuída, enquanto a *blockchain*, implementada com Ethereum em uma configuração privada/permissionada, gerencia o registro de arquivos criptografados e as transações de acesso por meio de contratos inteligentes. Criptografia de chave pública e *hashing* são usados para garantir segurança e integridade das informações. Embora o trabalho aponte benefícios na segurança, não aborda explicitamente bases legais de proteção de dados pessoais nem trata de como os dados podem ser excluídos. Não são especificados detalhes dos contratos inteligentes ou uma avaliação do consumo de gas.

2.3 Análise dos Trabalhos

A leitura aprofundada desses trabalhos permitiu identificar tendências e lacunas no contexto de privacidade de dados. A fim de facilitar a exposição desses resultados, foram elaboradas tabelas de apoio que sintetizam os dados extraídos dos estudos selecionados relativos a cada uma das questões de pesquisa. Em cada tabela apresentada, apenas os trabalhos que abordam as características relevantes ao contexto analisado são listados.

Dessa forma, para responder às questões de pesquisa **RQ1** e **RQ2** e ainda prover uma visão resumida dessas análises, foram elaboradas as tabelas 4 e 5. A tabela 4 apresenta um resumo das características gerais das soluções propostas, na qual foram avaliados pontos relativos à plataforma *blockchain* escolhida: i) se o tipo de acesso à rede é público, privado ou híbrido (ou seja, uma combinação de ao menos uma rede pública e ao menos uma rede privada), e ii) se a modalidade de acesso é com ou sem permissão. Já a tabela 5 relaciona o mecanismo de armazenamento utilizado na arquitetura e o tipo de acesso aos dados adotado.

A partir da tabela análise das tabelas 4 e 5, observa-se amplo uso de *blockchain*, em especial, Ethereum e HLF, como plataforma de desenvolvimento, combinado ao uso de IPFS como mecanismo de armazenamento e compartilhamento dos dados.

Dentre os principais argumentos relatados para o uso de *blockchain* destacam-se:

- o apoio ao gerenciamento de chaves e à administração de concessão de permissões de forma descentralizada;
- a rastreabilidade das operações;
- a disponibilidade, pois possibilita a execução de tarefas mesmo em caso de falhas de alguns nós;
- a imutabilidade;
- a segurança, possibilitando, inclusive, mecanismos de punição por mau comportamento na rede.

Além disso, a natureza distribuída e imutável de uma *blockchain* protege contra adulterações, enquanto o mecanismo de consenso aumenta a confiabilidade dos dados.

Segundo os estudos analisados, a combinação de *blockchain* com o uso do IPFS reduz a pressão sobre o armazenamento da *blockchain* — ou “*blockchain bloating*” —, aumentando, assim, a escalabilidade, e se mostra como alternativa viável ao armazenamento em nuvem, oferecendo um meio *offchain* seguro com redundância, tolerância a falhas e integridade criptográfica. O armazenamento de dados no IPFS também reduz custos e redundância, evitando pontos

Tabela 4 – Plataformas *blockchain* utilizadas nos trabalhos relacionados

Referência	Plataformas	Tipos de Rede	Tipos de Acesso
(ABOUALI <i>et al.</i> , 2021)			
(ALOBADH <i>et al.</i> , 2021)			
(GHANI <i>et al.</i> , 2020)			
(HOANG <i>et al.</i> , 2020)			
(JABARULLA; LEE, 2021)			
(KAVITHA <i>et al.</i> , 2022)	Ethereum	Pública	<i>Permissionless</i>
(RAJ; GHOSH, 2024)			
(SHREE <i>et al.</i> , 2024)			
(ULLAH <i>et al.</i> , 2022)			
(YEH <i>et al.</i> , 2022)			
(ZHANG; ZHAO, 2023)			
(JAIN; JAILIA, 2022)			
(KAUR <i>et al.</i> , 2024)			
(KUMAR <i>et al.</i> , 2022)	Ethereum	Pública	<i>Permissioned</i>
(MAINUDDIN <i>et al.</i> , 2023)			
(MALLICK <i>et al.</i> , 2024)			
(LI <i>et al.</i> , 2021)	Ethereum; Blockstack	Pública	<i>Permissionless</i>
(LI <i>et al.</i> , 2023a)	Ethereum; TBchain (conceitual)	Pública Privada	<i>Permissionless</i> <i>Permissioned</i>
(NGUYEN <i>et al.</i> , 2019)	Ethereum	Privada	<i>Permissioned</i>
(YEH <i>et al.</i> , 2023)	Ethereum; Bazo	Consórcio	<i>Permissioned</i>
(DWIVEDI <i>et al.</i> , 2021)	Ethereum; Conceitual	Pública Privada	<i>Permissionless</i>
(GAO <i>et al.</i> , 2021)	EOS	Pública	<i>Permissioned</i>
(ABDELGALIL; MEJRI, 2023)	HLF; HLI	Consórcio	<i>Permissioned</i>
(CHEN <i>et al.</i> , 2022)			
(HUANG <i>et al.</i> , 2024)			
(LI <i>et al.</i> , 2023a)	HLF	Consórcio	<i>Permissioned</i>
(LIU; WANG, 2023)			
(TONG <i>et al.</i> , 2024)			
(MITTAL; GHOSH, 2023)	n/e	Consórcio	<i>Permissioned</i>
(WEN; WANG, 2023)			
(UPPAL <i>et al.</i> , 2021)	Conceitual	Híbrida	<i>Permissioned</i>
(OH <i>et al.</i> , 2022)	Conceitual	Pública	<i>Permissionless</i>
(GUO <i>et al.</i> , 2021)	n/e	Pública	n/e
(SINGH; RATHEE, 2023)	n/e	n/e	<i>Permissioned</i>
(ZHENG <i>et al.</i> , 2023)			
(SHARMA <i>et al.</i> , 2019)	n/e	n/e	n/e
(HEBBALLI <i>et al.</i> , 2023)			

n/e: não especificado.

Fonte: elaborada pelo autor.

Tabela 5 – Mecanismos de armazenamento distribuído utilizados nos trabalhos relacionados

Referência	Mecanismo	Tipo de Acesso
(ABDELGALIL; MEJRI, 2023)		
(ABOUALI <i>et al.</i> , 2021)		
(ALOBADH <i>et al.</i> , 2021)		
(CHEN <i>et al.</i> , 2022)		
(DWIVEDI <i>et al.</i> , 2021)		
(GAO <i>et al.</i> , 2021)		
(GHANI <i>et al.</i> , 2020)		
(HEBBALLI <i>et al.</i> , 2023)		
(JABARULLA; LEE, 2021)		
(JAIN; JAILIA, 2022)		
(KAUR <i>et al.</i> , 2024)		
(MALLICK <i>et al.</i> , 2024)		
(MITTAL; GHOSH, 2023)	IPFS	Público
(OH <i>et al.</i> , 2022)		
(RAJ; GHOSH, 2024)		
(SHREE <i>et al.</i> , 2024)		
(SINGH; RATHEE, 2023)		
(TONG <i>et al.</i> , 2024)		
(ULLAH <i>et al.</i> , 2022)		
(UPPAL <i>et al.</i> , 2021)		
(YEH <i>et al.</i> , 2022)		
(YEH <i>et al.</i> , 2023)		
(ZHANG; ZHAO, 2023)		
(ZHENG <i>et al.</i> , 2023)		
(LIU; WANG, 2023)	IPFS	Privado
(NGUYEN <i>et al.</i> , 2019)		
(HUANG <i>et al.</i> , 2024)		
(KAVITHA <i>et al.</i> , 2022)		
(LI <i>et al.</i> , 2023a)	IPFS; Blockchain	Público
(MAINUDDIN <i>et al.</i> , 2023)		
(YANG <i>et al.</i> , 2022)		
(GUO <i>et al.</i> , 2021)	Banco de dados distribuído	Privado
(HOANG <i>et al.</i> , 2020)	Banco de dados descentralizado	Privado
(WEN; WANG, 2023)		
(KUMAR <i>et al.</i> , 2022)		
(LI <i>et al.</i> , 2023b)	Nós descentralizados	Público
(LI <i>et al.</i> , 2021)		
(SHARMA <i>et al.</i> , 2019)	Não	Não

Fonte: elaborada pelo autor.

Tabela 6 – Mecanismos criptográficos utilizados nos trabalhos relacionados para proteção de dados pessoais

Referência	Chave assimétrica	Chave simétrica	Assinatura digital	Hash	Secret sharing	Proxy re-encryption	ABE	Outros
(ABDELGALIL; MEJRI, 2023)	Sim (n/e)	Sim (n/e)	X	X	X	X	X	
(ABOUALI <i>et al.</i> , 2021)	X	Sim (n/e)	X	X	X	Sim (nuCypher)	X	
(ALOBADH <i>et al.</i> , 2021)	X	AES	X	X	X	X	CP-ABE	SSE
(CHEN <i>et al.</i> , 2022)	ECC	AES	ECDSA	X	X	X	X	
(DWIVEDI <i>et al.</i> , 2021)	Sim (n/e)	Sim (n/e)	X	X	X	X	X	
(GAO <i>et al.</i> , 2021)	X	X	X	X	X	X	CP-ABE	
(GHANI <i>et al.</i> , 2020)	X	X	X	X	SSS	X	X	Esteganografia
(GUO <i>et al.</i> , 2021)	X	AES HMAC	X	X	X	X	X	
(HEBBALLI <i>et al.</i> , 2023)	RSA	X	X	SHA-256	X	Sim	X	
(HOANG <i>et al.</i> , 2020)	ECC	X	Em anel	X	X	Sim	CP-ABE	
(HUANG <i>et al.</i> , 2024)	Sim (n/e)	X	ECDSA	Sim (n/e)	X	Sim	X	
(JABARULLA; LEE, 2021)	OpenPGP	X	X	X	X	X	X	
(JAIN; JAILIA, 2022)	Sim (n/e)	X	X	Sim (n/e)	X	X	X	
(KAUR <i>et al.</i> , 2024)	X	X	X	X	X	X	CP-ABE (charm-crypto tool)	
(KAVITHA <i>et al.</i> , 2022)	X	AES	X	SHA-256	X	X	X	Esteganografia
(KUMAR <i>et al.</i> , 2022)	Sim (n/e)	X	X	MDS	X	X	X	
(LI <i>et al.</i> , 2021)	X	Sim (n/e)	X	X	X	X	X	
(LI <i>et al.</i> , 2023a)	X	X	X	SHA-256	X	X	X	
(LI <i>et al.</i> , 2023b)	Sim (n/e)	Sim (n/e)	X	Sim (n/e)	X	X	X	
(LIU; WANG, 2023)	X	AES	X	Sim (n/e)	X	X	X	
(MAINUDDIN <i>et al.</i> , 2023)	RSA	AES	X	SHA-256	X	X	X	
(MALLICK <i>et al.</i> , 2024)	ECC	X	ECDSA	Sim (n/e)	X	X	X	
(MITTAL; GHOSH, 2023)	RSA	X	ECDSA	X	X	Sim	X	
(NGUYEN <i>et al.</i> , 2019)	RSA	X	X	X	X	X	X	
(OH <i>et al.</i> , 2022)	X	X	X	Sim (n/e)	LSSS	X	X	KASE
(RAJ; GHOSH, 2024)	Sim (n/e)	X	X	Sim (n/e)	X	Sim	X	
(SHARMA <i>et al.</i> , 2019)	Sim (n/e)	X	X	X	X	X	X	
(SHREE <i>et al.</i> , 2024)	Sim (n/e)	X	X	X	SSS	X	X	
(SINGH; RATHEE, 2023)	X	X	X	X	Diffie-Hellman	X	CP-ABE	
(TONG <i>et al.</i> , 2024)	X	Sim (n/e)	X	Sim (n/e)	WTSS	X	Sim (n/e)	ZKP
(ULLAH <i>et al.</i> , 2022)	Sim (n/e)	AES	X	Sim (n/e)	Diffie-Hellman	X	X	
(UPPAL <i>et al.</i> , 2021)	Sim (n/e)	Sim (n/e)	X	X	X	X	X	
(WEN; WANG, 2023)	Sim (n/e)	X	X	Sim (n/e)	X	X	X	
(YEH <i>et al.</i> , 2022)	ECC	AES	X	X	X	Sim	X	
(YEH <i>et al.</i> , 2023)	X	X	X	Chameleon hash	X	Sim	X	
(ZHANG; ZHAO, 2023)	X	X	X	X	X	X	CP-ABE (cpabe toolkit)	
(ZHENG <i>et al.</i> , 2023)	Sim (n/e)	Sim (n/e)	X	X	X	X	X	

n/e: não especifica.

X: não utiliza.

Fonte: elaborada pelo autor.

únicos de falha e promovendo a descentralização. Ademais, o IPFS melhora a disponibilidade dos dados, que podem ser acessados inclusive *offline*, e garante a integridade dos registros sem depender de terceiros centralizados.

A partir dos estudos realizados, observa-se que, embora *blockchains* apresentem um *overhead* significativo devido à necessidade de armazenamento da cadeia em diversos nós, sua combinação com IPFS possibilita bom suporte ao armazenamento massivo de dados, atendendo a rigorosos requisitos de segurança, sendo essa abordagem amplamente utilizada, especialmente com Ethereum e HLF.

Já a tabela 6 responde a **RQ3** trazendo um quadro resumo dos mecanismos cripto-

Tabela 7 – Desvantagens citadas nos trabalhos relacionados sobre abordagens de nuvem

Referência	Cloud	Ponto único de falhas	Comprometimento da privacidade	Problemas de segurança em geral	Espalhamento de dados	Alto custo	Problemas de Confiabilidade (dependência de terceiros)
(ABDELGALIL; MEJRI, 2023)	Não usa	✗	✗	✗	✓	✗	✗
(ABOUALI <i>et al.</i> , 2021)	Não usa	✗	✓	✗	✓	✗	✗
(ALOBADH <i>et al.</i> , 2021)	Não usa	✓	✓	✓	✗	✗	✗
(CHEN <i>et al.</i> , 2022)	n/e	✓	✓	✓	✗	✗	✗
(GAO <i>et al.</i> , 2021)	Não usa	✓	✓	✗	✗	✓	✗
(GHANI <i>et al.</i> , 2020)	Não usa	✗	✗	✗	✗	✗	✓
(GUO <i>et al.</i> , 2021)	Usa (AWS)	✗	✗	✓	✗	✗	✗
(HEBBALLI <i>et al.</i> , 2023)	Não usa	✓	✓	✓	✗	✗	✗
(HOANG <i>et al.</i> , 2020)	Não usa	✓	✓	✗	✗	✗	✗
(HUANG <i>et al.</i> , 2024)	n/e	✗	✗	✗	✗	✗	✗
(JABARULLA; LEE, 2021)	Não usa	✓	✓	✗	✓	✓	✗
(JAIN; JAILIA, 2022)	Usa (n/e)	✗	✓	✓	✗	✗	✗
(KUMAR <i>et al.</i> , 2022)	Usa (AWS)	✗	✓	✓	✗	✗	✓
(LI <i>et al.</i> , 2021)	Não usa	✗	✓	✗	✗	✗	✓
(LI <i>et al.</i> , 2023a)	Não usa	✗	✗	✓	✗	✗	✗
(LI <i>et al.</i> , 2023b)	Usa (n/e)	✓	✓	✓	✗	✗	✗
(LIU; WANG, 2023)	Não usa	✓	✓	✓	✗	✗	✗
(MAINUDDIN <i>et al.</i> , 2023)	Não usa	✓	✓	✓	✗	✗	✓
(MITTAL; GHOSH, 2023)	Não usa	✗	✓	✗	✗	✗	✓
(NGUYEN <i>et al.</i> , 2019)	Usa (AWS)	✗	✗	✓	✗	✗	✗
(OH <i>et al.</i> , 2022)	Não usa	✓	✓	✗	✗	✗	✓
(RAJ; GHOSH, 2024)	Não usa	✗	✓	✗	✗	✗	✓
(SHREE <i>et al.</i> , 2024)	Usa (n/e)	✗	✓	✗	✗	✗	✗
(SINGH; RATHEE, 2023)	Não usa	✗	✓	✓	✗	✗	✗
(ULLAH <i>et al.</i> , 2022)	Não usa	✓	✗	✗	✗	✗	✓
(WEN; WANG, 2023)	Não usa	✗	✓	✗	✗	✗	✗
(YANG <i>et al.</i> , 2022)	Usa (AliCloud)	✗	✗	✓	✗	✗	✗
(YEH <i>et al.</i> , 2022)	Não usa	✓	✓	✗	✗	✗	✗
(YEH <i>et al.</i> , 2023)	Não usa	✗	✗	✗	✗	✗	✓
(ZHANG; ZHAO, 2023)	Não usa	✓	✓	✓	✓	✗	✓
(ZHENG <i>et al.</i> , 2023)	Não usa	✓	✗	✓	✗	✗	✗

n/e: não especifica.

✓: aborda como desvantagem.

✗: não aborda como desvantagem.

Fonte: elaborada pelo autor.

gráficos utilizados para proteção de dados pessoais dentre os estudos analisados, onde observa-se predominância no uso de criptografia assimétrica, simétrica e *hashing*. Alguns trabalhos, por sua vez, combinam esses mecanismos com o uso de técnicas mais recentes, como CP-ABE e ZKP.

A fim de responder a **RQ4**, a tabela 7 consolida as principais limitações no uso de computação em nuvem relatadas nos trabalhos selecionados, identificando, na coluna *cloud*, os trabalhos que fazem uso de computação em nuvem. Os principais benefícios explicitados que foram alcançados com o uso dessa tecnologia foram:

- o gerenciamento flexível de armazenamento;
- o menor esforço de manutenção da infraestrutura;
- a rapidez na administração dos dados;
- o menor custo energético;

- a conveniência;
- a escalabilidade;
- a tolerância a falhas.

Conforme delineado em **RQ5** e **RQ6**, o levantamento bibliográfico também teve como meta identificar o nível de maturidade dos estudos em relação aos direcionamentos presentes nos normativos legais vigentes relacionados à privacidade de dados. Em relação a **RQ5**, a tabela 8 resume os achados, discriminando o contexto de aplicação, a base legal mencionada e se há mecanismos de auditoria das operações de tratamento de dados pessoais. Quanto à **RQ6**, a tabela 9 destaca os requisitos legais ausentes nas arquiteturas examinadas, com foco em princípios, direitos do titular e bases legais aplicáveis. Apesar dos estudos apontarem grande preocupação com segurança e privacidade, dentre os 37 estudos analisados, apenas 5 mencionaram alguma legislação específica de privacidade. Além disso, não foi identificado qualquer trabalho que implementasse todas as exigências legais aplicáveis, especialmente em relação ao registro da base legal. Vale destacar que, dentre os trabalhos analisados, (YEH *et al.*, 2023) mostrou-se o mais aderente, necessitando apenas registrar a base legal e a finalidade, quando do registro da operação, e prever o caso de compartilhamento em situação de emergência médica.

Com base na análise dos estudos selecionados, conclui-se que, embora as soluções apresentadas ofereçam vantagens significativas em termos de segurança, integridade e descentralização dos dados, ainda persistem desafios relevantes em relação à conformidade integral com as regulamentações de privacidade de dados.

Como será detalhado no capítulo 4, este trabalho apresenta como diferencial uma abordagem de auditoria do tratamento de dados pessoais, destinada a demonstrar a conformidade das operações com legislações como a GDPR e a LGPD, oferecendo mecanismos para verificar o registro da base legal utilizada, os acessos emergenciais para proteção à vida, o exercício dos direitos de apagamento e retificação, bem como a observância dos princípios de confidencialidade e finalidade. A solução proposta utiliza uma *blockchain* em modelo tradicional, eliminando a possibilidade de alterações nos dados por *backdoors* (e.g. *hash camaleão*), mantendo compatibilidade com ambientes em nuvem e protegendo os sistemas internos das instituições contra acessos externos, uma vez que realiza a comunicação entre elas por meio de eventos na *blockchain*. Por fim, o trabalho inclui a implementação de um *framework* funcional e a descrição da infraestrutura subjacente, acompanhados de uma análise experimental do desempenho da solução.

Tabela 8 – Normativos legais nos trabalhos relacionados

Referência	Contexto	Lei	Auditoria
(GAO <i>et al.</i> , 2021) (HOANG <i>et al.</i> , 2020)	Genérico	–	✓
(GUO <i>et al.</i> , 2021) (KAVITHA <i>et al.</i> , 2022)	Genérico	–	✗
(ABOUALI <i>et al.</i> , 2021) (KUMAR <i>et al.</i> , 2022) (MAINUDDIN <i>et al.</i> , 2023) (MITTAL; GHOSH, 2023) (OH <i>et al.</i> , 2022)	<i>e-health</i>	–	✗
(ABDELGALIL; MEJRI, 2023) (GHANI <i>et al.</i> , 2020) (HEBBALI <i>et al.</i> , 2023) (HUANG <i>et al.</i> , 2024) (KAUR <i>et al.</i> , 2024) (NGUYEN <i>et al.</i> , 2019)	<i>e-health</i>	–	✓
(ALOBADH <i>et al.</i> , 2021) (JABARULLA; LEE, 2021)	<i>e-health</i>	HIPAA	✓
(ZHENG <i>et al.</i> , 2023)	<i>e-health</i>	GDPR; HIPAA	✗
(CHEN <i>et al.</i> , 2022)	IIoT	–	✓
(TONG <i>et al.</i> , 2024)	IIoT	–	✗
(YEH <i>et al.</i> , 2023)	IoMT	GDPR	✓
(LI <i>et al.</i> , 2023b)	IoMT	GDPR; HIPAA	✓
(LI <i>et al.</i> , 2021) (RAJ; GHOSH, 2024)	IoT	–	✓
(ULLAH <i>et al.</i> , 2022) (LI <i>et al.</i> , 2023a)	IoT	–	✗
(MALLICK <i>et al.</i> , 2024)	IoMT	–	✓
(UPPAL <i>et al.</i> , 2021)			
(SHREE <i>et al.</i> , 2024)	IoMT	–	✗
(SINGH; RATHEE, 2023)			
(SHARMA <i>et al.</i> , 2019)	IoV VANET	–	✗
(DWIVEDI <i>et al.</i> , 2021)	ITS	–	✓
(YEH <i>et al.</i> , 2022)	VANET	–	
(JAIN; JAILIA, 2022)	<i>Educational data sharing</i>	–	✓
(WEN; WANG, 2023)	<i>File storage</i>	–	✗
(ZHANG; ZHAO, 2023)	<i>Speech data sharing</i>	–	✓
(LIU; WANG, 2023)	<i>Resident travel trajectory</i>	–	✓

–: não aborda.

✓: sim.

✗: não.

Fonte: elaborada pelo autor.

Tabela 9 – Pontos de não-conformidade legal nos trabalhos relacionados

Referência	Registro em logs da base legal	Proteção à vida (acesso emergencial)	Direito ao apagamento	Princípio da confidencialidade	Direito a retificação	Princípio da finalidade
(ABDELGALIL; MEJRI, 2023)	✗	✗	✗	✓	✓	✓
(ABOUALI <i>et al.</i> , 2021)	✗	✗	✗	✓	✓	✓
(ALOBADH <i>et al.</i> , 2021)	✗	✓	✗	✓	✓	✓
(CHEN <i>et al.</i> , 2022)	✗	✓	✗	✓	✗	✓
(DWIVEDI <i>et al.</i> , 2021)	✗	✓	✓	✗	✓	✓
(GAO <i>et al.</i> , 2021)	✗	✓	✓	✓	✓	✓
(GHANI <i>et al.</i> , 2020)	✗	✓	✗	✗	✓	✓
(GUO <i>et al.</i> , 2021)	✗	✓	✓	✓	✓	✓
(HEBBALLI <i>et al.</i> , 2023)	✓	✗	✓	✓	✗	✓
(HOANG <i>et al.</i> , 2020)	✗	✗	✓	✓	✓	✓
(HUANG <i>et al.</i> , 2024)	✗	✗	✗	✓	✓	✓
(JABARULLA; LEE, 2021)	✓	✓	✓	✗	✓	✓
(JAIN; JAILIA, 2022)	✗	✗	✗	✓	✗	✗
(KAUR <i>et al.</i> , 2024)	✗	✗	✗	✓	✓	✓
(KAVITHA <i>et al.</i> , 2022)	✗	✗	✗	✓	✗	✗
(KUMAR <i>et al.</i> , 2022)	✗	✓	✓	✓	✓	✓
(LI <i>et al.</i> , 2021)	✓	✓	✗	✗	✓	✗
(LI <i>et al.</i> , 2023b)	✗	✓	✓	✓	✓	✓
(LI <i>et al.</i> , 2023a)	✗	✓	✗	✗	✓	✓
(LIU; WANG, 2023)	✗	✗	✗	✓	✗	✓
(MAINUDDIN <i>et al.</i> , 2023)	✗	✗	✗	✓	✗	✓
(MALLICK <i>et al.</i> , 2024)	✗	✓	✗	✓	✗	✓
(MITTAL; GHOSH, 2023)	✗	✗	✗	✓	✓	✓
(NGUYEN <i>et al.</i> , 2019)	✗	✓	✗	✓	✗	✓
(OH <i>et al.</i> , 2022)	✗	✗	✗	✓	✓	✓
(RAJ; GHOSH, 2024)	✗	✓	✗	✓	✓	✗
(SHARMA <i>et al.</i> , 2019)	✗	✓	✓	✓	✓	✓
(SHREE <i>et al.</i> , 2024)	✗	✗	✗	✓	✓	✓
(SINGH; RATHEE, 2023)	✓	✗	✓	✓	✓	✓
(TONG <i>et al.</i> , 2024)	✗	✓	✗	✓	✓	✓
(ULLAH <i>et al.</i> , 2022)	✗	✓	✓	✓	✓	✓
(UPPAL <i>et al.</i> , 2021)	✗	✗	✗	✓	✓	✓
(WEN; WANG, 2023)	✓	✓	✗	✓	✓	✓
(YEH <i>et al.</i> , 2022)	✗	✓	✗	✓	✓	✓
(YEH <i>et al.</i> , 2023)	✗	✗	✓	✓	✓	✗
(ZHANG; ZHAO, 2023)	✗	✓	✗	✓	✓	✓
(ZHENG <i>et al.</i> , 2023)	✗	✗	✗	✓	✓	✓

✓: trata.

✗: não trata.

Fonte: elaborada pelo autor.

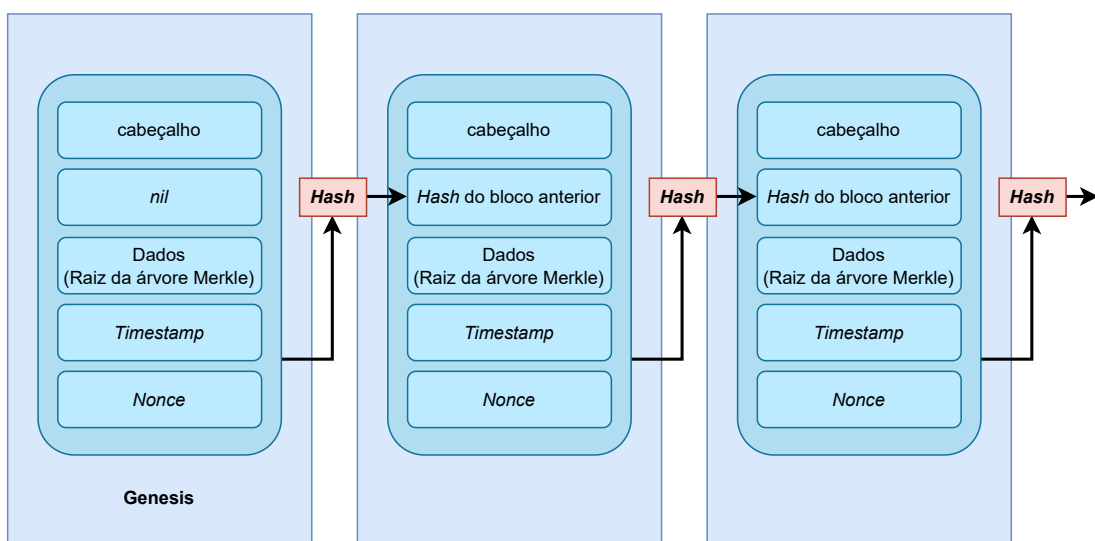
3 FUNDAMENTAÇÃO TEÓRICA

Neste capítulo, as seções 3.1 e 3.2 realizam uma breve introdução aos principais conceitos e tecnologias que serão utilizados mais adiante na proposta de uma arquitetura auditável para compartilhamento de arquivos com dados pessoais entre controladores. Após, na seção 3.3, apresenta-se um breve panorama acerca da adoção de regulamentos de proteção de dados pessoais no mundo, e duas legislações centrais são abordadas de maneira esquematizada: a GDPR, regulamento europeu considerado vanguardista no que tange à proteção de dados pessoais, e a LGPD, norma brasileira influenciada pela europeia. Além de realizar um comparativo entre os termos utilizados nessas leis, são elencados os seus princípios, os direitos previstos para os titulares de dados e as bases legais que possibilitam o tratamento de dados pessoais.

3.1 Blockchain

Uma *Distributed Ledger Technology* (DLT) é um tipo de tecnologia que permite armazenar e manter um livro-razão (ou *ledger*) distribuído de forma descentralizada. Por sua vez, uma *blockchain* é uma DLT baseada em uma rede P2P e estruturada como uma cadeia sequencial e cronológica de blocos estabelecidos através de um mecanismo de consenso que os valida e replica em todos os nós da rede (BELOTTI *et al.*, 2019). A estrutura básica de uma *blockchain* pode ser vista na figura 1.

Figura 1 – Representação da estrutura de uma *blockchain*

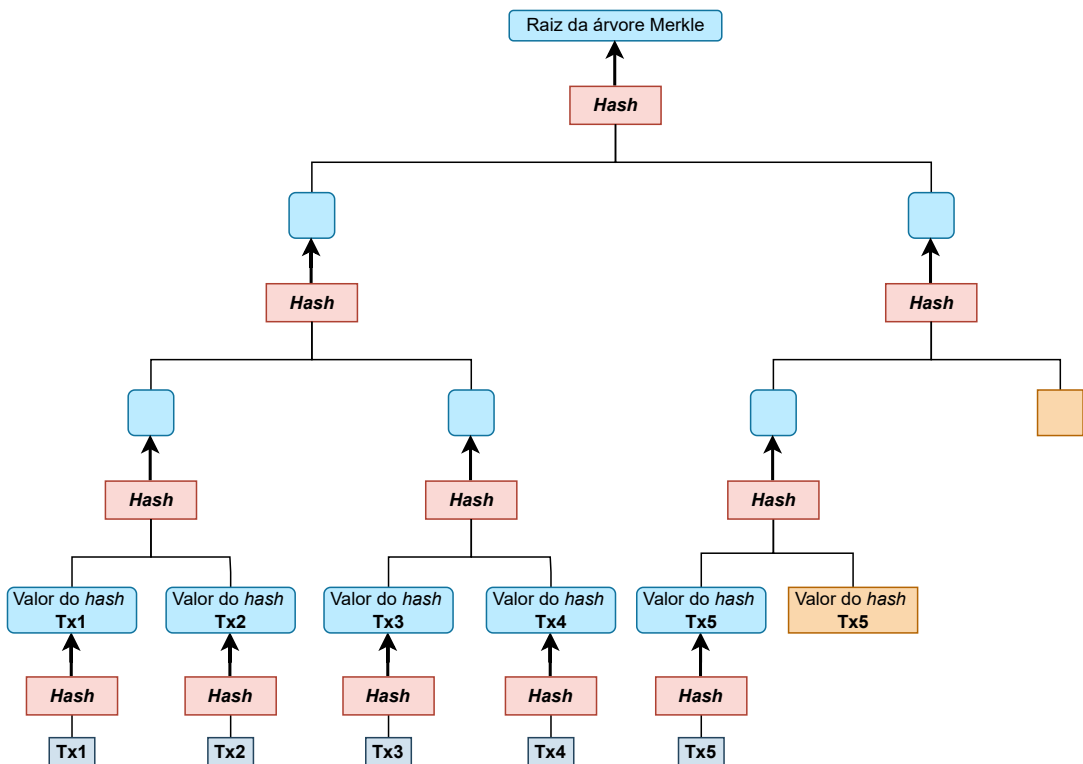


Fonte: ilustração inspirada em (BELOTTI *et al.*, 2019).

Cada bloco contém um conjunto de transações confirmadas em um determinado momento e o *hash* do bloco anterior na cadeia. Devido à resistência a colisões da função *hash*, modificações no conteúdo dos blocos mais antigos se tornam mais inviáveis à medida que a cadeia cresce, propiciando integridade e imutabilidade aos dados já escriturados (YEH *et al.*, 2023). Outras primitivas criptográficas podem ser utilizadas para prover segurança às *blockchains*, como assinaturas digitais e protocolos de PKI.

A organização das transações em uma *blockchain* baseia-se em uma árvore Merkle, que otimiza a verificação das transações em um bloco. Cada transação possui um identificador correspondente a um *hash* criptográfico. Esses identificadores são organizados em pares e processados para formar uma árvore binária cuja raiz é armazenada no cabeçalho do bloco. Esse mecanismo permite que a verificação ocorra sem a necessidade de acessar todas as transações do bloco, utilizando apenas o ramo da árvore de interesse. Caso uma transação seja adulterada, o *hash* correspondente também seria alterado, permitindo sua detecção através de um esforço computacional substancialmente menor (ALI *et al.*, 2019). A figura 2 exibe um exemplo de árvore Merkle, conforme representação ilustrada em (BELOTTI *et al.*, 2019).

Figura 2 – Exemplo de procedimento de árvore de *hash* Merkle



As transações duplicadas (com *hash*) estão marcadas em laranja.
Fonte: diagrama inspirado em (BELOTTI *et al.*, 2019).

Em uma *blockchain*, a confiança não é presumida entre os nós participantes da rede, mas sim estabelecida pela transparência e pela verificação coletiva, promovendo a segurança e a confiabilidade dos dados armazenados (ARBABI *et al.*, 2023). O novo bloco que será adicionado ao livro-razão deve ser selecionado por meio da execução de um mecanismo de consenso, que é um protocolo para assegurar a sincronização dos registros escriturados entre todos os nós quanto às transações que são válidas e que estão prestes a ser adicionadas à *blockchain* (XIAO *et al.*, 2020). Alguns dos mecanismos de consenso mais conhecidos são o *Proof-of-Work* (PoW), utilizado pelo Bitcoin (NAKAMOTO, 2008); o PoS, empregado pelo Ethereum (BUTERIN, 2014) desde 2022, a partir do “The Merge”¹; e o *Practical Byzantine Fault Toleration* (PBFT), usado em algumas configurações de redes privadas, como o Hyperledger Fabric².

As *blockchains* podem ser categorizadas como *permitless* ou *permissioned*. Uma *blockchain permitless* permite que qualquer um se torne um participante e realize atividades como participar ativamente do mecanismo de consenso, enviar novas transações e consultar o estado do livro-razão. Os exemplos mais conhecidos atualmente desse tipo são o Bitcoin e o Ethereum. Por outro lado, em uma *blockchain permissioned*, a participação é restrita, e apenas partes com uma identidade reconhecida pré-verificada são autorizadas a ingressar na rede. Um exemplo proeminente desse tipo é o HLF.

Outra classificação das *blockchains* é quanto ao tipo de acesso, podendo ser públicas, privadas ou de consórcio. *Blockchains* públicas são redes abertas e *permitless*, em que qualquer participante pode ler e submeter transações. Na literatura, por vezes as *blockchains* públicas e *permitless* são consideradas equivalentes, sendo esses termos costumeiramente utilizados de forma intercambiável (ARBABI *et al.*, 2023). *Blockchains* privadas são redes com acesso restrito e governança centralizada em uma organização, priorizando controle sobre seu uso e confidencialidade dos dados, com emprego de autorização para validadores. Por fim, *blockchains* de consórcio são redes *permissioned* regidas por um grupo de entidades, que compartilham a governança, a validação e o controle de acesso.

Embora os estados dos dados em uma *blockchain* possam mudar através da execução de transações, os registros dessas transações são únicos e imutáveis (VERA-RIVERA *et al.*, 2022). Essas transações são agrupadas em blocos, que são selecionados e replicados na rede pelo mecanismo de consenso. A quantidade total de transações em um bloco é variável, mas

¹ O termo “The Merge” refere-se à fusão da rede principal original da Ethereum (mainnet), baseada em consenso PoW, com uma *blockchain* PoS separada chamada Beacon Chain. As duas agora existem como uma única cadeia PoS.

² <https://www.hyperledger.org/projects/fabric> – Acesso em 22/06/2024.

está diretamente limitada por um valor pré-estabelecido para o tamanho máximo dos blocos (BELOTTI *et al.*, 2019). No caso do Bitcoin, esse limite é de 1 MB, enquanto no Ethereum o limite é determinado pelo valor de *gas limit*, como será visto na seção 3.1.2.

Ao fornecer governança descentralizada, imutabilidade de dados e transparência de informações, as *blockchains* impulsionam o desenvolvimento de soluções para vários setores econômicos, incluindo finanças, gerenciamento da cadeia de suprimentos e energia (VERA-RIVERA *et al.*, 2022), sendo uma solução que vem sendo explorada em diversas pesquisas, como pode ser constatado pela análise dos trabalhos relacionados, realizada no capítulo 2 .

3.1.1 *Contratos inteligentes*

A criação do termo contrato inteligente é creditada ao criptógrafo Nicholas “Nick” Szabo, definindo-o como “um protocolo de transação computadorizado que executa os termos de um contrato” para “minimizar exceções maliciosas e acidentais e a necessidade de intermediários confiáveis” (SZABO, 1994). Algumas *blockchains* permitem a invocação de contratos inteligentes, entre as quais a Ethereum e a HLF. Em termos técnicos, um contrato inteligente é um conjunto composto de código e variáveis de estado, ambos armazenados em uma *blockchain*, de modo que as funções do código podem ser executadas para produzir mudanças no estado dessas variáveis. Por estar armazenado em uma *blockchain*, o código não pode ser alterado e, assim, suas operações lógicas não estão sujeitas a interferências de terceiros, dispensando a necessidade de um intermediador para a execução correta de um contrato (YEH *et al.*, 2023). A tecnologia de contratos inteligentes é considerada um facilitador promissor para o compartilhamento seguro e eficiente de dados pessoais, devido às características resultantes da associação com a *blockchain*, como descentralização, *trustlessness*, imutabilidade, rastreabilidade e transparência (ARBABI *et al.*, 2023).

Entretanto, os contratos inteligentes muitas vezes não possuem maturidade suficiente e, algumas vezes, são vulneráveis a ataques de segurança (KAUR *et al.*, 2024), entre os quais vulnerabilidade de reentrância, dependência de *timestamp* e vulnerabilidade de ataque à profundidade da pilha de execução. Ferramentas para achar potenciais vulnerabilidades como Oyente (LUU *et al.*, 2016) e *frameworks* como o OpenZeppelin³ têm sido propostas para melhorar a segurança de contratos inteligentes. Além disso, é importante ressaltar que a linha de execução de contratos inteligentes é exposta aos nós da *blockchain*, já que as transações deverão

³ <https://www.openzeppelin.com/contracts>

ser validadas por todos os participantes da rede, não sendo recomendado, portanto, realizar operações envolvendo dados sensíveis através de contratos inteligentes (YEH *et al.*, 2022).

Várias linguagens são utilizadas para programação de contratos inteligentes, dependendo da *blockchain*. Solidity, por exemplo, é a linguagem utilizada para desenvolver contratos inteligentes para Ethereum, enquanto os contratos para HLF, também chamados de Chaincodes, podem ser escritos em Go, Javascript ou Java. Contratos inteligentes têm sido aplicados em diversos contextos como *Decentralized Finance* (DeFi), *Non-Fungible Tokens* (NFTs), jogos, gerenciamento de documentos, gerenciamento de cadeias de suprimento, *e-healthcare* e escrituração imobiliária.

3.1.2 Ethereum

A Ethereum, proposta por Vitalik Buterin em 2014 (BUTERIN, 2014), é a primeira plataforma *blockchain* pública projetada para a execução de contratos inteligentes. Diferentemente do Bitcoin, cujo foco está predominantemente em transações financeiras, a Ethereum introduz uma infraestrutura computacional descentralizada que permite a construção de contratos inteligentes. Sua arquitetura é baseada em uma máquina de estados determinística, composta por um estado global único e pela *Ethereum Virtual Machine* (EVM), que é responsável por aplicar as mudanças de estado.

Os contratos inteligentes são escritos majoritariamente em Solidity, com restrições práticas relacionadas ao tempo de execução, ao acesso a recursos externos e à limitação de fontes de aleatoriedade. O código é compilado em bytecode e executado pela EVM de forma redundante em milhares de nós distribuídos, que validam e mantêm o estado global da rede. O mecanismo de consenso atualmente adotado é o PoS, substituindo o anterior PoW. O PoS aumentou a eficiência energética, mas ainda assim há limitações de desempenho, atualmente com um *throughput* médio de aproximadamente 15 Transações Por Segundo (TPS) e um tempo médio de produção de blocos de cerca de 12 segundos.

Para controlar o uso computacional da rede, é utilizada uma unidade para medir o esforço necessário para a execução de transações, denominada gas. A criptomoeda Ether atua como meio de pagamento para obtenção de gas, servindo como base para um mecanismo de incentivo e de proteção contra abusos. O limite de gas por bloco, atualmente fixado em 30.000.000 de unidades, define a quantidade máxima de recursos computacionais que pode ser consumida por um bloco. Transações que excedem esse limite são rejeitadas pela rede

(ANTONOPoulos; WOOD, 2018), garantindo a segurança operacional do sistema.

O *bytecode* de um contrato inteligente Ethereum é compilado e executado como uma série de *opcodes*⁴ da EVM. Há *opcodes* para operações comuns, como ADD, AND e XOR, e *opcodes* para operações específicas para o contexto de *blockchain*, como ADDRESS, BALANCE e BLOCKHASH. Para cada *opcode*, há a definição de custo em gas para sua execução, e a composição dos custos das operações individuais realizadas na execução de um contrato inteligente define o seu custo total de execução.

3.2 IPFS

O *InterPlanetary File System* (IPFS) (BENET, 2014) é uma implementação das especificações de um conjunto modular de protocolos e padrões que representa uma rede descentralizada composta por nós chamados de *peers*. Essa rede normalmente é aberta e participativa, e permite organizar e transferir dados com base no conteúdo ao invés de endereços, mas é possível configurá-la de modo privativo. Ele aborda diversos aspectos problemáticos encontrados na web atual e em seus protocolos de transferência de dados, como o *Hypertext Transfer Protocol* (HTTP), incluindo verificabilidade, resiliência, centralização, desempenho, links quebrados, soberania e propriedade de dados, armazenamento *off-chain*, software de primeiro uso local e a amarração a fornecedores. Os subsistemas do IPFS têm três responsabilidades principais em relação aos dados: representação e endereçamento, roteamento e transferência. As ideias fundamentais por trás de sua concepção incluem o uso de *hashing* criptográfico para endereçar dados de forma única, a promoção da imutabilidade de conteúdo, a persistência, permanência e *pinning* (fixação) de dados, e a participação ativa de nós na rede descentralizada (IPFS, 2023). Para ingressar na rede IPFS, um nó deve gerar um par de chaves e estabelecer contato com nós de inicialização. Cada nó é identificado pelo *hash* de sua chave pública, obviamente único, conhecido, neste contexto, como PeerID (HUANG *et al.*, 2020).

O IPFS utiliza um esquema de endereçamento baseado em conteúdo cujos identificadores únicos, chamados de CID, são baseados em *hashes* de informações sobre o conteúdo do arquivo. A ideia por trás dos CIDs é desvincular o nome do conteúdo de sua localização de armazenamento. Essa decisão possibilita a descentralização do armazenamento, da entrega de conteúdo e da gestão de endereços, evitando a dependência de fornecedores exclusivos e eliminando a necessidade de autoridades centrais.

⁴ <https://ethereum.org/en/developers/docs/evm/opcodes/>

Quando o conteúdo de um arquivo é adicionado ao IPFS, ele é dividido em pedaços de tamanho padrão de 256 kB, sendo que cada um recebe seu próprio CID. Uma vez que todos os pedaços tenham o seu CID definido, o IPFS constrói um *Directed Acyclic Graph* (DAG) Merkle do arquivo. Um DAG Merkle é uma estrutura de dados semelhante a uma árvore Merkle (seção 3.1), mas sem os requisitos de equilíbrio. O nó raiz combina todos os CIDs de seus nós descendentes e forma o CID final do conteúdo (a raiz). Um nó pode ter vários pais, permitindo a deduplicação de pedaços, ou seja, um mesmo conteúdo não precisa ser armazenado ou transmitido duas vezes, economizando recursos de armazenamento e largura de banda. Graças a essa estrutura, os CIDs são imutáveis e auto-certificáveis, ou seja, um conteúdo não pode ser alterado sem modificar seu respectivo CID (TRAUTWEIN *et al.*, 2022).

A publicação ou recuperação de um objeto ocorre através de um mapeamento entre um CID e um PeerID. Esses mapeamentos são indexados em uma *Distributed Hash Table* (DHT) baseada no Kademlia (MAYMOUNKOV; MAZIÈRES, 2002), que é semelhante à DHT principal do BitTorrent (JIMENEZ *et al.*, 2011). Novos nós ingressam como servidores se tiverem conectividade IP pública, ou como clientes, se não forem acessíveis publicamente. Para isso, o IPFS utiliza uma técnica chamada de AutoNAT, em que um novo nó ingressa como cliente, mas solicita imediatamente que outros nós na rede iniciem conexões de volta para ele. Se três ou mais nós conseguirem se conectar, esse novo nó é então promovido a servidor DHT (TRAUTWEIN *et al.*, 2022).

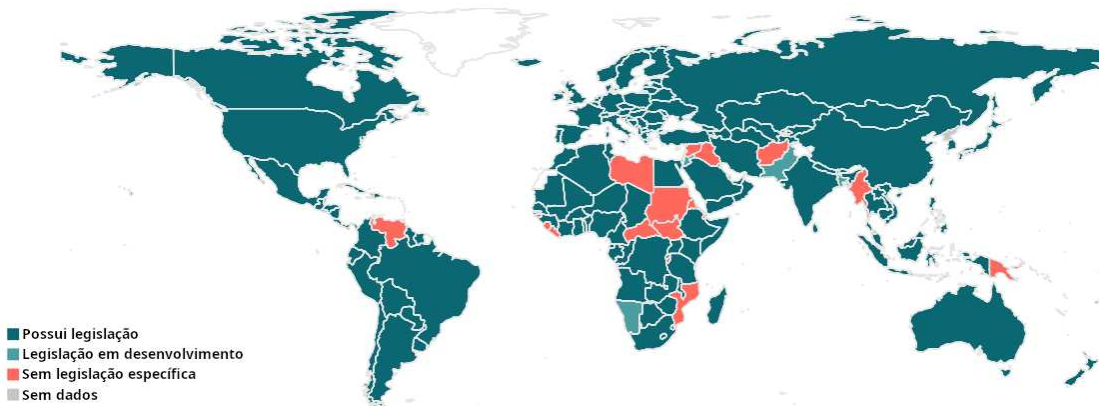
Os principais subsistemas e componentes do IPFS, conforme sua documentação oficial (IPFS, 2023), estão listados a seguir.

1. CIDs: identificam dados com base em seu conteúdo, não na localização.
2. Bitswap: protocolo para troca de blocos de dados entre pares.
3. DHTs: auxiliam no roteamento e descoberta de conteúdo.
4. DNSLink: permite vincular CIDs a domínios *Domain Name System* (DNS).
5. Sistemas de arquivos: Gerenciam armazenamento e recuperação de dados.
6. IPFS *Gateway*: fornece acesso a conteúdo IPFS através da *web* convencional.
7. *InterPlanetary Linked Data* (IPLD): estrutura de dados que permite conectar sistemas de armazenamento diversos.
8. *InterPlanetary Name System* (IPNS): sistema de nomes IPFS baseado em *blockchain*.
9. libp2p: biblioteca para construção de redes P2P.
10. DAGs Merkle: estruturas de dados para representar as informações.

Apesar de o IPFS não ser um mecanismo de armazenamento nativo para *blockchains*, é uma alternativa muito utilizada para prover armazenamento *off-chain*. Convém salientar que, caso grandes quantidades de dados fossem diretamente armazenadas na *blockchain*, haveria grande *overhead* sobre os clientes que necessitem ter uma cópia completa dos dados dos blocos (CHEN *et al.*, 2022).

3.3 Legislações sobre Privacidade de Dados

Figura 3 – Panorama mundial de legislações de proteção de dados



Fonte: extraído e traduzido de (CNUCED, 2024)

As preocupações relativas à segurança no tratamento de dados pessoais têm-se intensificado com o aumento de ataques cibernéticos, o mau uso de dados pessoais, a crescente transformação digital dos serviços e a ampliação da coleta desses dados. Em resposta, diversos países ao redor do mundo têm implementado leis rigorosas de proteção de dados. Essas regulamentações visam garantir que a coleta, armazenamento e processamento de dados pessoais sejam realizados de maneira responsável e segura, respeitando a privacidade dos indivíduos e mitigando riscos de abusos. A existência dessas regulamentações também aumenta a segurança jurídica, reduz os encargos administrativos e os custos de conformidade para as organizações que operam em vários países, e aumenta a confiança dos consumidores no mercado digital (DLA Piper, 2022).

A figura 3, extraída do *website* da Conferência das Nações Unidas sobre Comércio e Desenvolvimento (CNUCED), mostra uma visão geral da existência de leis de proteção de dados e privacidade ao redor do mundo. De acordo com a mesma fonte, 71% dos países adotam leis de proteção de dados; 9% têm projetos em discussão; 15% não possuem legislação; e não há informação para os 5% remanescentes. A tabela 10 mostra uma pequena relação não exaustiva

de regiões e as correspondentes normas de privacidade e proteção de dados.

Tabela 10 – Alguns regulamentos de proteção de dados no mundo

Região	Leis	Vigência	Outros regulamentos relevantes
África do Sul	POPIA	2021	CF/88
Brasil	LGPD	2020	Lei 10.406/2002 (Código Civil) Lei 12.965/2014 (Marco Civil da Internet)
Canadá	PIPEDA	2000	
China	PIPL	2021	CSLDSL
Coreia do Sul	PIPA	2011	
EUA – Califórnia	CPPA CPRA	2020 2023	HIPAA
EUA – Colorado	CPA	2023	
EUA – Connecticut	CTDPA	2023	
EUA – Utah	UCPA	2023	
EUA – Virgínia	VCDPA	2023	
Japão	APPI	2023	
Nova Zelândia	TPA	2020	IPP
Reino Unido	DPA	2018	
Rússia	RDPA (revisão)	2015	RCSC
Singapura	PDPA (revisão)	2021	
UE	GDPR	2018	

Fonte: elaborada pelo autor a partir de (DLA Piper, 2022).

Apesar da numerosa quantidade de regulamentos existentes, o restante dessa seção destina-se a detalhar apenas a GDPR e a LGPD. A GDPR foi um dos normativos selecionados, pois, desde sua implementação em 2018, é reconhecida como a legislação mais rigorosa e influente sobre proteção de dados, servindo de modelo para outras regulamentações globais. Já a LGPD, embora também seja inspirada na GDPR, adapta seus princípios ao contexto brasileiro e estabelece diretrizes específicas para o tratamento de dados no Brasil. Considerando a posição do Brasil como uma das maiores economias da América Latina, a LGPD é crucial para a regulamentação de privacidade de dados na região. Além disso, ter estudos com foco sobre a LGPD ajuda a fomentar o interesse acadêmico nacional no tema. Ressalta-se que, apesar do foco nesses dois regulamentos, a arquitetura proposta é adaptável para outras leis, como as elencadas na tabela 10.

3.3.1 Terminologia

Para familiarizar o leitor com a terminologia utilizada no contexto de privacidade de dados pessoais, a tabela 11 oferece um quadro comparativo entre os principais conceitos da GDPR e da LGPD. Embora existam semelhanças, os conceitos apresentados não são totalmente equivalentes, pois cada legislação reflete as particularidades e necessidades jurídicas de suas respectivas jurisdições. Vale ressaltar que a tabela serve como um guia inicial para entender as diferenças e similaridades entre esses dois marcos regulatórios, mas não substitui uma análise detalhada de cada conceito em seu contexto específico de aplicação.

3.3.2 GDPR

Em vigor desde 25 de maio de 2018, a GDPR é uma das legislações de proteção de dados mais abrangentes e rigorosas do mundo. Pensada para “aumentar a certeza jurídica, reduzir o ônus administrativo e o custo de conformidade para organizações ativas em vários Estados Membros da UE, e aumentar a confiança do consumidor no único mercado digital”, ela estabelece diretrizes claras sobre a coleta, processamento e armazenamento de dados pessoais e concede aos cidadãos da UE maior controle e proteção sobre suas informações pessoais, impondo obrigações a organizações que realizam tratamento de dados independentemente de se situarem ou não nos limites territoriais da UE (DLA Piper, 2022). A GDPR prevê a aplicação de multas severas àqueles que violem seus padrões de privacidade e segurança, com penalidades que chegam a dezenas de milhões de euros⁵. A fim de reforçar a relevância na conformidade com o regulamento, a figura 4 exibe a quantidade de multas aplicadas por setor, bem como o montante gasto pelas instituições a fim de quitar o débito gerado.

3.3.2.1 Princípios da GDPR

Nesta seção, serão discutidos os princípios fundamentais segundo o artigo 5 da GDPR, que constituem a base normativa para o processamento de dados pessoais. Estes princípios orientam tanto as práticas organizacionais quanto as individuais no manuseio de informações pessoais. A GDPR enumera os seguintes princípios:

1. **Licitude, justiça e transparência:** assegura que organizações informem as pessoas sobre como usarão seus dados pessoais.

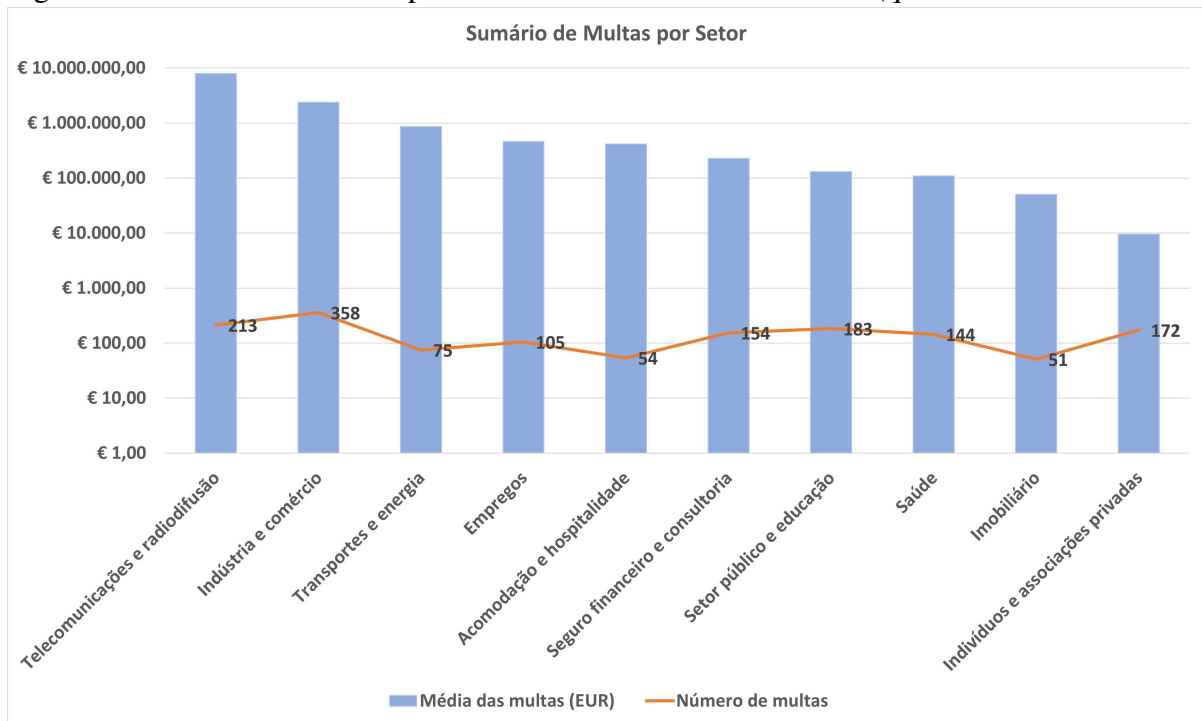
⁵ <https://www.enforcementtracker.com>

Tabela 11 – Comparaçao entre conceitos da GDPR e LGPD

GDPR	LGPD	Descrição comum
<i>Data subject</i>	Titular de dados	Pessoa natural a quem se referem os dados pessoais que são objeto de tratamento.
<i>Personal data</i>	Dado pessoal	Informação relacionada a uma pessoa natural identificada ou identificável.
<i>Processing</i>	Tratamento	Qualquer operação realizada com dados pessoais, como coleta, armazenamento, uso, etc.
<i>Controller</i>	Controlador	Pessoa que determina os propósitos e meios de tratamento de dados pessoais.
<i>Processor</i>	Operador	Pessoa que processa dados pessoais em nome do controlador.
<i>Consent</i>	Consentimento	Manifestação de vontade livre, específica, informada e inequívoca pela qual o titular concorda com o tratamento de seus dados pessoais.
<i>Genetic data, biometric data, data concerning health</i>	Dado pessoal sensível	Dados sobre origem racial, convicção religiosa, opinião política, saúde, vida sexual, dados genéticos ou biométricos.
<i>Pseudonymisation</i>	Anonimização	Tratamento de dados pessoais de forma que não possam ser atribuídos a um titular específico sem informações adicionais.
<i>Data protection officer</i>	Encarregado	Pessoa indicada para atuar como canal de comunicação entre o controlador, os titulares dos dados e a Autoridade Nacional ou <i>Supervisory authority</i> .
<i>Personal data breach</i>	Não há definição explícita	Violação de segurança que leva à destruição, perda, alteração, divulgação não autorizada ou acesso aos dados pessoais transmitidos, armazenados ou de outro modo processados.
<i>Filing system</i>	Banco de dados	Conjunto estruturado de dados pessoais, estabelecido em um ou em vários locais, em suporte eletrônico ou físico.
<i>Erasure or forgotten</i>	Eliminação	Exclusão de dado ou de conjunto de dados armazenados em banco de dados, independentemente do procedimento empregado.
<i>Restriction of processing</i>	Bloqueio	Suspensão temporária de qualquer operação de tratamento, mediante guarda do dado pessoal ou do banco de dados.
<i>General principle for transfers</i>	Transferência internacional de dados	Transferência de dados pessoais para país estrangeiro ou organismo internacional.
<i>Third party</i>	Uso compartilhado de dados	Comunicação, difusão, transferência internacional, interconexão de dados pessoais ou tratamento compartilhado de bancos de dados pessoais por órgãos e entidades públicas e privadas.
<i>Supervisory authority</i>	Autoridade Nacional	Órgão da administração pública responsável por zelar, implementar e fiscalizar o cumprimento desta Lei em todo o território nacional.

Fonte: elaborada pelo autor a partir de (Parlamento Europeu, Conselho da União Europeia, 2016) e (Brasil, 2018).

Figura 4 – Sumário de multas aplicadas com fundamento na GDPR (quantidade e valor médio)



Fonte: (CMS Law, 2023)

2. **Limitação de propósito:** as organizações só podem coletar dados pessoais para fins específicos.
3. **Minimização de dados:** limita os dados coletados aos que as organizações necessitam para realizar determinado processamento.
4. **Precisão e atualização:** as organizações que coletam e processam os dados devem garantir sua exatidão e atualizá-los. Também devem alterá-los ou apagá-los a pedido de seus titulares.
5. **Limitação de armazenamento:** as organizações não reterão dados coletados por mais tempo do que o necessário.
6. **Integridade e confidencialidade:** organizações devem aplicar medidas de segurança e proteção apropriadas para proteger os dados contra roubo e acesso não autorizado.
7. **Conformidade:** controladores de dados devem demonstrar conformidade com a lei.

3.3.2.2 *Direitos dos titulares na GDPR*

Esta seção sintetiza os direitos dos titulares de dados conforme o capítulo 3 da GDPR. Para uma descrição detalhada, consulte (Parlamento Europeu, Conselho da União Europeia, 2016). Os seguintes artigos tratam desses direitos:

- **Artigo 12 - Transparência, informação e comunicação:** o controlador deve comunicar, de forma clara, concisa, transparente e facilmente acessível, informações acerca das operações realizadas sobre os dados pessoais.
- **Artigo 13 - Informações a serem fornecidas ao titular quando os seus dados pessoais são coletados:** estabelece as informações que devem ser fornecidas ao titular dos dados no ato da coleta.
- **Artigo 14 - Informações a serem fornecidas ao titular se os seus dados pessoais forem obtidos de outras fontes:** define as informações que devem ser fornecidas ao titular dos dados quando os dados pessoais foram obtidos de outras fontes que não diretamente dele.
- **Artigo 15 - Direito de acesso do titular dos dados:** garante ao titular o direito de obter, do controlador, confirmação de que seus dados pessoais estão sendo ou não processados, além de informações que sejam relevantes sobre esse processamento e o acesso aos próprios dados.
- **Artigo 16 - Direito de retificação:** permite ao titular obter a correção de dados pessoais imprecisos ou incompletos.
- **Artigo 17 - Direito ao apagamento (ou direito ao esquecimento):** obriga o controlador, mediante certas circunstâncias, a realizar a eliminação dos dados pessoais de um titular.
- **Artigo 18 - Direito à limitação do tratamento:** consiste no direito de obter restrições quanto ao tratamento de seus dados em situações específicas.
- **Artigo 19 - Obrigação de notificação em caso de retificação, apagamento ou limitação do tratamento de dados:** trata da obrigação do controlador de notificar os destinatários com quem os dados pessoais foram compartilhados sobre a necessidade de retificação, apagamento ou limitação do tratamento, a menos que essa notificação seja impossível ou exija um esforço desproporcional.
- **Artigo 20 - Direito à portabilidade de dados:** permite ao titular obter seus dados junto a um controlador em um formato estruturado, de uso comum e de leitura automática, para encaminhamento a outro controlador.
- **Artigo 21 - Direito de oposição:** assegura ao titular dos dados o direito de se opor a determinados tipos de tratamento de dados pessoais, incluindo a criação de perfis baseada em interesses legítimos ou para marketing direcionado.
- **Artigo 22 - Objecção a decisões automatizadas:** estabelece o direito do titular de não ser submetido a decisões baseadas exclusivamente em processamento automatizado. Entre

essas decisões estão a definição de perfil, as que venham a produzir efeitos jurídicos ou a afetar significativamente o titular.

- **Artigo 23 - Restrições:** permite restrições aos direitos dos titulares desde que previstas por lei, guardando a proporcionalidade e o respeito aos direitos fundamentais, por motivação de segurança nacional, defesa, segurança pública, investigação de crimes, interesses econômicos ou financeiros, independência judicial, monitoramento de funções públicas e direitos de terceiros.

3.3.2.3 *Bases legais da GDPR para tratamento de dados pessoais*

A tabela 12 apresenta resumidamente as situações em que o tratamento de dados pessoais é permitido, segundo a GDPR.

Tabela 12 – Bases legais para processamento de dados pessoais segundo o Artigo 6º da GDPR

Inciso	Base legal	Descrição
1	Consentimento	O titular deve fornecer seu consentimento para o processamento de seus dados pessoais para uma ou mais finalidades específicas.
2	Execução de contrato	O processamento é necessário para executar contrato do qual o titular é parte ou para procedimentos preliminares a ele relacionados.
3	Obrigações legais	O processamento é necessário para o cumprimento de uma obrigação legal à qual o controlador está sujeito.
4	Interesses vitais	O processamento é necessário para proteger os interesses vitais do titular dos dados ou de outra pessoa natural.
5	Interesse público	O processamento é necessário para o desempenho de uma tarefa realizada no interesse público ou no exercício de autoridade oficial investida no controlador.
6	Interesses legítimos	O processamento é necessário para atender aos interesses legítimos do controlador ou de um terceiro, exceto quando tais interesses são sobrepostos pelos interesses ou direitos e liberdades fundamentais do titular dos dados, especialmente se ele for uma criança.

Fonte: elaborada pelo autor a partir de (Parlamento Europeu, Conselho da União Europeia, 2016).

3.3.3 *LGPD*

Com o objetivo de proteger os direitos fundamentais de liberdade e privacidade e a livre formação da personalidade, a LGPD (Brasil, 2018) foi promulgada em 2018, entrando em vigor em agosto de 2020 e prevendo sanções a partir de agosto de 2021.

Nesse contexto, a ANPD é o órgão central de interpretação e fiscalização da LGPD no Brasil, tendo iniciado suas atividades em 2020. Ele possui atribuições que abrangem aspectos orientativos, normativos, fiscalizatórios e sancionatórios, sendo responsável por estabelecer normas e diretrizes para a implementação da LGPD em instituições públicas e privadas nos níveis federal, estadual e municipal.

De acordo com informações divulgadas pela própria ANPD, até agosto de 2023, foram recebidas 237 CISs, atualmente em análise. Entre os incidentes, destacam-se os casos relacionados a *ransomware*, que representam 97 ocorrências (ANPD, 2023). O documento também aponta para a possibilidade de ocorrência de subnotificação no Brasil, considerando que outros países apresentam números significativamente mais elevados de incidentes relatados, como 4.000 casos na França e 8.800 na Inglaterra. Um agente de tratamento de dados precisa implantar controles e medidas técnicas de segurança da informação adequadas para que possa identificar um incidente e comunicá-lo à autoridade competente aplicável e aos titulares, algo que, no Brasil, ainda está em um estágio de maturidade inicial.

Quanto às sanções, após a publicação da norma específica de dosimetria em fevereiro de 2023, foram aplicadas penalidades em 2 processos administrativos contra agentes públicos e privados, e outros 7 permanecem em análise. A tabela 13 exibe a quantidade anual de CISs recebidos a partir do ano de 2021. Já a figura 5 apresenta os números relativos aos requerimentos recebidos no mesmo período.

Tabela 13 – Quantidade de CISs recebidas pela ANPD por ano

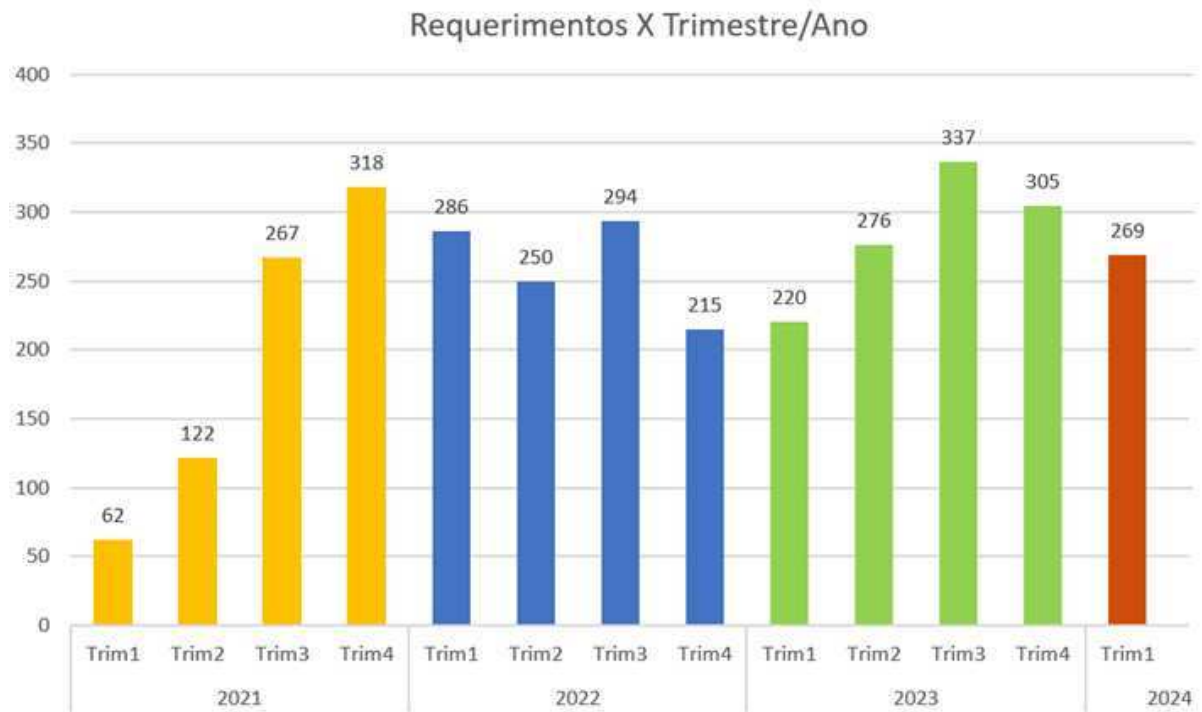
Ano	Comunicados no ano	Acumulado desde 2021
2021	186	186
2022	275	461
2023	352	813
2024*	152	965

* dados disponíveis até o mês de junho.

Fonte: elaborada pelo autor a partir de (ANPD, 2023).

Com base nesses dados, observa-se uma tendência de aumento no número de comunicados de incidentes recebidos. Já a quantidade de requerimentos formais apresentados ao órgão mantém-se relativamente estável: desconsiderando os dois primeiros trimestres avaliados, esse volume varia entre 215 e 337 registros por semestre, com média aproximada de 250. Ainda segundo (ANPD, 2023), a expectativa é que, à medida que os agentes de tratamento compreendam e se alinhem aos padrões mínimos de segurança, haja um crescimento significativo na quantidade

Figura 5 – Requerimentos recebidos pela ANPD por período



Fonte: elaborada pelo autor a partir de (ANPD, 2023).

de notificações de incidentes de segurança no Brasil. Esse cenário reforça a importância do aprimoramento contínuo das práticas de segurança da informação e do fortalecimento da cultura de proteção de dados nas organizações.

3.3.3.1 Princípios da LGPD

Esta seção apresenta uma transcrição dos princípios fundamentais estabelecidos pela LGPD em seu artigo 6º (Brasil, 2018). Esses princípios constituem a base normativa para o tratamento de dados pessoais e orientam as práticas que organizações e indivíduos devem seguir no manuseio desse tipo de informação.

- *I - finalidade: realização do tratamento para propósitos legítimos, específicos, explícitos e informados ao titular, sem possibilidade de tratamento posterior de forma incompatível com essas finalidades;*
- *II - adequação: compatibilidade do tratamento com as finalidades informadas ao titular, de acordo com o contexto do tratamento;*
- *III - necessidade: limitação do tratamento ao mínimo necessário para a realização de suas finalidades, com abrangência dos dados pertinentes, proporcionais*

e não excessivos em relação às finalidades do tratamento de dados;

- *IV - livre acesso: garantia, aos titulares, de consulta facilitada e gratuita sobre a forma e a duração do tratamento, bem como sobre a integralidade de seus dados pessoais;*
- *V - qualidade dos dados: garantia, aos titulares, de exatidão, clareza, relevância e atualização dos dados, de acordo com a necessidade e para o cumprimento da finalidade de seu tratamento;*
- *VI - transparência: garantia, aos titulares, de informações claras, precisas e facilmente acessíveis sobre a realização do tratamento e os respectivos agentes de tratamento, observados os segredos comercial e industrial;*
- *VII - segurança: utilização de medidas técnicas e administrativas aptas a proteger os dados pessoais de acessos não autorizados e de situações acidentais ou ilícitas de destruição, perda, alteração, comunicação ou difusão;*
- *VIII - prevenção: adoção de medidas para prevenir a ocorrência de danos em virtude do tratamento de dados pessoais;*
- *IX - não discriminação: impossibilidade de realização do tratamento para fins discriminatórios ilícitos ou abusivos;*
- *X - responsabilização e prestação de contas: demonstração, pelo agente, da adoção de medidas eficazes e capazes de comprovar a observância e o cumprimento das normas de proteção de dados pessoais e, inclusive, da eficácia dessas medidas.*

3.3.3.2 Direitos dos titulares na LGPD

Esta seção elenca os direitos dos titulares de dados pessoais, conforme estabelecido pelo capítulo III da LGPD. Esses direitos conferem aos indivíduos maior autonomia na gestão de suas informações pessoais, promovendo a proteção da privacidade e assegurando o cumprimento rigoroso das disposições legais pelas organizações envolvidas no tratamento de dados.

- Artigo 18, I - **Confirmação da existência do tratamento:** direito de obter a confirmação de que seus dados pessoais estão sendo processados.
- Artigo 18, II - **Acesso aos dados:** garante a um indivíduo o acesso aos dados pessoais que lhe dizem respeito.

- Artigo 18, III - **Correção de dados**: assegura a correção de dados pessoais incompletos, inexatos ou desatualizados, mediante solicitação do titular.
- Artigo 18, IV - **Anonimização, bloqueio ou eliminação**: permite o pedido de anonimização, bloqueio ou eliminação de dados desnecessários, excessivos ou tratados em desconformidade com a lei.
- Artigo 18, V - **Portabilidade dos dados**: confere o direito ao titular de solicitar a portabilidade de seus dados pessoais para outro fornecedor de serviço ou produto, mediante regulamentação da autoridade nacional.
- Artigo 18, VI - **Eliminação dos dados tratados com consentimento**: estabelece o direito de solicitar a eliminação dos dados pessoais tratados com o consentimento do titular.
- Artigo 18, VII - **Informação sobre compartilhamento de dados**: permite ao titular obter informações sobre as entidades públicas e privadas com as quais o controlador realizou uso compartilhado de dados.
- Artigo 18, VIII - **Informação sobre a possibilidade de não consentir**: estabelece que o titular deve ser informado sobre a possibilidade de não fornecer consentimento e sobre as consequências dessa negativa.
- Artigo 18, IX - **Revogação do consentimento**: garante ao titular o direito de revogar o consentimento, mediante manifestação expressa, em procedimento gratuito e facilitado.
- Artigo 19 - **Confirmação de existência e acesso**: a confirmação de existência ou o acesso aos dados pessoais serão providenciados de forma imediata, em formato simplificado, ou em até 15 dias, se em formato claro e completo. Essas informações devem ser fornecidas em meio eletrônico ou impresso, a critério do titular.
- Artigo 20 - **Revisão de decisões automatizadas**: permite ao titular solicitar a revisão de decisões tomadas unicamente com base em tratamento automatizado de dados pessoais que afetem seus interesses, incluindo decisões destinadas a definir o seu perfil pessoal, profissional, de consumo e de crédito ou os aspectos de sua personalidade.
- Artigo 21 - **Proteção contra uso prejudicial de dados**: resguarda os titulares contra o uso prejudicial de seus dados ao exercerem seus direitos.
- Artigo 22 - **Direito à defesa judicial**: assegura que a defesa dos interesses e dos direitos dos titulares de dados poderá ser exercida em juízo, individual ou coletivamente, na forma do disposto na legislação pertinente, acerca dos instrumentos de tutela individual e coletiva.

3.3.3.3 Bases legais da LGPD para tratamento de dados pessoais

Segundo o artigo 7º da LGPD, o tratamento de dados pessoais somente poderá ser realizado nas hipóteses descritas na tabela 14.

Tabela 14 – Bases legais para processamento de dados pessoais segundo o Artigo 7º da LGPD

Inciso	Base legal	Descrição
I	Consentimento	O titular dos dados deu consentimento, de forma livre, informada e inequívoca, para o tratamento de seus dados pessoais para uma finalidade específica.
II	Cumprimento de obrigação legal	O tratamento é necessário para o cumprimento de uma obrigação legal ou regulatória pelo controlador.
III	Execução de políticas públicas	O tratamento é realizado pela administração pública para a execução de políticas públicas, previstas em leis ou regulamentos.
IV	Estudos por órgão de pesquisa	O tratamento é necessário para a realização de estudos por órgão de pesquisa, garantida, sempre que possível, a anonimização dos dados pessoais.
V	Execução de contrato	O tratamento é necessário para a execução de um contrato no qual o titular dos dados é parte, ou para procedimentos preliminares relacionados a um contrato.
VI	Exercício regular de direitos	O tratamento é necessário para o exercício regular de direitos em processo judicial, administrativo ou arbitral.
VII	Proteção da vida	O tratamento é necessário para proteger a vida ou a incolumidade física do titular dos dados ou de terceiros.
VIII	Tutela da saúde	O tratamento é necessário para a tutela da saúde, em procedimento realizado por profissionais da área da saúde ou por entidades sanitárias.
IX	Interesses legítimos	O tratamento é necessário para atender aos interesses legítimos do controlador ou de terceiros, exceto quando prevalecerem direitos e liberdades fundamentais do titular dos dados que exijam a proteção dos dados pessoais.
X	Proteção ao crédito	O tratamento é necessário para a proteção do crédito, nos termos do Código de Defesa do Consumidor.

Fonte: elaborada pelo autor a partir de (Brasil, 2018).

4 ARQUITETURA G4DPA

Neste capítulo, será apresentada uma arquitetura para prover o compartilhamento de arquivos contendo dados pessoais entre diferentes instituições, buscando seguir definições e regras expressas na GDPR e na LGPD. Essa arquitetura, chamada de G4DPA, constitui a principal contribuição deste trabalho e foi concebida para possibilitar a realização de busca e a recuperação de dados entre as instituições participantes, sem a necessidade de armazenar os arquivos diretamente em um repositório centralizado ou de expor sistemas internos dessas instituições para acessos oriundos da Internet. As operações sobre esses dados, como registro de custódia, busca e recuperação, são registradas para fins de auditoria através de um contrato inteligente em uma *blockchain*, de modo a evitar possíveis adulterações nos *logs*.

Nas próximas seções, são apresentados os objetivos de *design* que orientaram a proposta (4.1), as entidades participantes (4.2) e as premissas e restrições assumidas para o funcionamento da G4DPA (4.3 e 4.4). Em seguida, descreve-se o modelo de sistema (4.5), que fornece uma visão geral das operações de compartilhamento e, por fim, realiza-se a análise de segurança das requisições e dos dados compartilhados (4.6).

4.1 Objetivos de *design*

Como visto no capítulo 2, vários trabalhos na literatura científica recente abordam o compartilhamento de dados entre diferentes instituições e sistemas. Por conta do risco associado ao compartilhamento de dados sensíveis, governos nacionais no mundo inteiro vêm criando legislações específicas de proteção de dados pessoais, como a GDPR e a LGPD.

Para possibilitar essas transferências de dados, uma possível abordagem seria que cada instituição expusesse uma *Application Programming Interface* (API) de seu sistema legado para acesso através da internet. Contudo, essa abordagem não oferece, por si só, um mecanismo capaz de prover buscas globais sobre os dados em todas as instituições, impondo, ainda, o desafio de gerenciamento de vários *endpoints*. Além disso, a heterogeneidade tecnológica e de infraestrutura exigiria investimento em conhecimento técnico e substancial esforço operacional para adaptação e integração dos sistemas legados, com potencial aumento de custos e de riscos à segurança cibernética, dada a maior superfície exposta a ataques.

Uma outra alternativa para o problema seria o estabelecimento de *Virtual Private Networks* (VPNs) entre as instituições interessadas. Entretanto, essa abordagem provavelmente

se mostraria inviável rapidamente, já que o número de conexões a serem estabelecidas seria $\frac{n(n-1)}{2}$, sendo n o número total de instituições.

Por fim, não é trivial assegurar um mecanismo de auditoria transparente e confiável para esse problema, pois os registros armazenados em bases locais normalmente estão sujeitos a manipulação fraudulenta, e há conflito entre a publicidade do registro de auditoria e a confidencialidade dos dados. Portanto, é desejável um meio de integração entre os sistemas que não exija sua exposição direta à internet, mitigando custos e riscos decorrentes de vulnerabilidades de *software*, *hardware* ou de engenharia social.

Assim, o *design* da G4DPA leva em consideração as seguintes diretrizes:

1. Fornecer uma arquitetura padronizada para propiciar o compartilhamento seguro de dados pessoais entre instituições;
2. Proporcionar conformidade com a GDPR e a LGPD;
3. Evitar aumentar a exposição de sistemas das instituições participantes a acessos a partir da internet;
4. Minimizar os custos com a adaptação de sistemas legados; e
5. Proporcionar um mecanismo de auditoria baseado em um registro imutável.

Segundo (PAAR; PELZL, 2010), os serviços de segurança mais importantes são a confidencialidade, a integridade, a autenticação de mensagens e o não-repúdio. Adicionalmente, também são citados a autenticação, o controle de acesso, a disponibilidade, a auditoria, a segurança física e a anonimidade. A segurança física consiste na proteção de equipamentos e infraestruturas contra acessos não autorizados, desastres naturais, falhas elétricas ou outros incidentes em nível físico e, embora seja um aspecto importante da segurança da informação, ela não será tratada neste trabalho, uma vez que o foco está na concepção de uma arquitetura lógica para o compartilhamento seguro de dados pessoais. Com base nisso, a G4DPA deve apresentar as seguintes características de segurança:

Confidencialidade. A confidencialidade assegura que não haja acessos não autorizados às informações. Dados em trânsito e em repouso costumam ser protegidos utilizando criptografia, e apenas agentes autenticados e autorizados devem ter acesso às informações decifradas. Assim, mesmo em caso de vazamentos ou de espionagem, o conteúdo não será revelado.

Integridade. A integridade consiste em detectar se os dados sofreram alterações não autorizadas, em trânsito ou em repouso. Técnicas criptográficas como funções *hash* e assinaturas

digitais costumam ser empregadas para verificar se houve ou não alguma modificação nas informações.

Autenticação mútua. Em uma comunicação, a autenticação mútua refere-se à operação que compreende a autenticação do remetente pelo destinatário e, ao mesmo tempo, do destinatário pelo remetente. Em outras palavras, o destinatário deve ignorar mensagens de remetentes não autenticados e deve ser incapaz de ler mensagens se não tiver sido autenticado pelo remetente. Esse aspecto abrange tanto a autenticação das mensagens quanto a autenticação mencionada por (PAAR; PELZL, 2010), sendo considerado um mecanismo ideal para a transmissão de dados sensíveis, apesar de seus maiores custos computacionais (CHEN *et al.*, 2022; HUANG *et al.*, 2024).

Não-repúdio. Um esquema proporciona não-repúdio se é impossível ou inviável ao remetente de uma mensagem negar sua autoria. Essa característica é essencial em sistemas que possibilitam mecanismos robustos de auditoria, proporcionando a responsabilização dos usuários por suas ações.

Anonimização. A anonimização é um processo de transformação de dados pessoais para dificultar ou inviabilizar a identificação das pessoas às quais esses dados se referem. Caso haja previsão de que os dados possam ser atribuídos novamente a um indivíduo específico através do uso de informações adicionais, como uma senha, o processo é chamado de pseudoanonimização. Claramente, essas informações adicionais devem ser mantidas seguras separadamente. A GDPR prevê o uso de anonimização em seu considerando 26 e a LGPD o faz em seu artigo 13.

Controle de acesso. O controle de acesso consiste no emprego de mecanismos de autenticação e autorização para garantir que apenas usuários ou entidades previamente autorizadas possam executar determinadas ações sobre os dados ou recursos de um sistema.

Disponibilidade. A disponibilidade garante que dados e serviços estejam acessíveis aos usuários devidamente autorizados sempre que necessário.

Auditoria. A auditoria refere-se à capacidade de registrar e de verificar as ações realizadas sobre os dados, possibilitando o rastreamento de acessos e modificações. Ela é essencial para a responsabilização de usuários e para a garantia de conformidade com normas e legislações de proteção de dados, como a GDPR e a LGPD.

A disponibilidade provida pela arquitetura apoia-se na alta disponibilidade da *block-chain* (seção 3.1) e do IPFS (seção 3.2), além da possibilidade de provisionamento de múltiplos *gateways*, como será posteriormente detalhado. O controle de acesso será implementado por

meio de certificados digitais no padrão x.509 (BOEYEN *et al.*, 2008), ressalvando-se que a segurança e a gerência da emissão desses certificados não integram o escopo deste trabalho. Os registros de auditoria serão mantidos na *blockchain*, cuja característica de imutabilidade a torna particularmente adequada para esse fim. Os demais aspectos de segurança serão discutidos em maior detalhe na seção 4.6.1.

Por fim, a arquitetura deve ser resistente aos seguintes tipos de ataques, os mais comumente analisados, sob a ótica da segurança, nas soluções similares apresentadas nos trabalhos relacionados, elencados no capítulo 2:

Ataques *replay*. Os ataques *replay* podem ocorrer quando não é possível para o destinatário ou o remetente das mensagens verificar se a mensagem está sendo reutilizada ou não (PAAR; PELZL, 2010). Esse tipo de ataque envolve a captura de um pacote e sua posterior retransmissão para produzir um efeito adverso no sistema (STALLINGS, 2005).

Ataques *man-in-the-middle*. Em um ataque *man-in-the-middle*, um atacante se coloca entre o remetente e o destinatário na comunicação, atuando como servidor para o remetente e como cliente para o destinatário. As mensagens interceptadas podem então ser lidas, alteradas ou simplesmente descartadas (STALLINGS, 2005). Muitas vezes é um ataque utilizado contra sistemas que usam criptografia de chave pública, como a versão mais básica do algoritmo Diffie-Hellman, quando as chaves públicas trafegam sem proteção (PAAR; PELZL, 2010).

Ataques de personificação (*impersonation*). Um ataque de personificação ocorre quando uma entidade finge ser outra para obter privilégios ou realizar transações em nome dessa outra entidade. Normalmente, fazem uso de outros tipos de ataque conjuntamente. Por exemplo, um atacante pode capturar uma sequência de pacotes relativos a uma transação de autenticação através de *man-in-the-middle* e, utilizando *replay*, retransmiti-los para se autenticar e obter privilégios que não teria no sistema (STALLINGS, 2005).

A resistência a esses ataques será explicada mais adiante, na seção 4.6.2.

4.2 Entidades

A seguir, serão descritas as entidades definidas pela G4DPA. Para facilitar a compreensão do restante do texto, as siglas utilizadas e os seus significados são apresentados resumidamente na tabela 15.

Autoridade de Proteção de Dados (APD). A APD é a entidade responsável por inicializar o

Tabela 15 – Siglas das entidades da G4DPA e seus significados

Sigla	Significado
APD	Autoridade de Proteção de Dados
AC	Autoridade Certificadora
TD	Titular de Dados
CC	Controlador Custodiante
CR	Controlador Requisitante
GTW	<i>Gateway</i>
BC	<i>Blockchain</i>
IPFS	<i>InterPlanetary File System</i>

Fonte: elaborada pelo autor.

sistema e seus parâmetros e por supervisionar o uso de dados pessoais pelas entidades participantes do sistema de acordo com as normas legais aplicáveis, realizando o tratamento das reclamações acerca de violações. Ela representa as autoridades supervisoras (*supervisory authorities*) na GDPR (capítulo 6, artigos 51 a 59) e a ANPD na LGPD (capítulo IX, seção I, artigos 55 a 57).

Autoridade Certificadora (AC). Uma AC é uma entidade que recebe competência da APD para emitir certificados digitais que serão utilizados para identificar e autorizar os participantes do sistema. Cada participante comunicante deve possuir uma chave privada e um certificado digital que contém a respectiva chave pública, formando o par de chaves que será utilizado para criptografar, assinar e verificar as mensagens trocadas.

Titular de Dados (TD). O TD corresponde ao *data subject* da GDPR e à entidade homônima da LGPD, ambos descritos na seção 3.3.1. Ele pode realizar consultas para saber quais são os seus dados pessoais que estão compartilhados, quais são os controladores com os quais esses dados estão compartilhados e, quando aplicável, fornecer e revogar consentimento para o tratamento de dados.

Controlador Custodiante (CC). Um CC é uma entidade que possui, sob sua custódia, dados pessoais de um TD, correspondendo a um *controller* na GDPR e a um Controlador de Dados (CD) na LGPD (seção 3.3.1). Esses dados podem estar armazenados no próprio CC ou em um Operador de Dados (OD) atuando em nome do CC. Cabe ao CC informar ao *Gateway* (GTW) acerca de todos os dados pessoais que estão ou que deixam de estar sob sua custódia. São essas informações que possibilitarão buscas por esses dados.

Controlador Requisitante (CR). Uma CR é um CD (seção 3.3.1) que busca por dados pessoais de um TD junto ao GTW e que pode solicitá-los a um CC por meio do GTW. Um mesmo

CD pode ser um CR e um CC, dependendo apenas do papel que é exercido em uma interação no sistema em determinado momento.

Gateway (GTW). O GTW é a entidade responsável por receber requisições de TD, CC e CR, anonimizá-las e registrá-las na BC para possibilitar buscas e prover auditoria. Além disso, ele dispara notificações através da BC para transmitir instruções de coordenação ao CC e ao CR. As mensagens trocadas com o GTW devem estar assinadas por um certificado digital devidamente emitido pela AC, e as que não estão são descartadas de imediato.

Blockchain (BC). A BC (seção 3.1) é um serviço de armazenamento imutável através do qual serão registradas as informações necessárias para realizar as buscas por dados pessoais e as auditorias sobre as operações. É necessário esclarecer que nem os arquivos com dados pessoais nem seus metadados são diretamente armazenados na BC, havendo nela apenas ponteiros pseudoanonymizados para eles, e que somente a APD e o GTW possuem as informações adicionais necessárias para reverter a pseudoanonymização realizada. As entidades TD, CC e CR enviam dados para registro na BC através do GTW. Todavia, todas as entidades podem realizar operações de leitura diretamente sobre a BC. Na G4DPA, a BC também desempenha a função de meio de notificação, transmitindo instruções do GTW para as demais entidades quando necessário.

IPFS. O IPFS (seção 3.2) é um sistema para armazenamento de arquivos distribuído, que estará acessível para GTW, CC e CR. Um arquivo armazenado em um nó do IPFS fica automaticamente disponível para todas as entidades com acesso a qualquer nó desse repositório, sendo necessário apenas o conhecimento do CID correspondente.

A figura do Operador de Dados (OD), presente nos regulamentos, não é tratada como uma entidade da arquitetura. Apesar de os ODs processarem dados que estão sob custódia dos respectivos CDs, o fazem em nome destes. Ou seja, em termos legais, não há que se falar em compartilhamento de dados de um CD com seus ODs. Por essa razão, o acesso de ODs a dados pessoais não faz parte do escopo deste trabalho.

4.3 Premissas

O projeto da arquitetura G4DPA assume algumas premissas necessárias ao seu funcionamento adequado. Essas premissas são elencadas a seguir.

1. As entidades APD, AC e GTW são confiáveis, ou seja, cumprem suas atribuições ho-

nestamente. Recomenda-se que um GTW seja operado pela entidade governamental responsável pela legislação de dados pessoais que, nesta abordagem, corresponde à APD. A confiabilidade da AC é necessária para que os mecanismos que serão examinados mais adiante sejam eficazes para identificar as entidades e seus papéis.

2. A informação de que um CC possui um dado pessoal de um TD sob sua custódia deve ser, por si só, vista como um dado pessoal. Por exemplo, ela poderia revelar que uma pessoa possui uma determinada doença por ser atendida em determinada instituição de saúde, ou revelar sua participação em um contrato sigiloso. Dessa forma, essas informações necessitam ser anonimizadas, tanto nos termos da GDPR¹ quanto da LGPD². Assim, as requisições de CC e CR devem ser concentradas no GTW, que realiza a pseudoanonimização de dados antes de eles serem armazenados na BC.
3. A AC realiza um processo de validação da identidade, do papel e do segmento das entidades durante o processo de emissão dos certificados, de modo que os procedimentos adotados garantem que quem faz a solicitação é realmente quem diz ser.
4. Os certificados emitidos pela AC seguem o formato padrão x.509 (BOEYEN *et al.*, 2008), mas com a adição de extensões para:
 - a) Indicar unicamente a entidade à qual pertence o certificado, e.g. *id = BR_G0001*.
 - b) Indicar o tipo de entidade entre GTW (*role = gateway*), CD (*role = controller*) ou TD (*role = person*).
 - c) Indicar o segmento de atuação da entidade, e.g. *segment = government*. Como visto nas seções 3.3.2.3 e 3.3.3.3, existem bases legais específicas para que intuições de alguns segmentos, como *healthcare* e governo, realizem acessos a dados pessoais em determinadas situações. Esta extensão é especialmente útil para proporcionar acesso a dados pessoais de saúde em atendimentos médicos em situações emergenciais, ou seja, para processamentos visando proteger os interesses vitais do TD.
5. As chaves privadas devem ser de conhecimento e utilização exclusiva de seus titulares. Do contrário, os mecanismos de criptografia e assinatura digital, mostrados mais adiante, não seriam capazes de fornecer a proteção adequada às mensagens e aos arquivos.
6. Os dados armazenados na BC são de acesso público para leitura e apenas o GTW pode enviar registros a ela para gravação. Enquanto a gravação na BC proporciona um meio

¹ Considerando 26.

² Artigo 13.

de armazenamento imutável, a leitura é aproveitada como meio de notificação para a coordenação das entidades do sistema.

7. Cada CC e CR mantém nós próprios da rede IPFS para uso exclusivo. Isso é importante para proporcionar uma remoção eficaz dos arquivos do IPFS, como mostrado mais adiante na seção 4.5.3.
8. Todos os CD e o GTW possuem seus relógios razoavelmente sincronizados. Isso é importante para o bom funcionamento do mecanismo de proteção contra ataques *replay*, como será exposto na seção 4.6.1.

4.4 Restrições

Esta seção apresenta restrições da arquitetura, esclarecendo aquilo que ela não se propõe a fazer, assim como limitações de algumas técnicas utilizadas em seu desenvolvimento.

1. Não é o objetivo desta arquitetura realizar a auditoria completa sobre toda e qualquer operação sobre dados pessoais. Esclarecendo, esta arquitetura se propõe a fornecer um esquema de busca e compartilhamento de arquivos com dados pessoais entre controladores, com evidências de atendimento às normas de proteção de dados pessoais, especialmente a GDPR e a LGPD. Com isso, organizações podem demonstrar, através de evidências, que estão sendo diligentes no cumprimento dessas normas (KUNZ *et al.*, 2020) e, adicionalmente, um TD pode rastrear seus dados e revogar consentimentos concedidos, nos termos da lei. Todavia, os dados ainda podem ser obtidos ilegalmente, por exemplo, por operadores de hardware, em níveis mais baixos de acesso, enviados por outros meios diretamente entre controladores ou mesmo fotografados em uma tela por usuários operando sistemas restritos. De todo modo, o CD deve tomar todas as medidas ao seu alcance para proteger os dados pessoais sob sua custódia ³.
2. O detalhamento dos procedimentos adotados pela AC para emissão e gerência de certificados digitais não faz parte do escopo deste trabalho.
3. Existem algumas técnicas que podem permitir, direta ou indiretamente, a reidentificação

³ GDPR, considerando 74 (tradução livre): ¹Devem ser estabelecidas a responsabilidade e a obrigação do controlador por qualquer processamento de dados pessoais realizado pelo controlador ou em nome do controlador.

²Em particular, o controlador deve ser obrigado a implementar medidas adequadas e eficazes e ser capaz de demonstrar a conformidade das atividades de processamento com este regulamento, inclusive a eficácia das medidas. ³Essas medidas devem levar em conta a natureza, o escopo, o contexto e as finalidades do processamento e o risco aos direitos e liberdades das pessoas físicas.

dos titulares de dados anonimizados ou pseudoanonimizados, em especial realizando o cruzamento de informações com outras fontes de dados.

4. Para fornecer pseudoanonimização aos dados armazenados no BC e proporcionar um meio de busca de dados, há uma senha simétrica única conhecida exclusivamente pelo GTW e pela APD, devendo ser mantida de forma segura ⁴.

4.5 Modelo de sistema

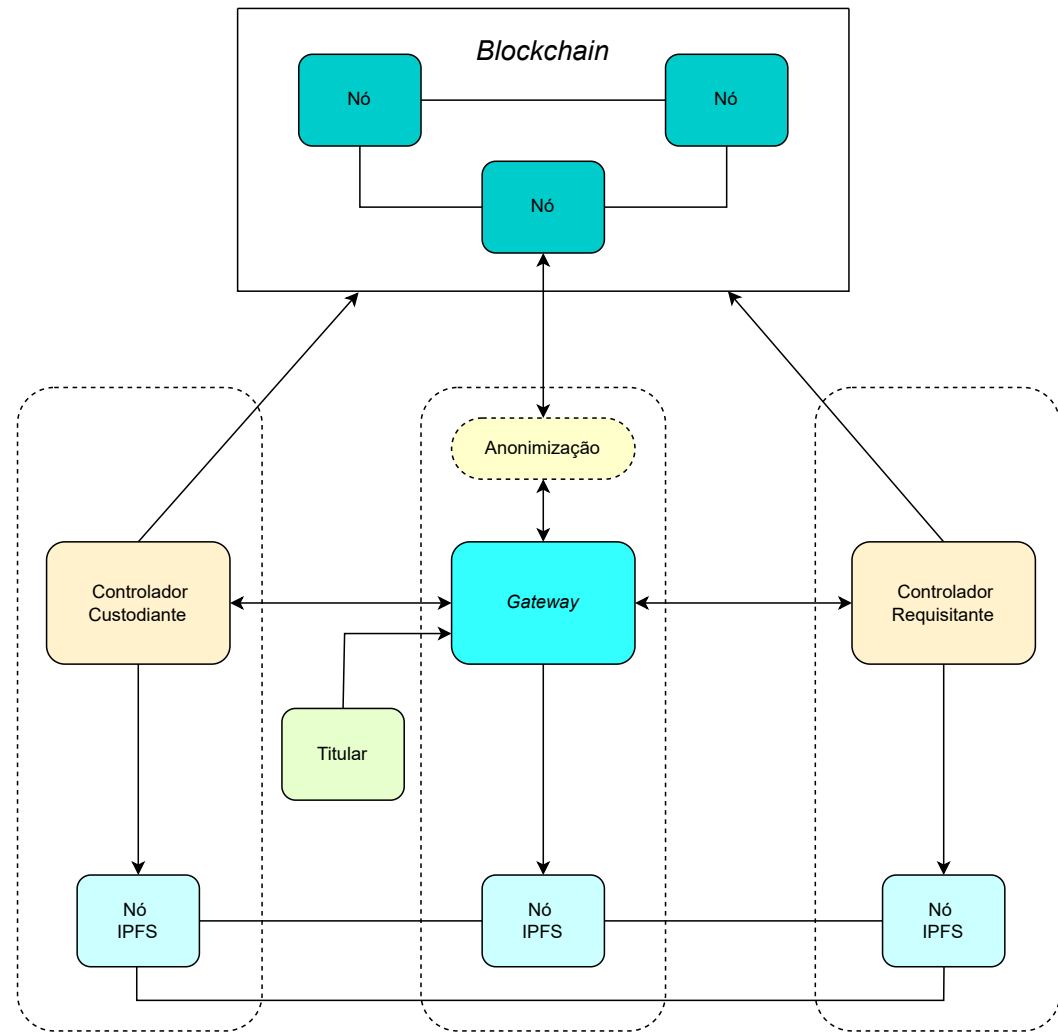
Esta seção descreve os mecanismos de operação da G4DPA que propiciam compartilhamento de arquivos com dados pessoais entre controladores. Um modelo de alto nível da arquitetura é ilustrado na figura 6.

Na G4DPA, uma **custódia** em um CC refere-se aos dados que representam a tutela desse CC sobre um arquivo com dados pessoais de um TD, devidamente fundamentada em alguma base legal. Inicialmente, o CC deve enviar ao GTW a relação de todas as suas custódias. Cada custódia compreende as seguintes informações:

1. Data de início: momento em que o CC informou ao GTW a custódia do arquivo.
2. Data de fim: momento em que o CC informou ao GTW o encerramento da custódia, ou seja, a eliminação do arquivo de suas bases.
3. Data de criação: momento em que o arquivo foi criado.
4. Identificador interno: código que identifica unicamente o arquivo para o CC.
5. Palavra-chave: um pequeno descritivo para facilitar as buscas por arquivos. Por exemplo, o arquivo pode se tratar de uma carteira de habilitação ou de um *curriculum vitae*. Exemplos na área de *healthcare* seriam um Eletrocardiograma (ECG), um Ecocardiograma (ECC), uma Ressonância Magnética (RM), um Tomografia Computadorizada (TC) e um Raio-X (RX).
6. Identificador do TD: código que indica o TD cujos dados estão contidos no arquivo.
7. Identificador do CC: código que indica o CC que detém a custódia.
8. *Hash*: uma representação única do conteúdo do arquivo através de uma *string* de tamanho fixo, obtida através de uma função matemática h para a qual, dado o valor de *hash* z , deve ser computacionalmente inviável achar x tal que $z = h(x)$ (PAAR; PELZL, 2010).

⁴ Apesar de esse não ser o foco deste trabalho, o armazenamento dessa senha poderia ser realizado através de algum esquema de compartilhamento de segredo, como o *Shamir Secret Sharing Algorithm* (SSSA), de modo a evitar o comprometimento de uma senha armazenada.

Figura 6 – Modelo de alto nível da arquitetura G4DPA



Fonte: elaborada pelo autor.

9. Base legal: o dispositivo legal específico que serve de fundamento principal para o armazenamento do arquivo pelo CC. Como visto na seção 3.3, a GDPR elenca seis possíveis bases em seu artigo 6º, vide tabela 12, e a LGPD dez bases em seu artigo VII, vide tabela 14.
10. Tipo de dado: a classificação do arquivo armazenado, por exemplo, um exame de saúde, um arquivo bancário ou um contrato de seguro.
11. Modo de processamento: a indicação de como o CC realiza o processamento dos dados pessoais do arquivo, por exemplo armazenamento local, armazenamento em nuvem ou ainda por terceirização para um OD.
12. Propósito: a finalidade principal para a qual o arquivo está sendo armazenado, por exemplo,

para análise de *marketing*, compartilhamento com parceiros de negócios, tomada de decisão automatizada, transferência de dados internacional, pesquisa, atendimento eletivo de saúde ou atendimento emergencial de saúde.

Sempre que um CD passar a tutelar uma nova custódia, deve encaminhar essa informação ao GTW. Ao receber uma requisição de registro da nova custódia, o GTW realiza a pseudoanonimização de suas informações e, em seguida, as encaminha para armazenamento na BC. Como visto na seção 3.1, graças aos algoritmos de consenso empregados na BC, o registro distribuído é consistente em todos os nós e, assim, é possível executar várias instâncias do GTW concorrentemente, de modo a distribuir entre elas a carga de usuários.

Quando um controlador de dados deseja acessar um arquivo com dados de um TD, assume o papel de CR. Ele envia uma requisição de busca ao GTW, informando o identificador do TD, o período em que o arquivo deve ter sido criado, a palavra-chave desejada, a base legal para o seu acesso, o tipo do dado e o propósito de seu acesso. Antes mesmo de realizar a busca, o GTW realiza uma requisição à BC para armazenar um evento para registrar a solicitação de busca pelo CR. Após isso, a BC e o GTW realizam a busca de acordo com as permissões do CR. Os dados são retornados da BC para o GTW, que, por sua vez, realiza mais uma filtragem, enviando para o CR uma lista com as custódias encontradas e os respectivos ponteiros criptografados, limitando os resultados à data de criação do arquivo.

De posse dessas informações, o CR analisa as datas das custódias retornadas e solicita os arquivos desejados ao GTW, informando, mais uma vez, a base legal, o tipo de dado e o seu propósito, além do ponteiro criptografado para a custódia solicitada e uma chave pública aleatória que será utilizada para gerar uma chave simétrica compartilhada através do algoritmo Diffie-Hellman. A requisição é processada pelo GTW, desanonimizada e encaminhada à BC, para registro das seguintes informações:

1. Data de início: momento em que a requisição da custódia foi registrada na BC.
2. Data de fim: momento em que a requisição da custódia foi finalizada, seja porque o arquivo foi efetivamente compartilhado ou porque o CC negou o compartilhamento.
3. Recusa de compartilhamento: indica se o compartilhamento da custódia foi negado pelo CC. Essa negativa faz com que o GTW dispare um evento na BC, informando a APD que houve uma solicitação rejeitada. De posse dessa informação, APD pode iniciar um processo de investigação sobre a ocorrência e aplicar as punições aplicáveis ao CC, se a negativa for improcedente, ou ao CR, se procedente. Isso é importante para garantir

os acessos tempestivos aos dados, especialmente nos casos de proteção à saúde (seções 3.3.2.3 e 3.3.3.3).

4. Ponteiro para a custódia: registro indicando a localização das informações da custódia solicitada.
5. Identificador do CR: código que indica o CR que solicitou o compartilhamento do arquivo.
6. Base legal: o dispositivo legal específico que serve de fundamento para a solicitação de compartilhamento para CR.
7. Tipo de dado: a classificação do arquivo solicitado.
8. Propósito: a finalidade principal para a qual o arquivo está sendo requisitado.

Para oferecer um mecanismo de auditoria para terceiros, as entidades que transacionam com o GTW sempre recebem um recibo para as transações realizadas. Esse recibo, apesar de não ser capaz de identificar diretamente um registro na BC, pode ser decifrado pela APD com uma senha simétrica conhecida apenas por ela e pelo GTW, caso seja aventureada alguma possibilidade de fraude por algum usuário do sistema.

Tabela 16 – Serviços oferecidos pelo contrato inteligente G4DPA-SC

Serviço	Chamador direto	Chamador indireto
IsMemberOfGroup	G4DPA-SC	✗
AddControllerToGroup	AC	✗
RemoveControllerFromGroup	AC	✗
AddCustody	GTW	CC
CloseCustody	GTW	CC
RegisterSearch	GTW	CR
SearchCustody	GTW	CR
AddRequestSharing	GTW	CR
NotifySharingRequest	GTW	✗
NotifyRequester	GTW	✗
NotifyDeleteDataFromIPFS	GTW	✗
DenySharing	GTW	CC
EndRequest	GTW	CR
ListAllCustodiesOfDataOwner	GTW	TD
ListAllCustodiesFromDataControllerOfDataOwner	GTW	CC, TD

✗: Não há.

Fonte: elaborada pelo autor.

A seguir, são elencados os recursos fornecidos pela G4DPA.

Inicialização do sistema. Para inicializar o sistema, a APD cria o contrato inteligente G4DPA-SC

na blockchain, oferecendo serviços como registro das custódias e compartilhamento de arquivos. A tabela 16 apresenta uma lista dos serviços disponibilizados pelo contrato. Entretanto, de modo a pseudoanonymizar os dados armazenados das custódias e prover busca sobre esses dados, esses serviços só estarão acessíveis através do GTW, com exceção dos serviços de credenciamento, acessíveis apenas à AC. Continuando a inicialização, a APD providencia a disponibilização pública de pelo menos um GTW. Para isso, ela emite, junto a AC, um certificado especial contendo a extensão *role = gateway* para cada GTW, como visto na seção 4.3, e realiza a configuração e o provisionamento do GTW.

Credenciamento de TD, CC e CR. De modo a interagir com o GTW, as entidades TD, CC e CR necessitam se credenciar para uso do sistema. Para tanto, providenciam a emissão, junto à AC, de seus certificados digitais, que serão utilizados para comprovação de suas identidades e de seus segmentos de atuação. Após validar a identidade e os dados do solicitante, a AC emite o certificado assinado, contendo a chave pública e as extensões *role* e *segment* adequadas, conforme indicado na seção 4.3. A seguir, a AC envia uma transação para a BC, informando que, a partir daquele momento, o solicitante faz parte do segmento de atuação que constará no certificado emitido. Isso é feito para que a *blockchain* contenha as informações necessárias à auditoria das operações realizadas. Por exemplo, caso um médico tenha seu registro profissional suspenso, não poderia estar realizando acessos a dados de saúde de pacientes durante a suspensão.

Autenticação de TD, CC, CR e GTW. Um aspecto importante da arquitetura proposta é a autenticação das partes envolvidas, pois serve como base para os mecanismos de controle de acesso e de auditoria. A G4DPA propõe uma abordagem de autenticação não interativa através do uso de assinaturas digitais. O GTW somente processa uma mensagem se tiver sido assinada por um certificado devidamente emitido pela AC, descartando-a, caso contrário. O mecanismo de criptografia e assinatura de mensagens será abordado em maiores detalhes na seção 4.5.1.

Notificações para CC e CR. O GTW recebe requisições diretamente de CC e CR, mas não há previsão de que CC e CR recebam requisições diretas de outras entidades, em conformidade com a diretriz de não exposição de APIs para acessos oriundos da internet, elencada na seção 4.1. Dessa feita, a transmissão de informações do GTW para CC e CR só é realizada de duas formas: i) através de uma resposta a uma requisição direta feita por CC ou CR ao GTW; ou ii) através da emissão de um evento pela BC. Caso seja emitido um evento,

ele só contém os dados necessários para informar uma das outras duas entidades de que o GTW necessita transmitir para ela uma instrução de coordenação. A partir do recebimento desse evento, a entidade deve realizar uma requisição direta ao GTW para consultar os detalhes adicionais, que só são fornecidos caso a requisição autentique sua identidade corretamente. Uma relação dos eventos que podem ser emitidos pela BC é mostrada na tabela 17.

Tabela 17 – Eventos emitidos pelo contrato inteligente G4DPA-SC

Evento	Destinatário	Quando
LogNotifySharingRequest	CC	CR solicita o compartilhamento de um arquivo
LogNotifyDataSent	CR	CC disponibilizou o arquivo solicitado no IPFS
LogNotifyDeleteDataFromIPFS	CC	CR informa que o arquivo foi decifrado com sucesso

Fonte: elaborada pelo autor.

Registro de custódias. A custódia de um arquivo contendo dados pessoais de um TD deve ser registrada na plataforma pelo CC através do GTW. Os arquivos permanecem armazenados pelo CC em sua infraestrutura, mas as informações de sua custódia estão pseudoanonimizadas na BC, permitindo a realização de operações de busca e solicitação de compartilhamento através do GTW. Qualquer CC devidamente identificado pode registrar uma custódia no sistema.

Busca por custódias. Quando um CR deseja acessar arquivos com dados pessoais de um TD armazenados em um CC, é necessário primeiro descobrir quais são as custódias desses arquivos. Para isso, deve ser realizada uma busca através do GTW informando os parâmetros desejados, como identificador do TD, data de início de custódia e tipo de dado. Isso porque, apesar de os dados armazenados na BC serem públicos, são armazenados anonimizados, não sendo possível ao CR realizar buscas diretamente. Ao receber a requisição de busca, o GTW executa uma transação para registrar essa operação na BC, para auditoria. Em seguida, o GTW envia a transação de busca propriamente dita e a BC realiza a busca sobre os dados do contrato inteligente com base nas permissões do CR. A partir dos resultados, o GTW procede à criptografia dos índices que indicam quais são as custódias antes de encaminhá-las em resposta ao CR. Se isso não fosse feito, o CR passaria a ter conhecimento do valor pseudoanonimizado do identificador do TD a partir da leitura da BC, comprometendo a segurança. Além desse índice criptografado, também são retornados os dados úteis para a busca, como a data de início da custódia e o tipo

de informação, para que o CR possa filtrar quais custódias são mais relevantes para sua necessidade.

Compartilhamento de arquivos. A partir da resposta recebida para a busca, o CR seleciona a custódia desejada. Por exemplo, ele pode optar pela custódia mais recente de um certo tipo de dado. Feito isso, o CR envia uma requisição ao GTW para que o arquivo desejado seja compartilhado. O GTW envia uma transação para execução de uma função na BC que realiza o registro dessa solicitação, e outra transação para emitir um evento de notificação para o CC que detém a custódia, de modo a avisá-lo de que há uma solicitação de compartilhamento de arquivo a ser atendida. O mecanismo de compartilhamento de arquivos será explicado em maiores detalhes na seção 4.5.2.

Cadastro prévio de base legal para acessos. Um TD pode autorizar que um CR possa acessar seus dados que estejam sob custódia de qualquer CC, desde que registre seu consentimento previamente na BC através do GTW. Além disso, um CC pode registrar na BC, também através do GTW, a existência de um contrato firmado com um CR para compartilhamento de dados de um TD. Após validação do registro do contrato pelo TD, o CR pode obter arquivos custodiados pelo CC relativos a esse TD. Note que, enquanto no primeiro caso o CR pode obter arquivos do TD a partir de qualquer CC, no segundo só pode obtê-los do CC participante do contrato, e apenas se validado pelo TD.

Encerramento de custódias. Um CC pode apagar um arquivo sob sua custódia por solicitação do TD ou por alguma questão legal ou contratual. Nesse caso, ele deve, imediatamente antes de apagá-lo, registrar o encerramento da custódia, de modo que ela não será mais listada em buscas. Desse modo, como a informação sobre a custódia é mantida na BC, uma auditoria pode verificar, para um determinado período, se o CC esteve de fato responsável pelo arquivo, bem como avaliar a conformidade das operações de busca e de compartilhamento realizadas sobre essa custódia, incluindo quando ocorreram e com quais partes envolvidas.

Revogação de credenciais. Em alguns casos, pode ser necessário revogar credenciais por motivos como perda de licença para o exercício de uma atividade ou comprometimento do certificado digital associado. Para isso, a AC deve incluir o certificado digital afetado em sua lista de certificados revogados e chamar a função `revokeCredentials` do contrato inteligente G4DPA-SC, registrando, na BC, que essa credencial está inativa a partir desse momento, mas mantendo-a para fins de auditoria. Isso garante que o GTW possa verificar

que o certificado foi revogado e passe a recusar requisições com ele assinadas.

Listagem de custódias para um TD. O artigo 15 da GDPR e o artigo 18, II da LGPD preveem o direito de o TD obter do CD os seus dados pessoais por ele tratados, conforme apontado nas seções 3.3.2.2 e 3.3.3.2, respectivamente. Dessa maneira, o TD, mediante requisição ao GTW, pode obter a relação de custódias referentes à sua pessoa, vez que essa relação é mantida na BC. Para isso, todavia, o TD deve estar credenciado para uso do sistema e, portanto, assinando sua requisição com o seu certificado digital devidamente emitido pela AC. Uma vez com a relação de suas custódias, o TD pode também requisitar os arquivos relacionados através do GTW, que deverão ser encaminhados pelos CCs detentores das respectivas custódias.

Solicitação de esquecimento. O direito ao esquecimento é um direito do TD previsto no artigo 17 da GDPR, vide seção 3.3.2.2, e no artigo 18, VI, da LGPD, vide seção 3.3.3.2. Na G4DPA, o TD pode encaminhar uma requisição ao GTW solicitando a eliminação de seus dados pessoais de um CC. Caso isso ocorra, o GTW deve encerrar as custódias do TD e, ao mesmo tempo, notificar o CC de que ele deve realizar, de modo imediato, a exclusão dos arquivos relacionados a essas custódias. Apesar de não haver meio de comprovar diretamente a eliminação, a APD pode proceder a auditorias nos sistemas do CC e verificar se a solicitação do TD foi de fato atendida.

Solicitação de retificação. Outro direito do TD previsto na GDPR em seu artigo 16 e na LGPD em seu artigo 18, III, é o direito à retificação de dados incorretos ou desatualizados, como visto nas seções 3.3.2.2 e 3.3.3.2. Caso o TD envie uma requisição de retificação ao GTW, deverá juntar o arquivo com a informação correta. A custódia do arquivo incorreto é encerrada, e o CC é notificado de que deve proceder à retificação do arquivo em seu sistema. Uma vez que tenha realizado a correção, o CC deve então informar nova custódia ao GTW. Novamente, a APD pode auditar os sistemas do CC verificando o atendimento tempestivo ou não da solicitação de retificação do TD.

Realização de auditoria. Como mencionado nos últimos itens, a APD deve realizar auditorias sobre as operações realizadas pelas entidades participantes. Em especial, as operações de solicitação de esquecimento e de retificação somente podem ser totalmente garantidas mediante auditorias internas nos sistemas dos CCs. Para tanto, as senhas utilizadas pelo GTW nos mecanismos de criptografia e anonimização também são conhecidas pela APD, de modo que ela é capaz de decifrar os recibos das operações dos CDs e saber a quais

partes se refere cada custódia armazenada na BC.

4.5.1 Criptografia e assinatura de mensagens e autenticação mútua

Assinaturas digitais são comumente realizadas utilizando algoritmos de criptografia assimétrica, em que, de forma simplificada, o signatário cifra a mensagem com sua chave privada para que só possa ser lida se decifrada com sua chave pública. Todavia, esses algoritmos são computacionalmente intensivos, não sendo, portanto, a opção mais adequada para criptografar um grande volume de dados (PAAR; PELZL, 2010). Por essa razão, costuma-se realizar as assinaturas digitais apenas sobre o *hash* dos dados.

Já para proporcionar sigilo sobre os dados, os algoritmos de criptografia assimétrica costumam ser usados simplesmente para transmitir uma pequena mensagem contendo uma chave simétrica de sessão, em uma abordagem chamada de criptografia híbrida (SMART, 2016). Nesse caso, a criptografia simétrica é aplicada sobre os dados, e apenas a respectiva chave é cifrada com a chave pública do destinatário.

A G4DPA adota um esquema de criptografia híbrida para assegurar a confidencialidade e a integridade dos dados trocados em todas as requisições realizadas por TDs, CCs e CRs ao GTW, bem como em suas respostas. Essa abordagem incorpora ideias apresentadas em (DAVIS, 2001), que propõem a criação de uma dependência entre as camadas interna e externa de criptografia quando a assinatura digital e a criptografia de chave pública são combinadas (*encrypt & sign*). Tal dependência permite a detecção de modificações maliciosas na camada externa, fortalecendo a segurança do protocolo de troca de mensagens. A notação adotada ao longo deste trabalho para representar operações criptográficas é a mesma do artigo original e é apresentada na tabela 18.

Tabela 18 – Notação utilizada para representar operações criptográficas

Notação	Significado
(A, a)	Par de chaves, em que A denota a chave pública e a indica a chave privada
$cert_A$	Certificado digital contendo a chave pública A de um usuário
$\{M\}^K$	A mensagem M é cifrada com a chave K (simétrica ou pública, dependendo do contexto)
$\{M\}^{-K}$	A mensagem M é decifrada com a chave K (simétrica ou pública, dependendo do contexto)
$\{M\}^k$	A mensagem M é cifrada com a chave k (privada)
$\{M\}^{-k}$	A mensagem M é decifrada com a chave k (privada)
$\#M$	Hash da mensagem M

Fonte: elaborada pelo autor com base em (DAVIS, 2001).

Um exemplo de ataque comum a um modelo mais ingênuo de criptografia e assinatura seria o seguinte. Suponha que Alice tenha enviado para Eva uma mensagem “*gossip*” cifrada com a chave pública E de Eva, juntamente com a assinatura digital dessa mensagem, cifrando o *hash* de *gossip* com a chave privada a de Alice:

$$Alice \rightarrow Eva : \{ \{ gossip \}^E, \{ \#gossip \}^a \} \quad (4.1)$$

Ao receber a mensagem, Eva resolve forjar o envio de *gossip* de Alice para Bob. Para tanto, basta que Eva decifre a mensagem com sua chave privada e e, em seguida, a cifre com a chave pública B de Bob. Para todos os efeitos, Bob seria levado a crer que Alice foi a responsável pelo envio de *gossip*:

$$Eva \rightarrow Bob : \{ \{ gossip \}^B, \{ \#gossip \}^a \} \quad (4.2)$$

A fim de explicar o esquema de criptografia e assinatura utilizado nesta arquitetura, suponha agora que Alice deseja enviar uma mensagem msg com segurança para Bob e que ela conhece o certificado digital $cert_B$ contendo a chave pública de Bob. Já Bob não tem conhecimento da chave pública A de Alice, mas confia no certificado da autoridade certificadora que assinou o certificado $cert_A$ de Alice. Inicialmente, Alice gera uma chave de sessão K , simétrica e aleatória, e a utiliza para produzir a mensagem criptografada msg' :

$$msg' = \{ msg \}^K \quad (4.3)$$

Alice precisa transmitir msg' para Bob. Mas, para que ele seja capaz de decifrar a mensagem, Alice também deve transmitir a chave K . Então, Alice usa B para cifrar K , e realiza a assinatura digital do *hash* de K usando a . Para que Bob possa obter a chave simétrica K , ela também envia $cert_A$:

$$M = \{ cert_A, \{ K \}^B, \{ \#K \}^a \} \quad (4.4)$$

Segundo (DAVIS, 2001), essa seria uma construção ingênuas com a técnica de criptografar e assinar, possibilitando ataques como o exemplificado anteriormente. Uma das

formas de corrigir esse problema é criptografar algo que identifique o remetente junto com a chave K (4.5) e, em seguida, assinar K por fora do texto cifrado (4.6):

$$X = \{ \{ \#cert_A, K \}^B, \#K \} \quad (4.5)$$

$$sign_a(X) = \{ X \}^a \quad (4.6)$$

Com essa modificação, a mensagem completa que Alice enviaria para Bob seria:

$$M' = \{ cert_A, X, sign_a(X), msg' \} \quad (4.7)$$

Ou, em sua forma expandida:

$$M' = \{ cert_A, \{ \{ \#cert_A, K \}^B, \#K \}, \{ \{ \#cert_A, K \}^B, \#K \}^a, \{ msg \}^K \} \quad (4.8)$$

Essa alteração entrelaça a camada criptográfica externa à camada interna, impedindo que um atacante substitua a assinatura de Alice. Além disso, a criptografia de $\#cert_A$ junto a K com a chave pública B comprova que foi realmente Alice quem realizou a operação de criptografia, uma vez que a assinatura também contém $\#cert_A$. A assinatura externa prova, ainda, que Alice de fato produziu msg' , já que a chave K corresponde ao texto cifrado com a criptografia assimétrica. Assim, com essa construção, Bob pode verificar que Alice é a autêntica remetente da mensagem, e Alice tem a garantia de que apenas Bob terá acesso a seu conteúdo. Ademais, por conta da assinatura digital, Alice e Bob têm a garantia de que msg será recebida íntegra. Maiores detalhes dessa construção são fornecidos em (DAVIS, 2001). Mais adiante, na seção 4.6, será mostrado como essa construção contribui para os objetivos elencados na seção 4.1.

4.5.2 *Mecanismo de compartilhamento de arquivos*

Esta seção detalha o processo por meio do qual o CR solicita e obtém arquivos com dados pessoais de um TD na G4DPA. Esse processo é dividido em quatro fases: a solicitação do arquivo; a disponibilização do arquivo; a obtenção do arquivo; e a finalização da solicitação. Para cada fase, são apresentados os diagramas de sequência dos passos realizados e os diagramas de

coreografia em BPMN (OMG, 2010), a fim de melhor explicar as interações entre os componentes da arquitetura durante o processo de compartilhamento. A tabela 19 apresenta a relação de símbolos utilizados na explanação das fases.

Para a descrição dos passos em cada fase, suponha que o CR realizou uma busca por dados de um TD. A partir das informações recebidas, o CR deseja obter o arquivo referenciado pela custódia \mathcal{C} . Todas as requisições de CC e CR para o GTW e as respectivas respostas são realizadas por meio do mecanismo apresentado na seção 4.5.1. Desse modo, sempre que um passo tratar de uma dessas requisições ou de suas respostas, estará implícito que a mensagem será confidencial, estará íntegra e que seu destinatário e remetente estarão autenticados mutuamente. Caso haja algum problema com essas características da mensagem, ela será descartada e a ação solicitada rejeitada.

Outra consideração importante é que os dados enviados do GTW para a BC estarão pseudoanonimizados, sendo a pseudoanonimização revertida pelo GTW quando do recebimento dos dados de volta da BC.

Tabela 19 – Simbologia utilizada na explanação do mecanismo de compartilhamento

Símbolo	Definição
\mathcal{C}	Custódia pseudoanonimizada
DH_R	Chave pública do CR para troca de chaves através do algoritmo Diffie-Hellman
dh_R	Chave privada do CR para troca de chaves através do algoritmo Diffie-Hellman
DH_C	Chave pública do CC para troca de chaves através do algoritmo Diffie-Hellman
dh_C	Chave privada do CC para troca de chaves através do algoritmo Diffie-Hellman
S	Chave de sessão compartilhada entre o CR e o CC, obtida através do algoritmo Diffie-Hellman
\mathcal{F}	Identificador interno pseudoanonimizado, referente ao arquivo sendo compartilhado
F	Arquivo sendo compartilhado
F'	Arquivo sendo compartilhado, criptografado com a chave de sessão S
\mathcal{E}_1	Evento para notificar o CC de que foi solicitado um compartilhamento de arquivo
\mathcal{E}_2	Evento para notificar o CR de que um arquivo foi compartilhado via IPFS
\mathcal{E}_3	Evento para notificar o CC de que deve remover um arquivo do IPFS
\mathcal{I}_R	Identificador de coordenação para o CR acompanhar o processo de compartilhamento
\mathcal{I}_C	Identificador de coordenação para o CC acompanhar o processo de compartilhamento
\mathcal{P}	Código de prova de acesso do CR ao arquivo compartilhado

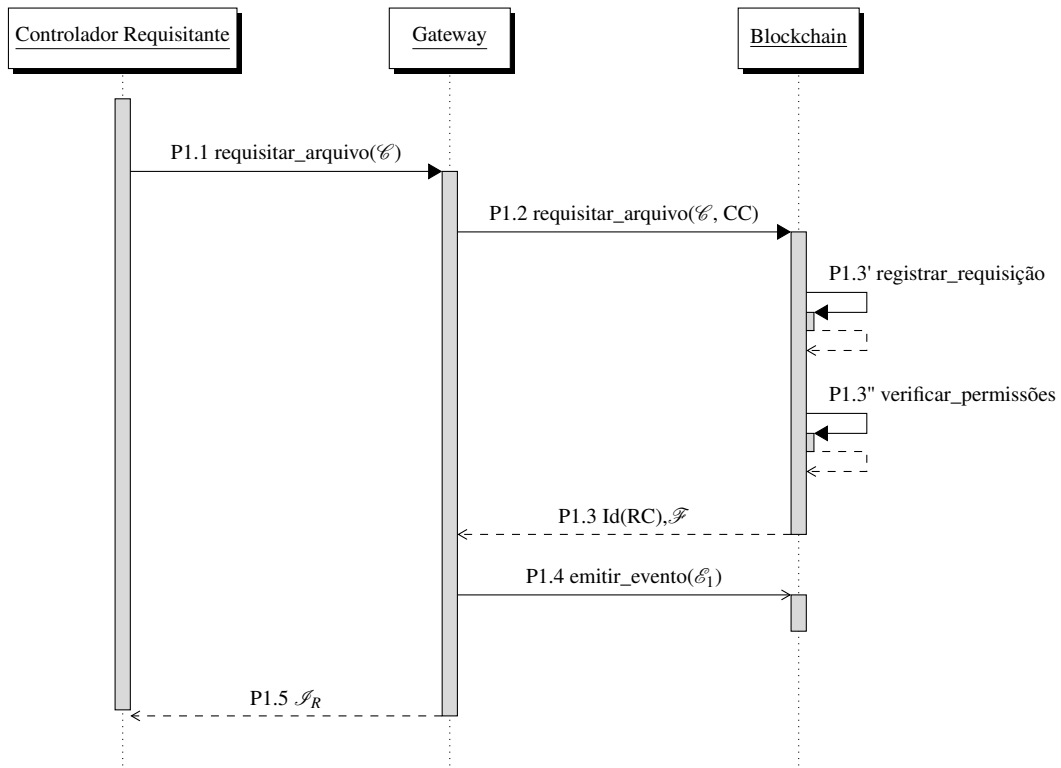
Fonte: elaborada pelo autor.

Fase 1 – Solicitação do arquivo

Na fase de solicitação do arquivo, o CR solicita ao GTW um arquivo referenciado pela custódia \mathcal{C} . O CR desconhece a identidade do CC que registrou essa custódia, e o GTW irá reverter a anonimização dos dados e encaminhar o evento \mathcal{E}_1 para o CC, convocando-o a compartilhar o arquivo.

Os passos realizados nesta fase são enumerados e detalhados a seguir. As figuras 7 e 8 exibem os diagramas de sequência e de coreografia relativos à fase de solicitação de arquivo, respectivamente.

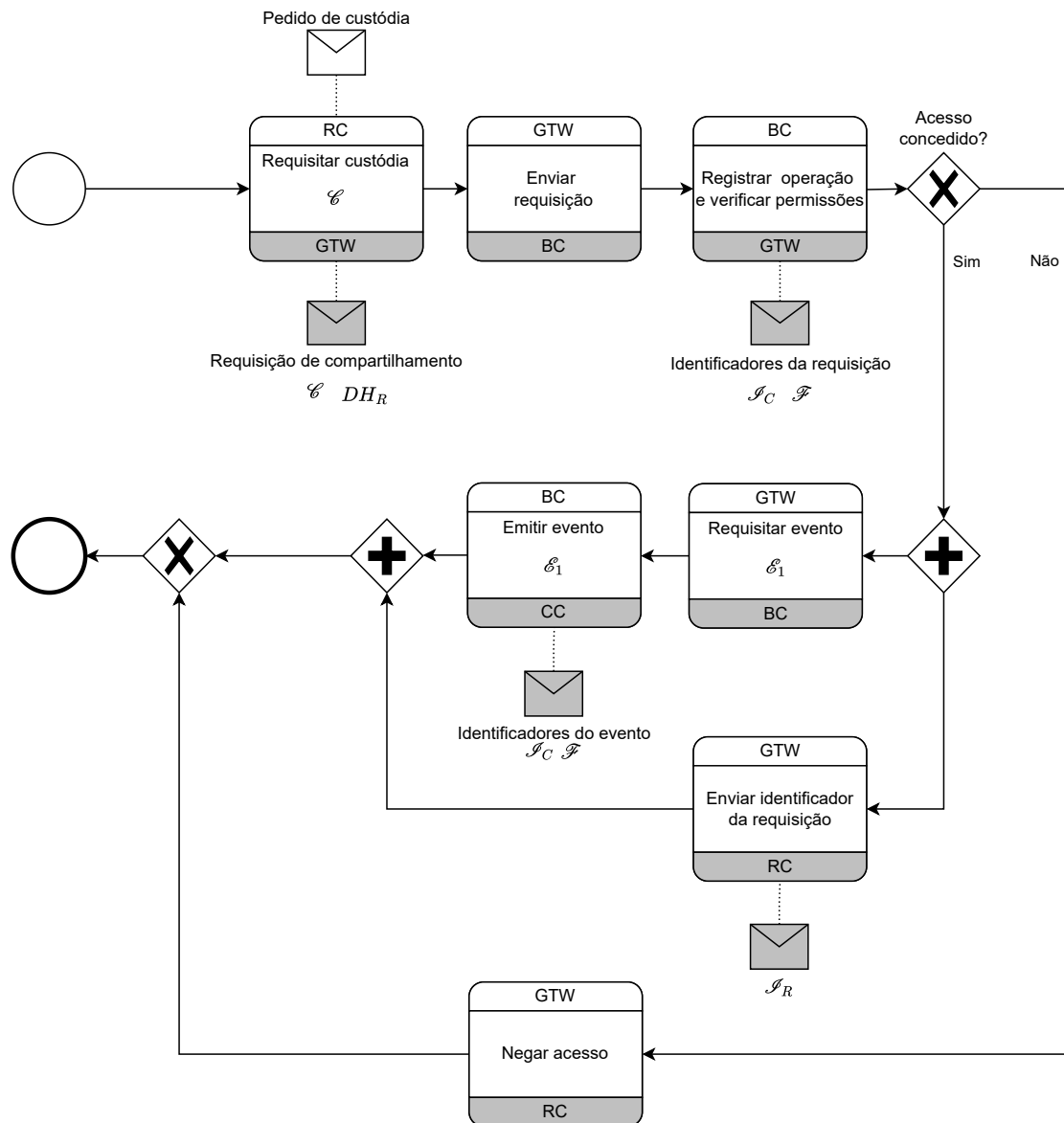
Figura 7 – Diagrama de sequência da Fase 1 – Solicitação do arquivo



Fonte: elaborada pelo autor.

P1.1. O CR envia ao GTW uma requisição de compartilhamento do arquivo referenciado pela custódia \mathcal{C} , junto com a chave pública do par de chaves (DH_R, dh_R). Este par é gerado de forma aleatória para cada requisição de compartilhamento e será utilizado para estabelecer uma chave secreta compartilhada entre o CR e o CC através do algoritmo Diffie-Hellman para troca de chaves (DIFFIE; HELLMAN, 1976). A chave privada do par permanece em segredo com o CR.

Figura 8 – Diagrama de coreografia da Fase 1 – Solicitação do arquivo



Fonte: elaborada pelo autor.

P1.2. O GTW envia para a BC uma transação indicando que o CR solicitou o compartilhamento da custódia \mathcal{C} .

P1.3. A BC realiza o registro dessa solicitação para fins de auditoria, e verifica se há alguma base legal que fundamente o acesso de CR a \mathcal{C} . Essa base deve ter sido previamente registrada na BC, podendo ser, por exemplo, um consentimento do TD ou um contrato entre o CR e o CC, ou pode também ser uma situação em que o CR possui prerrogativa de acesso, como no caso de um ente governamental (certificado com a extensão $segment = government$) ou de uma entidade médica (certificado com a extensão $segment = healthcare$) prestando um atendimento de saúde emergencial. Se houver tal base, o GTW recebe o identificador do CC que registrou \mathcal{C} e o identificador interno \mathcal{F} do arquivo, ambos valores pseudoanonymizados. Não havendo tal base, ele deve negar o acesso do CR ao arquivo referenciado por \mathcal{C} .

P1.4. Para que o CC saiba que ele deve compartilhar um arquivo, o GTW envia à BC uma transação para a emissão de um evento \mathcal{E}_1 , contendo o identificador do CC e um identificador aleatório \mathcal{I}_C gerado pelo GTW, que o utilizará para coordenar as ações do CC neste processo de compartilhamento. Da mesma forma, o CC usará \mathcal{I}_C para reportar ao GTW suas ações ao longo das iterações seguintes deste compartilhamento.

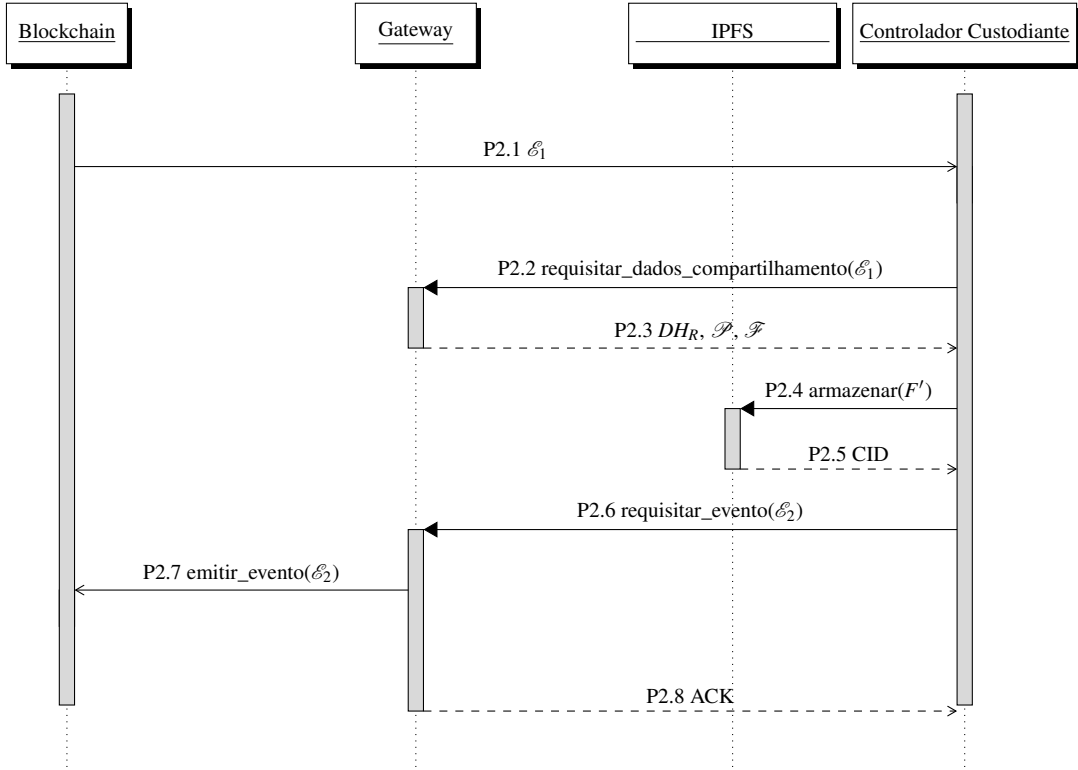
P1.5. De maneira similar, o GTW também gera um identificador \mathcal{I}_R para coordenar as ações do CR, que será usado também para que o CR acompanhe o processo de compartilhamento e realize reportes. \mathcal{I}_C e \mathcal{I}_R são identificadores distintos para evitar que CC e CR possam utilizar essa informação para identificar um ao outro. O GTW responde ao CR informando o valor \mathcal{I}_R .

Fase 2 – Disponibilização do arquivo

Na fase de disponibilização do arquivo, o CC encontra-se escutando eventos do tipo \mathcal{E}_1 que contenham o seu identificador, e, por essa via, é notificado pela BC. A partir dessa notificação, o CC recupera, a partir do GTW, o identificador do arquivo que deve ser compartilhado, que será, então, armazenado no nó IPFS privativo do CC. Quando informado pelo CC de que o arquivo encontra-se disponível para recuperação a partir do IPFS, o GTW solicita à BC a emissão de um evento \mathcal{E}_2 para cientificar o CR.

Os passos desta fase estão representados no diagrama de sequência da figura 9, e são listados e explicados a seguir. A figura 10 exibe as interações entre os componentes envolvidos.

Figura 9 – Diagrama de sequência da Fase 2 – Disponibilização do arquivo



Fonte: elaborada pelo autor.

P2.1. O CC verifica que foi emitido o evento \mathcal{E}_1 de solicitação de compartilhamento através de seu identificador.

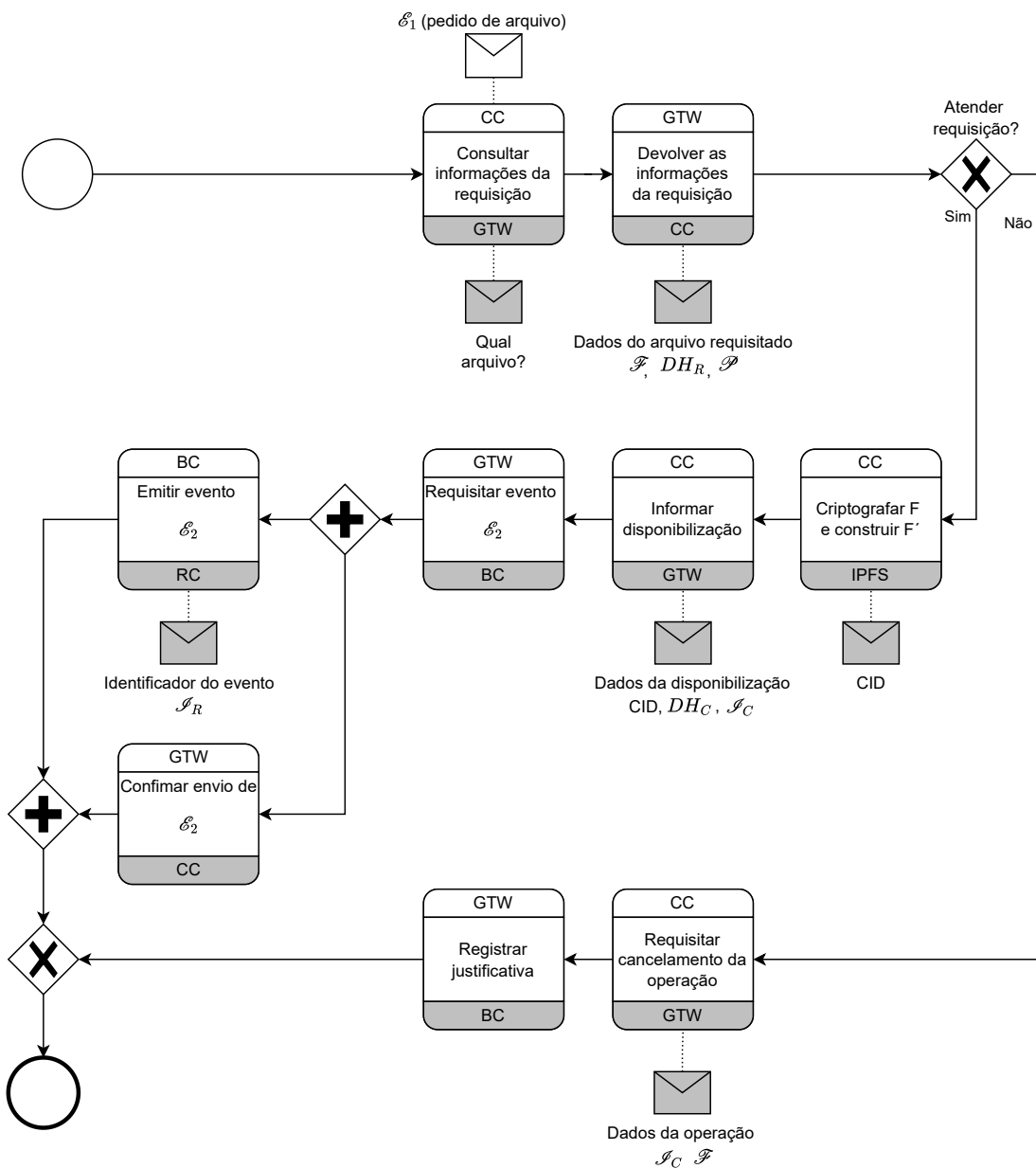
P2.2. A partir do evento \mathcal{E}_1 , o CC envia uma requisição com o identificador \mathcal{I}_C ao GTW para obter as informações acerca do compartilhamento de arquivo solicitado.

P2.3. Em resposta, o GTW envia ao CC o identificador interno do arquivo \mathcal{F} , a chave pública DH_R e um código aleatório \mathcal{P} que será utilizado mais adiante como prova de que o CR acessou um arquivo compartilhado pelo CC.

P2.4. A partir do identificador interno \mathcal{F} , o CC localiza o arquivo F a ser compartilhado e gera o seu par de chaves (DH_C, dh_C). A chave de sessão S , compartilhada com CR, é então calculada a partir de dh_C e DH_R . CC gera o arquivo $F' = \{ \mathcal{P}, \{ F \}^S \}$, contendo a prova de compartilhamento, a ser apresentada mais adiante pelo CR ao GTW, e o arquivo F criptografado com a chave compartilhada. Por fim, o CC armazena F' em um nó IPFS em seu domínio.

P2.5. O nó IPFS sob domínio do CC retorna o CID correspondente ao arquivo F' que foi armazenado.

Figura 10 – Diagrama de coreografia da Fase 2 – Disponibilização do arquivo



Fonte: elaborada pelo autor.

P2.6. O CC envia uma requisição para o GTW informando que o arquivo solicitado foi disponibilizado no IPFS. A requisição contém o identificador \mathcal{I}_C , a chave pública DH_C e o CID do arquivo.

P2.7. O GTW envia à BC uma transação para a emissão de um evento \mathcal{E}_2 , contendo o identificador do CR e o identificador de acompanhamento do processo de compartilhamento \mathcal{I}_R .

P2.8. O CC recebe uma resposta de confirmação do GTW.

Fase 3 – Obtenção do arquivo

Nesta fase, o CR recebe um evento \mathcal{E}_2 com seu identificador a partir da escuta aos eventos emitidos pela BC. O CR, então, solicita ao GTW o endereço do arquivo compartilhado, e tenta realizar o seu *download* a partir de seu nó IPFS e, em seguida, comprova que baixou o arquivo apresentando \mathcal{P} ao GTW, recebendo as informações necessárias para decifrar o arquivo.

Os detalhes dos passos desta fase estão descritos a seguir, estando representados no diagrama de sequência da figura 11. Já a figura 12 retrata as interações entre os componentes.

P3.1. O CR verifica que foi emitido o evento \mathcal{E}_2 com o seu identificador, indicando que há um novo arquivo com ele compartilhado.

P3.2. A partir do evento \mathcal{E}_2 , o CR envia uma requisição com o identificador \mathcal{I}_R ao GTW para obter as informações acerca do arquivo que foi compartilhado.

P3.3. O GTW envia o CID do arquivo em resposta à requisição do CR.

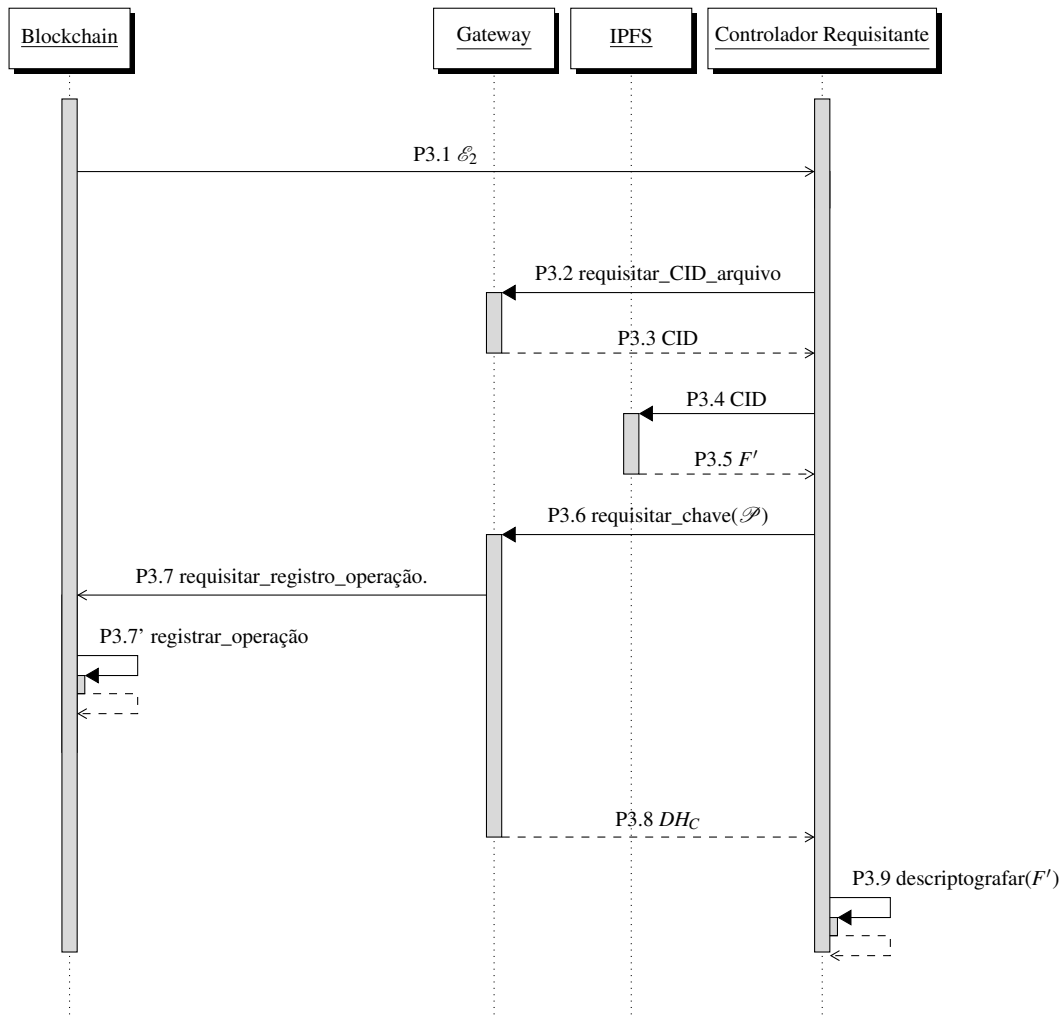
P3.4. O CR solicita o arquivo com o endereço CID ao nó do IPFS em seu domínio.

P3.5. O IPFS devolve o arquivo F' ao CR.

P3.6. De posse do arquivo F' , o CR obtém o código de comprovação \mathcal{P} e o arquivo criptografado $\{F\}^S$. Para obter a chave compartilhada S , é necessário obter a chave pública do CC, que é de conhecimento do GTW. Assim, CR envia uma requisição ao GTW informando o identificador \mathcal{I}_R e o código de comprovação \mathcal{P} .

P3.7. O GTW verifica se o código de comprovação \mathcal{P} , recebido de CR, está correto. Se não estiver, ele registrará uma não conformidade na BC. Estando correto o código, ele envia à BC uma transação indicando que CR recebeu o arquivo referido pela custódia \mathcal{C} .

Figura 11 – Diagrama de sequência da Fase 3 – Obtenção do arquivo



Fonte: elaborada pelo autor.

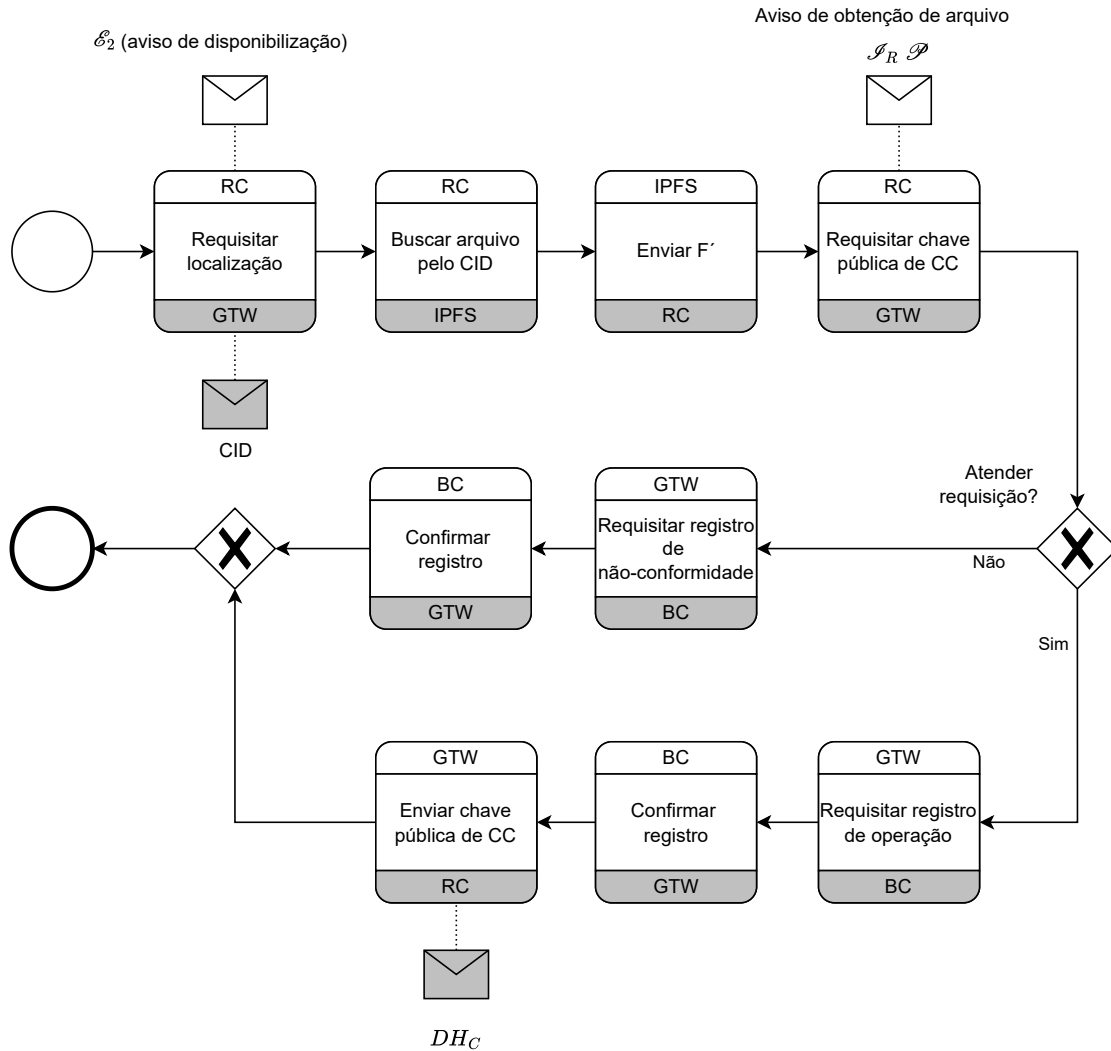
P3.8. O GTW responde ao CR com a chave pública DH_C do CC.

P3.9. O CR calcula a chave compartilhada S a partir de $\{dh_R, DH_C\}$ e, em seguida, obtém o arquivo $F = \{ \{ F \}^S \}^{-S}$.

Fase 4 – Finalização da solicitação

Durante a fase de finalização, o GTW verificará que o CR recebeu o arquivo correto e, após, coordenará as ações do CC e do CR para realizar a remoção dos arquivos dos seus nós IPFS, o que será apresentado na seção 4.5.3. O CR recebe a diretiva para remover os arquivos através da própria resposta à sua requisição, enquanto que o GTW solicita à BC a emissão de um evento $\&3$ para notificar o CC. Por fim, o GTW realiza a verificação de exclusão do arquivo do IPFS através de consulta ao seu nó.

Figura 12 – Diagrama de coreografia da Fase 3 – Obtenção do arquivo



Fonte: elaborada pelo autor.

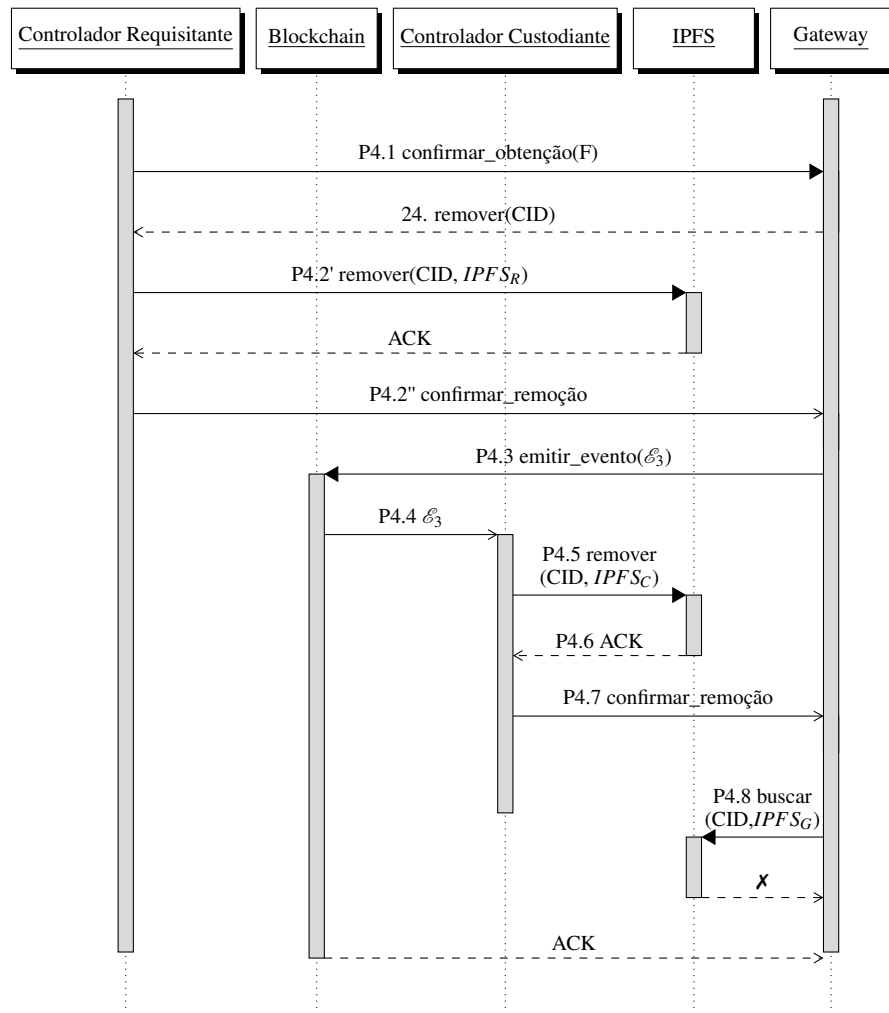
Os passos desta fase são detalhados a seguir, podendo ser observados no diagrama de sequência da figura 13. Ademais, as interações entre os componentes arquiteturais envolvidos podem ser analisadas na figura 14.

P4.1. O CR calcula $\#F$ e encaminha uma requisição para o GTW informando $\mathcal{I}_{\mathcal{R}}$ e $\#F$.

P4.2. O GTW verifica se o valor de $\#F$ é o mesmo que consta na custódia \mathcal{C} . Se for, é porque o arquivo que o CR recebeu é o mesmo que o CC possui em custódia. O GTW retorna uma mensagem para o CR orientando a remoção imediata de F' de seu nó IPFS.

P4.3. O GTW envia à BC uma transação para a emissão de um evento \mathcal{E}_3 , contendo o identificador do CC e o identificador de acompanhamento do processo de compartilhamento \mathcal{I}_C .

Figura 13 – Diagrama de sequência da Fase 4 – Finalização da solicitação



Fonte: elaborada pelo autor.

P4.4. O CC percebe que foi emitido o evento \mathcal{E}_3 com o seu identificador.

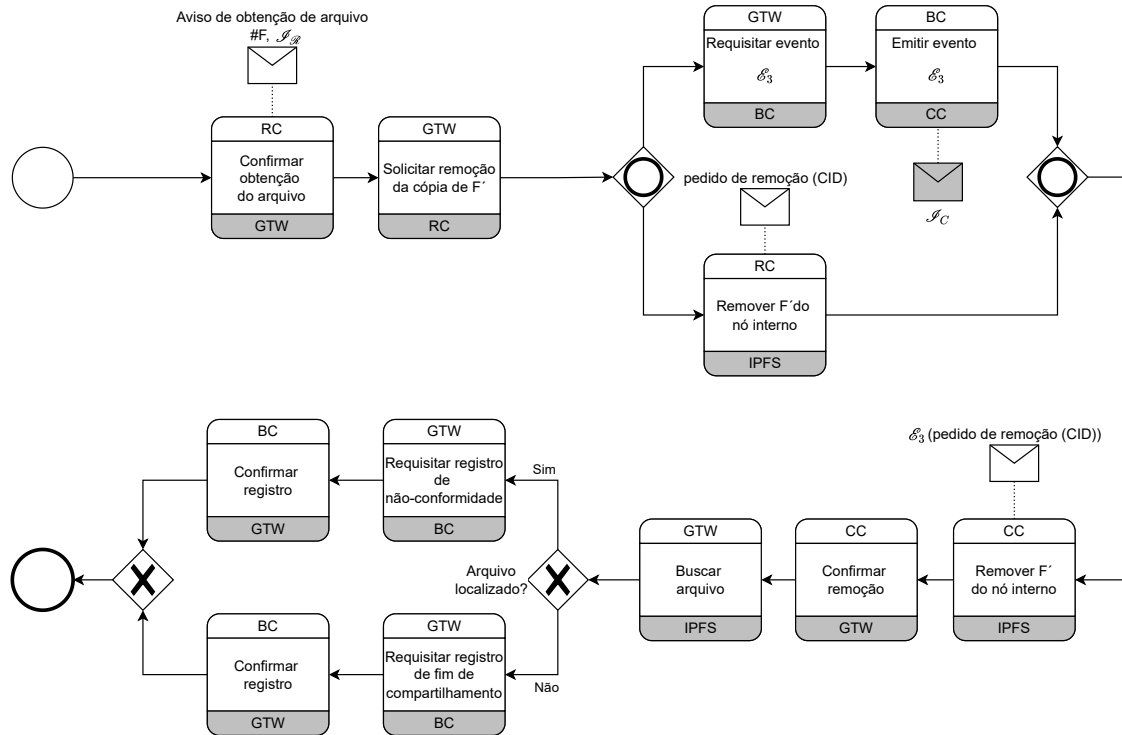
P4.5. O CC envia uma solicitação de remoção do arquivo ao seu nó IPFS.

P4.6. O nó IPFS do CC confirma a remoção.

P4.7. O CC envia ao GTW uma requisição informando que o arquivo foi removido do seu nó IPFS.

P4.8. Para confirmar que CC e CR removeram o arquivo de seus nós IPFS, o GTW realiza uma busca pelo arquivo F' através do CID em seu próprio nó IPFS. Caso não seja encontrado, o arquivo foi de fato removido. Do contrário, será gerada uma não conformidade. Por fim, o encerramento da requisição é registrado na BC.

Figura 14 – Diagrama de coreografia da Fase 4 – Finalização da solicitação



Fonte: elaborada pelo autor.

4.5.3 Mecanismo de remoção de arquivos do IPFS

Como exposto na seção 3.2, não há, no IPFS, um mecanismo próprio e nativo que possibilite a exclusão de um arquivo da rede a partir do seu CID. Entretanto, se não for realizado o *pinning* do arquivo em um nó do IPFS, ele será excluído na próxima execução do coletor de lixo desse nó. Arquivos que sofreram *pinning*, por outro lado, não são excluídos pelo coletor de lixo e estão disponíveis para acesso a qualquer outro nó da rede a partir do seu CID.

Considerando o funcionamento assíncrono do mecanismo de compartilhamento de arquivos a partir das notificações por eventos na BC, é necessário garantir que CR tenha acesso ao arquivo compartilhado por CC através do IPFS, mesmo que o coletor de lixo execute. Portanto, o CC deve inicialmente realizar o *pinning* do arquivo, evitando sua remoção nos ciclos de coleta de lixo.

Todavia, para evitar que arquivos já desnecessários causem inchaço nos nós, elevando os custos de operação da solução, e ainda para evitar que dados pessoais, embora criptografados, estejam disponíveis para acesso por qualquer um a partir do CID, com possível prejuízo à segurança, é interessante que seja feita a limpeza dos arquivos que já foram obtidos pelo CR e

que, portanto, não necessitam mais estar disponíveis no IPFS. Para tanto, são necessários dois passos: i) remover o *pinning* do arquivo do nó IPFS e, em seguida, ii) executar o coletor de lixo.

Uma primeira opção seria remover o *pinning* quando necessário, e aguardar a execução periódica automática do coletor de lixo. Apesar de alguns clientes IPFS apresentarem um período padrão para isso (e.g. o Kubo realiza um ciclo a cada uma hora), não existe exigência no protocolo IPFS de que a coleta de lixo seja realizada. Dessa feita, esta arquitetura sugere que a coleta de lixo seja executada também sob demanda, e, após sua realização, haja o reporte ao GTW de forma que ele possa, ao final, verificar se o arquivo foi removido da rede.

4.6 Análise de segurança

Esta seção apresenta uma análise informal sobre como o mecanismo de compartilhamento de arquivos proposto na G4DPA atende aos objetivos de segurança elencados na seção 4.1. Para isso, suponha que o CR requereu o compartilhamento de um arquivo F , e que essa requisição foi atendida pelo CC seguindo a abordagem proposta.

A análise será dividida em duas partes, apresentadas a seguir: a primeira, tratando da segurança das requisições do CR e do CC ao GTW e das respectivas respostas; a segunda, tratando da segurança do conteúdo do arquivo que é solicitado pelo CR.

4.6.1 Análise de segurança das requisições

Esta seção apresenta uma análise de segurança das requisições que o CR e o CC enviam ao GTW na arquitetura G4DPA e das respectivas respostas, considerando os objetivos de segurança listados na seção 4.1, cuja linguagem e símbolos também serão aqui utilizados. Todas essas requisições e respostas ocorrem através do mecanismo apresentado na seção 4.5.1, a partir do qual serão delineadas as considerações a seguir.

Confidencialidade. Como visto na equação 4.8, o conteúdo da requisição (msg) é enviado criptografado com uma chave simétrica K . Essa chave segue na mesma requisição cifrada com a chave pública B . Portanto, apenas Bob é capaz de obter a chave K e decifrar corretamente o conteúdo da requisição.

Integridade. Suponha que alguma parte da mensagem M' na equação 4.7 foi alterada sem o conhecimento de Alice e de Bob. Caso a alteração tenha sido feita em $cert_A$, seria necessário alterar o valor de X pela equação 4.5. A alteração de X também seria necessária

se msg' fosse modificada, já que ela corresponde a uma mensagem cifrada com a chave K (equação 4.3). Em ambos os casos, como apenas Alice possui acesso à sua chave privada a , o atacante não conseguiria calcular corretamente a assinatura digital na equação 4.6. Portanto, não é possível realizar modificações na requisição que sejam indetectáveis para Bob e Alice e, assim, o mecanismo oferece garantia de verificação de integridade.

Autenticação mútua. Para evidenciar que o mecanismo apresentado na seção 4.5.1 proporciona autenticação mútua, deve ser mostrado que Bob sabe que foi Alice quem enviou a mensagem para ele, e que Alice sabe que apenas Bob será capaz de acessar a mensagem. Por contradição, suponha que a mensagem não tenha sido enviada a Bob por Alice. Nesse caso, seja Eva quem enviou a mensagem para Bob. Como os certificados são públicos, Eva tem acesso a $cert_A$ para construir a mensagem M' da equação 4.7, mas não tem acesso à chave privada a e, dessa forma, Eva não conseguiria produzir a assinatura da equação 4.6. Assim, a mensagem não poderia ter sido enviada a Bob por alguém que não fosse Alice. Por outro lado, novamente por contradição, suponha que Eva é capaz de abrir a mensagem enviada por Alice. Nesse caso, Eva consegue decifrar a mensagem da equação 4.3, ou seja, Eva tem acesso à chave K . Como se observa na equação 4.8, K encontra-se sempre criptografada com chave B . Todavia, como Eva não tem acesso à chave privada b , ela não seria capaz de obter a chave K . Como Bob é o único que possui conhecimento de b , também é o único que possui acesso a K e, por conseguinte, ao conteúdo da mensagem. Portanto, apenas Bob pode acessar a mensagem enviada por Alice. Assim, conclui-se que o mecanismo proposto propicia autenticação mútua entre remetente e destinatário.

Não-repúdio. Suponha que Alice enviou uma mensagem para Bob e tenta negar sua autoria. Já foi mostrado que a mensagem está íntegra. Pela equação 4.7, X está criptografado com a chave privada a de Alice, da qual apenas ela tem conhecimento. Em outras palavras, X está assinado digitalmente por Alice. Portanto, apenas Alice poderia calcular a assinatura digital $sign_a(X)$, e, assim, não há como negar sua autoria.

Resistência a ataques à segurança das requisições

Ataques *replay*. O mecanismo de troca de mensagens apresentado na seção 4.5.2 utiliza um *nonce* e um *timestamp* para evitar que a mensagem possa ser reenviada posteriormente por Eva e recebida como válida por Bob, provocando efeitos indesejados no sistema. Seja M_A uma

mensagem que Bob recebeu de Alice no *timestamp* t_B e que Eva conseguiu espionar esse envio e obter M_A . Sejam, ainda, t_A e n_A o *timestamp* e o *nonce* contidos em M_A , respectivamente. Se Bob aceitou M_A é porque $t_B - t_A \leq \tau$, sendo τ o período de tempo máximo para aceitação da requisição. Suponha que Eva reproduza o envio de M_A para Bob, que recebe o *replay* no *timestamp* t_E . Como a mensagem goza de integridade, Eva não conseguiu alterar os valores t_A e n_A em M_A . Se $t_E - t_A \leq \tau$, então n_A existe no conjunto de *nonces* que Bob já recebeu de Alice, e a mensagem seria rejeitada. Caso contrário, se $t_E - t_A > \tau$, a mensagem seria descartada por extrapolar o tempo limite para aceitação da requisição. Portanto, Eva não é capaz de realizar *replay* de mensagens enviadas de Alice para Bob.

Ataques *man-in-the-middle*. Ainda que Eva seja capaz de inspecionar e retransmitir as mensagens trocadas entre Alice e Bob, ela não será capaz de acessar o conteúdo decifrado da mensagem nem alterará a mensagem sem que isto seja detectado por Bob, devido à confidencialidade, integridade e autenticação mútua. Assim, conclui-se que o mecanismo de envio de requisições da G4DPA oferece proteção contra ataques *man-in-the-middle*. Isso é especialmente importante devido à troca de chaves públicas para estabelecimento da chave S através do algoritmo Diffie-Hellman⁵, pois Eva poderia forjar uma chave pública e enviá-la para Bob como se fosse Alice e, ao mesmo tempo, forjar outra chave pública e enviá-la para Alice como se fosse Bob. Caso isso ocorresse, Eva seria capaz de estabelecer uma chave de sessão com Alice e outra chave de sessão com Bob, podendo acessar o conteúdo de todas as mensagens trocadas, além de alterá-las e retransmiti-las.

Ataques de personificação (*impersonation*). Uma vez que as mensagens trocadas entre CR e GTW e entre CC e GTW não sejam vulneráveis a ataques *replay* e a ataques *man-in-the-middle*, somente seria possível a Eva realizar um ataque de personificação caso ela tivesse acesso à chave privada de Alice ou de Bob, o que não é admissível segundo premissa elencada na seção 4.3. Portanto, o mecanismo é resistente a ataques de personificação.

4.6.2 Análise de segurança do arquivo compartilhado

Prosseguindo com a análise informal de segurança, os objetivos de segurança listados na seção 4.1 serão analisados em relação ao arquivo que é encaminhado do CC para o CR no processo de compartilhamento.

⁵ “O Diffie-Hellman é suscetível a um ataque *man-in-the-middle* e, portanto, requer alguma forma de autenticação das partes comunicantes” (PAAR; PELZL, 2010).

Confidencialidade. Suponha que um bisbilhoteiro E tenha tido acesso ao conteúdo do arquivo compartilhado F . Como o arquivo é criptografado ainda no domínio do CC e descriptografado apenas no domínio do CR, infere-se que ele foi maliciosamente capturado em trânsito, ou seja, entre CC e o IPFS, entre o IPFS e o CR ou diretamente a partir do IPFS. Portanto, F se encontrava criptografado com a chave de sessão S . Assumindo que o algoritmo de criptografia simétrica utilizado é seguro, se E teve acesso ao conteúdo de F é porque E obteve S . Como S também não trafega fora dos domínios do CC e do CR, E precisaria ter acesso a pelo menos uma das chaves privadas dh_R ou dh_C para calcular S , mas essas chaves são mantidas seguras sob domínio do CR e do CC, respectivamente. Portanto, E não conseguiria obter a chave S . Ademais, como mostrado na seção 4.6.1, as requisições e respostas entre CC e CR e GTW são protegidas pelo mecanismo apresentado na seção 4.5.1 e, assim, são resistentes a ataques *man-in-the-middle*. Dessa feita, conclui-se que um bisbilhoteiro E não pode ter acesso ao conteúdo de um arquivo compartilhado F , e, assim, que o mecanismo de compartilhamento de arquivos fornece confidencialidade.

Integridade. Seja c_1 o conteúdo do arquivo F no momento em que a sua custódia foi registrada pelo CC, e c_2 o conteúdo do arquivo que o CR recebeu através do processo de compartilhamento de dados. Suponha $c_1 \neq c_2$. Nesse caso, o CR poderia detectar essa diferença comparando $\#c_1$ e $\#c_2$, sendo o primeiro conhecido por constar na resposta à busca por custódias e o segundo por poder ser calculado a partir de c_2 . Assim, o CR pode verificar que o arquivo recebido corresponde ao arquivo inicialmente registrado em custódia pelo CC. Além disso, após c_1 ser cifrado pelo CC, só poderá ser decifrado com a senha compartilhada S . Portanto, o CC sabe que o CR só poderá decifrar o arquivo corretamente se seu conteúdo estiver íntegro.

Autenticação mútua. O arquivo F' encontra-se criptografado com a chave S , que é calculada usando o algoritmo Diffie-Hellman inicialmente pelo CC com as chaves DH_R e dh_C no passo P2.4 da fase 2, e posteriormente pelo CR usando as chaves DH_C e dh_R no passo P3.9 da fase 3. Como visto na seção 4.6.1, o mecanismo de troca de mensagens oferece autenticação mútua e também protege de ataques *man-in-the-middle* e, com isso, as chaves públicas DH_R e DH_C , que são transportadas por essas mensagens, têm a garantia de serem autênticas do CR e glsCC, respectivamente. Ademais, as chaves privadas dh_R e dh_C são geradas exclusivamente para uma determinada solicitação de arquivo e presume-se que são de conhecimento exclusivo do CR e do CC, respectivamente. Sendo assim, o CR e o CC sabem que apenas o outro será capaz de calcular S . Portanto, além de o CC, apenas o CR é capaz de decifrar F' . Do mesmo modo,

somente o CC, além de o CR, possui a chave para produzir F' . Assim, remetente e destinatário de um arquivo compartilhado através da G4DPA gozam de autenticação mútua.

Não-repúdio. Suponha que o CR recebeu um arquivo que, em princípio, corresponda à custódia C , mas que o CC argumente que não foi ele quem informou essa custódia ou, ainda, que não foi ele quem adicionou o correspondente arquivo ao IPFS para o compartilhamento. Ocorre que, quando a custódia for encaminhada ao GTW, o valor $\#F$ foi armazenado pseudo-anonimizado na BC. Assim, quando o CR calcula o *hash* do arquivo após a descriptografia e encaminha esse valor ao GTW para verificação, segundo os passos P4.1 e P4.2 da fase 4, se essa verificação for bem-sucedida, significa que o arquivo corresponde ao referenciado pela custódia C , informada pelo CC. Ainda, como visto no item anterior, a chave S somente é de conhecimento do CC e do CR e, assim, além do CR, apenas o CC seria capaz de ter realizado essa operação de criptografia. Portanto, não há como o CC negar a custódia e o compartilhamento do arquivo F .

Resistência a ataques à segurança dos arquivos compartilhados

Ataques *man-in-the-middle*. Neste caso, o atacante E deveria se posicionar em algum ponto do caminho do arquivo entre o CC e o CR, ou seja, entre o CC e o seu nó IPFS, ou entre os nós IPFS, ou, por fim, entre o CR e o seu nó IPFS. Como os arquivos são cifrados e decifrados nas pontas, internamente aos domínios do CC e do CR, seria necessário comprometer a chave criptográfica aleatória S . Como visto na seção 4.6.1, as requisições e respostas entre CC, CR e GTW são protegidas pelo mecanismo da seção 4.5.1, permanecendo imunes a ataques *man-in-the-middle* e, por conseguinte, assegurando ao Diffie-Hellman proteção contra esse vetor. Portanto, como a chave S não trafega às claras, sendo calculada apenas nas pontas, mesmo que E obtenha o arquivo, não consegue ter conhecimento de seu conteúdo. Ainda, caso E forjasse e conseguisse transmitir outro arquivo ao destino, a requisição do CR ao IPFS levaria a erro, pois, como visto na seção 3.2, o CID é criado com base no conteúdo do arquivo F' . Ademais, o conteúdo do arquivo decifrado F também é validado através dos passos P4.1 e P4.2 da fase 4. Assim, a transmissão do arquivo está protegida de ataques *man-in-the-middle*.

4.6.3 Outras propriedades de segurança da G4DPA

Rastreabilidade. Como visto na seção 3.1, uma *blockchain* é um mecanismo que promove a imutabilidade de seus registros, que é uma característica muito desejável para a realização de auditorias. Todas as operações promovidas pela G4DPA são realizadas de modo a armazenar o solicitante na BC, e os registros nunca são removidos, mas apenas mudam para um estado inativo. Ainda que fossem removidos, estariam disponíveis para verificação em um estado anterior da BC.

Anonimização. Todos os dados enviados para a BC pelo GTW são pseudoanonimizados, dificultando a inferência de novas informações através do conhecimento das relações entre CCs, CRs e TDs, em atendimento à previsão do considerando 26 da GDPR e do artigo 13 da LGPD. Além disso, o GTW responde às requisições do CC e do CR com recibos criptografados, de modo que, sem que sejam decifrados, não permitem que os dados relacionados armazenados na BC sejam identificados, como as custódias – também cifradas –, que identificariam tanto o TD quanto o CC que as tutelam.

5 EXPERIMENTOS EM UM CENÁRIO DE E-HEALTHCARE

Este capítulo descreve os experimentos conduzidos com o objetivo de avaliar a implementação da G4DPA em um cenário hipotético. Esse cenário é brevemente descrito na seção 5.1 e, a seguir, a seção 5.2 apresenta uma visão geral dos experimentos sobre ele realizados. A seção 5.3 detalha as tecnologias utilizadas e as principais decisões tomadas na implementação. Por fim, as seções 5.4, 5.5, 5.6 e 5.7 descrevem em mais detalhes os objetivos e a metodologia aplicada em cada experimento, bem como os resultados e as respectivas análises.

5.1 Descrição do cenário

O cenário adotado consiste no compartilhamento de arquivos contendo dados de saúde de pacientes entre instituições de atendimento médico. Apesar de hipotética, trata-se de uma situação plausível e realista.

Instituições que utilizam o protocolo *Fast Healthcare Interoperability Resources* (FHIR)¹ para gerenciar dados clínicos podem representar e armazenar exames de imagem por meio de recursos como ImagingStudy², DocumentReference³, Binary⁴ e ImagingSelection⁵. Esses recursos permitem que os dados sejam incorporados diretamente por meio de codificação em base64 ou armazenados em serviços externos, referenciados por elementos do tipo Endpoint⁶, como serviços RESTful DICOMweb⁷, incluindo *Web Access to DICOM Objects* (WADO-RS)⁸.

Em situações de emergência médica, costuma ser muito importante que o profissional de saúde tenha acesso a exames prévios do paciente. Como apresentado na seção 3.3, a GDPR e a LGPD permitem o acesso a esses dados para proteção de interesses vitais, independentemente do consentimento do titular. Contudo, esse acesso depende de o paciente portar os exames em mídia digital ou saber onde foram realizados, desde que haja mecanismos que possibilitem busca e acesso remoto entre instituições. A G4DPA busca proporcionar um desses mecanismos ao registrar exames realizados em diferentes instituições, oferecendo funcionalidades auditáveis de busca e compartilhamento em conformidade com os normativos legais.

¹ <https://hl7.org/fhir/>

² <https://www.hl7.org/fhir/imagingstudy.html>

³ <https://www.hl7.org/fhir/documentreference.html>

⁴ <https://www.hl7.org/fhir/binary.html>

⁵ <https://www.hl7.org/fhir/imagingselection.html>

⁶ <https://www.hl7.org/fhir/endpoint.html>

⁷ <https://www.dicomstandard.org/using/dicomweb>

⁸ <https://www.dicomstandard.org/using/dicomweb/retrieve-wado-rs-and-wado-uri>

5.2 Visão geral dos experimentos

A avaliação da G4DPA foi organizada em quatro experimentos, cada um voltado à análise de um aspecto crítico da solução. Assim, o primeiro experimento investigou o consumo de gas nas execuções do contrato inteligente, permitindo identificar funções mais custosas e possíveis variações de custo. O segundo analisou o tempo necessário para realizar operações com arquivos no IPFS, considerando inclusão, recuperação e remoção de arquivos com tamanhos distintos e diferentes níveis de concorrência, de modo a avaliar a influência desses fatores no desempenho. O terceiro mediu o tempo de busca de custódias registradas na BC sob perspectivas com diferentes números de controladores concorrentes, fornecendo indicadores de escalabilidade. Por fim, o quarto experimento examinou o desempenho do compartilhamento de arquivos entre controladores, que é a funcionalidade finalística da arquitetura, que envolve operações criptográficas e transmissão de dados pelo IPFS. Os resultados obtidos nesses experimentos, apresentados e analisados nas seções seguintes, permitem avaliar a eficiência e a viabilidade da abordagem proposta frente a diferentes condições de carga e operação.

Com o objetivo de garantir a robustez dos resultados, cada experimento foi executado 100 vezes de forma independente. Esse número de repetições é superior ao mínimo de 30 comumente recomendado pela literatura (JAIN, 1991; LAW; KELTON, 2000), que se baseia no teorema central do limite. Este teorema assegura que, ao se coletar um número suficientemente grande de amostras independentes de uma mesma população, a distribuição da média amostral tende a uma distribuição normal, característica fundamental para a validade dos intervalos de confiança. Ao adotar 100 repetições, não apenas superamos essa recomendação, como também contribuímos para a estabilidade das estimativas e para a obtenção de intervalos de confiança de 99% mais estreitos, reforçando a confiabilidade das conclusões em cada cenário experimental.

Os experimentos foram conduzidos em um computador pessoal com os seguintes recursos de hardware: um processador AMD Ryzen 5 1600, contando com 6 núcleos e 12 *threads* de execução, lançado em 2017; 16 GB de memória RAM DDR4 2400MHz; e uma unidade SSD de 120 GB. Todo o código escrito para a prova de conceito está disponível no repositório Git do projeto (CASTRO, 2024).

5.3 Descrição dos componentes da implementação

Os componentes de infraestrutura básica da implementação foram executados em contêineres Docker através do orquestrador Docker Compose. A tabela 20 mostra a relação do *software* utilizado, as respectivas versões e o papel desempenhado.

Tabela 20 – *Software* utilizado para implementação da infraestrutura

Software	Versão	Papel
Docker	27.1.1	Motor de contêineres
Docker Compose	2.29.1	Orquestrador de contêineres
Kubo	0.29.0	Implementação do protocolo IPFS
Geth	alltools-v1.14.3	Implementação do protocolo da <i>blockchain</i> Ethereum
InfluxDB	2.7	Banco de dados baseado em séries temporais para monitoramento do desempenho do Geth
Prometheus	v2.52.0	Banco de dados para monitoramento e emissão de alertas acerca do desempenho do Geth
Grafana	10.1.10	Apresentação de <i>dashboards</i> com gráficos e visualizações de dados do InfluxDB e do Prometheus

Fonte: elaborada pelo autor.

Implementação do IPFS. O Kubo⁹ foi configurado para prover o serviço IPFS através de uma rede privada. Nesse modo de funcionamento, é necessário definir um nó responsável pelo procedimento de *bootstrap*, a partir do qual os outros nós tomam conhecimento dos outros *peers* em operação na rede, e uma chave, sem a qual não é possível fazer parte dessa rede. Os nós também foram configurados com o perfil *flatfs*¹⁰, que corresponde ao modo de armazenamento de dados no IPFS mais confiável e testado atualmente, além de minimizar o uso de memória e proporcionar a execução do mecanismo de coleta de lixo o mais rápido possível — o que é importante nesta arquitetura —, apesar de não ser o modo que proporciona a importação de dados mais rápida.

Implementação da *blockchain*. A Ethereum foi escolhida para a implementação tanto por ter sido a *blockchain* mais utilizada nos trabalhos relacionados, conforme constatado na tabela 4, como por ser bastante versátil, podendo ser utilizada tanto uma rede pública existente, como a Mainnet, ou ser configurada como uma rede privada. Considerando os altos custos de execução da rede Ethereum Mainnet e também a dificuldade de obter o volume de *tokens* necessários para o desenvolvimento desta implementação utilizando uma rede pública de testes, como a

⁹ <https://github.com/ipfs/kubo>

¹⁰ <https://docs.ipfs.tech/how-to/default-profile/#available-profiles>

Sepolia¹¹, o Geth¹² foi configurado para funcionar localmente simulando uma cadeia para desenvolvimento, através da opção `--dev`. Para tentar se aproximar das condições da rede Mainnet, a produção de blocos foi definida para ocorrer a cada 12 segundos. O bloco gênesis foi configurado com todas as atualizações até o *fork* Cancun. O limite de gas por bloco foi definido como `0x1c9c380` (ou 30.000.000) de unidades. Por fim, foram criadas algumas contas com 100 ETH cada para a realização dos experimentos.

Monitoramento da blockchain. Para monitorar o comportamento da rede Ethereum durante o desenvolvimento e os testes da implementação, foram coletados dados através de duas formas:

1. Envio de informações do Geth para um serviço InfluxDB¹³;
2. Coleta de métricas pelo Prometheus¹⁴ por um *endpoint* configurado no próprio Geth.

A partir disso, *dashboards* foram configurados no Grafana¹⁵ utilizando essas duas fontes de dados, possibilitando a visualização do desempenho da *blockchain* de forma simplificada.

Infraestrutura de chaves públicas. A criação de uma AC e dos certificados digitais para entidades da arquitetura, conforme os requisitos indicados na seção 4.3, foi realizada através do OpenSSL¹⁶. Uma autoridade certificadora raiz foi criada e, a partir desta, emitido um certificado para uma autoridade certificadora intermediária. Por sua vez, a partir da autoridade intermediária, foram emitidos um certificado para o GTW e vários certificados para CDs e TDs.

Codificação dos componentes. Todo o código escrito para configuração da infraestrutura está disponível no repositório do projeto (CASTRO, 2024). O GTW e o código para simular o comportamento dos CDs foram escritos na linguagem de programação Go, versão 1.22.5, e as principais bibliotecas utilizadas estão listadas na tabela 21.

Serialização dos dados. Os dados das requisições feitas pelos CDs ao GTW e das respectivas respostas, como visto na seção 4.5.1, foram serializados utilizando a versão 3 do Protocol Buffer¹⁷, que é um formato para intercâmbio de dados estruturados proposto pelo Google. Foram definidas as possíveis mensagens que seriam utilizadas em cada uma das fases do mecanismo de compartilhamento de arquivos, como visto na seção 4.5.2. Para gerar o código Go para serializar e desserializar as mensagens, foi utilizada a ferramenta `protoc` na versão `libprotoc 27.0`.

¹¹ <https://ethereum.org/pt/developers/docs/networks/>

¹² <https://geth.ethereum.org/>

¹³ <https://github.com/influxdata/influxdb>

¹⁴ <https://prometheus.io/>

¹⁵ <https://grafana.com/oss/grafana/>

¹⁶ <https://openssl-library.org/>

¹⁷ <https://protobuf.dev/programming-guides/proto3/>

Tabela 21 – Principais bibliotecas utilizadas

Biblioteca	Versão	Finalidade
crypto/aes	Biblioteca padrão	Criptografia simétrica com AES
crypto/cipher	Biblioteca padrão	Modos padrão de criptografia em bloco, usado para o modo GCM
crypto/ecdh	Biblioteca padrão	Algoritmo Diffie-Hellman com curvas elípticas
crypto/rand	Biblioteca padrão	Gerador criptograficamente seguro de números aleatórios
crypto/rsa	Biblioteca padrão	Algoritmo de chave pública RSA
crypto/sha256	Biblioteca padrão	Algoritmo de hash SHA-256
crypto/x509	Biblioteca padrão	Subconjunto de definições do padrão x.509
github.com/ethereum/go-ethereum	v1.14.3	Interação com contratos inteligentes em redes Ethereum
github.com/gin-gonic/gin	v1.10.0	Framework web para a linguagem Go
github.com/ipfs/boxo	v0.19.0	Interação com serviços IPFS
github.com/ipfs/go-cid	v0.19.0	Implementação da especificação CID
github.com/ipfs/kubo	v0.28.0	Interação com serviços IPFS
gitlab.com/ubiqsecurity/ubiq-fpe-go	v0.0.0-20240501180808	Algoritmo de criptografia simétrica FPE-FF1, para anonimização
google.golang.org/protobuf	v1.34.1	Mecanismo de serialização por Protocol Buffers

Fonte: elaborada pelo autor.

Criptografia de dados em trânsito. Uma vez serializados, os dados das requisições e respostas são criptografados com o algoritmo AES-256 (NIST, 2023) no modo GCM (DWORKIN, 2007) para cifra em bloco, correspondendo à operação de criptografia simétrica indicada na equação 4.3. Os *hashes* da equação 4.5 foram calculados através do algoritmo SHA-256 (NIST, 2015), e a assinatura digital realizada na equação 4.6 foi obtida empregando o algoritmo RSA-PSS (RIVEST *et al.*, 1978; BELLARE; ROGAWAY, 1996), com esquema de preenchimento OAEP (BELLARE; ROGAWAY, 1995), conforme (MORIARTY *et al.*, 2016). Nos códigos a seguir, Message é a estrutura que representa os dados da requisição ainda em texto claro. Uma vez carregados os dados nessa estrutura, serão empregadas as técnicas criptográficas mencionadas, gerando uma estrutura do tipo DPMesssage.

```
type Message struct {
    Timestamp    uint64
    Certificate x509.Certificate
    Data         []byte
}

type DPMesssage struct {
    Timestamp    uint64
}
```

```

    Certificate []byte
    Secret []byte
    SymmetricKeyDigest []byte
    EncryptedData []byte
    Signature []byte
}

```

Criptografia de dados em repouso. Quanto aos arquivos transmitidos via IPFS (armazenados ao menos temporariamente, portanto), eles são criptografados com o algoritmo AES-256 no modo GCM através de uma chave compartilhada secreta. Essa chave, por sua vez, é gerada por um protocolo via algoritmo Diffie-Hellman (DIFFIE; HELLMAN, 1976), com utilização da curva elíptica Curve25519 (ANGLEY *et al.*, 2016).

Pseudoanonymização de dados pessoais. Por fim, uma das técnicas sugeridas para pseudoanonymização pela European Union Agency for Cybersecurity (ENISA) é o emprego de um algoritmo do tipo *Format Preserving Encryption* (FPE) (ENISA, 2019). Dessa feita, na implementação realizada, os dados são anonimizados pelo GTW usando o algoritmo FPE-FF1, conforme a atual recomendação do National Institute of Standards and Technology (NIST) (DWORKIN, 2019).

Contrato inteligente. O contrato inteligente foi escrito em Solidity, versão 0.8.26 e compilado com `solc` na mesma versão. A ferramenta `abigen`, versão 1.14.2, foi usada para gerar o código *Application Binary Interface* (ABI) e o código Go para interagir com as funções do contrato inteligente. Abaixo, segue uma versão resumida do contrato inteligente G4DPA-SC, omitindo parâmetros, enumerações e conteúdo das funções, deixando apenas o seu esqueleto de forma a oferecer uma visão resumida. A versão completa pode ser examinada no apêndice A. A título de informação, o *deploy* desse contrato na *blockchain*, com as configurações apresentadas anteriormente, consumiu 3.654.370 unidades de gas.

```

struct Custody {
    uint64 startTs;
    uint64 endTs;
    bytes8 internalId;
    bytes8 creationTs;
    bytes8 keyword;
    bytes16 dataControllerId;
}

```

```

    bytes16 dataOwnerId;
    bytes32 dataHash;
    LawfulBase lawfulBase;
    DataKind dataKind;
    ProcessingMode processingMode;
    Purpose purpose;
}

struct Consent {
    uint64 idxCustody;
    uint64 fromTs;
    uint64 untilTs;
    bytes16 dataOwnerId;
    bytes16 dataCustodianId;
    bytes16 dataRequesterId;
    uint64 withdrawnSince;
}

struct Request {
    uint64 startTs;
    uint64 endTs;
    bool deniedByCustodian;
    uint64 custodyIdx;
    bytes16 dataRequesterId;
    LawfulBase lawfulBase;
    DataKind dataKind;
    Purpose purpose;
}

event LogNotifySharingRequest(...);
event LogNotifyDataSent(...);
event LogNotifyDeleteDataFromIPFS(...);

```

```

contract G4DP {

    Custody[] public custodies;
    mapping(bytes16 => uint64[]) public dataControllerCustodies;
    mapping(bytes16 => uint64[]) public dataOwnerCustodies;

    Request[] public requests;
    mapping(bytes16 => uint64[]) public dataRequesterRequests;
    mapping(bytes16 => uint64[]) public dataControllerRequests;
    mapping(bytes16 => uint64[]) public dataOwnerRequests;

    mapping(Group => mapping(bytes16 => Member[])) public memberOf;

    function addCustody(...) public returns (uint64) {}
    function registerSearch(...) public {...}
    function searchCustody(...) public view returns (...) {...}
    function addRequestSharing(...) public returns (...) {...}
    function notifySharingRequest(...) public {...}
    function notifyDataSent(...) public {...}
    function notifyDataDecrypted(...) public {...}
    function endRequestSharing(...) public returns (bool) {}

}

```

5.4 Experimento 1: consumo de gas nas execuções do contrato inteligente

Ao apresentar soluções que empregam contratos inteligentes em *blockchains* Ethereum e que foram implementadas para avaliação, a literatura costuma analisar os custos de execução de suas funções em termos de consumo de gas (DWIVEDI *et al.*, 2021; ULLAH *et al.*, 2022; JABARULLA; LEE, 2021; LI *et al.*, 2021; GHANI *et al.*, 2020; ZHANG; ZHAO, 2023; KUMAR *et al.*, 2022; KAUR *et al.*, 2024; SHREE *et al.*, 2024; RAJ; GHOSH, 2024). Essa métrica está diretamente relacionada aos custos financeiros de execução e também se relaciona com o *throughput* da solução, pois uma vez atingido o limite máximo de gas de um bloco,

a execução da função somente poderá ocorrer a partir da mineração do próximo bloco. As principais funções do contrato inteligente G4DPA-SC são apresentadas a seguir, acompanhadas de uma breve descrição de suas respectivas funcionalidades.

AddCustody: função utilizada por uma instituição de saúde para registrar, na BC, a existência de um arquivo contendo dados pessoais sob sua custódia. Nesse registro, são especificados a base legal aplicável, o tipo de dado pessoal, a forma de armazenamento e o propósito de sua manutenção.

CloseCustody: função invocada por um CC para registrar, na BC, que deixou, a partir de um instante específico, de manter sob sua custódia um certo arquivo.

RegisterSearch: função mediante a qual um CR efetua a busca por arquivos contendo dados pessoais de determinado tipo, associados a um TD, devendo registrar a base legal que autoriza a busca e o acesso, bem como o propósito de utilização.

AddRequestSharing: função mediante a qual um CR inicia a solicitação de compartilhamento de um arquivo cuja existência foi previamente identificada, por meio da função RegisterSearch, sob a custódia de um determinado CC.

NotifySharingRequest: função utilizada pelo CR para registrar, na BC, a emissão de um evento \mathcal{E}_1 direcionado a um CC, indicando a existência de uma requisição de compartilhamento de arquivo pendente.

EndRequestSharing: função que regista, na BC, a conclusão bem sucedida do processo de compartilhamento de um arquivo contendo dados pessoais de um TD, requisitado por um CR a um CC.

NotifyDataSent: função utilizada pelo CC para emitir, na BC, um evento \mathcal{E}_2 direcionado a um CR, informando que o arquivo solicitado encontra-se disponível por meio do IPFS.

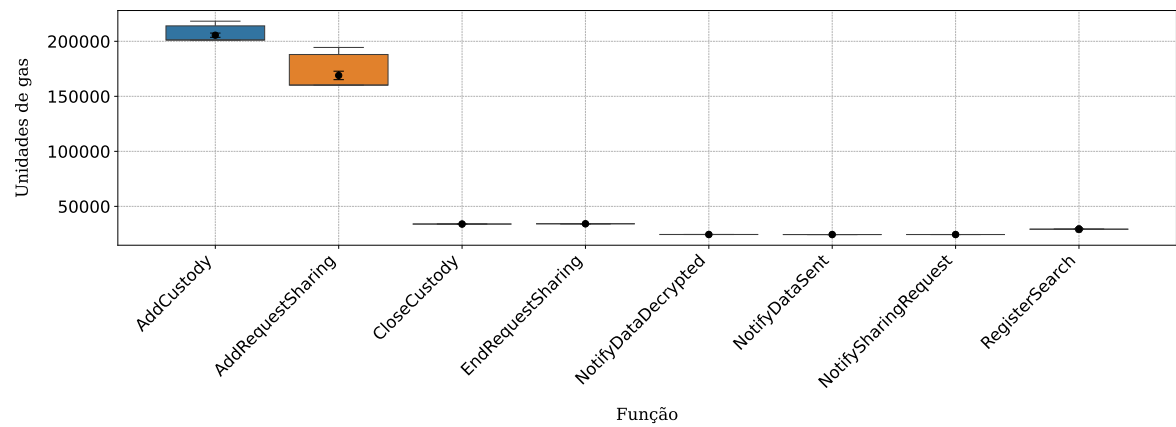
NotifyDataDecrypted: função utilizada pelo CR para notificar, através de um evento \mathcal{E}_3 na BC, que o arquivo foi devidamente recebido e decriptografado. A partir dessa notificação, o CC deve proceder à exclusão dos dados enviados do IPFS.

Este experimento consistiu em executar cada uma dessas funções e registrar o correspondente consumo total de gas. Isso foi repetido 100 vezes, conforme motivação feita na seção 5.2, e os resultados numéricos obtidos constam na tabela 22. Observa-se que as funções AddCustody e AddRequestSharing foram as mais custosas e as que apresentaram uma variação mais relevante de custo. As demais funções apresentaram pouquíssima variação no consumo de gas. Os dados da tabela estão resumidos no gráfico da figura 15.

Tabela 22 – Resultados numéricos do experimento 1

Função	Consumo mínimo de gas	Consumo máximo de gas	Média	Mediana	Desvio padrão	Amplitude do IC (99%)	IC inferior	IC superior
AddCustody	201.150	218.274	205.547	201.174	7443	3835	203.630	207.464
AddRequestSharing	160.205	194.405	168.988	160.205	14.915	7684	165.146	172.830
CloseCustody	33.928	33.940	33.940	33.940	1	1	33.940	33.940
EndRequestSharing	34.172	34.184	34.184	34.184	1	1	34.184	34.184
NotifyDataDecrypted	24.427	24.439	24.439	24.439	1	1	24.439	24.439
NotifyDataSent	24.385	24.397	24.397	24.397	1	1	24.397	24.397
NotifySharingRequest	24.406	24.418	24.418	24.418	1	1	24.418	24.418
RegisterSearch	29.235	29.259	29.257	29.259	5	3	29.256	29.258

Fonte: elaborada pelo autor.

Figura 15 – *Box-plot* do consumo de gas pelas funções do contrato inteligente

Fonte: elaborada pelo autor.

A maior variação observada nas funções AddCustody e AddRequestSharing deve-se ao fato de que, na implementação realizada, essas funções operam sobre algumas estruturas: um *array* dinâmico onde os dados são de fato armazenados, e mapas dos identificadores dos CDs e TDs para *arrays* que contêm as posições do *array* de armazenamento. Essa separação é feita por dois motivos:

1. Em Solidity, os *arrays* são estruturas sequenciais indexadas, que permitem acesso direto a qualquer elemento por meio de seu índice de forma eficiente ($O(1)$). No entanto, operações de busca por um determinado valor requerem varredura linear ($O(n)$), a menos que o conteúdo esteja ordenado e seja implementado manualmente um algoritmo de busca mais eficiente. Todavia, realizar a ordenação dinamicamente no estado da *blockchain* utilizaria muitas operações de escrita para movimentar os dados, podendo encarecer sobremaneira a execução da função;
2. Os mapas são estruturas de acesso rápido e excelentes para busca, mas que não permitem enumerar seu conteúdo, ao menos até a versão atual da linguagem Solidity.

Por sua vez, as demais funções ou operam realizando atualizações de variáveis de

estado que podem ser localizadas na *blockchain* de modo simples, usando as estruturas mantidas pelas duas funções anteriores, ou emitindo eventos indexáveis na *blockchain*, para notificar CDs.

Com base nas estatísticas obtidas, é possível estimar que, repetindo as condições do experimento, há uma chance de 99% de o consumo de gas das funções estar entre os valores IC mínimo e máximo. Por outra perspectiva, considerando a configuração da *blockchain* indicada na seção 5.3, i.e. um limite para o consumo de gas por bloco de 30.000.000 e um tempo de produção de bloco de 12 segundos, cada função pode alcançar os valores de *throughput* máximos teóricos indicados na tabela 23, supondo que todas as execuções alcancem os valores máximos e que o bloco seja composto apenas por execução dessas funções.

Tabela 23 – *Throughput* máximo teórico das funções do contrato inteligente G4DPA-SC

Função	Consumo de gas máximo estimado	<i>Throughput</i> máximo teórico (TPS)
AddCustody	207.464	12
AddRequestSharing	172.830	14
CloseCustody	33.940	74
EndRequestSharing	34.184	73
NotifyDataDecrypted	24.439	102
NotifyDataSent	24.397	102
NotifySharingRequest	24.418	102
NotifySharingRequestRegisterSearch	29.258	85

Fonte: elaborada pelo autor.

5.5 Experimento 2: tempo para desempenhar operações de leitura e escrita no IPFS

Os trabalhos relacionados que fizeram uso de IPFS e implementaram provas de conceito analisaram, com frequência, o desempenho de operações de leitura e gravação de arquivos (JABARULLA; LEE, 2021; YEH *et al.*, 2022; KUMAR *et al.*, 2022; SHREE *et al.*, 2024; YANG *et al.*, 2022; YEH *et al.*, 2023). Desse modo, o segundo experimento tem por objetivo analisar os tempos das operações de gravação, leitura e remoção de arquivos no contexto abordado neste trabalho, ou seja, utilizando o IPFS como meio para realizar a transmissão de arquivos de um CC para um CR, excluindo os arquivos logo após sua conclusão.

Embora a figura 6 apresente três nós IPFS, este experimento requer apenas dois: os nós do CC e do CR, responsáveis pela execução das operações de gravação, leitura e remoção mencionadas anteriormente. O desempenho dessas operações foi avaliado em relação a três variáveis:

1. Operação realizada, podendo ser:

- a) `add`: adição (gravação) de um novo arquivo ao nó do CC;
 - b) `delete`: remoção dos arquivos do nó do CC;
 - c) `retrieve`: obtenção (leitura) de um novo arquivo através do nó do CR.
2. Tamanho do arquivo, assumindo valores de 1 MB, 10 MB e 100 MB;
 3. Quantidade de operações conduzidas concorrentemente, podendo ser 1, 5, 25 e 125.

A escolha dos tamanhos de arquivo fundamenta-se em dois aspectos principais. Primeiro, tais dimensões são representativas de arquivos comumente utilizados em aplicações de *e-healthcare*, como relatórios clínicos, exames digitalizados ou mesmo conjuntos de registros de um TC ou RM. Segundo, a variação em diferentes ordens de magnitude possibilita avaliar o impacto do tamanho do arquivo sobre o desempenho das operações, possibilitando que os resultados sejam observados tanto em cenários típicos quanto em limites superiores mais exigentes.

Já a quantidade de operações concorrentes foi definida de forma multiplicativa, a fim de representar cenários de carga progressivamente maior, com o intuito de analisar a escalabilidade do sistema em diferentes níveis de concorrência, com um conjunto reduzido, porém representativo, de pontos experimentais.

Dessa maneira, considerando as possibilidades para as três variáveis, cada uma das 36 combinações possíveis foi conduzida em 100 rodadas separadas, conforme explicação na seção 5.2, obtendo o tempo médio de cada operação para cada tamanho de arquivo e quantidade de operações concorrentes por rodada. Para a realização desses testes, foram gerados arquivos binários com conteúdo aleatório, considerando-se que o conteúdo em si não exerce influência significativa sobre a execução das operações, desde que mantida a aleatoriedade. Conforme descrito na seção 3.2, o IPFS divide cada arquivo em blocos (*chunks*) de 256 kB, os quais podem eventualmente se repetir entre diferentes arquivos. Assim, é importante que tais repetições ocorram de forma igualmente aleatória. Além disso, a utilização de um mesmo arquivo em todos os testes poderia levar o IPFS a não realizar a transmissão efetiva do CC para o CR, uma vez que este último já disporia localmente dos blocos correspondentes durante a recuperação.

A tabela 24 reúne os resultados do experimento 2 para as operações `add`, `delete` e `retrieve`, incluindo métricas de tempo de execução, dispersão e intervalos de confiança sob diferentes tamanhos de arquivos e níveis de concorrência.

Tabela 24 – Resultados numéricos do experimento 2

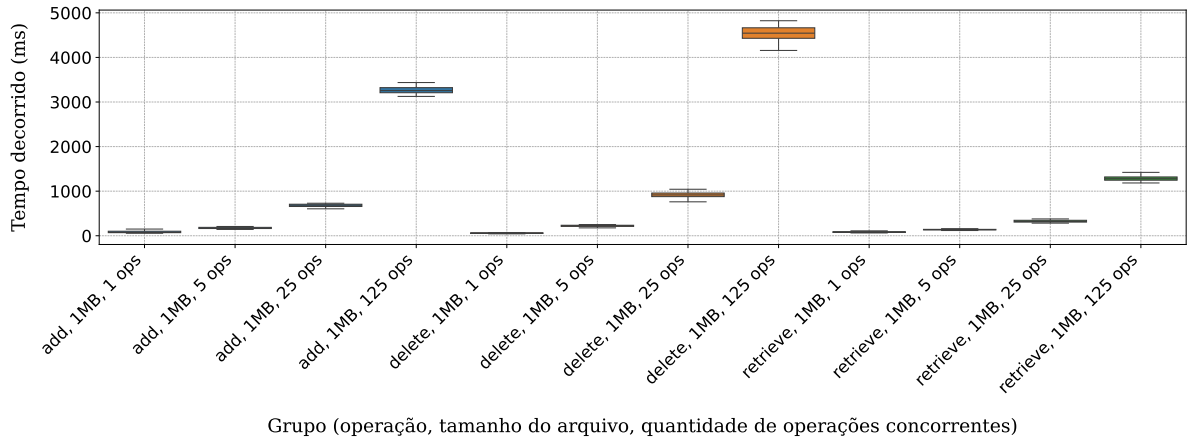
Operação	Tamanho do arquivo (MB)	Quantidade de operações concorrentes	Tempo mínimo (ms)	Tempo máximo (ms)	Média (ms)	Mediana (ms)	Desvio padrão (ms)	Amplitude do IC (99%)	IC inferior	IC superior
add	1	1	56	234	92	74	39	20	82	102
	1	5	141	430	190	169	54	13	183	196
	1	25	604	1082	695	685	68	9	691	700
	1	125	3125	3803	3277	3256	109	17	3268	3285
	10	1	151	442	196	175	57	29	181	211
	10	5	476	825	546	542	41	10	541	551
	10	25	2399	3169	2642	2627	153	17	2634	2650
	10	125	12.097	66.898	13.673	12.691	6839	325	13.511	13.836
	100	1	1050	1649	1161	1141	84	43	1139	1183
	100	5	4028	29.066	4673	4416	2475	568	4389	4957
delete	100	25	20.785	68.508	25.200	23.087	8443	866	24.767	25.633
	1	1	29	423	80	60	57	29	65	94
	1	5	152	432	237	224	56	20	227	247
	1	25	657	1123	906	916	79	33	890	923
	1	125	3804	8089	4563	4544	406	77	4524	4601
	10	1	46	457	102	78	71	37	83	120
	10	5	163	1647	262	246	145	36	244	280
	10	25	835	1215	1064	1072	76	34	1047	1081
	10	125	4820	5709	5302	5312	177	76	5264	5340
	100	1	81	244	140	138	20	10	135	145
retrieve	100	5	385	661	493	487	51	17	485	502
	100	25	1973	4076	2389	2357	241	43	2367	2410
	1	1	63	384	94	80	45	23	82	106
	1	5	117	313	144	136	28	8	140	148
	1	25	283	705	334	321	52	8	330	338
	1	125	1184	6212	1368	1279	503	26	1355	1380
	10	1	484	710	545	541	38	20	535	555
	10	5	993	1418	1056	1045	61	18	1047	1065
	10	25	2564	3130	2675	2649	99	16	2668	2683
	10	125	11.723	51.637	13.659	12.829	5343	268	13.525	13.792
update	100	1	4285	4913	4495	4492	96	50	4470	4520
	100	5	9592	27.706	10.226	9894	2198	505	9973	10.478
	100	25	25.334	59.031	28.223	27.624	4457	458	27.994	28.452

Fonte: elaborada pelo autor.

Com o intuito de ampliar a compreensão dos resultados apresentados na tabela 24, apresentam-se a seguir *box-plots* que ilustram a distribuição dos tempos de execução. As figuras estão organizadas de acordo com três enfoques: variação do tamanho do arquivo, quantidade de operações concorrentes e tipo de operação realizada.

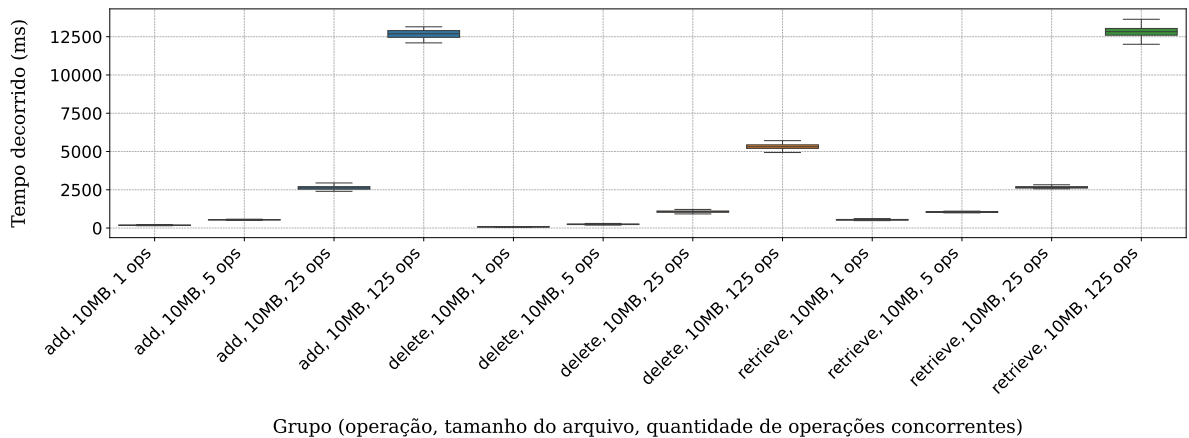
Dessa forma, as figuras 16, 17 e 18 apresentam a distribuição dos tempos de execução das operações de add, delete e retrieve em função do tamanho do arquivo, avaliando o impacto de arquivos de 1 MB, 10 MB e 100 MB, respectivamente, no desempenho das funções, considerando diferentes níveis de concorrência.

Figura 16 – *Box-plot* da duração das funções do experimento 2 por tamanho do arquivo e quantidade de operações concorrentes, para tamanhos de arquivo de 1 MB



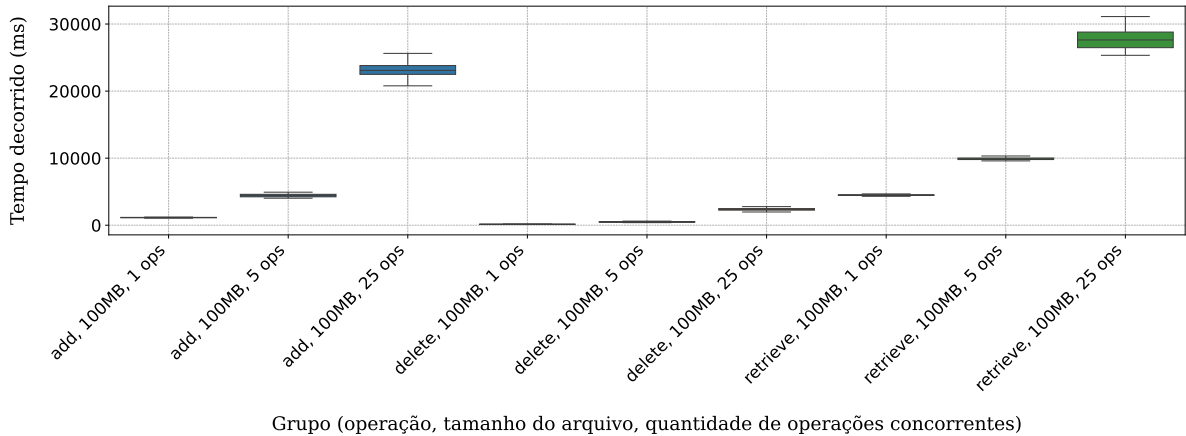
Fonte: elaborada pelo autor.

Figura 17 – *Box-plot* da duração das funções do experimento 2 por tamanho do arquivo e quantidade de operações concorrentes, para tamanhos de arquivo de 10 MB



Fonte: elaborada pelo autor.

Figura 18 – *Box-plot* da duração das funções do experimento 2 por tamanho do arquivo e quantidade de operações concorrentes, para tamanhos de arquivo de 100 MB

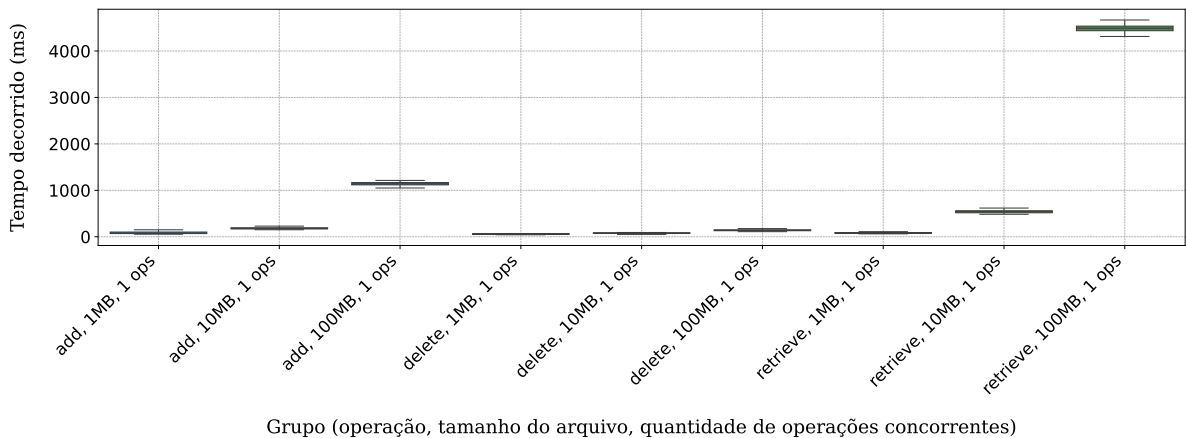


Fonte: elaborada pelo autor.

A análise dessas figuras evidencia que o aumento do tamanho dos arquivos resulta em crescimento significativo dos tempos médios e medianos de execução. Esse efeito é mais pronunciado nas operações *add* e *retrieve*, que chegam a apresentar valores bastante elevados em cenários com arquivos de 100 MB. *Delete*, em contrapartida, manteve-se como a operação mais eficiente e estável, exibindo tempos consistentemente menores.

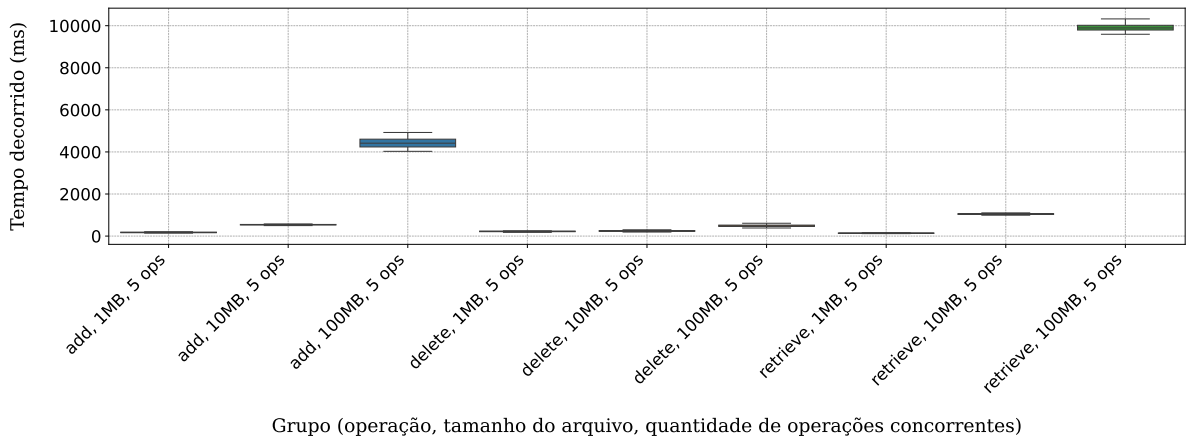
Por sua vez, as figuras 19, 20, 21 e 22 destacam a influência do número de operações concorrentes sobre os tempos de execução, visando observar a forma como a concorrência afeta a variabilidade e os valores centrais das distribuições para cada função analisada.

Figura 19 – *Box-plot* da duração das funções do experimento 2 por tamanho do arquivo e quantidade de operações concorrentes, considerando 1 operação concorrente



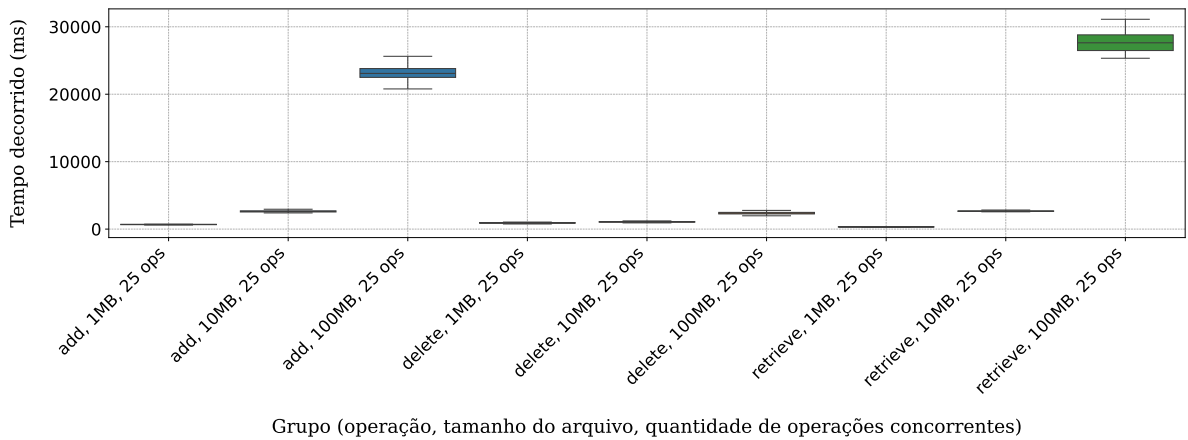
Fonte: elaborada pelo autor.

Figura 20 – *Box-plot* da duração das funções do experimento 2 por tamanho do arquivo e quantidade de operações concorrentes, considerando 5 operações concorrentes



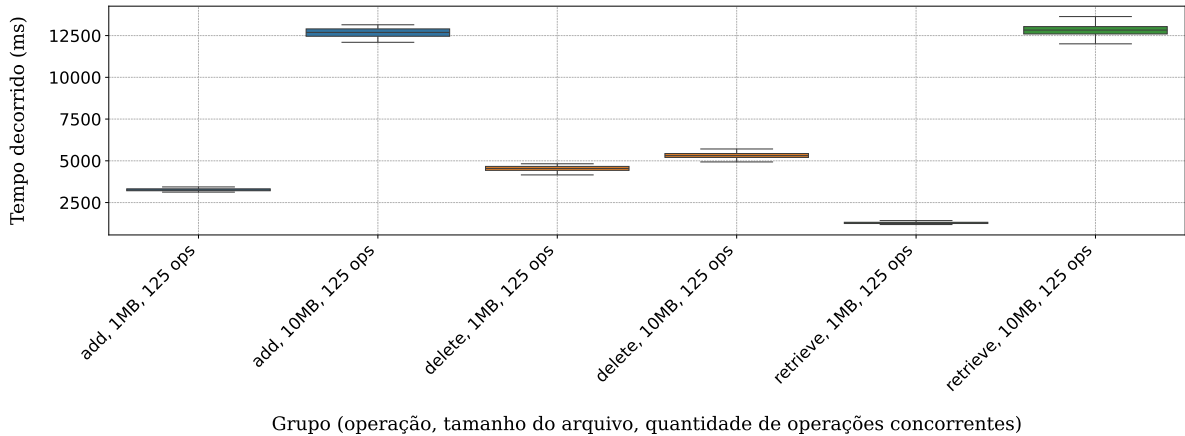
Fonte: elaborada pelo autor.

Figura 21 – *Box-plot* da duração das funções do experimento 2 por tamanho do arquivo e quantidade de operações concorrentes, considerando 25 operações concorrentes



Fonte: elaborada pelo autor.

Figura 22 – *Box-plot* da duração das funções do experimento 2 por tamanho do arquivo e quantidade de operações concorrentes, considerando 125 operações concorrentes

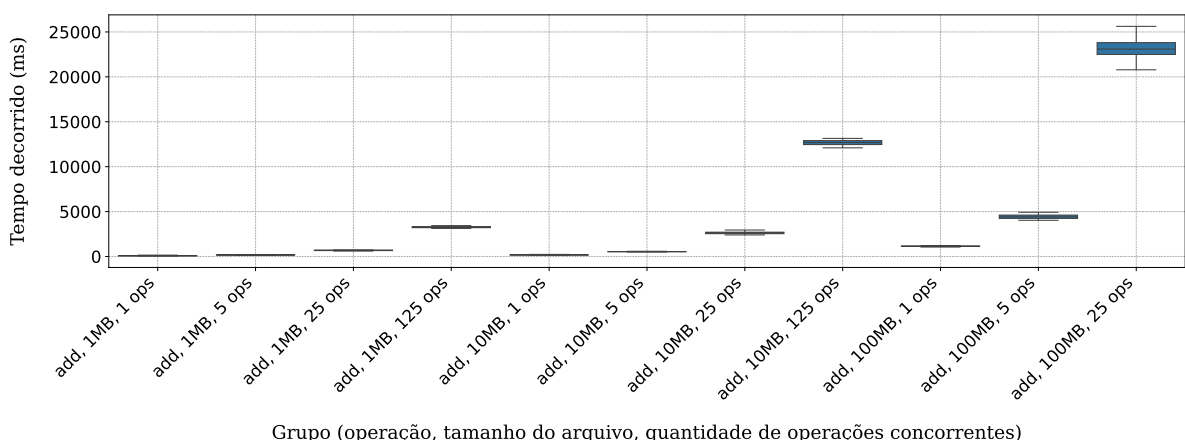


Fonte: elaborada pelo autor.

Como pode ser observado nessas figuras, o crescimento da concorrência eleva substancialmente os tempos de execução e amplia a variabilidade dos resultados. Esse comportamento é mais severo para as operações de add e retrieve, que apresentam dispersões elevadas em cenários com 25 ou 125 operações concorrentes. Delete novamente manteve desempenho mais previsível, mesmo sob maior carga, reafirmando seu caráter mais estável em comparação às demais operações.

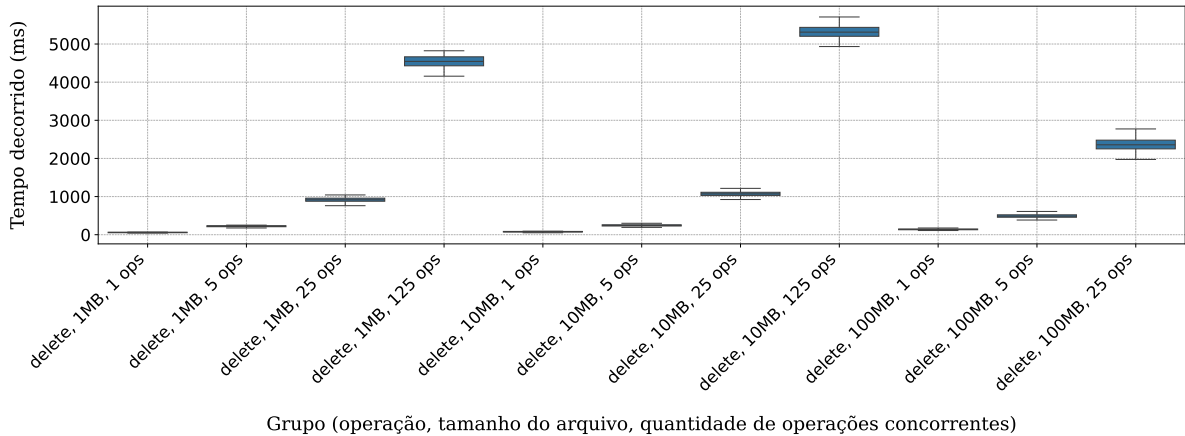
Por fim, as figuras 23, 24 e 25 apresentam o comportamento das operações add, delete e retrieve, visando analisar as diferenças de desempenho entre as funções, considerando simultaneamente o tamanho do arquivo e o grau de concorrência, e evidenciar quais são mais estáveis ou mais suscetíveis à degradação sob carga.

Figura 23 – *Box-plot* da duração da função add do experimento 2 por tamanho do arquivo e quantidade de operações concorrentes



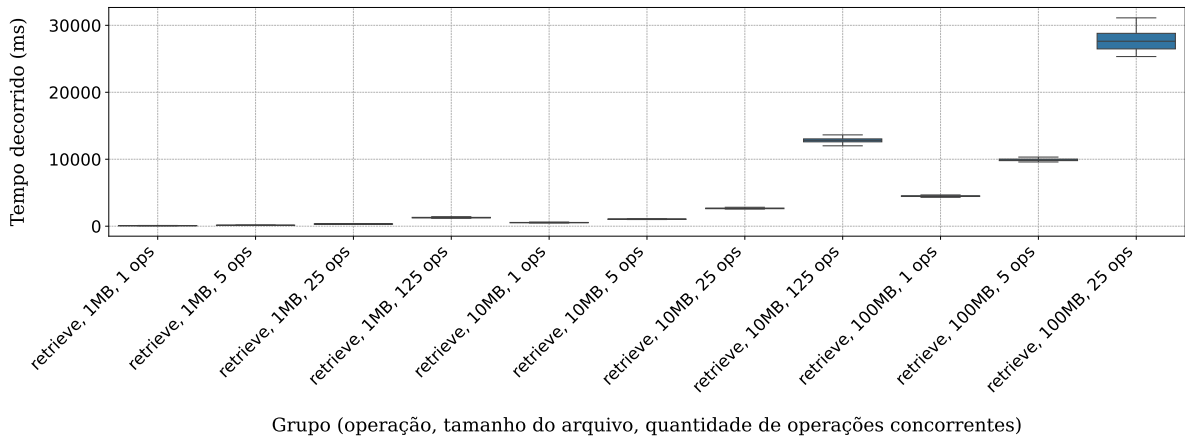
Fonte: elaborada pelo autor.

Figura 24 – *Box-plot* da duração da função `delete` do experimento 2 por tamanho do arquivo e quantidade de operações concorrentes



Fonte: elaborada pelo autor.

Figura 25 – *Box-plot* da duração da função `retrieve` do experimento 2 por tamanho do arquivo e quantidade de operações concorrentes



Fonte: elaborada pelo autor.

Essas figuras permitem comparar diretamente as três operações analisadas. Os resultados confirmam que `delete` é a operação menos sensível a variações de carga, apresentando menor dispersão nos diferentes cenários. `Add` e `retrieve`, por outro lado, revelam comportamento mais instável: `add` sofre degradação acentuada em cargas maiores, enquanto `retrieve` combina aumento expressivo nos tempos de execução com forte variabilidade, sobretudo em arquivos grandes e maior concorrência.

Após a análise dos tempos de execução, a tabela 25 apresenta as taxas de *throughput* obtidas no experimento 2 para as operações `add`, `delete` e `retrieve`, considerando diferentes combinações de tamanho de arquivo e quantidade de operações concorrentes. São reportados os valores mínimos e máximos tanto da taxa individual, correspondente ao desempenho de

uma única operação, quanto da taxa global, que reflete o processamento conjunto de todas as operações executadas concorrentemente. Esses resultados ajudam a avaliar a escalabilidade do sistema sob distintas cargas de trabalho, fornecendo uma visão complementar às métricas de tempo apresentadas anteriormente.

Tabela 25 – Resultados numéricos de *throughput* das operações do experimento 2

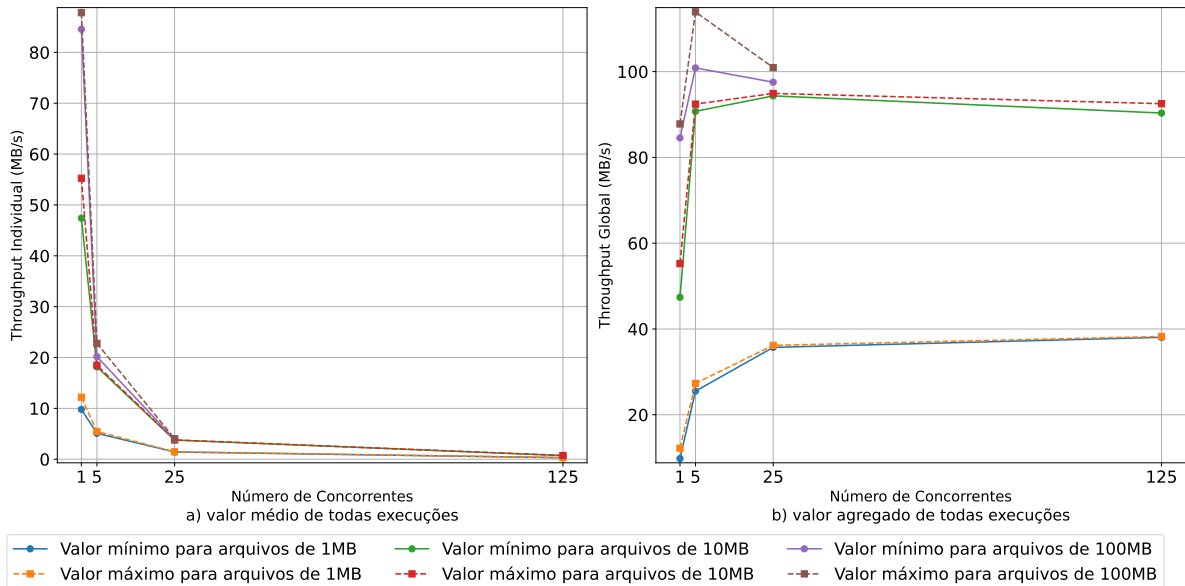
Operação	Tamanho do arquivo (MB)	Quantidade de operações concorrentes	Taxa individual mínima (MB/s)	Taxa individual máxima (MB/s)	Taxa global mínima (MB/s)	Taxa global máxima (MB/s)
add	1	1	9,80	12,20	9,80	12,20
	1	5	5,10	5,46	25,51	27,32
	1	25	1,43	1,45	35,71	36,18
	1	125	0,30	0,31	38,05	38,25
	10	1	47,39	55,25	47,39	55,25
	10	5	18,15	18,48	90,74	92,42
	10	25	3,77	3,80	90,34	94,91
	10	125	0,72	0,74	90,34	92,52
	100	1	84,53	87,80	84,53	87,80
	100	5	20,17	22,78	100,87	113,92
	100	25	3,90	4,04	97,53	100,94
delete	1	1	10,64	15,38	10,64	15,38
	1	5	4,05	4,41	20,24	22,03
	1	25	1,08	1,12	27,09	28,09
	1	125	0,22	0,22	27,17	27,63
	10	1	83,33	120,48	83,33	120,48
	10	5	35,71	40,98	178,57	204,92
	10	25	9,25	9,55	231,27	238,78
	10	125	1,87	1,90	234,08	237,46
	100	1	689,66	740,74	689,66	740,74
	100	5	199,20	206,19	996,02	1030,93
	100	25	41,49	42,25	1037,34	1056,19
retrieve	1	1	9,43	12,20	9,43	12,20
	1	5	6,76	7,14	33,78	35,71
	1	25	2,96	3,03	73,96	75,76
	1	125	0,72	0,74	90,58	92,25
	10	1	18,02	18,69	18,02	18,69
	10	5	9,39	9,55	46,95	47,76
	10	25	3,73	3,75	93,18	93,70
	10	125	0,73	0,74	90,63	92,42
	100	1	22,12	22,37	22,12	22,37
	100	5	9,54	10,03	47,72	50,14
	100	25	3,51	3,57	87,87	89,30

Fonte: elaborada pelo autor.

De modo a oferecer uma perspectiva visual complementar aos resultados dessa tabela, as figuras 23, 24 e 25 apresentam o *throughput* das operações add, delete e retrieve

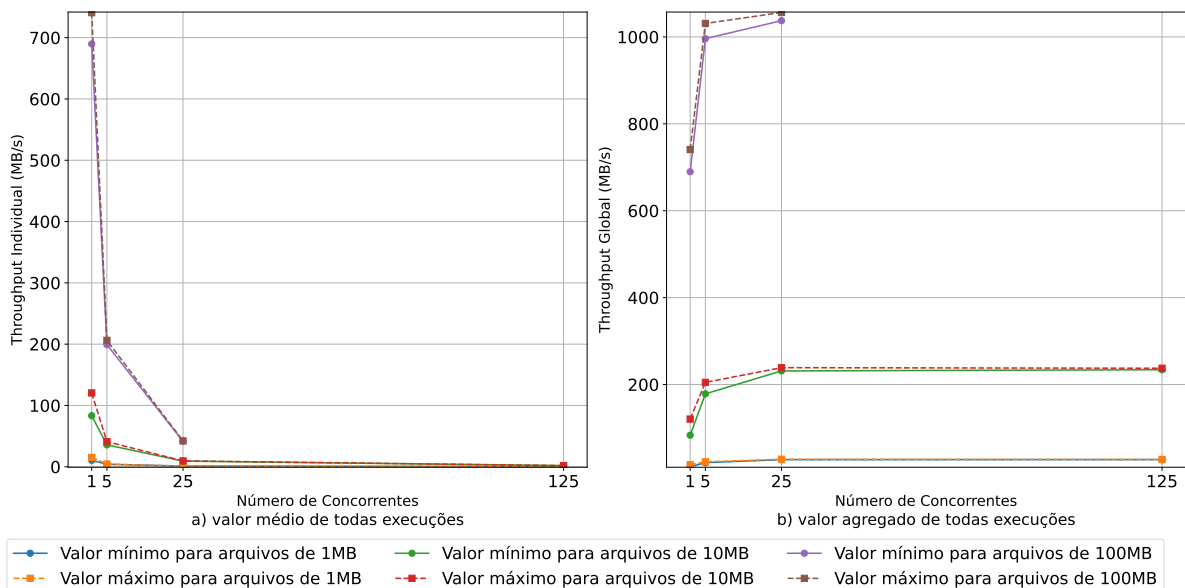
no experimento 2.

Figura 26 – Limites inferior e superior para o *throughput* da operação add no experimento 2, considerando o tamanho do arquivo e a quantidade de operações concorrentes



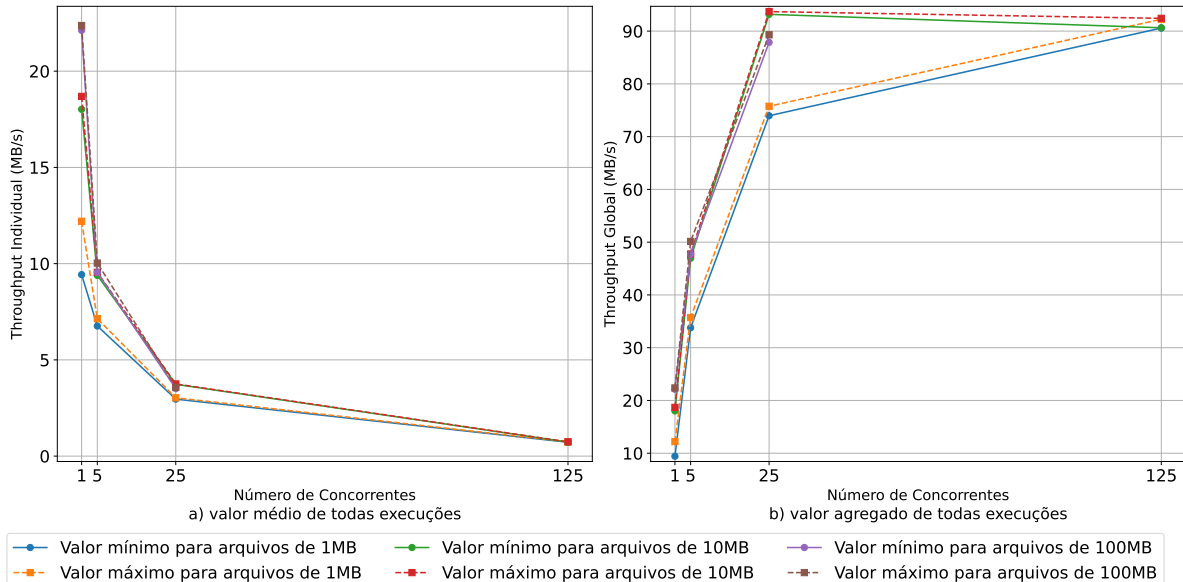
Fonte: elaborada pelo autor.

Figura 27 – Limites inferior e superior para o *throughput* da operação delete no experimento 2, considerando o tamanho do arquivo e a quantidade de operações concorrentes



Fonte: elaborada pelo autor.

Figura 28 – Limites inferior e superior para o *throughput* da operação *retrieve* no experimento 2, considerando o tamanho do arquivo e a quantidade de operações concorrentes



Fonte: elaborada pelo autor.

De acordo com essas figuras, observa-se que, de forma geral, o *throughput* global cresce quando se aumentam os tamanhos dos arquivos, enquanto o *throughput* individual tende a diminuir em razão do maior tempo médio de execução de cada operação. A elevação da concorrência também promove ganhos no *throughput* global, mas apenas até determinado ponto, já que, em cargas mais elevadas, o sistema atinge a saturação dos recursos computacionais disponíveis e o desempenho agregado deixa de crescer, podendo inclusive sofrer degradação em função do aumento do *i/o wait*. Esse comportamento se manifesta de forma clara nas operações *add* e *retrieve*, que apresentam perda de eficiência sob condições de carga intensa, ao passo que *delete*, mais uma vez, se mostra mais estável, preservando taxas elevadas e consistentes mesmo em cenários de alta concorrência. Esses resultados indicam que, embora a concorrência possa elevar a taxa de processamento agregado, há limites claros de escalabilidade impostos pela infraestrutura computacional utilizada nos testes.

5.6 Experimento 3: tempo de busca de custódias

A busca por custódias é uma das funcionalidades mais importantes providas pela G4DPA, sendo um dos diferenciais em relação às propostas de outros trabalhos relacionados. No cenário hipotético descrito neste capítulo, é ela que vai possibilitar ao médico verificar se o paciente possui registros anteriores que sejam úteis ao seu atendimento.

Para executar o experimento, inicialmente foram adicionadas 10.000 custódias através de chamadas ao GTW, que, por sua vez, realizou as correspondentes chamadas à função `addCustody` do contrato inteligente G4DPA-SC. Os campos de cada custódia foram gerados aleatoriamente de modo a haver registrados, ao final, 50 custódias com a palavra-chave “ECC” para cada um de 200 TDs.

Uma vez carregados os dados na BC, buscas foram realizadas por CRs da área de saúde, ou seja, que apresentam ao GTW certificados digitais com as extensões *role = controller* e *segment = healthcare*, indicando em suas requisições a base legal de proteção dos interesses vitais do TD, conforme indicado nas tabelas 12 e 14 das seções 3.3.2.3 e 3.3.3.3, respectivamente.

O experimento foi conduzido em 5 etapas, cada uma com 100 rodadas, número este explicado na seção 5.2. Em cada etapa, a quantidade de CRs concorrentes foi fixada em uma das possibilidades 1, 5, 25, 125 e 625. Assim, foi obtido o tempo de cada requisição e calculado o tempo médio por busca, agrupando-o pela quantidade de CRs concorrentes. A tabela 26 apresenta os resultados obtidos, que são resumidos em seguida no gráfico da figura 29.

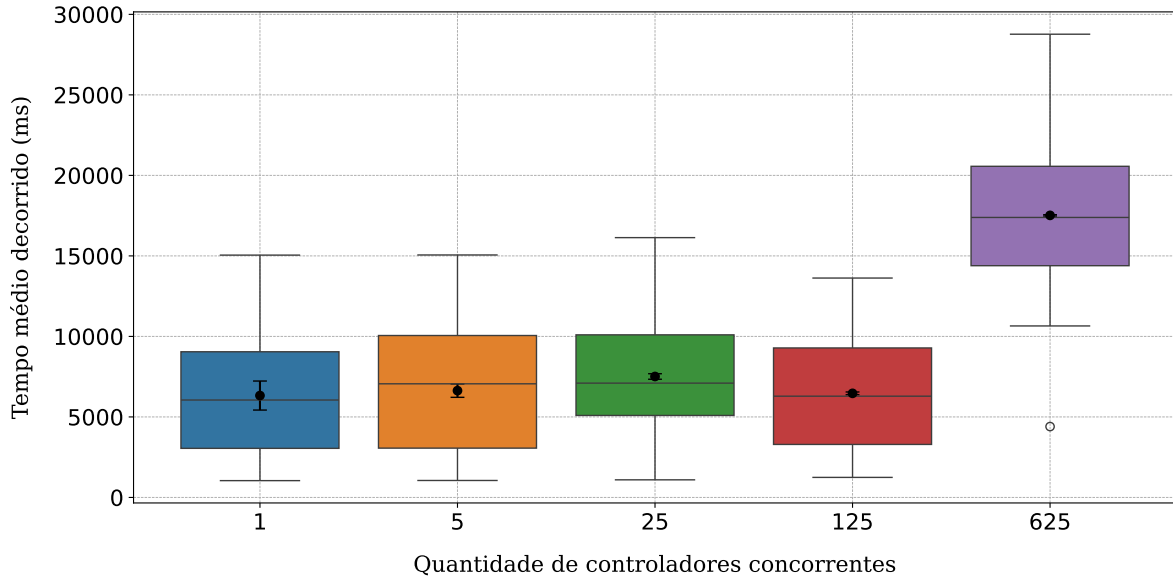
Tabela 26 – Resultados numéricos do experimento 3

CDs concorrentes	Tempo mín. (ms)	Tempo máx. (ms)	Média (ms)	Mediana (ms)	Desvio padrão (ms)	Amplitude do IC (99%)	IC inferior	IC superior
1	1044	15.049	6328	6050	3499	1803	5426	7229
5	1053	15.058	6633	7057	3628	833	6217	7050
25	1093	16.135	7512	7099	3346	343	7340	7683
125	1245	13.625	6464	6289	3590	171	6379	6550
625	4402	28.768	17.517	17.388	4003	83	17.475	17.558

Fonte: elaborada pelo autor.

Como pode ser observado, o tempo médio de uma busca se mantém aproximadamente o mesmo em todos os valores até 125 CRs concorrentes. Já ao empregar 625 CRs, o tempo médio praticamente triplica. Isso ocorre por conta do tempo de produção dos blocos. Uma transação somente é confirmada quando o bloco em que ela foi minerada é produzido. A periodicidade de produção de blocos foi configurada como a cada 12 segundos, como informado no início deste capítulo. As transações que não puderam ser processadas no bloco corrente permanecem pendentes para processamento nos blocos subsequentes. Assim, o gráfico da figura 29 está indicando que, repetidas as condições do experimento, há 99% de chance de o processamento das 625 requisições de busca ser realizado através de transações que ocorrem ao longo de 2 blocos.

Figura 29 – *Box-plot* do tempo de busca de custódias por quantidade de CRs concorrentes



Fonte: elaborada pelo autor.

5.7 Experimento 4: tempo de compartilhamento de custódias

O quarto e último experimento teve por objetivo analisar o desempenho da principal e mais complexa funcionalidade oferecida pela G4DPA, o compartilhamento de arquivos entre CDs, detalhada na seção 4.5.2. A ideia foi executar requisições de compartilhamento de arquivos de 1 MB concorrentemente entre controladores. A escolha deste tamanho de arquivo considerou, inicialmente, a ideia de testar o desempenho do GTW e da BC. As funções criptográficas sobre os arquivos, assim como sua transmissão através do IPFS, não ocorrem utilizando recursos do GTW diretamente, mas utilizando recursos dos controladores. Isso contribui para a melhor escalabilidade da solução, uma vez que o processamento e o armazenamento acabam distribuídos entre os próprios CDs.

Neste experimento, considerando a limitação do ambiente computacional disponível, dois nós IPFS serão utilizados. Os identificadores dos CDs são sequenciais, e se o identificador for par, usará um dos nós IPFS; se for ímpar, usará o outro. As requisições de compartilhamento são enviadas do controlador identificado por i para o controlador identificado por $i + 1$, exceto o último, que enviará a notificação para o CD de menor identificador. Desse modo, será formado um anel, e cada CD envia e recebe exatamente uma requisição e uma notificação de compartilhamento, respectivamente, ou seja, ora atua como CR, ora como CC. O desempenho do compartilhamento foi avaliado na perspectiva da quantidade de operações de compartilhamento conduzidas concorrentemente, podendo ser 2, 5, 25 e 125.

Devido ao maior consumo de recursos computacionais deste experimento em relação ao experimento 3 e à limitação do *setup* disponível para os testes, restringiu-se a maior quantidade de operações realizadas de maneira concorrente a 125, considerando que, neste caso, os arquivos são lidos e criptografados pelos controladores, consumindo mais memória e produzindo mais operações de entrada e saída, especialmente considerando que os nós IPFS estão concorrendo pelos mesmos recursos de processamento, memória e *i/o* do disco. De todo modo, cada uma das possibilidades foi experimentada em 100 rodadas de forma separada, como motivado na seção 5.2. O tempo médio de cada compartilhamento completo foi registrado fase por fase e, uma vez concluídas todas as rodadas, foi calculado o tempo médio de compartilhamento por fase e por quantidade de operações concorrentes de compartilhamento. Ainda, como no experimento 2, foram utilizados arquivos binários com conteúdo aleatório, pelos mesmos motivos mencionados quando de sua análise.

Em preparação para execução do experimento, foram adicionadas através de chamadas ao GTW (e a `addCustody`, por consequência) 50 custódias para cada controlador dos 125 possíveis, totalizando 6250 custódias. Os campos de cada custódia foram gerados do mesmo modo que no experimento 3. Uma vez carregados os dados na BC, foram realizadas as requisições de compartilhamento por cada um dos CDs, sendo uma por rodada, de um total de 100 rodadas. Os resultados numéricos deste experimento estão listados na tabela 27.

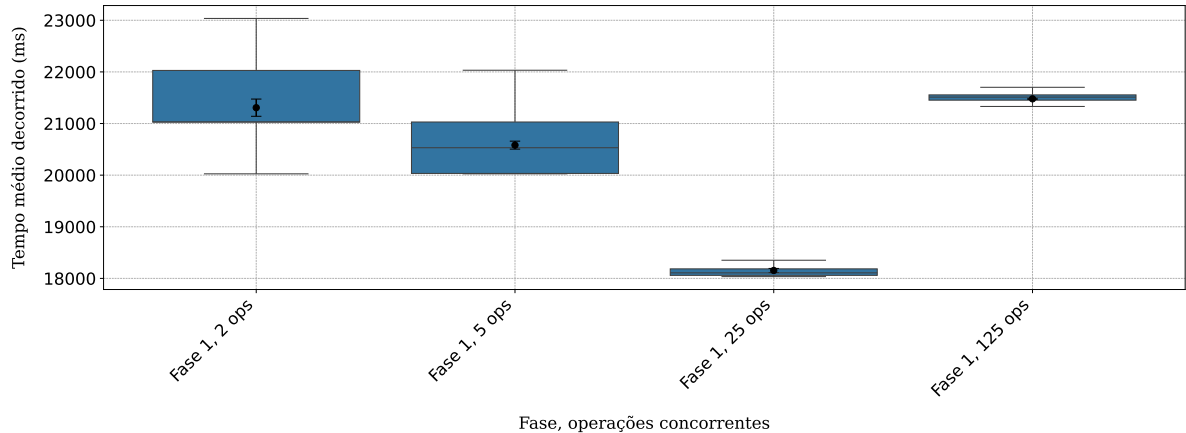
Tabela 27 – Resultados numéricos do experimento 4, para arquivo de 1 MB com até 125 operações concorrentes

Fase	Operações concorrentes	Tempo mín. (ms)	Tempo máx. (ms)	Média (ms)	Mediana (ms)	Desvio padrão (ms)	Amplitude do IC (99%)	IC inferior	IC superior
1	2	14.032	23.036	21.307	21.031	913	334	21.140	21.474
	5	20.026	24.029	20.581	20.531	634	154	20.504	20.658
	25	13.041	23.047	18.153	18.107	729	79	18.114	18.193
	125	18.619	21.720	21.479	21.512	302	22	21.468	21.489
2	2	12.106	16.154	12.381	12.149	547	201	12.280	12.482
	5	12.166	13.217	12.244	12.201	198	47	12.221	12.268
	25	12.594	12.916	12.693	12.685	67	9	12.689	12.698
	125	12.369	13.023	12.618	12.593	135	14	12.611	12.626
3	2	24.191	36.891	24.690	24.245	1404	515	24.432	24.947
	5	24.279	25.253	24.527	24.472	219	89	24.482	24.571
	25	24.561	25.061	24.809	24.816	73	15	24.801	24.817
	125	26.687	27.179	26.847	26.840	87	30	26.832	26.862
4	2	42	1331	81	70	128	47	58	105
	5	109	176	143	144	12	7	140	147
	25	373	1157	560	547	100	19	550	569
	125	3216	3828	3539	3533	109	39	3520	3559

Fonte: elaborada pelo autor.

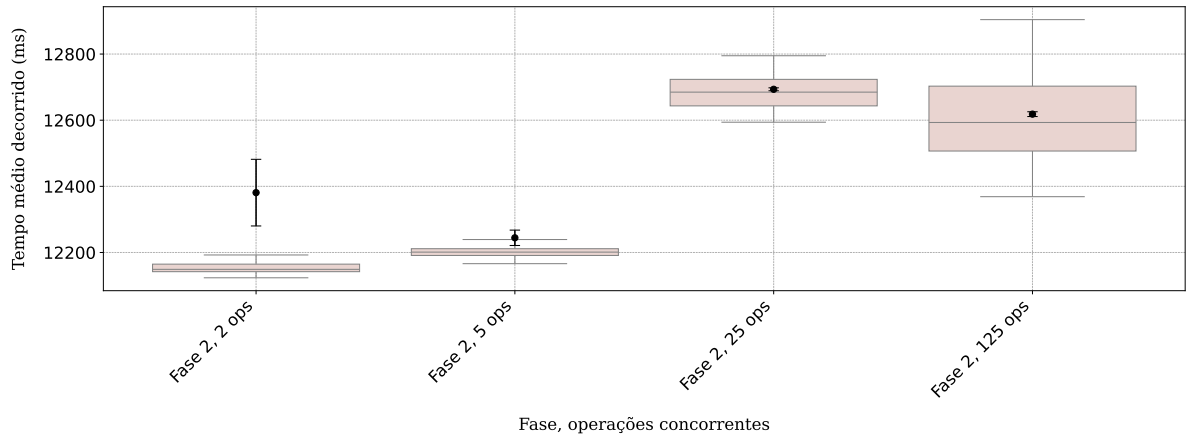
As figuras 30, 31, 32 e 33 apresentam gráficos *box-plot* para tempo de duração das fases 1, 2, 3 e 4, respectivamente, em função da quantidade de operações concorrentes de CRs, que podem ser 2, 5, 25 ou 125.

Figura 30 – *Box-plot* do tempo de duração da fase 1 por quantidade de CRs concorrentes



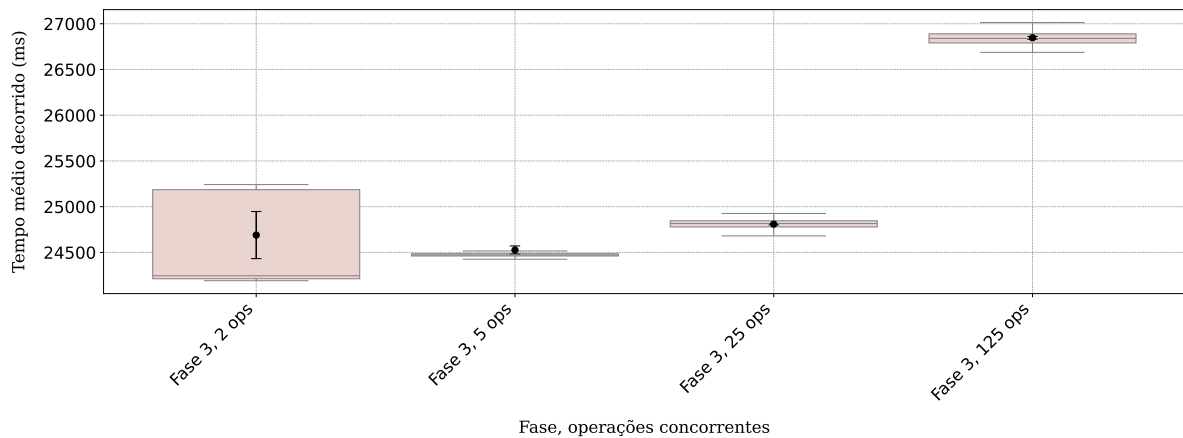
Fonte: elaborada pelo autor.

Figura 31 – *Box-plot* do tempo de duração da fase 2 por quantidade de CRs concorrentes



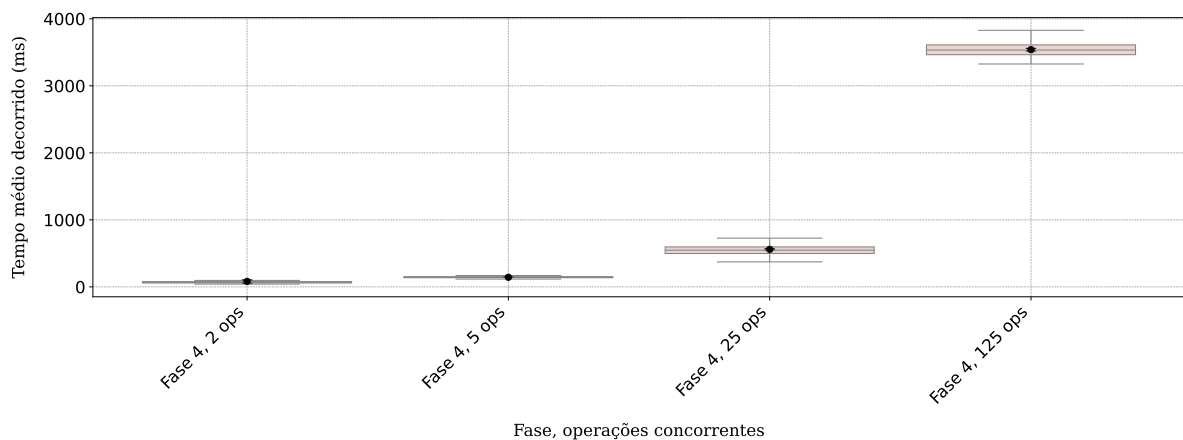
Fonte: elaborada pelo autor.

Figura 32 – *Box-plot* do tempo de duração da fase 3 por quantidade de CRs concorrentes



Fonte: elaborada pelo autor.

Figura 33 – *Box-plot* do tempo de duração da fase 4 por quantidade de CRs concorrentes

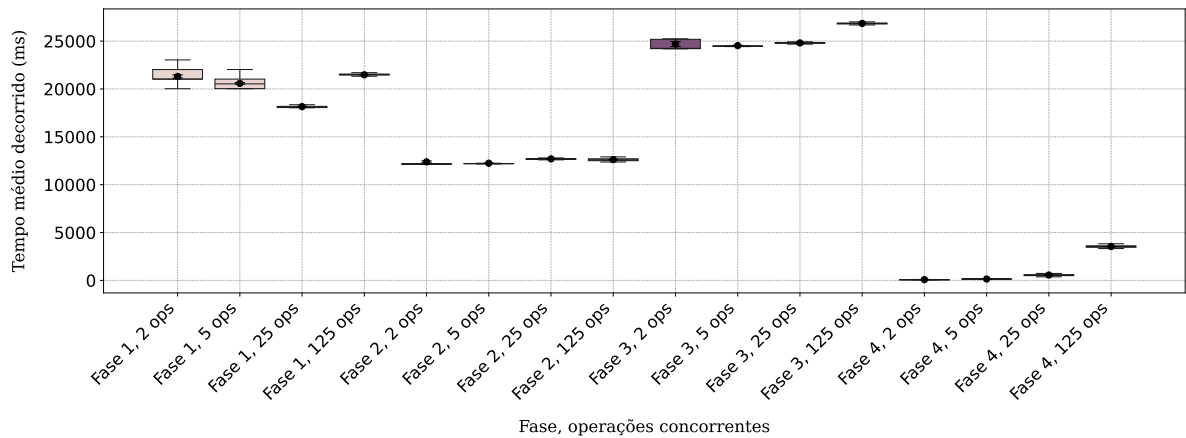


Fonte: elaborada pelo autor.

De modo comparativo, a figura 34 consolida as quatro figuras anteriores para o tempo decorrido nas fases 1, 2, 3 e 4, considerando 2, 5, 25 ou 125 operações concorrentes. Como se observa, não há uma grande variação produzida com o incremento da quantidade de operações concorrentes em cada fase, o que é um indício de que o GTW apresenta uma razoável escalabilidade. Considerando os tempos de transmissão de um arquivo através do IPFS vistos no experimento 2, que são menores que os reais por não levarem em conta a latência da rede, o tempo do processo de compartilhamento pode compensar o maior tempo necessário para transmitir arquivos maiores. Em outras palavras, a transmissão de arquivos muito pequenos através dessa implementação apresenta *overheads* maiores do que a transmissão de grandes arquivos. A ideia é que o tempo de transmissão do arquivo pela rede através do IPFS acabe sendo absorvido pelo tempo de espera pela produção dos blocos da rede Ethereum, o que acaba

limitando o tempo do processo de compartilhamento.

Figura 34 – *Box-plot* do tempo de duração de todas as fases por quantidade de CRs concorrentes



Fonte: elaborada pelo autor.

6 CONSIDERAÇÕES FINAIS

Neste capítulo, apresentam-se as considerações finais do trabalho. A seção 6.1 apresenta as principais contribuições, a seção 6.2 expõe as limitações do trabalho, a seção 6.3 discute as conclusões decorrentes da pesquisa e a seção 6.4 indica oportunidades de pesquisas futuras relacionadas ao tema.

6.1 Principais contribuições

As principais contribuições deste trabalho são apresentadas a seguir, de forma resumida.

1. Foi apresentada a arquitetura G4DPA, concebida para o compartilhamento de arquivos contendo dados pessoais em conformidade com a GDPR e a LGPD (CASTRO *et al.*, 2022). Entre seus componentes estão um *gateway* HTTP, responsável por receber requisições e anonimizar dados pessoais; uma *blockchain*, utilizada para armazenar metadados anonimizados de busca e para emitir notificações por meio de eventos; e nós *IPFS*, empregados para a transmissão efetiva dos arquivos.
2. Foi desenvolvido um mecanismo de troca de mensagens que assegura confidencialidade, integridade, autenticação mútua e não repúdio, permitindo que controladores de dados comuniquem-se com o *gateway* sem a necessidade de login ou transmissão de credenciais pela rede.
3. Foi proposto um mecanismo de auditoria, implementado sobre *blockchain*, que possibilita verificar se as operações realizadas sobre dados pessoais estão em conformidade com legislações de proteção de dados. Esse mecanismo registra informações adicionais, como a identidade pseudoanonimizada do titular, a identificação do controlador custodiante e do requisitante, bem como a base legal e o propósito do processamento. Diferentemente da maior parte dos trabalhos correlatos, esta proposta inclui explicitamente o registro da base legal e do propósito, ampliando o suporte à conformidade regulatória.
4. Por fim, destaca-se a funcionalidade de busca por custódias, considerada um dos principais diferenciais da G4DPA em relação a trabalhos existentes. Tal funcionalidade permite que, em cenários práticos, como o atendimento médico, seja possível identificar registros prévios de pacientes, localizar arquivos sob custódia de diferentes controladores e viabilizar seu eventual compartilhamento, sempre em conformidade com legislações de proteção de

dados e com suporte a auditoria.

6.2 Limitações

A seguir, são apontadas as principais limitações deste trabalho.

1. A busca bibliográfica restringiu-se à base Scopus em razão de limitações de tempo, e o procedimento não seguiu integralmente todas as etapas de uma revisão sistemática conforme proposto por (KITCHENHAM; CHARTERS, 2007), o que prejudicou a cobertura da busca pela literatura relevante. Apesar disso, a base Scopus é reconhecida como uma das mais extensas bases compreendendo publicações científicas com curadoria, oferecendo ampla cobertura global e regional de revistas e periódicos, além de agregar resultados de várias outras bases e agregadores (seção 2.1);
2. Presume-se que APD, AC e GTW são entidades confiáveis e cumprem suas atribuições honestamente, o que reduz o escopo do modelo de ameaças, podendo causar subestimativas dos riscos associados (seção 4.3);
3. A arquitetura requer uma PKI para emissão e revogação de certificados digitais das entidades comunicantes, de modo que a segurança das funcionalidades depende da robustez dessa infraestrutura e de uma adequada gestão do ciclo de vida dos certificados (seções 4.3 e 4.1);
4. Cada entidade necessita de um nó IPFS próprio, mantido sob seu domínio, para o funcionamento do mecanismo de exclusão de arquivos (seções 4.5 e 4);
5. Os experimentos foram conduzidos com uma *blockchain* Ethereum em modo de desenvolvimento em um único computador. Nesse caso, as latências entre as entidades são mínimas e geralmente diferentes da realidade, já que os contêineres executam em um mesmo *host*, e houve alguns testes que causaram sobrecarga de operações de *i/o*, limitando a análise. Além disso, não houve teste sobre *blockchains* de consórcio ou outras plataformas (seções 5.2 e 5.3).

6.3 Discussão

Boa parte dos trabalhos relacionados investigados não apresentou evidência de atenção em relação à conformidade com os regulamentos de proteção de dados pessoais. Apesar de ser relativamente novo, esse tema tem se tornado cada vez mais ubíquo. Dessa feita, é importante

que os trabalhos acadêmicos apresentem cuidado com o atendimento a esses normativos. Há também trabalhos que estranhamente armazenam dados pessoais diretamente na *blockchain*. Como visto, isso fere os direitos dos titulares de dados na GDPR e na LGPD, pois impede a exclusão e a retificação desses dados mediante solicitação do titular e, ainda, implica na disponibilidade dessa informação por todos os nós que processam as transações da *blockchain*. O único caso visto na literatura investigada que contorna essa situação é o artigo de (YEH *et al.*, 2023), que apresenta uma *blockchain* editável, mas que ainda é uma tecnologia iniciando o seu desenvolvimento e, a princípio, não apresenta, em contrapartida, o mesmo grau de imutabilidade de uma *blockchain* tradicional.

Como mencionado anteriormente, a Ethereum foi a *blockchain* escolhida para a prova de conceito deste trabalho por ter sido constatado que ela foi a mais utilizada nos trabalhos relacionados, e é versátil para permitir a configuração em rede pública (Mainnet) ou privada. Todavia, conforme os resultados dos experimentos, a utilização da G4DPA com uma rede pública Ethereum pode ser muito onerosa, considerando os custos de gas das funções do contrato inteligente G4DPA-SC, a depender da aplicação. Sendo esse o caso, é mais interessante configurar uma rede privada Ethereum, ou, ainda, avaliar a utilização de outras plataformas *blockchain*, como o HLF.

Outra questão sobre o uso de Ethereum diz respeito à latência e ao *throughput*. Como os blocos têm tamanho limitado e são produzidos atualmente a cada 12 segundos em média, há um limite para a quantidade de transações executadas por unidade de tempo. Obviamente, quanto menor o consumo de gas do contrato inteligente, melhor. Todavia, ainda assim há que se ter cuidado com as variações de custo dos *tokens* Ethereum (ETH). Isso porque, durante o funcionamento da rede, há variações no gasPrice, que é o parâmetro de conversão entre unidades de gas e ETH. Além disso, o preço do ETH também é flutuante em relação a moedas como dólar e real. Assim, em períodos de grande utilização da Ethereum, as transações podem ser mais caras e mais demoradas.

A arquitetura apresentada se mostrou funcional e viável para uso prático, sendo necessário, porém, escolher uma plataforma *blockchain* adequada ao caso de uso. Se os custos de uso da rede Ethereum Mainnet forem considerados elevados, é possível implantar uma rede privada Ethereum, restando necessário, porém, definir mecanismos de consenso, incentivo a mineradores, políticas de implantação, etc.

6.4 Trabalhos futuros

A pesquisa atual estabelece uma base para diversas investigações futuras no campo de blockchain e segurança de dados pessoais. A seguir, são apresentadas algumas direções técnicas promissoras para trabalhos futuros:

1. Uma possível solução para otimizar a escalabilidade e a eficiência da blockchain na arquitetura proposta, aumentando o *throughput* de transações e a diminuição dos custos de operação, seria utilizar uma *blockchain* de camada 2, ou seja, uma *blockchain* sobre *blockchain*.
2. Uma comparação entre a implementação atual, utilizando Ethereum, e uma adaptação utilizando a plataforma HLF seria interessante, de modo a expandir a compatibilidade de uso da arquitetura para outros contextos, avaliando desempenho, custo e segurança e identificando as vantagens e desvantagens através de experimentação.
3. Vários trabalhos relacionados utilizaram técnicas criptográficas avançadas, como ABE, *proxy-reencryption*, criptografia homomórfica e ZKP. Uma possibilidade seria substituir algumas das primitivas criptográficas utilizadas neste trabalho por algumas destas, visando melhorar a sua aplicabilidade, seu desempenho ou seu custo.
4. Investigar algoritmos que aprimorem a técnica de pseudoanonimização empregada, como esquemas de compartilhamento de segredo (e.g., SSSA), para mitigar o risco de comprometimento de uma senha armazenada.
5. Para a utilização desta arquitetura em uma plataforma Ethereum privada, é necessário realizar a implantação de nós de forma a alcançar segurança e latência adequada. Para isso, é necessário avaliar algoritmos de consenso e definir modelos de incentivo e punição para os participantes da rede.
6. Como visto, a segurança dos contratos inteligentes é um aspecto fundamental para a integridade das aplicações sobre plataformas blockchain. Assim, estudos de ferramentas, frameworks e metodologias para identificação e mitigação de vulnerabilidades são muito importantes para uma boa codificação, proporcionando segurança à execução dos contratos inteligentes.
7. Os experimentos deste trabalho foram realizados sobre recursos computacionais bastante limitados. A execução dos experimentos em um ambiente mais próximo do mundo real, com GTWs replicados, aplicações dos CDs e nós IPFS distante geograficamente, e

dispondo de recursos computacionais independentes, possibilitará uma melhor visualização sobre o desempenho e os custos de execução de um sistema baseado nesta arquitetura.

REFERÊNCIAS

- ABDELGALIL, L.; MEJRI, M. Healthblock: A framework for a collaborative sharing of electronic health records based on blockchain. **Future Internet**, Multidisciplinary Digital Publishing Institute, [S. l.], v. 15, mar. 2023. ISSN 19995903.
- ABOUALI, M.; SHARMA, K.; AJAYI, O.; SAADAWI, T. Blockchain framework for secured on-demand patient health records sharing. In: **2021 IEEE 12th Annual Ubiquitous Computing, Electronics & Mobile Communication Conference (UEMCON)**. Nova Iorque, Estados Unidos: Institute of Electrical and Electronics Engineers, 2021. p. 0035–0040.
- ALI, M. S.; VECCHIO, M.; PINCHEIRA, M.; DOLUI, K.; ANTONELLI, F.; REHMANI, M. H. Applications of blockchains in the internet of things: A comprehensive survey. **IEEE Communications Surveys & Tutorials**, [S. l.], v. 21, n. 2, p. 1676–1717, 2019.
- ALOBADH, H.; YASIN, S. M.; UDVIR, N. I.; NINGGAL, M. I. H. Blockchain-based access control scheme for secure shared personal health records over decentralised storage. **Sensors**, Multidisciplinary Digital Publishing Institute, [S. l.], v. 21, abr. 2021. ISSN 14248220.
- ANPD. **Balanço 3 anos**. 2023. Acesso em: 19 nov. 2023. Disponível em: https://www.gov.br/anpd/pt-br/documentos-e-publicacoes/anpd_balanco_tres_anos.pdf.
- ANTONOPOULOS, A.; WOOD, G. **Mastering Ethereum: Building Smart Contracts and DApps**. [S. l.]: O'Reilly Media, 2018. ISBN 9781491971949. Disponível em: <https://github.com/ethereumbook/ethereumbook/tree/develop?tab=readme-ov-file>.
- ARBABI, M. S.; LAL, C.; VEERARAGAVAN, N. R.; MARIJAN, D.; NYGÅRD, J. F.; VITENBERG, R. A survey on blockchain for healthcare: Challenges, benefits, and future directions. **IEEE Communications Surveys & Tutorials**, [S. l.], v. 25, n. 1, p. 386–424, 2023.
- BAAS, J.; SCHOTTEN, M.; PLUME, A.; CÔTÉ, G.; KARIMI, R. Scopus as a curated, high-quality bibliometric data source for academic research in quantitative science studies. **Quantitative Science Studies**, [S. l.], v. 1, n. 1, p. 377–386, fev. 2020. ISSN 2641-3337. Disponível em: https://doi.org/10.1162/qss_a_00019.
- BANDEKAR, P. P.; SUGUNA, G. C. LSB based text and image steganography using AES algorithm. In: **2018 3rd International Conference on Communication and Electronics Systems (ICCES)**. Coimbatore, Tamil Nadu, Índia: Institute of Electrical and Electronics Engineers, 2018. p. 782–788.
- BELLARE, M.; ROGAWAY, P. Optimal asymmetric encryption. In: SANTIS, A. D. (Ed.). **Advances in Cryptology — EUROCRYPT'94**. Berlin, Heidelberg: Springer Berlin Heidelberg, 1995. p. 92–111. ISBN 978-3-540-44717-7.
- BELLARE, M.; ROGAWAY, P. The exact security of digital signatures—how to sign with RSA and rabin. In: MAURER, U. (Ed.). **Advances in Cryptology — EUROCRYPT '96**. Berlin, Heidelberg: Springer Berlin Heidelberg, 1996. p. 399–416. ISBN 978-3-540-68339-1.
- BELOTTI, M.; BOŽIĆ, N.; PUJOLLE, G.; SECCI, S. A vademecum on blockchain technologies: When, which, and how. **IEEE Communications Surveys & Tutorials**, [S. l.], v. 21, n. 4, p. 3796–3838, 2019.

- BENET, J. **IPFS - Content Addressed, Versioned, P2P File System**. 2014. Pré-print arXiv:1407.3561. Disponível em: <http://arxiv.org/abs/1407.3561>.
- BOEYEN, S.; SANTESSON, S.; POLK, T.; HOUSLEY, R.; FARRELL, S.; COOPER, D. **Internet X.509 Public Key Infrastructure Certificate and Certificate Revocation List (CRL) Profile**. [S. l.]: RFC Editor, 2008. RFC 5280. (Request for Comments, 5280). Disponível em: <https://www.rfc-editor.org/info/rfc5280>.
- Brasil. **Lei N° 13.709, de 14 de agosto de 2018 - Lei geral de Proteção de Dados Pessoais (LGPD)**. 2018. 59–64 p. Disponível em: http://www.planalto.gov.br/ccivil_03/_ato2015-2018/2018/lei/L13709compilado.htm.
- BUTERIN, V. **Ethereum Whitepaper**. 2014. Acesso em: 21 nov. 2023. Disponível em: <https://ethereum.org/en/whitepaper/>.
- CASTRO, M. **G4DPA: código fonte (versão v1.0.0)**. 2024. Disponível em: <https://doi.org/10.5281/zenodo.17180824>.
- CASTRO, M. de; PEREIRA, M.; CASTRO, M. de. Uma arquitetura baseada em blockchain para auditoria de conformidade com regulamentos de proteção de dados. In: **Anais do XXII Simpósio Brasileiro em Segurança da Informação e de Sistemas Computacionais**. Santa Maria, Rio Grande do Sul, Brasil: Sociedade Brasileira de Computação, 2022. p. 390–395. Disponível em: <https://sol.sbc.org.br/index.php/sbseg/article/view/21684>.
- CHEN, C.-L.; YANG, J.; TSAUR, W.-J.; WENG, W.; WU, C.-M.; WEI, X. Enterprise data sharing with privacy-preserved based on hyperledger fabric blockchain in IIoTs application. **Sensors**, [S. l.], v. 22, n. 3, 2022. ISSN 1424-8220. Disponível em: <https://www.mdpi.com/1424-8220/22/3/1146>.
- CMS Law. **GDPR Enforcement Tracker Report: Numbers and Figures**. 2023. Acesso em: 11 abr. 2023. Disponível em: <https://cms.law/en/int/publication/gdpr-enforcement-tracker-report/numbers-and-figures>.
- CNUCED. **Data Protection and Privacy Legislation Worldwide**. 2024. Acesso em: 20 jun. 2024. Disponível em: <https://unctad.org/page/data-protection-and-privacy-legislation-worldwide>.
- DAVIS, D. Defective sign & encrypt in S/MIME, PKCS#7, MOSS, PEM, PGP, and XML. In: **Proceedings of the 2001 USENIX Annual Technical Conference (USENIX ATC 01)**. Boston, Massachusetts, Estados Unidos: USENIX Association, 2001. p. 65–78. Disponível em: <https://www.usenix.org/conference/2001-usenix-annual-technical-conference/defective-sign-encrypt-smime-pkcs7-moss-pem-pgp>.
- DIFFIE, W.; HELLMAN, M. New directions in cryptography. **IEEE Transactions on Information Theory**, [S. l.], v. 22, n. 6, p. 644–654, 1976.
- DLA Piper. **Data Protection Laws of the World**. 2022. Acesso em: 16 nov. 2023. Disponível em: https://www.dlapiperdataprotection.com/system/modules/za.co.heliosdesign.dla.lotw/data_protection/functions/handbook.pdf?country=all.
- DWIVEDI, S. K.; AMIN, R.; VOLLA LA, S. Blockchain-based secured IPFS-enable event storage technique with authentication protocol in VANET. **IEEE/CAA Journal of Automatica**

Sinica, Institute of Electrical and Electronics Engineers, [S. l.], v. 8, p. 1913–1922, dez. 2021. ISSN 23299274.

DWORKIN, M. **Recommendation for Block Cipher Modes of Operation: Galois/Counter Mode (GCM) and GMAC**. [S. l.]: National Institute of Standards and Technology, 2007. SP 800-38D. (Security and Privacy, 800-38D). Disponível em: <https://doi.org/10.6028/NIST.SP.800-38D>.

DWORKIN, M. **Recommendation for Block Cipher Modes of Operation: Methods for Format-Preserving Encryption**. [S. l.]: National Institute of Standards and Technology, 2019. SP 800-38G Rev. 1. (Security and Privacy, 800-38G). Disponível em: <https://doi.org/10.6028/NIST.SP.800-38Gr1-draft>.

ENISA. **Pseudonymisation techniques and best practices**. 2019. Acesso em: 25 jun. 2024. Disponível em: <https://www.enisa.europa.eu/publications/pseudonymisation-techniques-and-best-practices>.

GAO, H.; MA, Z.; LUO, S.; XU, Y.; WU, Z. Bsspd: A blockchain-based security sharing scheme for personal data with fine-grained access control. **Wireless Communications and Mobile Computing**, Hindawi Limited, [S. l.], v. 2021, 2021. ISSN 15308677.

GEBREMICHAEL, T.; LEDWABA, L. P. I.; ELDEFRAWY, M. H.; HANCKE, G. P.; PEREIRA, N.; GIDLUND, M.; AKERBERG, J. Security and privacy in the industrial internet of things: Current standards and future challenges. **IEEE Access**, [S. l.], v. 8, p. 152351–152366, 2020.

GHANI, A.; ZINEDINE, A.; MOHAJIR, M. el. A blockchain-based secure PHR data storage and sharing framework. In: **2020 6th IEEE Congress on Information Science and Technology (CiSt)**. Agadir e Essaouira, Marrocos: Institute of Electrical and Electronics Engineers, 2020. p. 162–166.

GUO, Y.; WANG, S.; HUANG, J. A blockchain-assisted framework for secure and reliable data sharing in distributed systems. **Eurasip Journal on Wireless Communications and Networking**, Springer Science and Business Media Deutschland GmbH, [S. l.], dez. 2021. ISSN 16871499.

HEBBALLI, A. K.; J, B.; AGARWAL, A.; CHALLA, M. Securing medical data records using blockchain in a cloud computing environment. In: **2023 Third International Conference on Advances in Electrical, Computing, Communication and Sustainable Technologies (ICAECT)**. Bhilai, Madhya Pradesh, Índia: Institute of Electrical and Electronics Engineers, 2023. p. 1–5.

HOANG, V.-H.; LEHTIHET, E.; GHAMRI-DOUDANE, Y. Privacy-preserving blockchain-based data sharing platform for decentralized storage systems. In: **2020 IFIP Networking Conference (Networking)**. Paris, França: [S. n.], 2020. p. 280–288.

HOSSEIN, K. M.; ESMAEILI, M. E.; DARGAHI, T.; KHONSARI, A. Blockchain-based privacy-preserving healthcare architecture. In: **2019 IEEE Canadian Conference of Electrical and Computer Engineering (CCECE)**. Edmonton, Alberta, Canadá: Institute of Electrical and Electronics Engineers, 2019. p. 1–4.

HUANG, D. C.; LIU, L. C.; DENG, Y. Y.; CHEN, C. L.; ZENG, K. W. A hyperledger fabric-based EMR sharing mechanisms with proxy re-encryption and IPFS. **Cluster Computing**, Springer, [S. l.], 2024. ISSN 15737543.

HUANG, H.; LIN, J.; ZHENG, B.; ZHENG, Z.; BIAN, J. When blockchain meets distributed file systems: An overview, challenges, and open issues. **IEEE Access**, [S. l.], v. 8, p. 50574–50586, 2020.

IPFS. **IPFS Documentation Website - Concepts**. 2023. Acesso em: 16 mar. 2023. Disponível em: <https://docs.ipfs.tech/concepts>.

JABARULLA, M. Y.; LEE, H. N. Blockchain-based distributed patient-centric image management system. **Applied Sciences (Switzerland)**, Multidisciplinary Digital Publishing Institute, [S. l.], v. 11, p. 1–20, jan. 2021. ISSN 20763417.

JAIN, M.; JAILIA, M. Blockchain-based data sharing approach considering educational data. **International Journal of Information Security and Privacy**, [S. l.], v. 16, p. 1–20, jan. 2022.

JAIN, R. **The Art of Computer Systems Performance Analysis: Techniques for Experimental Design, Measurement, Simulation, and Modeling**. New York: John Wiley & Sons, 1991. ISBN 978-0471503361.

JIMENEZ, R.; OSMANI, F.; KNUTSSON, B. Sub-second lookups on a large-scale kademia-based overlay. In: **2011 IEEE International Conference on Peer-to-Peer Computing**. Quioto, Japão: Institute of Electrical and Electronics Engineers, 2011. p. 82–91.

KAUR, J.; RANI, R.; KALRA, N. Attribute-based access control scheme for secure storage and sharing of EHRs using blockchain and IPFS. **Cluster Computing**, Springer, [S. l.], v. 27, p. 1047–1061, fev. 2024. ISSN 15737543.

KAVITHA, V.; SRUTHI, G.; THOSHINNY, B.; RIDUVARSHINI, S. Stagchain – a steganography based application working on a blockchain environment. In: **2022 3rd International Conference on Electronics and Sustainable Communication Systems (ICESC)**. Coimbatore, Tamil Nadu, Índia: Institute of Electrical and Electronics Engineers, 2022. p. 674–681.

KITCHENHAM, B.; CHARTERS, S. **Procedures for Performing Systematic Reviews**. Keele, Inglaterra: Keele University, 2007.

KUMAR, H.; PRABHUDEVA. An authorization framework for preserving privacy of big medical data via blockchain in cloud server. **International Journal of Advanced Computer Science and Applications**, [S. l.], v. 13, 2022.

KUMAR, P.; KUMAR, R.; GARG, S.; KAUR, K.; ZHANG, Y.; GUIZANI, M. A secure data dissemination scheme for IoT-based e-health systems using AI and blockchain. In: **GLOBECOM 2022 - 2022 IEEE Global Communications Conference**. Rio de Janeiro, Brasil: Institute of Electrical and Electronics Engineers, 2022. p. 1397–1403.

KUNZ, I.; CASOLA, V.; SCHNEIDER, A.; BANSE, C.; SCHÜTTE, J. Towards tracking data flows in cloud architectures. In: **2020 IEEE 13th International Conference on Cloud Computing (CLOUD)**. [S. l.]: Institute of Electrical and Electronics Engineers, 2020. p. 445–452.

LANGLEY, A.; HAMBURG, M.; TURNER, S. **Elliptic Curves for Security**. [S. l.]: RFC Editor, 2016. RFC 7748. (Request for Comments, 7748). Disponível em: <https://www.rfc-editor.org/info/rfc7748>.

- LAW, A. M.; KELTON, W. D. **Simulation Modeling and Analysis**. 3rd. ed. Boston, Massachusetts, Estados Unidos: McGraw-Hill, 2000. ISBN 978-0070592926.
- LI, H.; PEI, L.; LIAO, D.; WANG, X.; XU, D.; SUN, J. BDDT: use blockchain to facilitate IoT data transactions. **Cluster Computing**, Springer, [S. l.], v. 24, p. 459–473, mar. 2021. ISSN 15737543.
- LI, Y.; YU, Y.; WANG, X. Three-tier storage framework based on TBchain and IPFS for protecting IoT security and privacy. **ACM Transactions on Internet Technology**, Association for Computing Machinery, [S. l.], v. 23, ago. 2023. ISSN 15576051.
- LI, Z.; ZHANG, J.; ZHANG, J.; ZHENG, Y.; ZONG, X. Integrated edge computing and blockchain: A general medical data sharing framework. **IEEE Transactions on Emerging Topics in Computing**, Institute of Electrical and Electronics Engineers, [S. l.], 2023. ISSN 21686750.
- LIU, F.; WANG, P. A novel privacy protection method of residents' travel trajectories based on federated blockchain and interplanetary file systems in smart cities. **PeerJ Computer Science**, [S. l.], v. 9, 2023. Disponível em: <https://api.semanticscholar.org/CorpusID:260258902>.
- LUU, L.; CHU, D.-H.; OLICKEL, H.; SAXENA, P.; HOBOR, A. Making smart contracts smarter. In: **Proceedings of the 2016 ACM SIGSAC Conference on Computer and Communications Security**. Viena, Áustria: Association for Computing Machinery, 2016. (CCS '16), p. 254–269. ISBN 9781450341394. Disponível em: <https://doi.org/10.1145/2976749.2978309>.
- MAINUDDIN, M.; RAHMAN, M. M.; SAJID, Z. B.; ANIK, M. A. R. Blockchain-enabled ipfs cloud solution for storing and sharing patient data securely and efficiently. In: **2023 6th International Conference on Electrical Information and Communication Technology (EICT)**. Khulna, Bangladesh: Institute of Electrical and Electronics Engineers, 2023. p. 1–6.
- MALLICK, S.; LENKA, D.; TRIPATHY, P.; RAO, D.; SHARMA, S.; RAY, N. A lightweight, secure, and scalable blockchain-fog-iot healthcare framework with ipfs data storage for healthcare 4.0. **SN Computer Science**, [S. l.], v. 5, jan. 2024.
- MAYMOUNKOV, P.; MAZIÈRES, D. Kademia: A peer-to-peer information system based on the XOR metric. In: **First International Workshop on Peer-to-Peer Systems**. Berlin, Heidelberg: Springer-Verlag, 2002. (IPTPS '01), p. 53–65. ISBN 3540441794.
- MITTAL, S.; GHOSH, M. A three-phase framework for secure storage and sharing of healthcare data based on blockchain, IPFS, proxy re-encryption and group communication. **Journal of Supercomputing**, Springer, [S. l.], abr. 2023. ISSN 15730484.
- MORIARTY, K.; KALISKI, B.; JONSSON, J.; RUSCH, A. **PKCS #1: RSA Cryptography Specifications Version 2.2**. [S. l.]: RFC Editor, 2016. RFC 8017. (Request for Comments, 8017). Disponível em: <https://www.rfc-editor.org/info/rfc8017>.
- NAKAMOTO, S. **Bitcoin: A Peer-to-Peer Electronic Cash System**. 2008. Acesso em: 21 nov. 2023. Disponível em: <https://assets.pubpub.org/d8wct41f/31611263538139.pdf>.
- NGUYEN, D. C.; PATHIRANA, P. N.; DING, M.; SENEVIRATNE, A. Blockchain for secure EHRs sharing of mobile cloud based e-health systems. **IEEE Access**, [S. l.], v. 7, p. 66792–66806, 2019.

NIST. **Secure Hash Standard (SHS)**. [S. l.]: National Institute of Standards and Technology, 2015. FIPS 180-4. (Federal Information Processing Standards, 180-4). Disponível em: <https://doi.org/10.6028/NIST.FIPS.180-4>.

NIST. **Advanced Encryption Standard (AES)**. [S. l.]: National Institute of Standards and Technology, 2023. FIPS 197. (Federal Information Processing Standards, 197). Disponível em: <https://doi.org/10.6028/NIST.FIPS.197-upd1>.

OH, J.; LEE, J. Y.; KIM, M. H.; PARK, Y.; PARK, K. S.; NOH, S. K. A secure personal health record sharing system with key aggregate dynamic searchable encryption. **Electronics (Switzerland)**, Multidisciplinary Digital Publishing Institute, [S. l.], v. 11, out. 2022. ISSN 20799292.

OMG. **Business Process Model And Notation**. 2010. Acesso em: 14 jul. 2024. Disponível em: <https://www.omg.org/spec/BPMN>.

PAAR, C.; PELZL, J. **Understanding Cryptography: A Textbook for Students and Practitioners**. [S. l.]: Springer Berlin Heidelberg, 2010. ISBN 9783642041006.

Parlamento Europeu, Conselho da União Europeia. **Regulation (EU) 2016/679 of the European Parliament and of the Council of 27 April 2016 on the protection of natural persons with regard to the processing of personal data and on the free movement of such data, and repealing Directive 95/46/EC (General Data Protection Regulation)**. 2016. 1–88 p. Disponível em: <https://eur-lex.europa.eu/eli/reg/2016/679>.

RAJ, R.; GHOSH, M. A blockchain based lightweight and secure access control framework for IoT-enabled supply chain. **Peer-to-Peer Networking and Applications**, Springer, [S. l.], 2024. ISSN 19366450.

RIVEST, R. L.; SHAMIR, A.; ADLEMAN, L. A method for obtaining digital signatures and public-key cryptosystems. **Communications of the ACM**, Association for Computing Machinery, Nova Iorque, Estados Unidos, v. 21, n. 2, p. 120–126, fev. 1978. ISSN 0001-0782. Disponível em: <https://doi.org/10.1145/359340.359342>.

ROSENBERG, M.; CONFESSORE, N.; CADWALLADR, C. **How Trump Consultants Exploited the Facebook Data of Millions**. 2018. Disponível em: <https://www.nytimes.com/2018/03/17/us/politics/cambridge-analytica-trump-campaign.html>.

RUSSO, B.; VALLE, L.; BONZAGNI, G.; LOCATELLO, D.; PANCALDI, M.; TOSI, D. Cloud computing and the new EU general data protection regulation. **IEEE Cloud Computing**, [S. l.], v. 5, n. 6, p. 58–68, 2018.

SHARMA, S.; GHANSHALA, K. K.; MOHAN, S. Blockchain-based internet of vehicles (IoV): An efficient secure ad hoc vehicular networking architecture. In: **2019 IEEE 2nd 5G World Forum (5GWF)**. Dresden, Alemanha: Institute of Electrical and Electronics Engineers, 2019. p. 452–457.

SHREE, S.; ZHOU, C.; BARATI, M. Data protection in internet of medical things using blockchain and secret sharing method. **Journal of Supercomputing**, Springer, [S. l.], v. 80, p. 5108–5135, mar. 2024. ISSN 15730484.

SINGH, A.; RATHEE, G. A decentralized data sharing model using blockchain with fine grained access control. *In: 2023 International Conference on Computational Intelligence and Sustainable Engineering Solutions (CISES)*. Greater Noida, Uttar Pradesh, Índia: Institute of Electrical and Electronics Engineers, 2023. p. 13–18.

SMART, N. P. **Cryptography Made Simple**. [S. l.]: Springer International Publishing, 2016. ISBN 9783319219356.

STALLINGS, W. **Cryptography and Network Security Principles and Practices, Fourth Edition**. [S. l.]: Prentice Hall, 2005. ISBN 9780131873162.

STOYCHEFF, E. Under surveillance: Examining facebook's spiral of silence effects in the wake of nsa internet monitoring. **Journalism and Mass Communication Quarterly**, [S. l.], v. 93, n. 2, p. 296 – 311, 2016.

SZABO, N. **Smart Contracts**. 1994. Acesso em: 20 mai. 2024. Disponível em: <https://www.fon.hum.uva.nl/rob/Courses/InformationInSpeech/CDROM/Literature/LOTwinterschool2006/szabo.best.vwh.net/smart.contracts.html>.

TIKKINEN-PIRI, C.; ROHUNEN, A.; MARKKULA, J. EU general data protection regulation: Changes and implications for personal data collecting companies. **Computer Law & Security Review**, [S. l.], v. 34, n. 1, p. 134–153, 2018. ISSN 0267-3649. Disponível em: <https://www.sciencedirect.com/science/article/pii/S0267364917301966>.

TONG, W.; YANG, L.; LI, Z.; JIN, X.; TAN, L. Enhancing security and flexibility in the industrial internet of things: Blockchain-based data sharing and privacy protection. **Sensors**, Multidisciplinary Digital Publishing Institute, [S. l.], v. 24, fev. 2024. ISSN 14248220.

TRAUTWEIN, D.; RAMAN, A.; TYSON, G.; CASTRO, I.; SCOTT, W.; SCHUBOTZ, M.; GIPP, B.; PSARAS, Y. Design and evaluation of IPFS : A storage layer for the decentralized web. *In: ACM SIGCOMM 2022 Conference (SIGCOMM '22)*. Amsterdã, Países Baixos: Association for Computing Machinery, 2022.

TRUONG, N. B.; SUN, K.; LEE, G. M.; GUO, Y. GDPR-compliant personal data management: A blockchain-based solution. **IEEE Transactions on Information Forensics and Security**, [S. l.], v. 15, p. 1746–1761, 2020.

ULLAH, Z.; RAZA, B.; SHAH, H.; KHAN, S.; WAHEED, A. Towards blockchain-based secure storage and trusted data sharing scheme for IoT environment. **IEEE Access**, Institute of Electrical and Electronics Engineers, [S. l.], v. 10, p. 36978–36994, 2022. ISSN 21693536.

UPPAL, S.; KANSEKAR, B.; MEHER, P.; MINI, S.; TOSH, D. CareBlocks: A blockchain-based health information sharing framework for medical IoT. *In: 2021 8th International Conference on Signal Processing and Integrated Networks (SPIN)*. Noida, Uttar Pradesh, Índia: Institute of Electrical and Electronics Engineers, 2021. p. 928–933.

VERA-RIVERA, A.; HOSSAIN, E.; HUSSEIN, A. R. Exploring the intersection of consortium blockchain technologies and multi-access edge computing: Chronicles of a proof of concept demo. **IEEE Open Journal of the Communications Society**, [S. l.], v. 3, p. 2203–2236, 2022.

WEN, Y. F.; WANG, C. P. Data privacy mechanisms development and performance evaluation for personal and ubiquitous blockchain-based storage. **Journal of Supercomputing**, Springer, [S. l.], v. 79, p. 19636–19670, nov. 2023. ISSN 15730484.

- WU, Z.; WILLIAMS, A. B.; PEROULI, D. Dependable public ledger for policy compliance, a blockchain based approach. In: **2019 IEEE 39th International Conference on Distributed Computing Systems (ICDCS)**. Dallas, Texas, Estados Unidos: Institute of Electrical and Electronics Engineers, 2019. p. 1891–1900.
- XIAO, Y.; ZHANG, N.; LOU, W.; HOU, Y. T. A survey of distributed consensus protocols for blockchain networks. **IEEE Communications Surveys & Tutorials**, v. 22, n. 2, p. 1432–1465, 2020.
- XIE, Y.; HUANG, K.; YUAN, S.; LI, X.; LI, F. Versatile remote data checking scheme for cloud-assisted internet of things. **IEEE Internet of Things Journal**, [S. l.], PP, p. 1–1, jan. 2023.
- YANG, H.; LI, Y.; ZHOU, H.; ZHAO, Y.; SONG, L. A research on the sharing platform of wild bird data in yunnan province based on blockchain and interstellar file system. **Sensors**, Multidisciplinary Digital Publishing Institute, [S. l.], v. 22, set. 2022. ISSN 14248220.
- YEH, L. Y.; HSU, W. H.; SHEN, C. Y. GDPR-compliant personal health record sharing mechanism with redactable blockchain and revocable IPFS. **IEEE Transactions on Dependable and Secure Computing**, Institute of Electrical and Electronics Engineers, [S. l.], 2023. ISSN 19410018.
- YEH, L. Y.; SHEN, N. X.; HWANG, R. H. Blockchain-based privacy-preserving and sustainable data query service over 5G-VANETs. **IEEE Transactions on Intelligent Transportation Systems**, Institute of Electrical and Electronics Engineers, [S. l.], v. 23, p. 15909–15921, set. 2022. ISSN 15580016.
- ZHANG, Q.; ZHAO, Z. Distributed storage scheme for encryption speech data based on blockchain and IPFS. **Journal of Supercomputing**, Springer, [S. l.], v. 79, p. 897–923, jan. 2023. ISSN 15730484.
- ZHENG, J.; HUANG, X.; ODOOM, J.; XIANG, Y. A privacy-aware electronic medical record sharing scheme based on blockchain and identity-based cryptography. In: **2023 International Conference on Blockchain Technology and Information Security (ICBCTIS)**. Los Alamitos, Califórnia, Estados Unidos: Institute of Electrical and Electronics Engineers, 2023. p. 94–100. Disponível em: <https://doi.ieeecomputersociety.org/10.1109/ICBCTIS59921.2023.00022>.

APÊNDICE A – CONTRATO INTELIGENTE G4DP-SC

```

1  pragma solidity ^0.8.26;
2
3  // Enums
4
5  enum LawfulBase {
6      Consent, // 0, GDPR Art. 6, 1, a
7      Contract, // 1, GDPR Art. 6, 1, b
8      LegalObligation, // 2, GDPR Art. 6, 1, c
9      VitalInterests, // 3, GDPR Art. 6, 1, d
10     PublicTask, // 4, GDPR Art. 6, 1, e
11     LegitimateInterests //5,  GDPR Art. 6, 1, f
12 }
13
14 enum DataKind {
15     Essn, // 0
16     Name, // 1
17     BirthDate, // 2
18     Address, // 3
19     Email, // 4
20     HealthData // 5
21 }
22
23 enum ProcessingMode {
24     LocalStorage, // 0
25     Cloud, // 1
26     DataProcessorOutsourcing // 2
27 }
28
29 enum Purpose {
30     Storage, // 0
31     MarketingAnalysis, // 1
32     SharingWithBusinessParties, // 2
33     AutomatedDecisionMaking, // 3
34     InternationalDataTransfer, // 4
35     Research, // 5
36     ElectiveHealthCare, // 6
37     EmergencyHealthCare // 7
38 }
39
40 enum Group {
41     Healthcare, // 0
42     Government, // 1
43     Industry, // 2
44     Commerce // 3
45 }
46

```

```

47  // Structs
48
49  struct Custody {
50      uint64 startTs;
51      uint64 endTs;
52      bytes8 internalId;
53      bytes8 creationTs;
54      bytes8 keyword;
55      bytes16 dataControllerId;
56      bytes16 dataOwnerId;
57      bytes32 dataHash;
58      LawfulBase lawfulBase;
59      DataKind dataKind;
60      ProcessingMode processingMode;
61      Purpose purpose;
62  }
63
64  struct Consent {
65      uint64 idxCustody;
66      uint64 fromTs;
67      uint64 untilTs;
68      bytes16 dataOwnerId;
69      bytes16 dataCustodianId;
70      bytes16 dataRequesterId;
71      uint64 withdrawnSince;
72  }
73
74  struct Request {
75      uint64 startTs;
76      uint64 endTs;
77      bool deniedByCustodian;
78      uint64 custodyIdx;
79      bytes16 dataRequesterId;
80      LawfulBase lawfulBase;
81      DataKind dataKind;
82      Purpose purpose;
83  }
84
85  struct ErasureRequest {
86      uint64 nonce;
87  }
88
89  struct Erasure {
90      uint64 nonce;
91  }
92
93  struct RectificationRequest {
94      uint64 nonce;

```

```

95  }
96
97  struct Rectification {
98      uint64 nonce;
99  }
100
101 struct Member {
102     uint64 inactiveSince;
103 }
104
105 // Events
106
107 event LogCustody(uint64);
108 event LogRemoveCustody(bool);
109 event LogRequestSharing(bool, uint64);
110 event LogNotifySharingRequest(string indexed _dataControllerIdStr, uint64
    ↪ _sharingRequestWaitId);
111 event LogNotifyDataSent(string indexed _dataRequesterIdStr, uint64 _requestWaitId);
112 event LogNotifyDeleteDataFromIPFS(string indexed _dataControllerIdStr, uint64
    ↪ _requestWaitId);
113 event LogSearchCustody(
114     bytes16 indexed _dataRequesterId,
115     bytes16 indexed _dataOwnerId,
116     bytes16 _dataControllerId,
117     bytes8 sinceTs,
118     bytes8 untilTs,
119     bytes8 keyword,
120     LawfulBase _lawfulBase,
121     DataKind _dataKind,
122     Purpose _purpose
123 );
124 event LogEndRequest(bool);
125
126 // Contracts
127
128 contract G4DP {
129
130     // State variables
131
132     Custody[] public custodies;
133     mapping(bytes16 => uint64[]) public dataControllerCustodies;
134     mapping(bytes16 => uint64[]) public dataOwnerCustodies;
135
136     Request[] public requests;
137     mapping(bytes16 => uint64[]) public dataRequesterRequests;
138     mapping(bytes16 => uint64[]) public dataControllerRequests;
139     mapping(bytes16 => uint64[]) public dataOwnerRequests;
140

```

```

141     mapping(Group => mapping(bytes16 => Member[])) public memberOf;
142
143     // Functions
144
145     function isMemberOfGroup(bytes16 _dataControllerId, Group _group) public view
146     →     returns (bool) {
147         uint64 length = uint64(memberOf[_group][_dataControllerId].length);
148         if (length > 0 && memberOf[_group][_dataControllerId][length-1].inactiveSince
149             → == 0) {
150             return true;
151         }
152     }
153
154     function addControllerToGroup(bytes16 _dataControllerId, Group _group) public
155     →     returns (bool) {
156         if(isMemberOfGroup(_dataControllerId, _group)) {
157             return false;
158         }
159         memberOf[_group][_dataControllerId].push(Member(0));
160         return true;
161     }
162
163     function removeControllerFromGroup(bytes16 _dataControllerId, Group _group) public
164     →     returns (bool) {
165         uint64 length = uint64(memberOf[_group][_dataControllerId].length);
166         if(isMemberOfGroup(_dataControllerId, _group)) {
167             memberOf[_group][_dataControllerId][length-1].inactiveSince =
168                 → uint64(block.timestamp);
169         }
170
171         return false;
172     }
173
174     function addCustody(Custody memory _custody) public returns (uint64) {
175         uint64 idx = uint64(custodies.length);
176         _custody.startTs = uint64(block.timestamp);
177         _custody.endTs = 0;
178         custodies.push(_custody);
179         dataControllerCustodies[_custody.dataControllerId].push(idx);
180         dataOwnerCustodies[_custody.dataOwnerId].push(idx);
181         emit LogCustody(idx);
182         return idx;
183     }
184
185     function isCloseableCustody(uint64 _idxCustody, bytes16 _dataControllerId) public
186     →     view returns (bool) {

```

```

183     if (_idxCustody < custodies.length && custodies[_idxCustody].dataControllerId
184         == _dataControllerId && custodies[_idxCustody].endTs == 0) {
185         return true;
186     }
187     return false;
188 }
189
190     function closeCustody(uint64 _idxCustody, bytes16 _dataControllerId) public
191     returns (bool) {
192         if (isCloseableCustody(_idxCustody, _dataControllerId)) {
193             custodies[_idxCustody].endTs = uint64(block.timestamp);
194             emit LogRemoveCustody(true);
195             return true;
196         }
197         emit LogRemoveCustody(false);
198         return false;
199     }
200
201     function registerSearch(
202         bytes16 _dataRequesterId,
203         bytes16 _dataOwnerId,
204         bytes16 _dataControllerId,
205         bytes8 _sinceTs,
206         bytes8 _untilTs,
207         bytes8 _keyword,
208         LawfulBase _lawfulBase,
209         DataKind _dataKind,
210         Purpose _purpose) public {
211         emit LogSearchCustody(_dataRequesterId, _dataOwnerId, _dataControllerId,
212             _sinceTs, _untilTs, _keyword, _lawfulBase, _dataKind, _purpose);
213     }
214
215     function searchCustody(
216         bytes16 _dataRequesterId,
217         bytes16 _dataOwnerId,
218         bytes16 _dataControllerId,
219         LawfulBase _lawfulBase,
220         DataKind _dataKind,
221         Purpose _purpose
222     ) public view returns (uint64[] memory, Custody[] memory) {
223         // have to count before list
224         _dataControllerId = _dataControllerId;
225         uint64 j;
226         if (_lawfulBase == LawfulBase.VitalInterests && _dataKind ==
227             DataKind.HealthData && _purpose == Purpose.EmergencyHealthCare) {
228             if (isMemberOfGroup(_dataRequesterId, Group.Healthcare)) {
229                 for (uint64 i = 0; i < dataOwnerCustodies[_dataOwnerId].length; i++) {

```

```

226         if (custodies[_dataOwnerId][i].endTs == 0 &&
227             → custodies[_dataOwnerId][i].dataKind ==
228             → DataKind.HealthData) {
229             j += 1;
230         }
231     }
232
233     uint64[] memory indexes = new uint64[](j);
234     Custody[] memory cs = new Custody[](j);
235     j = 0;
236     if (_lawfulBase == LawfulBase.VitalInterests && _dataKind ==
237         → DataKind.HealthData && _purpose == Purpose.EmergencyHealthCare) {
238         if (isMemberOfGroup(_dataRequesterId, Group.Healthcare)) {
239             for (uint64 i = 0; i < dataOwnerCustodies[_dataOwnerId].length; i++) {
240                 if (custodies[_dataOwnerId][i].endTs == 0 &&
241                     → custodies[_dataOwnerId][i].dataKind ==
242                     → DataKind.HealthData) {
243                     indexes[j] = dataOwnerCustodies[_dataOwnerId][i];
244                     cs[j] = custodies[_dataOwnerId][i];
245                     j += 1;
246                 }
247             }
248         }
249     }
250
251     return (indexes, cs);
252 }
253
254 function addRequestSharing(Request memory _request) public returns (bool, uint64)
255 {
256     if (_request.lawfulBase == LawfulBase.VitalInterests && _request.dataKind ==
257         → DataKind.HealthData && _request.purpose == Purpose.EmergencyHealthCare) {
258         if (isMemberOfGroup(_request.dataRequesterId, Group.Healthcare)) {
259             if (custodies[_request.custodyIdx].endTs == 0 &&
260                 → custodies[_request.custodyIdx].dataKind == DataKind.HealthData) {
261                 uint64 idx = uint64(requests.length);
262                 _request.startTs = uint64(block.timestamp);
263                 _request.endTs = 0;
264                 requests.push(_request);
265                 dataRequesterRequests[_request.dataRequesterId].push(idx);
266                 dataControllerRequests[custodies[_request.custodyIdx].dataControllerId].
267                     push(idx);
268                 dataOwnerRequests[custodies[_request.custodyIdx].dataOwnerId].
269                     push(idx);
270                 emit LogRequestSharing(true, idx);
271             }
272         }
273     }
274 }
```

```

266         }
267     }
268 }
269
270     emit LogRequestSharing(false, 0);
271     return (false, 0);
272 }
273
274 function notifySharingRequest(string calldata _dataControllerIdStr, uint64
275   ↪ _sharingRequestWaitId) public {
276     emit LogNotifySharingRequest(_dataControllerIdStr, _sharingRequestWaitId);
277 }
278
279 function notifyRequester(string calldata _dataRequesterIdStr, uint64
280   ↪ _requestWaitId) public {
281     emit LogNotifyDataSent(_dataRequesterIdStr, _requestWaitId);
282 }
283
284 function notifyDeleteDataFromIPFS(string calldata _dataControllerIdStr, uint64
285   ↪ _requestWaitId) public {
286     emit LogNotifyDeleteDataFromIPFS(_dataControllerIdStr, _requestWaitId);
287 }
288
289 function denySharing(bytes16 _dataControllerId, uint64 _idxRequest) public returns
290   ↪ (bool) {
291     if (custodies[requests[_idxRequest]].custodyIdx .dataControllerId ==
292       ↪ _dataControllerId && requests[_idxRequest].endTs == 0) {
293       requests[_idxRequest].endTs = uint64(block.timestamp);
294       requests[_idxRequest].deniedByCustodian = true;
295
296       return true;
297     }
298
299     return false;
300 }
301
302 function endRequest(bytes16 _dataRequesterId, uint64 _idxRequest) public returns
303   ↪ (bool) {
304     if (requests[_idxRequest].dataRequesterId == _dataRequesterId &&
305       ↪ requests[_idxRequest].endTs == 0) {
306       requests[_idxRequest].endTs = uint64(block.timestamp);
307       requests[_idxRequest].deniedByCustodian = false;
308
309       emit LogEndRequest(true);
310       return true;
311     }
312
313     emit LogEndRequest(false);

```

```
307         return false;
308     }
309
310     function listAllCustodiesOfDataOwner(
311         bytes16 _dataOwnerId
312     ) external view returns (Custody[] memory) {
313         uint64 j = 0;
314         for (uint64 i = 0; i < dataOwnerCustodies[_dataOwnerId].length; i++) {
315             if (custodies[dataOwnerCustodies[_dataOwnerId][i]].endTs == 0) {
316                 j += 1;
317             }
318         }
319
320         Custody[] memory cs = new Custody[](j);
321         j = 0;
322         for (uint64 i = 0; i < dataOwnerCustodies[_dataOwnerId].length; i++) {
323             if (custodies[dataOwnerCustodies[_dataOwnerId][i]].endTs == 0) {
324                 cs[j] = custodies[dataOwnerCustodies[_dataOwnerId][i]];
325                 j += 1;
326             }
327         }
328
329         return cs;
330     }
331
332 }
```

APÊNDICE B – CÓDIGO-FONTE PRINCIPAL DO GATEWAY

```

1
2 package main
3
4 import (
5     "crypto/rsa"
6     "crypto/x509"
7     "flag"
8     "fmt"
9     "log"
10    "net/http"
11    "strconv"
12    "sync"
13    "time"
14
15    "br.marcosmc/g4dpa/dpanonymization"
16    "br.marcosmc/g4dpa/dpantireplay"
17    "br.marcosmc/g4dpa/dpconfig"
18    "br.marcosmc/g4dpa/dpcrypto"
19    "br.marcosmc/g4dpa/dpeth"
20    "br.marcosmc/g4dpa/dpidentification"
21    "br.marcosmc/g4dpa/dpipfs"
22    "br.marcosmc/g4dpa/dpmessages/dpproto"
23    "br.marcosmc/g4dpa/dpmetrics"
24    "br.marcosmc/g4dpa/dputil"
25
26    "google.golang.org/protobuf/proto"
27
28    "github.com/gin-gonic/gin"
29    "github.com/ipfs/kubo/client/rpc"
30 )
31
32 type cmdLineArguments struct {
33     gatewayCrtFile      *string
34     gatewayPrivKeyFile  *string
35     rootCACrtFile       *string
36     subCACrtFile        *string
37     ethHost              *string
38     ethHttpPort          *string
39     ethWsPort            *string
40     contractAddress     *string
41     ipfsUrl             *string
42     ipfsHttpTimeout     *time.Duration
43 }
44
45 type commonCertificates struct {
46     gatewayRsaPrivKey   *rsa.PrivateKey

```

```

47     gatewayX509Cert      *x509.Certificate
48     rootCertPool         *x509.CertPool
49     intermediateCertPool *x509.CertPool
50 }
51
52 type commonConnections struct {
53     ethConn      *dpeth.EthereumConnection
54     ipfsRpcApi  *rpc.HttpApi
55 }
56
57 type actionFunc func(*dpcrypto.Message, *commonCertificates, *commonConnections)
58     ↪ (*proto.Message, error)
59
60 type sharing struct {
61     idxRequest      uint64
62     dataRequesterId string
63     dataControllerId string
64     requesterSharingId uint64
65     controllerSharingId uint64
66     internalId      uint64
67     requesterDHPubKey [32]byte
68     controllerDHPubKey [32]byte
69     sharingProof    [32]byte
70     cid             string
71     datahash        [32]byte
72 }
73
74 var sharings = struct {
75     sync.RWMutex
76     counterForRequester uint64
77     counterForController uint64
78     dataRequester        map[uint64]*sharing
79     dataController        map[uint64]*sharing
80 }{
81     dataRequester: make(map[uint64]*sharing),
82     dataController: make(map[uint64]*sharing),
83 }
84
85 func main() {
86     log.SetFlags(log.Ldate | log.Ltime | log.Lmicroseconds | log.Lshortfile)
87     gin.SetMode(gin.ReleaseMode)
88
89     arguments := parseCmdLine()
90
91     certs, conn, gatewayIdentification, err :=
92         initializeGatewayVariables(arguments)
93     if err != nil {
94         log.Println("error: could not initialize gateway variables")

```

```

93         log.Fatalln(err)
94     }
95
96     fmt.Printf("Gateway Identification: %s\n", gatewayIdentification)
97
98     if dpconfig.GatewayMetricsEnabled {
99         dpmetrics.Initialize()
100    }
101
102    router := gin.Default()
103
104    post(dpconfig.CustodyAddRoute, addCustodyAction, certs, conn, router)
105    post(dpconfig.CustodyCloseRoute, closeCustodyAction, certs, conn, router)
106    post(dpconfig.CustodySearchRoute, searchCustodyAction, certs, conn, router)
107    post(dpconfig.CustodyRequestSharingRoute, requestSharingCustodyAction, certs,
108          ↳ conn, router)
109    post(dpconfig.SharingDetailRequestRoute, sharingDetailsAction, certs, conn,
110          ↳ router)
111    post(dpconfig.SharingDataSentRoute, sharingDataSentAction, certs, conn,
112          ↳ router)
113    post(dpconfig.WhatDataWasSharedRoute, whatDataWasSharedAction, certs, conn,
114          ↳ router)
115    post(dpconfig.DataWasGrabbedRoute, dataWasGrabbedAction, certs, conn, router)
116    post(dpconfig.DataWasDecryptedRoute, dataWasDecryptedAction, certs, conn,
117          ↳ router)
118    post(dpconfig.DataWasDeletedRoute, dataWasDeletedAction, certs, conn, router)
119
120    if dpconfig.GatewayMetricsEnabled {
121        router.GET(dpconfig.NewExecutionRoute, func(ctx *gin.Context) {
122            experiment :=
123                ↳ ctx.Query(dpconfig.ExecutionRouteParamExperiment)
124            if experiment == "" {
125                ctx.JSON(http.StatusBadRequest, gin.H{"msg": "experiment name is required"})
126            }
127            round, err :=
128                ↳ strconv.ParseUint(ctx.Query(dpconfig.ExecutionRouteParamRounds),
129                    ↳ 10, 0)
130            if err != nil {
131                ctx.JSON(http.StatusBadRequest, gin.H{"msg": "could not parse round"})
132            }
133
134            dpmetrics.NewExecution(experiment, uint(round))
135
136            ctx.JSON(http.StatusOK, gin.H{"msg": "round " +
137                ↳ strconv.FormatUint(round, 10) + " of experiment " +
138                ↳ experiment + " created"})
139        })
140    }

```

```

129     })
130
131     router.GET(dpconfig.ExecutionReportRoute, func(ctx *gin.Context) {
132         buffer, err := dpmetrics.CSV()
133         if err != nil {
134             ctx.JSON(http.StatusInternalServerError, gin.H{"msg":
135                 "could not generate csv"})
136         }
137         ctx.Header("Content-Description", "File Transfer")
138         ctx.Header("Content-Transfer-Encoding", "binary")
139         ctx.Header("Content-Disposition", "attachment;
140             filename="+dpconfig.ReportFilename)
141         ctx.Data(http.StatusOK, "application/octet-stream",
142             buffer.Bytes())
143     })
144
145     router.Run(": " + dpconfig.GatewayPort)
146 }
147
148 func parseCmdLine() *cmdLineArguments {
149     arguments := &cmdLineArguments{}
150
151     arguments.gatewayCrtFile = flag.String("gateway.crt",
152         "dpconfig.DefaultGatewayCrt, path to the gateway certificate file")
153     arguments.gatewayPrivKeyFile = flag.String("gateway.key",
154         "dpconfig.DefaultGatewayPrivateKey, path to the gateway private key file")
155     arguments.rootCACrtFile = flag.String("ca.root", dpconfig.DefaultRootCACrt,
156         "path to the root ca certificate file")
157     arguments.subCACrtFile = flag.String("ca.intermediate",
158         "dpconfig.DefaultSubCACrt, path to the intermediate ca certificate file")
159     arguments.ethHost = flag.String("eth.host", dpconfig.DefaultGatewayEthHost,
160         "ethereum node hostname")
161     arguments.ethHttpPort = flag.String("eth.http.port",
162         "dpconfig.DefaultGatewayEthHttpPort, ethereum http api port")
163     arguments.ethWsPort = flag.String("eth.ws.port",
164         "dpconfig.DefaultGatewayEthWsPort, ethereum web socket api port")
165     arguments.contractAddress = flag.String("contract.address",
166         "dpconfig.ContractAddress, g4dpa contract address")
167     arguments.ipfsUrl = flag.String("ipfs.url", dpconfig.DefaultClientIpfsUrl,
168         "url of ipfs api")
169     arguments.ipfsHttpTimeout = flag.Duration("ipfs.timeout",
170         "dpconfig.DefaultClientIpfsHttpTimeout, timeout of the http client used by
171             ipfs client")
172
173     flag.Parse()

```

```
163     return arguments
164 }
165
166
167 func initializeGatewayVariables(arguments *cmdLineArguments) (*commonCertificates,
168     *commonConnections, *dpidentification.Identification, error) {
169     var err error
170
171     rootCertPool, err := dutil.GetCertPool(*arguments.rootCACrtFile)
172     if err != nil {
173         log.Println("error: could not build root ca cert pool")
174         return nil, nil, nil, err
175     }
176
177     intermediateCertPool, err := dutil.GetCertPool(*arguments.subCACrtFile)
178     if err != nil {
179         log.Println("error: could not build intermediate ca cert pool")
180         return nil, nil, nil, err
181     }
182
183     gatewayX509Cert, err :=
184         dutil.ReadX509CertificateFromFile(*arguments.gatewayCrtFile)
185     if err != nil {
186         log.Println("error: could not read gateway certificate from file")
187         return nil, nil, nil, err
188     }
189
190     gatewayRsaPrivKey, err :=
191         dutil.ReadRsaPrivKeyFromFile(*arguments.gatewayPrivKeyFile)
192     if err != nil {
193         log.Println("error: could not read gateway private key from file")
194         return nil, nil, nil, err
195     }
196
197     ethConn, err := dpeth.NewEthConn(dpconfig.GatewayAccountEthPrivKey,
198         *arguments.ethHost, *arguments.ethHttpPort, dpconfig.ContractAddress)
199     if err != nil {
200         log.Println("error: could not initialize ethereum connection")
201         return nil, nil, nil, err
202     }
203
204     ipfsRpcApi, err := rpc.NewURLApiWithClient(*arguments.ipfsUrl,
205         &http.Client{Timeout: *arguments.ipfsHttpTimeout})
206     if err != nil {
207         log.Println("error: could not open ipfs connection")
208         return nil, nil, nil, err
209     }
210
211     return arguments, rootCertPool, intermediateCertPool, gatewayX509Cert,
212         gatewayRsaPrivKey, ethConn, ipfsRpcApi, err
213 }
```

```

206     certs := &commonCertificates{
207         gatewayRsaPrivKey:     gatewayRsaPrivKey,
208         gatewayX509Cert:      gatewayX509Cert,
209         rootCertPool:         rootCertPool,
210         intermediateCertPool: intermediateCertPool,
211     }
212
213     conn := &commonConnections{
214         ethConn:      ethConn,
215         ipfsRpcApi:  ipfsRpcApi,
216     }
217
218     gatewayIdentification :=
219         ↳ dpIdentification.GetIdFromCertificate(gatewayX509Cert)
220
221     return certs, conn, gatewayIdentification, nil
222 }
223
224 func post(route string, action actionFunc, certs *commonCertificates, conn
225         ↳ *commonConnections, router *gin.Engine) {
226     router.POST(route, func(ctx *gin.Context) {
227         statusCode, wiredProtobResponse, err := doPostActions(certs, conn, ctx,
228                     ↳ action)
229         if err != nil {
230             log.Printf("error: could not process post on route %s\n%s",
231                     ↳ route, err.Error())
232             errMsg := statusCodeToErrorMessage(statusCode)
233             ctx.JSON(statusCode, gin.H{"error": errMsg})
234             return
235         }
236
237         ctx.Data(http.StatusOK, "application/octet-stream",
238                 ↳ wiredProtobResponse)
239     })
240 }
241
242 func statusCodeToErrorMessage(statusCode int) string {
243     var errMsg string
244     switch statusCode {
245     case http.StatusBadRequest:
246         errMsg = "missing mandatory parameters"
247     case http.StatusUnauthorized:
248         errMsg = "unauthorized client"
249     case http.StatusInternalServerError:
250         errMsg = "server failure"
251     }
252     return errMsg
253 }

```

```

249
250 func doPostActions(certs *commonCertificates, conn *commonConnections, ctx
251   ↵ *gin.Context, actionFunc actionFunc) (int, []byte, error) {
252   msg := ctx.PostForm(dpconfig.MsgParameterName)
253
254   if msg == "" {
255     errMsg := "could not retrieve parameter"
256     log.Printf("error: %s\n", errMsg)
257     return http.StatusBadRequest, nil, fmt.Errorf("%v", errMsg)
258   }
259
260   openedMsg, err := dpcrypto.GetPlainMessage([]byte(msg),
261   ↵ certs.gatewayRsaPrivKey, certs.rootCertPool, certs.intermediateCertPool)
262   if err != nil {
263     log.Println("error: could not open dpmessage")
264     return http.StatusUnauthorized, nil, err
265   }
266
267   protobResponse, err := actionFunc(openedMsg, certs, conn)
268   if err != nil {
269     log.Println("error: could not do specific post action")
270     return http.StatusInternalServerError, nil, err
271   }
272
273   wiredProtobResponse, err := proto.Marshal(*protobResponse)
274   if err != nil {
275     log.Println("error: could not wire response")
276     return http.StatusInternalServerError, nil, err
277   }
278
279   dpMessage := dpcrypto.Message{
280     Timestamp: uint64(time.Now().UnixNano()),
281     Certificate: *certs.gatewayX509Cert,
282     Data:       wiredProtobResponse,
283   }
284
285   encryptedDpMessage, err :=
286   ↵ dpMessage.EncryptAndSign(openedMsg.Certificate.PublicKey.(*rsa.PublicKey),
287   ↵ certs.gatewayRsaPrivKey, dpconfig.RandomSymmetricKeySize)
288   if err != nil {
289     log.Println("error: could not protect response message before
290     ↵ sending")
291     return http.StatusInternalServerError, nil, err
292   }
293
294   return http.StatusOK, encryptedDpMessage.Serialize(), nil
295 }
```

```

292 func addCustodyAction(plainMsg *dpcrypto.Message, certs *commonCertificates, conn
293   → *commonConnections) (*proto.Message, error) {
294     protobCustody := &dpproto.CustodyAddRequest{}
295     err := proto.Unmarshal(plainMsg.Data, protobCustody)
296     if err != nil {
297       log.Println("error: could not parse custody")
298       return nil, err
299     }
300
301     senderIdentification :=
302       → dpidentification.GetIdFromCertificate(&plainMsg.Certificate)
303     if !senderIdentification.IsController() {
304       log.Println("error: sender is not authorized to register data
305       → custodies")
306       return nil, fmt.Errorf("sender of custody is not a data controller")
307     }
308     if uint8(protobCustody.DataKind) == uint8(dpproto.DataKindType_HealthData) &&
309       → !senderIdentification.IsHealthcareKind() {
310       log.Println("error: sender is not authorized to register healthcare
311       → data custodies")
312       return nil, fmt.Errorf("sender of custody is not a healthcare data
313       → controller")
314     }
315     if !nonceValid {
316       log.Println("error: nonce not valid")
317       return nil, fmt.Errorf("nonce sent is not valid for the sender")
318     }
319
320     if len(protobCustody.Keyword) > 8 { // max. 8 characters
321       log.Println("error: keyword must have at most 8 characters")
322       return nil, fmt.Errorf("invalid keyword size")
323     }
324
325     custody := &dpanonymization.Custody{
326       StartTs:          0,
327       EndTs:           0,
328       InternalId:      protobCustody.GetInternalId(),
329       CreationTs:
330         → time.Unix(int64(protobCustody.GetCreationTimestamp()), 0),
331       Keyword:          protobCustody.GetKeyword(),
332       DataControllerId: plainMsg.Certificate.Subject.CommonName,
333       DataOwnerId:      protobCustody.GetDataOwnerId(),

```

```

333     DataHash:      protobCustody.GetHash(),
334     LawfulBase:    uint8(protobCustody.GetLawfulBase()),
335     DataKind:      uint8(protobCustody.GetDataKind()),
336     ProcessingMode: uint8(protobCustody.GetProcessingMode()),
337     Purpose:       uint8(protobCustody.GetPurpose()),
338 }
339
340     plainIndex, err := dpeth.AddCustody(custody, conn.ethConn)
341     if err != nil {
342         log.Println("error: could not send custody to blockchain")
343         return nil, err
344     }
345
346     encryptedIndex, err :=
347         → dpcrypto.EncryptAesGcm(dputil.Uint64ToBytes(*plainIndex),
348         → []byte(dpconfig.GatewaySymmetricKey))
349     if err != nil {
350         log.Println("error: could not encrypt index")
351         return nil, err
352     }
353
354     serverMessage := "ok"
355     custodyAddResponse := dpproto.CustodyAddResponse{
356         Receipt:      encryptedIndex,
357         ServerMessage: &serverMessage,
358     }
359
360     var protobResponse proto.Message = &custodyAddResponse
361     return &protobResponse, nil
362 }
363
364 func closeCustodyAction(plainMsg *dpcrypto.Message, certs *commonCertificates, conn
365     → *commonConnections) (*proto.Message, error) {
366     protobCloseReq := &dpproto.CustodyCloseRequest{}
367     err := proto.Unmarshal(plainMsg.Data, protobCloseReq)
368     if err != nil {
369         log.Println("error: could not parse close custody request")
370         return nil, err
371     }
372
373     nonceValid := dpantireplay.TestNonce(
374         dpidentification.GetIdFromCertificate(&plainMsg.Certificate).GetName(),
375         int64(plainMsg.Timestamp),
376         dpconfig.NonceTTL,
377     )
378     if !nonceValid {
379         log.Println("error: nonce not valid")
380         return nil, fmt.Errorf("nonce sent is not valid for the sender")
381     }
382 }
```

```

378 }
379
380     idxCustody, err := dpcrypto.DecryptAesGcm(protobCloseReq.Receipt,
381     → []byte(dpconfig.GatewaySymmetricKey))
382     if err != nil {
383         log.Println("error: could not decrypt receipt")
384         return nil, err
385     }
386
387     ok, err := dpeth.CloseCustody(plainMsg.Certificate.Subject.CommonName,
388     → dutil.BytesToInt64(idxCustody), conn.ethConn)
389     if err != nil {
390         log.Println("error: could not close custody on the blockchain")
391         return nil, err
392     }
393
394     serverMessage := "ok"
395     custodyCloseResponse := dpproto.CustodyCloseResponse{
396         Ok:          ok,
397         ServerMessage: &serverMessage,
398     }
399
400     var protobResponse proto.Message = &custodyCloseResponse
401     return &protobResponse, nil
402 }
403
404 func searchCustodyAction(plainMsg *dpcrypto.Message, certs *commonCertificates, conn
405     → *commonConnections) (*proto.Message, error) {
406     pbSearchCustody := &dpproto.CustodySearchRequest{}
407     err := proto.Unmarshal(plainMsg.Data, pbSearchCustody)
408     if err != nil {
409         log.Println("error: could not parse search custodies message")
410         return nil, err
411     }
412
413     nonceValid := dpantireplay.TestNonce(
414         dpidentification.GetIdFromCertificate(&plainMsg.Certificate).GetName(),
415         int64(plainMsg.Timestamp),
416         dpconfig.NonceTTL,
417     )
418     if !nonceValid {
419         log.Println("error: nonce not valid")
420         return nil, fmt.Errorf("nonce sent is not valid for the sender")
421     }
422
423     if pbSearchCustody.Keyword != nil && len(*pbSearchCustody.Keyword) > 8 {
424         log.Println("error: keyword could not have more than 8 characters")
425         return nil, fmt.Errorf("invalid keyword size")

```

```

423 }
424
425 indexes, custodies, err := dpeth.SearchCustody(
426     plainMsg.Certificate.Subject.CommonName,
427     pbSearchCustody.DataOwnerId,
428     pbSearchCustody.GetDataControllerId(),
429     pbSearchCustody.GetSince(),
430     pbSearchCustody.GetUntil(),
431     pbSearchCustody.GetKeyword(),
432     uint8(pbSearchCustody.LawfulBase),
433     uint8(pbSearchCustody.DataKind),
434     uint8(pbSearchCustody.Purpose),
435     conn.ethConn,
436 )
437 if err != nil {
438     log.Println("error: could not search custodies on the blockchain")
439     return nil, err
440 }
441
442 var responseElements []*dpproto.CustodySearchResponseElement
443 for i, c := range custodies {
444     // se c atende aos parâmetros since, until e keyword da busca, pois
445     // → esses parâmetros são apenas registrados na blockchain (o filtro é
446     // → feito pelo gateway)
447     if pbSearchCustody.GetKeyword() == "" || pbSearchCustody.GetKeyword()
448     // → == c.Keyword {
449     if pbSearchCustody.GetSince() == 0 ||
450         pbSearchCustody.GetSince() <= uint64(c.CreationTs.Unix())
451     // → {
452     if pbSearchCustody.GetUntil() == 0 ||
453         pbSearchCustody.GetUntil() >=
454         uint64(c.CreationTs.Unix()) {
455         encryptedIndex, err := dpcrypto.EncryptAesGcm(
456             dputil.Uint64ToBytes(indexes[i]),
457             []byte(dpconfig.GatewaySymmetricKey),
458         )
459         if err != nil {
460             log.Println("error: could not encrypt"
461             // → index")
462             return nil, err
463         }
464         element :=
465             &dpproto.CustodySearchResponseElement{
466                 StartTs: c.StartTs,
467                 Receipt: encryptedIndex,
468             }
469         responseElements = append(responseElements,
470             &element)

```

```

461                         }
462                     }
463                 }
464             }
465
466             serverMessage := "ok"
467             custodySearchresponse := dpproto.CustodySearchResponse{
468                 Custodies:     responseElements,
469                 ServerMessage: &serverMessage,
470             }
471
472             var protobResponse proto.Message = &custodySearchresponse
473             return &protobResponse, nil
474         }
475
476     func requestSharingCustodyAction(plainMsg *dpcrypto.Message, certs *commonCertificates,
477                                     conn *commonConnections) (*proto.Message, error) {
478         pbRequestSharing := &dpproto.ReqSharingRequest{}
479         err := proto.Unmarshal(plainMsg.Data, pbRequestSharing)
480         if err != nil {
481             log.Println("error: could not parse request sharing message")
482             return nil, err
483         }
484
485         nonceValid := dpantireplay.TestNonce(dpidentification.GetIdFromCertificate(
486             &plainMsg.Certificate).GetName(),
487             int64(plainMsg.Timestamp),
488             dpconfig.NonceTTL,
489         )
490         if !nonceValid {
491             log.Println("error: nonce not valid")
492             return nil, fmt.Errorf("nonce sent is not valid for the sender")
493         }
494
495         idxCustody, err := dpcrypto.DecryptAesGcm(pbRequestSharing.IdxCustody,
496             []byte(dpconfig.GatewaySymmetricKey))
497         if err != nil {
498             log.Println("error: could not decrypt idxcustody")
499             return nil, err
500         }
501
502         requestSharing := &dpanonymization.RequestSharing{
503             StartTs:          0,
504             EndTs:           0,
505             DeniedByCustodian: false,
506             CustodyIdx:      dputil.BytesToInt64(idxCustody),
507             DataRequesterId: plainMsg.Certificate.Subject.CommonName,
508             LawfulBase:       uint8(pbRequestSharing.GetLawfulBase()),

```

```

507             DataKind:           uint8(pbRequestSharing.GetDataKind()),
508             Purpose:            uint8(pbRequestSharing.GetPurpose()),
509         }
510
511     ok, idxReq, err := dpeth.AddRequestSharing(requestSharing, conn.ethConn)
512     if err != nil {
513         log.Println("error: could not request sharing on the blockchain")
514         return nil, err
515     }
516
517     encryptedIndex, err := dpcrypto.EncryptAesGcm(dutil.Uint64ToBytes(*idxReq),
518         []byte(dpconfig.GatewaySymmetricKey))
519     if err != nil {
520         log.Println("error: could not encrypt index")
521         return nil, err
522     }
523
524     dataControllerId, err :=
525         dpeth.GetDataControllerId(dutil.BytesToInt64(idxCustody), conn.ethConn)
526     if err != nil {
527         log.Println("error: could not retrieve data controller info")
528         return nil, err
529     }
530
531     requesterIdentification :=
532         dpidentification.GetIdFromCertificate(&plainMsg.Certificate)
533
534     sharingProof, err := dutil.RandByteSlice(32)
535     if err != nil {
536         log.Println("error: could not generate sharing proof")
537         return nil, err
538     }
539
540     internalIdDecrypted, dataHashDecrypted, err :=
541         dpeth.GetInternalIdAndHash(dutil.BytesToInt64(idxCustody), conn.ethConn)
542     if err != nil {
543         log.Println("error: could not get internal id and hash from
544             blockchain")
545         return nil, err
546     }
547     internalId := dutil.BytesToInt64(internalIdDecrypted[:])
548
549     shr := &sharing{
550         idxRequest:           *idxReq,
551         dataRequesterId:      requesterIdentification.GetName(),
552         dataControllerId:     string(dataControllerId[:]),
553         requesterSharingId:   0,
554         controllerSharingId: 0,

```

```

550         internalId:           internalId,
551         requesterDHPubKey:  [32]byte(pbRequestSharing.DhRequesterPubKey),
552         controllerDHPubKey: [32]byte{},
553         sharingProof:        [32]byte(sharingProof),
554         cid:                 """",
555         datahash:            [32]byte(dataHashDecrypted),
556     }
557
558     // #####
559     sharings.Lock()
560     {
561         shr.controllerSharingId = sharings.counterForController
562         sharings.counterForController = sharings.counterForController + 1
563
564         shr.requesterSharingId = sharings.counterForRequester
565         sharings.counterForRequester = sharings.counterForRequester + 1
566
567         sharings.dataController[shr.controllerSharingId] = shr
568         sharings.dataRequester[shr.requesterSharingId] = shr
569     }
570     sharings.Unlock()
571     // #####
572
573     err = dpeth.NotifySharingRequest(string(dataControllerId[:]),
574                                     & shr.controllerSharingId, conn.ethConn)
575     if err != nil {
576         log.Println("error: could not inform data controller about sharing
577                                     & request")
578         return nil, err
579     }
580
581     serverMessage := "ok"
582     pbReqSharingResponse := dpproto.ReqSharingResponse{
583         Ok:          ok,
584         Receipt:    encryptedIndex,
585         Request:    shr.requesterSharingId,
586         ServerMessage: &serverMessage,
587     }
588
589     var protobResponse proto.Message = &pbReqSharingResponse
590     return &protobResponse, nil
591 }
592
593 func sharingDetailsAction(plainMsg *dpcrypto.Message, certs *commonCertificates, conn
594     & *commonConnections) (*proto.Message, error) {
595     protobDetails := &dpproto.SharingNotificationDetailRequest{}
596     err := proto.Unmarshal(plainMsg.Data, protobDetails)
597     if err != nil {

```

```

595         log.Println("error: could not parse sharing detail request")
596         return nil, err
597     }
598
599     nonceValid := dpantireplay.TestNonce(
600         dpidentification.GetIdFromCertificate(&plainMsg.Certificate).GetName(),
601         int64(plainMsg.Timestamp),
602         dpconfig.NonceTTL,
603     )
604     if !nonceValid {
605         log.Println("error: nonce not valid")
606         return nil, fmt.Errorf("nonce sent is not valid for the sender")
607     }
608
609     // testar se quem enviou a solicitação realmente é quem deveria
610     custodianId := dpidentification.GetIdFromCertificate(&plainMsg.Certificate)
611     fmt.Println(custodianId)
612     fmt.Println(
613         sharings.dataController[protobDetails.NotificationIndex].dataControllerId,
614     )
615     fmt.Println(custodianId.IsController())
616     if custodianId.GetName() !=
617         sharings.dataController[protobDetails.NotificationIndex].dataControllerId
618         || !custodianId.IsController() {
619         log.Println("error: authorization failed")
620         return nil, fmt.Errorf("error: http requester was not identified as
621             the controller associated to notification")
622     }
623
624     // ##### sharings.RLock()
625     shr := sharings.dataController[protobDetails.NotificationIndex]
626     sharings.RUnlock()
627
628     sharingProof, err := dputil.RandByteSlice(dpconfig.RandomSharingProofSize)
629     if err != nil {
630         log.Println("error: could not generate \"sharing proof\"")
631         return nil, err
632     }
633     msgWithSharingProof := dpcrypto.Message{
634         Timestamp: uint64(time.Now().UnixNano()),
635         Certificate: *certs.gatewayX509Cert,
636         Data: sharingProof,
637     }
638     dpmsgWithSharingProof, err := msgWithSharingProof.EncryptAndSign(
639         plainMsg.Certificate.PublicKey.(*rsa.PublicKey),
640         certs.gatewayRsaPrivKey,
641     )

```

```

640             dpconfig.RandomSymmetricKeySize,
641         )
642         if err != nil {
643             log.Println("error: could not encrypt and sign message containing
644             ↪ \"sharing proof\" to controller")
645             return nil, err
646         }
647
648         serverMessage := "ok"
649         shareDetailsResponse := dpproto.SharingNotificationDetailResponse{
650             InternalId:           shr.internalId,
651             DhRequesterPubKey:   shr.requesterDHPubKey[:],
652             EncryptedProof:      dpmsgWithSharingProof.Serialize(),
653             ServerMessage:       &serverMessage,
654         }
655
656         var protobResponse proto.Message = &shareDetailsResponse
657         return &protobResponse, nil
658     }
659
660     func sharingDataSentAction(plainMsg *dpcrypto.Message, certs *commonCertificates, conn
661     ↪ *commonConnections) (*proto.Message, error) {
662         protobSent := &dpproto.SharingDataSentRequest{}
663         err := proto.Unmarshal(plainMsg.Data, protobSent)
664         if err != nil {
665             log.Println("error: could not parse sharing data sent request")
666             return nil, err
667         }
668
669         nonceValid := dpantireplay.TestNonce(
670             dpidentification.GetIdFromCertificate(&plainMsg.Certificate).GetName(),
671             int64(plainMsg.Timestamp),
672             dpconfig.NonceTTL,
673         )
674         if !nonceValid {
675             log.Println("error: nonce not valid")
676             return nil, fmt.Errorf("nonce sent is not valid for the sender")
677         }
678
679         // ##### sharings.Lock()
680         shr := sharings.dataController[protobSent.NotificationIndex]
681         shr.cid = protobSent.Cid
682         shr.controllerDHPubKey = [32]byte(protobSent.DhCustodianPubKey)
683         sharings.Unlock()
684
685         // testar se quem enviou a solicitação realmente é quem deveria

```

```

686     custodianId := dpidentification.GetIdFromCertificate(&plainMsg.Certificate)
687     if custodianId.GetName() !=
688         &gt; sharings.dataController[protobSent.NotificationIndex].dataControllerId ||
689         &gt; !custodianId.IsController() {
690         log.Println("error: authorization failed")
691         return nil, fmt.Errorf("error: http requester was not identified as
692             &gt; the controller associated to notification")
693     }
694
695     serverMessage := "ok"
696     dataSentResponse := dpproto.SharingDataSentResponse{
697         ServerMessage: &serverMessage,
698     }
699
700     err = dpeth.NotifyDataSent(shr.dataRequesterId, shr.requesterSharingId,
701         &gt; conn.ethConn)
702     if err != nil {
703         log.Println("error: could not notify requester")
704         return nil, err
705     }
706
707     func whatDataWasSharedAction(plainMsg *dpcrypto.Message, certs *commonCertificates,
708         &gt; conn *commonConnections) (*proto.Message, error) {
709         protobWhatData := &dpproto.WhatDataWasSentRequest{}
710         err := proto.Unmarshal(plainMsg.Data, protobWhatData)
711         if err != nil {
712             log.Println("error: could not parse what data was shared request")
713             return nil, err
714         }
715
716         nonceValid := dpantireplay.TestNonce(
717             dpidentification.GetIdFromCertificate(&plainMsg.Certificate).GetName(),
718             int64(plainMsg.Timestamp),
719             dpconfig.NonceTTL,
720         )
721         if !nonceValid {
722             log.Println("error: nonce not valid")
723             return nil, fmt.Errorf("nonce sent is not valid for the sender")
724         }
725
726         // testar se quem enviou a solicitação realmente é quem deveria
727         requesterId := dpidentification.GetIdFromCertificate(&plainMsg.Certificate)
728         if requesterId.GetName() !=
729             &gt; sharings.dataController[protobWhatData.NotificationIndex].dataRequesterId ||
730             &gt; !requesterId.IsController() {

```

```

728     log.Println("error: authorization failed")
729     return nil, fmt.Errorf("error: http requester was not identified as
    ↵ the requester associated to notification")
730 }
731
732 // ##### sharings.RLock()
733 sharings.RLock()
734 shr := sharings.dataRequester[protobWhatData.NotificationIndex]
735 sharings.RUnlock()
736 // #####
737
738 serverMessage := "ok"
739 whatDataResponse := dpproto.WhatDataWasSentResponse{
740     Cid:           shr.cid,
741     ServerMessage: &serverMessage,
742 }
743
744 var protobResponse proto.Message = &whatDataResponse
745 return &protobResponse, nil
746 }
747
748 func dataWasGrabbedAction(plainMsg *dpcrypto.Message, certs *commonCertificates, conn
    ↵ *commonConnections) (*proto.Message, error) {
749     protobDataWasGrabbed := &dpproto.WhatDataWasSentRequest{}
750     err := proto.Unmarshal(plainMsg.Data, protobDataWasGrabbed)
751     if err != nil {
752         log.Println("error: could not parse what data was shared request")
753         return nil, err
754     }
755
756     nonceValid := dpantireplay.TestNonce(
757         dpidentification.GetIdFromCertificate(&plainMsg.Certificate).GetName(),
758         int64(plainMsg.Timestamp),
759         dpconfig.NonceTTL,
760     )
761     if !nonceValid {
762         log.Println("error: nonce not valid")
763         return nil, fmt.Errorf("nonce sent is not valid for the sender")
764     }
765
766     // testar se quem enviou a solicitação realmente é quem deveria
767     requesterId := dpidentification.GetIdFromCertificate(&plainMsg.Certificate)
768     if requesterId.GetName() !=
    ↵ sharings.dataController[protobDataWasGrabbed.NotificationIndex].dataRequesterId
    ↵ || !requesterId.IsController() {
769         log.Println("error: authorization failed")
770         return nil, fmt.Errorf("error: http requester was not identified as
    ↵ the requester associated to notification")

```

```

771 }
772
773 // #####
774 sharings.RLock()
775 shr := sharings.dataRequester[protobDataWasGrabbed.NotificationIndex]
776 sharings.RUnlock()
777 // #####
778
779 // marcar o compartilhamento como finalizado; de agora em diante, não
780 // → conformidades lançarão eventos na blockchain
780 ok, err := dpeth.EndRequestSharing(shr.dataRequesterId, shr.idxRequest,
781 // → conn.ethConn)
781 if err != nil || !ok {
782     log.Println("error: could not register end of request sharing")
783     return nil, err
784 }
785
786 dataWasGrabbedResponse := dpproto.DataWasGrabbedResponse{
787     DhCustodianPubKey: shr.controllerDHPubKey[:],
788 }
789
790 var protobResponse proto.Message = &dataWasGrabbedResponse
791 return &protobResponse, nil
792 }
793
794 func dataWasDecryptedAction(plainMsg *dpcrypto.Message, certs *commonCertificates,
795 // → conn *commonConnections) (*proto.Message, error) {
796     protobDataWasDecrypted := &dpproto.DataWasDecryptedRequest{}
797     err := proto.Unmarshal(plainMsg.Data, protobDataWasDecrypted)
798     if err != nil {
799         log.Println("error: could not parse what data was shared request")
800         return nil, err
801     }
802
803     nonceValid := dpantireplay.TestNonce(
804         dpidentification.GetIdFromCertificate(&plainMsg.Certificate).GetName(),
805         int64(plainMsg.Timestamp),
806         dpconfig.NonceTTL,
807     )
808     if !nonceValid {
809         log.Println("error: nonce not valid")
810         return nil, fmt.Errorf("nonce sent is not valid for the sender")
811     }
812
813 // testar se quem enviou a solicitação realmente é quem deveria
814 requesterId := dpidentification.GetIdFromCertificate(&plainMsg.Certificate)
815 if requesterId.GetName() !=
816 // → sharings.dataController[protobDataWasDecrypted.NotificationIndex].dataRequesterId
817 // → || !requesterId.IsController() {

```

```

815     log.Println("error: authorization failed")
816     return nil, fmt.Errorf("error: http requester was not identified as
817     ↪ the requester associated to notification")
818 }
819
820 // #####
821 sharings.RLock()
822 shr := sharings.dataRequester[protobDataWasDecrypted.NotificationIndex]
823 sharings.RUnlock()
824
825 if shr.datahash != [32]byte(protobDataWasDecrypted.DataHash) {
826     log.Println("error: wrong hash value")
827     return nil, fmt.Errorf("hash value sent by requester does not match
828     ↪ hash value stored in blockchain")
829 }
830
831 // enviar notificação para apagar dados do IPFS
832 err = dpeth.NotifyDataDecrypted(shr.dataControllerId, shr.controllerSharingId,
833     ↪ conn.ethConn)
834 if err != nil {
835     log.Println("error: could not notify custodian")
836     return nil, err
837 }
838
839 serverMessage := "you must imediately delete data from IPFS"
840 dataWasDecryptedResponse := &dpproto.DataWasDecryptedResponse{
841     ServerMessage: &serverMessage,
842 }
843
844 var protobResponse proto.Message = dataWasDecryptedResponse
845 return &protobResponse, nil
846 }
847
848 func dataWasDeletedAction(plainMsg *dpcrypto.Message, certs *commonCertificates, conn
849     ↪ *commonConnections) (*proto.Message, error) {
850     protobDataWasDeleted := &dpproto.DataWasDeletedRequest{}
851     err := proto.Unmarshal(plainMsg.Data, protobDataWasDeleted)
852     if err != nil {
853         log.Println("error: could not parse what data was shared request")
854         return nil, err
855     }
856
857     nonceValid := dpantireplay.TestNonce(
858         dpidentification.GetIdFromCertificate(&plainMsg.Certificate).GetName(),
859         int64(plainMsg.Timestamp),
860         dpconfig.NonceTTL,
861     )

```

```

859     if !nonceValid {
860         log.Println("error: nonce not valid")
861         return nil, fmt.Errorf("nonce sent is not valid for the sender")
862     }
863
864     // testar se quem enviou a solicitação realmente é quem deveria
865     requesterId := dpidentification.GetIdFromCertificate(&plainMsg.Certificate)
866     if requesterId.GetName() !=
867         sharings.dataRequester[protobDataWasDeleted.NotificationIndex].dataControllerId
868         || !requesterId.IsController() {
869         log.Println("error: authorization failed")
870         return nil, fmt.Errorf("error: http requester was not identified as
871             the requester associated to notification")
872     }
873
874     go func() error {
875         // #####
876         sharings.RLock()
877         shr := sharings.dataRequester[protobDataWasDeleted.NotificationIndex]
878         sharings.RUnlock()
879         // #####
880
881         cid, err := dpipfs.ExistsOnIPFS(shr.cid, conn.ipfsRpcApi)
882         if err != nil {
883             log.Println("error: could not verify if cid existed on ipfs")
884             return err
885         }
886
887         var serverMessage string
888
889         if cid != nil {
890             serverMessage = fmt.Sprintf("Attention: cid %s was not delete
891                 from IPFS!", shr.cid)
892             log.Println(serverMessage)
893         } else {
894             serverMessage = "ok"
895             // #####
896             sharings.Lock()
897             delete(sharings.dataController, shr.controllerSharingId)
898             delete(sharings.dataRequester, shr.requesterSharingId)
899             sharings.Unlock()
900             // #####
901         }
902
903         return nil
904     }()
905
906     serverMessage := "message received"

```

```
903     dataWasDecryptedResponse := &dppproto.DataWasDecryptedResponse{
904         ServerMessage: &serverMessage,
905     }
906
907     var protobResponse proto.Message = dataWasDecryptedResponse
908     return &protobResponse, nil
909 }
910
```

APÊNDICE C – CÓDIGO-FONTE PRINCIPAL DE INTERAÇÃO COM A BLOCKCHAIN

```

1  package dpeth
2
3
4  import (
5      "context"
6      "crypto/ecdsa"
7      "fmt"
8      "log"
9      "math/big"
10     "runtime"
11     "sync"
12
13     "br.marcosmc/g4dpa/dpanonymization"
14     "br.marcosmc/g4dpa/dpconfig"
15     "br.marcosmc/g4dpa/dpcrypto"
16     "br.marcosmc/g4dpa/dpmetrics"
17     "br.marcosmc/g4dpa/dputil"
18     "br.marcosmc/g4dpa/solidity/dpcontract"
19     "github.com/ethereum/go-ethereum"
20     "github.com/ethereum/go-ethereum/accounts/abi/bind"
21     "github.com/ethereum/go-ethereum/common"
22     "github.com/ethereum/go-ethereum/core/types"
23     "github.com/ethereum/go-ethereum/crypto"
24     "github.com/ethereum/go-ethereum/ethclient"
25     "github.com/ethereum/go-ethereum/event"
26 )
27
28 const fileInternalIdSize = 8
29 const custodianIdSize = 16
30 const ownerIdSize = 16
31 const requesterIdSize = 16
32 const keywordSize = 8
33 const hashSize = 32
34
35 type MutexNonce struct {
36     value      uint64
37     lastPending uint64
38     mutex      sync.RWMutex
39 }
40
41 func (nonce *MutexNonce) getValue(client *ethclient.Client, ctx context.Context,
42     fromAddress common.Address) (uint64, error) {
43     pending, err := client.PendingNonceAt(ctx, fromAddress)
44     if err != nil {

```

```

44         log.Println("error")
45         return 0, err
46     }
47
48     var ret uint64
49     {
50         if pending != nonce.lastPending {
51             nonce.value = pending
52             nonce.lastPending = pending
53         }
54
55         ret = nonce.value
56         nonce.value++
57     }
58
59     return ret, nil
60 }
61
62 type EthereumConnection struct {
63     fromAddress     common.Address
64     client          *ethclient.Client
65     auth            *bind.Transact0pts
66     g4dpContract    *dpcontract.G4dp
67     suggestedGasPrice *big.Int
68 }
69
70 func NewEthConn(accountPrivKey string, host string, port string, contractAddress
71                  → string) (*EthereumConnection, error) {
72     privateKey, err := crypto.HexToECDSA(accountPrivKey)
73     if err != nil {
74         log.Println("error")
75         return nil, err
76     }
77
78     client, err := ethclient.Dial(fmt.Sprintf("http://%s:%s", host, port))
79     if err != nil {
80         log.Println("error")
81         return nil, err
82     }
83     defer client.Close()
84
85     chainID, err := client.ChainID(context.Background())
86     if err != nil {
87         log.Println("error")
88         return nil, err
89     }
90
91     auth, err := bind.NewKeyedTransactorWithChainID(privateKey, chainID)

```

```

91     if err != nil {
92         log.Println("error")
93         return nil, err
94     }
95
96     g4dpContract, err := dpcontract.NewG4dp(common.HexToAddress(contractAddress),
97         ← client)
98     if err != nil {
99         log.Println("error")
100        return nil, err
101    }
102
103    publicKey := privateKey.Public()
104    publicKeyECDSA, ok := publicKey.(*ecdsa.PublicKey)
105    if !ok {
106        log.Println("error")
107        return nil, fmt.Errorf("error casting public key to ECDSA")
108    }
109
110    fromAddress := crypto.PubkeyToAddress(*publicKeyECDSA)
111
112    suggestedGasPrice, err := client.SuggestGasPrice(context.Background())
113    if err != nil {
114        log.Println("error")
115        return nil, err
116    }
117
118    ethConn := EthereumConnection{
119        fromAddress:      fromAddress,
120        client:          client,
121        auth:            auth,
122        g4dpContract:    g4dpContract,
123        suggestedGasPrice: suggestedGasPrice,
124    }
125
126
127    return &ethConn, nil
128 }
129
130 func newG4dpSession(ethConn *EthereumConnection) (*dpcontract.G4dpSession, error) {
131     nonce, err := mxNonce.getValue(ethConn.client, context.Background(),
132         ← ethConn.fromAddress)
133     if err != nil {
134         log.Println("error")
135         return nil, err
136     }
137
138     session := &dpcontract.G4dpSession{
139         Contract: ethConn.g4dpContract,
140         CallOpts: bind.CallOpts{

```

```

137                     Pending: false,
138             },
139             TransactOpts: bind.TransactOpts{
140                 From:      ethConn.auth.From,
141                 Signer:    ethConn.auth.Signer,
142                 GasLimit:  dpconfig.GatewayEthFunctionGasLimit,
143                 GasPrice:  ethConn.suggestedGasPrice,
144                 Nonce:     new(big.Int).SetUint64(nonce),
145             },
146         }
147
148         return session, nil
149     }
150
151 var mxNonce MutexNonce
152
153 func newG4dpCallerSession(ethConn *EthereumConnection) (*dpcontract.G4dpCallerSession,
154     → error) {
155     session := &dpcontract.G4dpCallerSession{
156         Contract: &ethConn.g4dpContract.G4dpCaller,
157         CallOpts: bind.CallOpts{
158             Pending: false,
159         },
160     }
161
162     return session, nil
163 }
164
165 func DeployG4dp() (*common.Address, error) {
166     privateKey, err := crypto.HexToECDSA(dpconfig.GatewayAccountEthPrivKey)
167     if err != nil {
168         log.Println("error")
169         return nil, err
170     }
171
172     client, err := ethclient.Dial(dpconfig.DefaultGatewayEthHttpUrl)
173     if err != nil {
174         log.Println("error")
175         return nil, err
176     }
177     defer client.Close()
178
179     chainID, err := client.ChainID(context.Background())
180     if err != nil {
181         log.Println("error")
182         return nil, err
183     }

```

```

184     auth, err := bind.NewKeyedTransactorWithChainID(privateKey, chainID)
185     if err != nil {
186         log.Println("error")
187         return nil, err
188     }
189
190     contractAddress, tx, _, err := dpcontract.DeployG4dp(auth, client)
191     if err != nil {
192         log.Println("error")
193         return nil, err
194     }
195
196     log.Printf("Deploy cost: %d\n", tx.Cost().Div(tx.Cost(), tx.GasPrice()))
197
198     return &contractAddress, nil
199 }
200
201 func fnName() string {
202     pc, _, _, ok := runtime.Caller(1)
203     if !ok {
204         return "?"
205     }
206
207     fn := runtime.FuncForPC(pc)
208     if fn == nil {
209         return "?"
210     }
211
212     return fn.Name()
213 }
214
215 func AddCustody(custody *dpanonymization.Custody, _ethConn *EthereumConnection)
216     (*uint64, error) {
217     anonymCustody, err := dpanonymization.AnonymizeCustody(custody,
218         []byte(dpconfig.GatewaySymmetricKey))
219     if err != nil {
220         log.Println("error: could not anonymize custody")
221         return nil, err
222     }
223
224     mxNonce.mutex.Lock()
225     session, err := newG4dpSession(_ethConn)
226     if err != nil {
227         log.Println("error")
228         return nil, err
229     }
230     tx, err := session.AddCustody(*anonymCustody)
231     mxNonce.mutex.Unlock()

```

```

230     if err != nil {
231         log.Println("error")
232         return nil, err
233     }
234
235     // Cuidado! se configurarmos o tempo de produção de bloco pelo geth (em modo
236     // → dev) como zero, as operações serão executadas na EVM sem produção de
237     // → blocos,
238     // ou seja, a espera abaixo nunca terminará!
239     if dpconfig.WaitTxFinish {
240         recip, err := bind.WaitMined(context.Background(), _ethConn.client, tx)
241         if err != nil {
242             log.Println("error")
243             return nil, err
244         }
245
246         // a transação falhou. Nesta versão, não vamos reenviá-la, isso ficará
247         // → a cargo do cliente, enquanto for síncrono (ou seja, tiver wait).
248         if recip.Status == 0 {
249             log.Println("error")
250             return nil, fmt.Errorf("transaction failed")
251         }
252
253         logCustody, err :=
254             _ethConn.g4dpContract.ParseLogCustody(*recip.Logs[0])
255         if err != nil {
256             log.Println("error")
257             return nil, err
258         }
259
260         if dpconfig.GatewayMetricsEnabled {
261             functionName := fnName()
262             nonce := tx.Nonce()
263             dpmetrics.AddMetric(&dpmetrics.Metric{
264                 FunctionName: &functionName,
265                 Nonce:        &nonce,
266                 TxGasUsed:    &recip.GasUsed,
267                 FileSize:     nil,
268                 Duration:    nil,
269             })
270         }
271
272     }
273
274     return &logCustody.Arg0, nil
275 } else {
276     return nil, nil
277 }
278 }
```

```
274 func CloseCustody(_dataControllerId string, _idxCustody uint64, _ethConn
275     *EthereumConnection) (bool, error) {
276     dataControllerIdAnonym, err := dpcrypto.EncryptFpeFF1([]byte(dputil.SpacePad(_dataControllerId,
277     custodianIdSize)), []byte(dpconfig.GatewaySymmetricKey))
278     if err != nil {
279         log.Println("error: could not anonymize controllerId")
280         return false, err
281     }
282
283     mxNonce.mutex.Lock()
284     session, err := newG4dpSession(_ethConn)
285     if err != nil {
286         log.Println("error")
287         return false, err
288     }
289     tx, err := session.CloseCustody(_idxCustody,
290         [custodianIdSize]byte(dataControllerIdAnonym))
291     mxNonce.mutex.Unlock()
292     if err != nil {
293         log.Println("error")
294         return false, err
295     }
296
297     if dpconfig.WaitTxFinish {
298         recip, err := bind.WaitMined(context.Background(), _ethConn.client, tx)
299         if err != nil {
300             log.Println("error")
301             return false, err
302         }
303
304         // a transação falhou. Nesta versão, não vamos reenviá-la, isso ficará
305         // a cargo do cliente, enquanto for síncrono (ou seja, tiver wait).
306         if recip.Status == 0 {
307             log.Println("error")
308             return false, fmt.Errorf("transaction failed")
309         }
310
311         logCloseCustody, err :=
312             _ethConn.g4dpContract.ParseLogRemoveCustody(*recip.Logs[0])
313         if err != nil {
314             log.Println("error")
315             return false, err
316         }
317
318         if dpconfig.GatewayMetricsEnabled {
319             functionName := fnName()
320             nonce := tx.Nonce()
```

```

316                     dpmetrics.AddMetric(&dpmetrics.Metric{
317                         FunctionName: &functionName,
318                         Nonce:         &nonce,
319                         TxGasUsed:    &recep.GasUsed,
320                         FileSize:     nil,
321                         Duration:     nil,
322                     })
323                 }
324
325             return logCloseCustody.Arg0, nil
326         } else {
327             return false, nil
328         }
329     }
330
331     func registerSearch(
332         _dataRequesterIdAnonym []byte,
333         _dataControllerIdAnonym []byte,
334         _dataOwnerIdAnonym []byte,
335         _sinceTs []byte,
336         _untilTs []byte,
337         _keyword []byte,
338         _lawfulBase uint8,
339         _dataKind uint8,
340         _purpose uint8,
341         _ethConn *EthereumConnection,
342     ) error {
343         mxNonce.mutex.Lock()
344         session, err := newG4dpSession(_ethConn)
345         if err != nil {
346             log.Println("error")
347             return err
348         }
349         tx, err := session.RegisterSearch(
350             [16]byte(_dataRequesterIdAnonym),
351             [16]byte(_dataOwnerIdAnonym),
352             [16]byte(_dataControllerIdAnonym),
353             [8]byte(_sinceTs),
354             [8]byte(_untilTs),
355             [8]byte(_keyword),
356             _lawfulBase,
357             _dataKind,
358             _purpose,
359         )
360         mxNonce.mutex.Unlock()
361         if err != nil {
362             log.Println("error")
363             return err

```

```

364     }
365
366     if dpconfig.WaitTxFinish {
367         recip, err := bind.WaitMined(context.Background(), _ethConn.client, tx)
368         if err != nil {
369             log.Println("error")
370             return err
371         }
372
373         // a transação falhou. Nesta versão, não vamos reenviá-la, isso ficará
374         // a cargo do cliente, enquanto for síncrono (ou seja, tiver wait).
375         if recip.Status == 0 {
376             log.Println("error")
377             return fmt.Errorf("transaction failed")
378         }
379
380         if dpconfig.GatewayMetricsEnabled {
381             functionName := fName()
382             nonce := tx.Nonce()
383             dpmetrics.AddMetric(&dpmetrics.Metric{
384                 FunctionName: &functionName,
385                 Nonce:        &nonce,
386                 TxGasUsed:    &recip.GasUsed,
387                 FileSize:     nil,
388                 Duration:    nil,
389             })
390         }
391
392         return nil
393     } else {
394         return nil
395     }
396
397     func SearchCustody(
398         _dataRequesterId string,
399         _dataOwnerId string,
400         _dataControllerId string,
401         _since uint64,
402         _until uint64,
403         _keyword string,
404         _lawfulBase uint8,
405         _dataKind uint8,
406         _purpose uint8,
407         _ethConn *EthereumConnection,
408     ) ([]uint64, []dpanonymization.Custody, error) {
409         session, err := newG4dpCallerSession(_ethConn)
410         if err != nil {

```

```

411         log.Println("error")
412         return nil, nil, err
413     }
414
415     dataRequesterIdAnonym, err :=
416     ↪ dpcrypto.EncryptFpeFF1([]byte(dutil.SpacePad(_dataRequesterId,
417     ↪ requesterIdSize)), []byte(dpconfig.GatewaySymmetricKey))
418     if err != nil {
419         log.Println("error: could not anonymize requesterId")
420         return nil, nil, err
421     }
422
423     var dataControllerId string
424     if _dataControllerId == "" {
425         dataControllerId = string(0x000000000000000000000000000000000000000000000000000000000000000)
426     }
427
428     dataControllerIdAnonym, err :=
429     ↪ dpcrypto.EncryptFpeFF1([]byte(dutil.SpacePad(dataControllerId,
430     ↪ custodianIdSize)), []byte(dpconfig.GatewaySymmetricKey))
431     if err != nil {
432         log.Println("error: could not anonymize controllerId")
433         return nil, nil, err
434     }
435
436     dataOwnerIdAnonym, err :=
437     ↪ dpcrypto.EncryptFpeFF1([]byte(dutil.SpacePad(_dataOwnerId, ownerIdSize)),
438     ↪ []byte(dpconfig.GatewaySymmetricKey))
439     if err != nil {
440         log.Println("error: could not anonymize ownerId")
441         return nil, nil, err
442     }
443
444     sinceAnonym, err := dpcrypto.EncryptFpeFF1(dutil.Uint64ToBytes(_since),
445     ↪ []byte(dpconfig.GatewaySymmetricKey))
446     if err != nil {
447         log.Println("error: could not anonymize since_date")
448         return nil, nil, err
449     }
450
451     untilAnonym, err := dpcrypto.EncryptFpeFF1(dutil.Uint64ToBytes(_until),
452     ↪ []byte(dpconfig.GatewaySymmetricKey))
453     if err != nil {
454         log.Println("error: could not anonymize until_date")
455         return nil, nil, err
456     }
457
458     keywordAnonym, err := dpcrypto.EncryptFpeFF1([]byte(dutil.SpacePad(_keyword,
459     ↪ keywordSize)), []byte(dpconfig.GatewaySymmetricKey))

```

```

451     if err != nil {
452         log.Println("error: could not anonymize keyword")
453         return nil, nil, err
454     }
455
456     err = registerSearch(dataRequesterIdAnonym, dataControllerIdAnonym,
457     ↪ dataOwnerIdAnonym, sinceAnonym, untilAnonym, keywordAnonym, _lawfulBase,
458     ↪ _dataKind, _purpose, _ethConn)
459     if err != nil {
460         log.Println("error: could not register search")
461         return nil, nil, err
462     }
463
464     indexes, custodiesAnonym, err :=
465     ↪ session.SearchCustody([requesterIdSize]byte(dataRequesterIdAnonym),
466     ↪ [ownerIdSize]byte(dataOwnerIdAnonym),
467     ↪ [custodianIdSize]byte(dataControllerIdAnonym), _lawfulBase, _dataKind,
468     ↪ _purpose)
469     if err != nil {
470         log.Println("error")
471         return nil, nil, err
472     }
473
474     custodies := make([]dpanonymization.Custody, len(custodiesAnonym))
475
476     for k, v := range custodiesAnonym {
477         c, err := dpanonymization.DeanonymizeCustody(&v,
478         ↪ []byte(dpconfig.GatewaySymmetricKey))
479         if err != nil {
480             log.Println("error: could not deanonymize custody")
481             return nil, nil, err
482         }
483
484         custodies[k] = *c
485     }
486
487     return indexes, custodies, nil
488 }
489
490 func AddRequestSharing(_requestSharing *dpanonymization.RequestSharing, _ethConn
491     ↪ *EthereumConnection) (bool, *uint64, error) {
492     anonymRequestSharing, err :=
493     ↪ dpanonymization.AnonymizeRequestSharing(_requestSharing,
494     ↪ []byte(dpconfig.GatewaySymmetricKey))
495     if err != nil {
496         log.Println("error: could not anonymize requestSharing")
497         return false, nil, err
498     }

```

```

489     mxNonce.mutex.Lock()
490     session, err := newG4dpSession(_ethConn)
491     if err != nil {
492         log.Println("error")
493         return false, nil, err
494     }
495     tx, err := session.AddRequestSharing(*anonymRequestSharing)
496     mxNonce.mutex.Unlock()
497     if err != nil {
498         log.Println("error")
499         return false, nil, err
500     }
501 }
502
503 if dpconfig.WaitTxFinish {
504     recip, err := bind.WaitMined(context.Background(), _ethConn.client, tx)
505     if err != nil {
506         log.Println("error")
507         return false, nil, err
508     }
509
510     // a transação falhou. Nesta versão, não vamos reenviá-la, isso ficara
511     // → a cargo do cliente, enquanto for sincrono (ou seja, tiver wait).
512     if recip.Status == 0 {
513         log.Println("error")
514         return false, nil, fmt.Errorf("transaction failed")
515     }
516
517     LogRequestSharing, err :=
518     → _ethConn.g4dpContract.ParseLogRequestSharing(*recip.Logs[0])
519     if err != nil {
520         log.Println("error")
521         return false, nil, err
522     }
523
524     if dpconfig.GatewayMetricsEnabled {
525         functionName := fnName()
526         nonce := tx.Nonce()
527         dpmetrics.AddMetric(&dpmetrics.Metric{
528             FunctionName: &functionName,
529             Nonce:        &nonce,
530             TxGasUsed:    &recip.GasUsed,
531             FileSize:     nil,
532             Duration:     nil,
533         })
534     }
535
536     return LogRequestSharing.Arg0, &LogRequestSharing.Arg1, err

```

```
535     } else {
536         return false, nil, err
537     }
538 }
539
540 func EndRequestSharing(_dataRequesterId string, _idxRequestSharing uint64, _ethConn
541 ← *EthereumConnection) (bool, error) {
542     dataRequesterIdAnonym, err :=
543     ← dpcrypto.EncryptFpeFF1([]byte(dputil.SpacePad(_dataRequesterId,
544     ← requesterIdSize)), []byte(dpconfig.GatewaySymmetricKey))
545     if err != nil {
546         log.Println("error: could not anonymize requesterId")
547         return false, err
548     }
549
550     mxNonce.mutex.Lock()
551     session, err := newG4dpSession(_ethConn)
552     if err != nil {
553         log.Println("error")
554         return false, err
555     }
556     tx, err := session.EndRequest([16]byte(dataRequesterIdAnonym),
557     ← _idxRequestSharing)
558     mxNonce.mutex.Unlock()
559     if err != nil {
560         log.Println("error")
561         return false, err
562     }
563
564     if dpconfig.WaitTxFinish {
565         recip, err := bind.WaitMined(context.Background(), _ethConn.client, tx)
566         if err != nil {
567             log.Println("error")
568             return false, err
569         }
570
571         // a transação falhou. Nesta versão, não vamos reenviá-la, isso ficará
572         // a cargo do cliente, enquanto for síncrono (ou seja, tiver wait).
573         if recip.Status == 0 {
574             log.Println("error")
575             return false, fmt.Errorf("transaction failed")
576         }
577
578         logEndRequest, err :=
579         ← _ethConn.g4dpContract.ParseLogEndRequest(*recip.Logs[0])
580         if err != nil {
581             log.Println("error")
582             return false, err
583         }
584     }
585 }
```

```

577     }
578
579     if dpconfig.GatewayMetricsEnabled {
580         functionName := fName()
581         nonce := tx.Nonce()
582         dpmetrics.AddMetric(&dpmetrics.Metric{
583             FunctionName: &functionName,
584             Nonce: &nonce,
585             TxGasUsed: &recp.GasUsed,
586             FileSize: nil,
587             Duration: nil,
588         })
589     }
590
591     return logEndRequest.Arg0, nil
592 } else {
593     return false, nil
594 }
595 }
596
597 func NotifySharingRequest(dataControllerIdStr string, sharingRequestWaitId uint64,
598     → ethConn *EthereumConnection) error {
599     mxNonce.mutex.Lock()
600     session, err := newG4dpSession(ethConn)
601     if err != nil {
602         log.Println("error")
603         return err
604     }
605     tx, err := session.NotifySharingRequest(dataControllerIdStr,
606         → sharingRequestWaitId)
607     mxNonce.mutex.Unlock()
608     if err != nil {
609         log.Println("error")
610         return err
611     }
612
613     if dpconfig.WaitTxFinish {
614         recp, err := bind.WaitMined(context.Background(), ethConn.client, tx)
615         if err != nil {
616             log.Println("error")
617             return err
618         }
619         // a transação falhou. Nesta versão, não vamos reenviá-la, isso ficara
620         → a cargo do cliente, enquanto for sincrono (ou seja, tiver wait).
621         if recp.Status == 0 {
622             log.Println("error")
623             return fmt.Errorf("transaction failed")
624     }

```

```

622     }
623
624     if dpconfig.GatewayMetricsEnabled {
625         functionName := fName()
626         nonce := tx.Nonce()
627         dpmetrics.AddMetric(&dpmetrics.Metric{
628             FunctionName: &functionName,
629             Nonce: &nonce,
630             TxGasUsed: &recp.GasUsed,
631             FileSize: nil,
632             Duration: nil,
633         })
634     }
635
636     return nil
637 } else {
638     return nil
639 }
640 }
641
642 func NotifyDataSent(dataRequesterIdStr string, requestWaitId uint64, ethConn
→ *EthereumConnection) error {
643     mxNonce.mutex.Lock()
644     session, err := newG4dpSession(ethConn)
645     if err != nil {
646         log.Println("error")
647         return err
648     }
649     tx, err := session.NotifyRequester(dataRequesterIdStr, requestWaitId)
650     mxNonce.mutex.Unlock()
651     if err != nil {
652         log.Println("error")
653         return err
654     }
655
656     if dpconfig.WaitTxFinish {
657         recp, err := bind.WaitMined(context.Background(), ethConn.client, tx)
658         if err != nil {
659             log.Println("error")
660             return err
661         }
662
663         // a transação falhou. Nesta versão, não vamos reenviá-la, isso ficara
→ a cargo do cliente, enquanto for sincrono (ou seja, tiver wait).
664         if recp.Status == 0 {
665             log.Println("error")
666             return fmt.Errorf("transaction failed")
667         }

```

```

668
669     if dpconfig.GatewayMetricsEnabled {
670         functionName := fnName()
671         nonce := tx.Nonce()
672         dpmetrics.AddMetric(&dpmetrics.Metric{
673             FunctionName: &functionName,
674             Nonce:        &nonce,
675             TxGasUsed:   &recp.GasUsed,
676             FileSize:    nil,
677             Duration:    nil,
678         })
679     }
680
681     return nil
682 } else {
683     return nil
684 }
685 }
686
687 func NotifyDataDecrypted(dataControllerIdStr string, requestWaitId uint64, ethConn
→ *EthereumConnection) error {
688     mxNonce.mutex.Lock()
689     session, err := newG4dpSession(ethConn)
690     if err != nil {
691         log.Println("error")
692         return err
693     }
694     tx, err := session.NotifyDeleteDataFromIPFS(dataControllerIdStr,
→ requestWaitId)
695     mxNonce.mutex.Unlock()
696     if err != nil {
697         log.Println("error")
698         return err
699     }
700
701     if dpconfig.WaitTxFinish {
702         recp, err := bind.WaitMined(context.Background(), ethConn.client, tx)
703         if err != nil {
704             log.Println("error")
705             return err
706         }
707
708         // a transação falhou. Nesta versão, não vamos reenviá-la, isso ficará
→ a cargo do cliente, enquanto for síncrono (ou seja, tiver wait).
709         if recp.Status == 0 {
710             log.Println("error")
711             return fmt.Errorf("transaction failed")
712         }

```

```

713
714     if dpconfig.GatewayMetricsEnabled {
715         functionName := fnName()
716         nonce := tx.Nonce()
717         dpmetrics.AddMetric(&dpmetrics.Metric{
718             FunctionName: &functionName,
719            Nonce:         &nonce,
720             TxGasUsed:    &recp.GasUsed,
721             FileSize:     nil,
722             Duration:     nil,
723         })
724     }
725
726     return nil
727 } else {
728     return nil
729 }
730 }
731
732 func GetDataControllerId(idxCustody uint64, ethConn *EthereumConnection) (string,
733     → error) {
734     session, err := newG4dpCallerSession(ethConn)
735     if err != nil {
736         log.Println("error")
737         return "", err
738     }
739     c, err := session.Custodies(new(big.Int).SetUint64(idxCustody))
740     if err != nil {
741         log.Println("error")
742         return "", err
743     }
744
745     dataControllerId, err := dpcrypto.DecryptFpeFF1(c.DataControllerId[:],
746     → []byte(dpconfig.GatewaySymmetricKey))
747     if err != nil {
748         log.Println("error: could not deanonymize controller id")
749         return "", err
750     }
751
752     return dutil.SpaceUnpad(string(dataControllerId)), nil
753 }
754
755 func GetInternalIdAndHash(idxCustody uint64, ethConn *EthereumConnection)
756     → ([fileInternalIdSize]byte, [hashSize]byte, error) {
757     session, err := newG4dpCallerSession(ethConn)
758     if err != nil {
759         log.Println("error")

```

```

758         return [fileInternalIdSize]byte{}, [hashSize]byte{}, err
759     }
760
761     c, err := session.Custodies(new(big.Int).SetUint64(idxCustody))
762     if err != nil {
763         log.Println("error")
764         return [fileInternalIdSize]byte{}, [hashSize]byte{}, err
765     }
766
767     internalId, err := dpcrypto.DecryptFpeFF1(c.InternalId[:],
768         []byte(dpconfig.GatewaySymmetricKey))
769     if err != nil {
770         log.Println("error: could not deanonymize internal id")
771         return [fileInternalIdSize]byte{}, [hashSize]byte{}, err
772     }
773
774     dataHash, err := dpcrypto.DecryptFpeFF1(c.DataHash[:],
775         []byte(dpconfig.GatewaySymmetricKey))
776     if err != nil {
777         log.Println("error: could not deanonymize data hash")
778         return [fileInternalIdSize]byte{}, [hashSize]byte{}, err
779     }
780 }
781
782 func ListenEvents() error {
783     client, err := ethclient.Dial(dpconfig.DefaultGatewayEthWsUrl)
784     if err != nil {
785         log.Println("error")
786         return err
787     }
788     defer client.Close()
789
790     query := ethereum.FilterQuery{
791         Addresses: []common.Address{
792             common.HexToAddress(dpconfig.ContractAddress),
793         },
794     }
795
796     logs := make(chan types.Log)
797
798     sub, err := client.SubscribeFilterLogs(context.Background(), query, logs)
799     if err != nil {
800         log.Println("error")
801         return err
802     }
803

```

```

804     for {
805         select {
806             case err := <-sub.Err():
807                 log.Println("error")
808                 return err
809             case vLog := <-logs:
810                 log.Println(vLog)
811         }
812     }
813 }
814
815 func ListenForSharingRequestEvents(dataControllerId string, client *ethclient.Client,
816                                     contractAddress string) (event.Subscription, chan
817                                     *dpcontract.G4dpLogNotifySharingRequest, error) {
818     g4dpContract, err := dpcontract.NewG4dp(common.HexToAddress(contractAddress),
819                                              client)
820     if err != nil {
821         log.Println("error: could not instantiate contract")
822         return nil, nil, err
823     }
824
825     opts := bind.WatchOpts{
826         Start: nil,
827         Context: nil,
828     }
829
830     sink := make(chan *dpcontract.G4dpLogNotifySharingRequest)
831     subscription, err := g4dpContract.WatchLogNotifySharingRequest(&opts, sink,
832                                                               []string{dataControllerId})
833     if err != nil {
834         log.Println("error: could not subscribe to sharing request events")
835         return nil, nil, err
836     }
837
838     return subscription, sink, nil
839 }
840
841
842 func ListenForDataSharedEvents(dataRequesterId string, client *ethclient.Client,
843                                 contractAddress string) (event.Subscription, chan
844                                 *dpcontract.G4dpLogNotifyDataSent, error) {
845     g4dpContract, err := dpcontract.NewG4dp(common.HexToAddress(contractAddress),
846                                              client)
847     if err != nil {
848         log.Println("error: could not instantiate contract")
849         return nil, nil, err
850     }
851
852     opts := bind.WatchOpts{

```

```

845             Start:  nil,
846             Context: nil,
847         }
848
849         sink := make(chan *dpcontract.G4dpLogNotifyDataSent)
850         subscription, err := g4dpContract.WatchLogNotifyDataSent(&opts, sink,
851             []string{dataRequesterId})
852         if err != nil {
853             log.Println("error: could not subscribe to data shared events")
854             return nil, nil, err
855         }
856
857     }
858
859     func ListenForDeleteFromIPFSEvents(dataControllerId string, client *ethclient.Client,
860             contractAddress string) (event.Subscription, chan
861             *dpcontract.G4dpLogNotifyDeleteDataFromIPFS, error) {
862         g4dpContract, err := dpcontract.NewG4dp(common.HexToAddress(contractAddress),
863             client)
864         if err != nil {
865             log.Println("error: could not instantiate contract")
866             return nil, nil, err
867         }
868
869         opts := bind.WatchOpts{
870             Start:  nil,
871             Context: nil,
872         }
873
874         sink := make(chan *dpcontract.G4dpLogNotifyDeleteDataFromIPFS)
875         subscription, err := g4dpContract.WatchLogNotifyDeleteDataFromIPFS(&opts, sink,
876             []string{dataControllerId})
877         if err != nil {
878             log.Println("error: could not subscribe to data shared events")
879             return nil, nil, err
880         }
881
882         func AddControllerToGroup(_dataRequesterId string, _group uint8, ethConn
883             *EthereumConnection) error {
884             requesterId, err :=
885                 dpcrypto.EncryptFpeFF1([]byte(dputil.SpacePad(_dataRequesterId, 16)),
886                 []byte(dpconfig.GatewaySymmetricKey))
887             if err != nil {
888                 log.Println("error")

```

```

885         log.Fatalln(err)
886     }
887
888     mxNonce.mutex.Lock()
889     session, err := newG4dpSession(ethConn)
890     if err != nil {
891         log.Println("error")
892         return err
893     }
894     tx, err := session.AddControllerToGroup([requesterIdSize]byte(requesterId),
895     ↪ _group)
895     mxNonce.mutex.Unlock()
896     if err != nil {
897         log.Println("error")
898         return err
899     }
900
901     if dpconfig.WaitTxFinish {
902         recp, err := bind.WaitMined(context.Background(), ethConn.client, tx)
903         if err != nil {
904             log.Println("error")
905             return err
906         }
907
908         // a transação falhou. Nesta versão, não vamos reenviá-la, isso ficará
909         ↪ a cargo do cliente, enquanto for síncrono (ou seja, tiver wait).
910         if recp.Status == 0 {
911             log.Println("error")
912             return fmt.Errorf("transaction failed")
913         }
914
915         log.Println("AddControllerToGroup gas usage: " + fmt.Sprintf("%d",
916         ↪ recp.GasUsed))
917
918         return nil
919     } else {
920         return nil
921     }
922

```
